# UUS ЦИБРОРЧИ АСТРОФИЗИКА

**TOM 32** 

АПРЕЛЬ, 1990

выпуск 2

ОРИОН ОВ1 ПО НАБЛЮДЕНИЯМ НА КОСМИЧЕСКОМ ТЕЛЕ- СКОПЕ «ГЛАЗАР»	
Г. М. Товмасян, Р. Х. Отанесян, Р. А. Епремян, М. А. Мкртчян, Ю. М. Ходжаянц, М. Н. Крмоян, А. Л. Кашин, Д. Ютенен, Ю. В. Романенко, А. П. Александров, В. Г. Титов, М. Х. Титов, М. Х. Манаров, А. А. Волков, С. К. Крикалев	197
МWC 342 — МОЛОДАЯ ЗВЕЗДА Ю. К. Бергнер, А. С. Мирошниченко, И. С. Судник, Р. В. Юдин, Н. Ю. Ютанов, А. А. Кривцов, А. Н. Соколов, К. С. Куратов, Д. Б. Муканов.	203
НАБЛЮДЕНИЯ ФУОРОВ. II. КРИВАЯ БЛЕСКА V 1515 ЛЕБЕДЯ, ФУ- РЬЕ-АНАЛИЗ МЕЛКОМАСШТАБНОЙ СОСТАВЛЯЮЩЕЙ М. А. Ибрагимов, В. С. Шевченко	221
СОДЕРЖАНИЕ ЭЛЕМЕНТОВ ГРУППЫ ПАЛЛАДИЯ В АТМОСФЕРАХ ПРОЭВОЛЮЦИОНИРОВАВШИХ ЗВЕЗД. II. РУТЕНИЙ М. Я. Орлов, А. В. Шаврина	231
О СОДЕРЖАНИИ ТЕХНЕЦИЯ В ХОЛОДНЫХ ГИГАНТАХ А. А. Акопян, Ю. К. Мелик-Алавердян	235
СПЕКТРОФОТОМЕТРИЧЕСКОЕ ИССЛЕДОВАНИЕ ГАЛАКТИКИ МАР-КАРЯН 7	245
ДЕТАЛЬНАЯ ПОВЕРХНОСТНАЯ ФОТОМЕТРИЯ ПЕКУЛЯРНОЙ ГА- ЛАКТИКИ NGC 3718	
В. А. Газен-Торн, В. П. Решетников, В. А. Яковлев	255
О ВОЗМОЖНОМ МЕХАНИЗМЕ ОБРАЗОВАНИЯ ШАРОВЫХ СКОПЛЕНИЙ В КОРОНЕ ГИГАНТСКОЙ ЭЛЛИПТИЧЕСКОЙ ГАЛАКТИКИ В. $\Gamma$ . $\Gamma$ орбаикий	267
В. Т. Тороицкий	207

(Продолжение на 4-й странице обложки)

EPEBAH

Խմրագրական կոլեգիա՝ Գ. Ս. Բիսնովատի-Կոգան, Վ. Գ. Գորրացկի (գլխ. խմրագրի տեղակալ), Վ. Պ. Գրինին, Վ. Վ. Իվանով, Ն. Ս. Կարդաշև, Վ. Հ. Համրարձումյան, Ա. Գ. Մասևիչ, Լ. Վ. Միրզոյան (գլխ. խմրագիր), Գ. Ս. Սանակյան, Վ. Յու. Տերեբիժ, Ա. Տ. Քալ-լօղլյան (պատ. քարտուղար).

**Խմբագրական խորհուրդ՝ Ա. Ա. Բոլարչուկ, Ե. Կ. Խարաձե, Ի. Մ. Կոպիլով, Վ. Հ. Համ**բարձումյան, Լ. Վ. Միրզոյան, Վ. Վ. Սոբոլև (նախագահ).

Реданционная коллегия: В. А. Амбарцумян, Г. С. Бисноватый-Коган, В. Г. Горбацкий (зам. главного редактора), В. П. Гринин, В. В. Иванов, А. Т. Каллоглян (ответ. сокретарь), Н. С. Кардашев, А. Г. Массвич, Л. В. Мирвоян (главный редактор), Г. С. Савкян, В. Ю. Теребиж.

Реданционный совет: В.А. Амбарцумян, А. А. Боярчук, И.М. Копылов, Л. В. Мирвоян, В. В. Соболов (председатель), Е. К. Харадзе.

«АСТРОФИЗИКА» — научный журнал, издаваемый Академией наук Армянской ССР. Журнал печатает орагинальные статьи по физике звезд, физике туманностей и межавездной среды, по звездной и внегалактической астрономии, а также статьи по областям науки, сопредельным с астрофизикой. Журнал предназначается для научных работников, аспирантов и студентов старших курсов.

Журнал выходит 6 раз в год, подписная плата за год 10 р. 80 к. Подписку можно произвести во всех отделениях Союзпечати, а за границей через агентство «Международная книга», Москва, 200.

«ԱՍՑՂԱՖԻԶԻԿԱ»-Ն գիտական ճանդիս է, ուր նւատասակում է Հայկական ԽՍՀ Գիտությունների ակադեմիան։ Հանդեսը ապագրում է ինքնատիպ նոդվածներ աստղերի ֆիզիկայի, միգամածությունների ու միջաստղային միջավայրի ֆիզիկայի, աստղաբաշխության և աստագալակտիկական աստղագիտության, ինչպես նաև աստղաֆիզիկային սանմանակից բնագավառների գծով։ Հանդեսը նախատեսված է գիտական աջխատակիցների, ասպիսանաների և բարձր կուրաերի ուսանողների նամար։

Հանդեսը լույս է ահանում տարեկան 6 անգամ, բաժանորդագինը 10 ո. 80 կ. մեկ աարվա ճամար։ Բաժանորդագրվել կարելի է «Սոյուզարկատ»-ի բոլոր բաժանմունքներում, իսկ արաասանմանում՝ «Մեժդունարոդնայա կնիգա» գործակալության միչոցով, Մոսկվա, 200.

Издательство АН Арм.ССР, Астрофизика, 1990.

## АСТРОФИЗИКА

**TOM 32** 

АПРЕЛЬ, 1990

ВЫПУСК 2

УДК: 524.423:520.2

#### ЗВЕЗДЫ РАННИХ ТИПОВ В ОБЛАСТИ ЗВЕЗДНОЙ АССОЦИАЦИИ ОРИОН ОВ1 ПО НАБЛЮДЕНИЯМ НА КОСМИЧЕСКОМ ТЕЛЕСКОПЕ «ГЛАЗАР»

Г. М. ТОВМАСЯН, Р. Х. ОГАНЕСЯН, Р. А. ЕПРЕМЯН, М. А. МКРТЧЯН, Ю. М. ХОДЖАЯНЦ, М. Н. КРМОЯН, А. Л. КАШИН, Д. ЮГЕНЕН, Ю. В. РОМАНЕНКО, А. П. АЛЕКСАНДРОВ, В. Г. ТИТОВ, М. Х. МАНАРОВ, А. А. ВОЛКОВ, С. К. КРИКАЛЕВ

Поступила 28 ноября 1989 Принята к печати 20 декабря 1989

В результате ультрафиолетовых наблюдений на космвческом телесконе «Глазар» в области звездной ассоцвации Орион ОВ1 обнаружены 102 звезды ранних спектральных классов ярче 11<sup>тм</sup> на д 1640А. Одна из обнаруженных звезд является, вероятно, горячим субкарликом, компонентом двойной звезды SAO 112509 (НО 33646). Показано, что две звезды (НО 36760 и НО36811) являются, возможно, переменными на д 1640 А.

На телескопе «Глазар» [1], установленном на модуле «Квант» космической станции «Мир», в ноябре 1987 г., январе 1988 г. и январе 1989 г. были выполнены наблюдения области звездной ассоциации Орион ОВ1.

При паблюдениях в областях звездных ассоциаций, расположенных близ галактической плоскости, становится практически невозможной работа звездных датчиков телескопа. Для их нормального функционирования в их поле эрения с диаметром 1° не должно быть звезд со звездной величиной, отличающейся не менее чем 1<sup>т</sup> 5 от звездной величины гидировочной звезды, и, кроме того, суммарная звездная величина всех звезд в поле эрения звездного датчика также должна отличаться от звездной величины гидировочной звезды на более чем 1<sup>т</sup> 5. Поэтому наблюдения областей эпездных ассоциаций проводятся в ручном режиме телескопа, без включения звездных датчиков. Стабилизация направления телескопа обеспечивается при этом соответствующими системами космического корабля с точностью обычно не хуже ±30′ при экспозициях до 4-х минут. При таких экспозициях во время первых наблюдений достигалась предельная звездная величина в ~ 11<sup>т</sup> на х 1640 А. В последующем чувствительность телескопа упала на 1.0—1.5 звездные величины.

Наблюдавшиеся области с обозначением зарегистрированных звезд показаны на рис. 1.

Монохроматические потоки 57 из сфотографированных звезд были измерены ранее на 1565, 1965, 2365 и 2740 А по наблюдениям на космическом телескопе TD-1 [2]. Звездные величины этих звезд на λ 1640 А были определены путем интерполяции. 15 звезд были наблюдены с помощью телескопа ANS [3] на длинах волн 1500, 1800, 2200, 2500 и 3300 А, из которых 12 входят в число звезд, наблюдавшихся на TD-1. Все эти звезды были испольвованы в качестве стандартов для наших наблюдений.

Характеристические кривые были получены с помощью изображений трубчатого фотометра, впечатываемых на каждую фотопленку. Все измерения были сделаны на микрофотометре PDS, а расчеты — на ЭВМ СМ-4 Бюраканской астрофизической обсерватории.

Ивмеренные нами значения звездных величин наблюдавшихся звезд на  $\lambda$  1640 А вместе с рядом их других параметров представлены в табл. 1. Как и в случае наблюдений областей звездных ассоциаций в Корме [5], для ввезд, отсутствующих в каталогах SAO или HD, принята новая нумерация, включающая прямое восхождение в часах и минутах и склонение в градусах с соответствующим знаком. В данном списке оказалась всего одна такая ввезда. Ее координаты, измеренные по карте Паломарского атласа неба, приведены в примечаниях к табл. 1.

Сравнение результатов измерений звездных величин звезд, сфотографированных более одного раза, позволяет оценить точность наших измерений. Как видно из табл. 1 (6-ой столбец) ошибки в определении звездной величины не превышают 0<sup>m</sup>3. За исключением двух случаев результаты наших измерений достаточно хорошо, с точностью до 0.m3, совпадают с измерениями, выполненными с помощью телескопов TD-1 или ANS.

По нашим измерениям звезда SAO 132267. (HD 36760) на 2.<sup>m</sup>1 слабее по сравнению с данными TD-1. Вторая звезда, SAO 132272 (HD 36811), наоборот, ярче на 1.<sup>m</sup>5. Такое расхождение между результатами наблюдений на телескопах «Главар» и TD-1 может быть обусловлено, по всей вероятности, переменностью этих звезд в УФ-диапазоне. Интересно, что для одной из этих звезд, SAO 132272, различные наблюдатели дают равличные спектральные типы: В9 [6], А1 пп или А3V [4].

Спектральный класс одной из обнаруженных звезд (SAO 112509) с  $m_V = 6.^m3$  известен как F5 [7] или даже G5.III [8]. Поскольку поток от такой звезды на 1640 A должен быть определенным образом ниже предсла обнаружения на «Глазаре», тогда как ее  $m_{1640} = 6.^m9$ . Это может означать, что звезда двойная, и что наблюдавшийся на  $\lambda$  1640 A поток обусловлен ее горячим, очень слабым в видимых лучах компонентом.

Изображения двух группировок ввезд вопрук SAO 132314, 132321, 132322 и SAO 132323 передержаны на наших фотографиях. По той же

Таблица 1 ЗВЕЗДЫ РАННИХ ТИПОВ, НАБЛЮДАВШИЕСЯ С ПОМОЩЬЮ КОСМИЧЕСКОГО ТЕЛЕСКОПА «ГЛАЗАР»

	САО, НО*	Sp	ν	m <sub>1540</sub> TD-1, ANS*	$m_{1840} \pm \sigma(n)$ "Главар"	Приме
1	2	3	4	5	6	7
1	112460	A0	879	7:77	870	
2	0507-00**	_	_	-	10.3	d
3	112493	A0	8.8	8.4	8.7	a
4	112505	B 8V; B 9Vn	6.675	5.2; 5.3*	5.2±0.1(2)	b, D
5	112509	F5	6.3	6.7	6.9	a, D
6	33752*	A0	9.2	_	8.1	c
7	131875	A0	8.5	9.9	10.0	
8	34100*	A0	9.4	_	8.2±0.1(2)	c
9	34163*	A0	9.2	1	9.2	c
10	131917	F2	6.1	8.7	10.1	a
11	112572	B8	8.035	6.5, 6.6*	6.7+0.1(3)	ь
12	112582	A0	8.8	8.7	9.4	a
13	131929	B8	7.887	6.7	6.9	ь, D
14	131937	A0	8.9	_	8.6	
15	34416*	A	10.4	-//	8.9±0.2(2)	c -
16	131951	A2	8.8		8.6±0.3(2)	a
17	131956	A0	9.0	_33	7.9±0.0(2)	a
18	131959	B5V	7.383	4.8; 5.0*	4.7±0.1(2)	Ь
19	131966	A0	8.8		8.4	a
20	34637*	A0	9.7	_	8.5	e e
21	131975	A0	8.8	_	6.9	a
22	131984	A0	8.5	7.4	7.1	
23	131985	A0	9.1	_	8.1	a
24	132024	B3 V	5.679	2.9	3.0	ь
25	132028	B2IV; B2IV-V	4.731	1.9*	2.0	b, Va
26	112695	В9	8.358	7.1	7.0	b, D
27	132121	B3V; B5V	7.216	4.5; 4.6*	4.8	b
28	132144	B9	6.67	5.3	4.9	b
29	35972*	A0; B8	8.830	3	7.6	b
30	132155	B7V	8.07	6.1	6.0	b
31	132169	A0	7.974		8.0	b
32	132174	A0; B8	6.881	6.8	7.1	b-
33	132196	B9p	8.21	6.8	7.0	ь, D
34	132197	В8	8.14	6.4	6.5	ь

Таблица 1 (продолжение)

1	2	3	4	5	6	7
35	132223	В9	8.4	_	7.2	a
36	36502*	B9. 5V	9.23	_	7.4	ь
37	132226	B9p; B67VV	8.31	6.3	6.1	Ь
38	132240	B9. 5V	8.439	7.9	7.8	b
39	132245	B9V; B9.5V	7.98	7.0	7.1	b
40	132246/47	B3V; B2.5V B4V	6.541	3.8; 4.0*	3.8	ь, D
41	112899	B6Vp	8.066	6.5	6.6	ь
42	132261	B9	9.0	-	6.8	a
-43	132267	B7V	7.63	5.6	7.7	b (V?)
44	132272	Alm; A3V	7.077	8.2	6.7	P(A5)
45	132275	B5V; B5-6Vn	8.22	6.5	6.5	ь
46	132281	B7V; B7Vn	8.600	7.0; 7.2*	7.3	ь
47	132288	A0V	7.986	_	8.6	b, V
48	132291	B6V; B7V	7.086	5.1	5.2	b, D
49	132292	B8IIIp	6,745	4.8	4.8	b
.50	132300	B7V; B6Vn; B5Vn	7.515	5.2	5.3	b
51	132303	B1, 5V; B5V	7.830	_	6.5	- Ъ
52	112935	A0; B9	8.334	7.2	7.0	Ь
53	112936	B9V	5.500	7.2	7.2	ь
54	132328	B1V; B0.5V	6.825	_	5.0	Ь
.55	132332	B3V; B3IV	6.400	3.9*	3.9	Ъ, D
56	37057 *	A0; B8-9	9.29	_	9.6.	Ь
:57	132335	B8	8.374	_	7.2	Ь
58	132343	B8V; B9V	9.023	_	8.5	ь
59	37111*	AlV	8.810	_	7.6	Ь
60	37115*	B5ne; B6V; B4Ve	7.082	_	5.9	b, D
61	37140*	B8p; B9.5IVV B8III	8.551	-	6.4	ь
61a	132350	B8V; B7V; B6V	8.035	6-0	6.3	ь
62	132351	B3V; B2V; B3IV	6.564	3.3; 3.5*	3.6	Ь
63	132353	B6V;B5V	7.86	5.6	5.8	Ь
64	132354	B9V	9.208	100	8.1	Ь
65	132359	BIV; B2IV	5.724	2.2	2,3	ь, D
66	132364	B8V; B7V-A0V; B7V	8.170	6.1 Etus	6.2	Ь
67	132367	A0	9.0	-	7.6	a
68	132368	A0	9.0	7.5	7.4	a
69	132374	A 0	8.8	1000	6.3	
70	132375	B1V; B1.5V; B2V	6.048	2.5; 2.6*	2.4	Ь
71	132382	B5V; B5IV-V	7.608	5.1	5.0	b

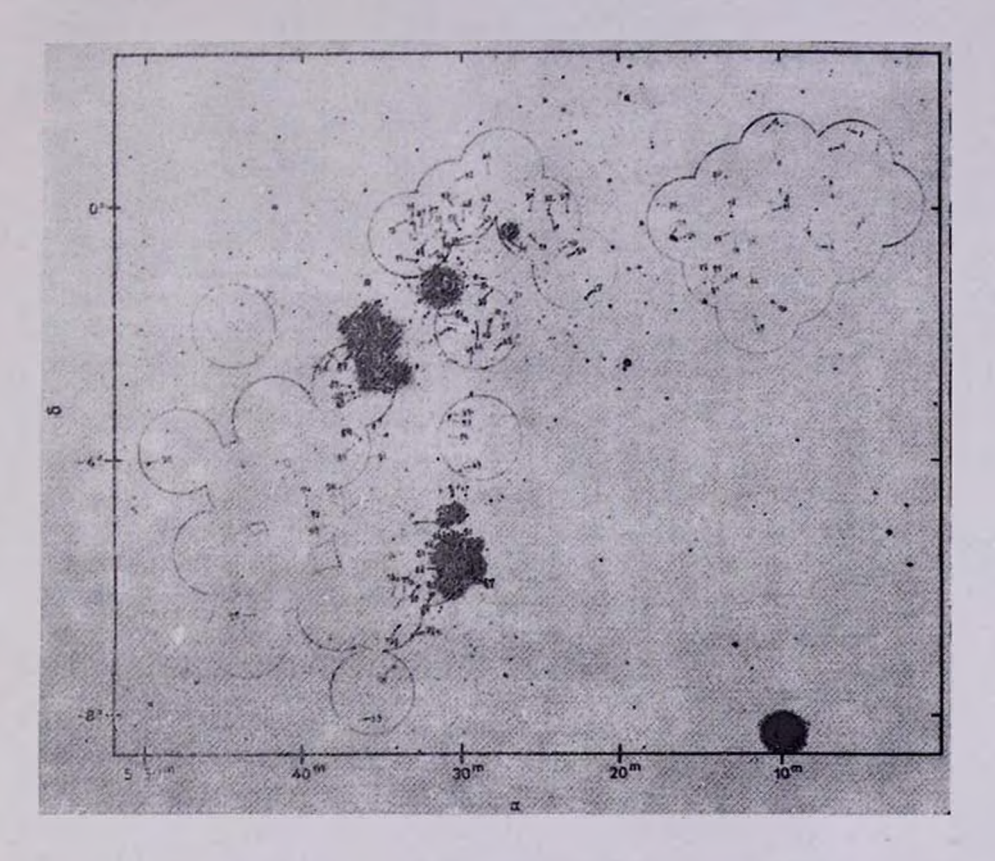


Рис. 1. Области неба, наблюдавшиеся с помощью телескопа «Глазар» (по атласу Франклина—Адамса). Нумерация по табл. 1.

К ст. Г. М. Товмасяна и др.

Таблица 1 (окончание)

1	2	3	4	5	6	7
72	132365	A0	8.9		7.6	
72a	132386	В9	8.320		6.6	ь
73	373770/71	B6V	7.460	_	5.0	b, D
74	132393	B9V	9.750		10.1	b
74a	37428*	A0; B8—9	8.678	_	7.8	ь
75	132395	B8V	8.620	6.8	6.5	b, D
75a	132402	В9	8.7	6.5	6.4	
75в	132405	B1V; B1.5IV	5.959	2.4	2.5	b, D
76	132411	A3	4.9	6.5	6.4	
76a	132417	A0; B9	9.297	-	8.1	ь
77	132420	A0; A1; A5III	8 - 488	-	8.5	ь
78	132437	B9V	9.228	-	7.9	ь
79	132438	B4V	7.625	-	5.2	ь
80	132441	B1V; B1.5V	6.217	2.8; 2.9*	3.0	Ь
81	37745*	A0; B3-9	9.190	-	9.4	ь
82	132452	B9p	7.955	7.8*	7.8	ь
83	132454	A0	8.2	8.2	8.3	a
84	132455	B2V	7.908	5.4	5.2	Ъ
85	132460	B9V	9.002	· ·	7.4	ь
86	132463	A0V	7.712	6.8; 7.0*	6.9	b
87	132464	B1.5V; B2V	7.833	5.2; 5.5*	5.4	ь
88	132465	F0; A7V	6.430		8.6	b. D
89	132469	B6V	8.440	6.4	6.5	Ь
90	132475	B3; B8	8.490	9.0	8.8+0.1(2)	Ь
91	132478	B5V	8.292	6.0	6.0	b
92	38088*	A0V	9.683	_	10.2±0.3(2)	Ь
93	132483	A0; B8-9	9.067	8.2	8.4+0.1(2)	ь
94	132504	A0	7.5	8.4	8.3±0.1(2)	a
95	132539	B5V; B6V	7.692	5.5; 5.6*	5.4	ь
96	132635	B2V; B1.5V	6.560		3.1	ь

Примечания. а—Звоздная величина и споктральный тип из каталога SAO; b— звоздная величина и споктральный тип из работы [4]; c— звоздная величина и споктральный тип из каталога HD; d— a=  $05^h07^m36^s$ , b=  $-00^\circ21'06^s$ . D— двойная звозда; V— пороменная звозда.

причине не определены звездные величины и звезд SAO 132220/21 и 132234.

Спектральный тип одной из обнаруженных звезд, 0507—00, неизвестен. Но, поскольку ее изображение было получено на снимках «Глазара»

на  $\lambda$  1640 A, можем предположить, что она является звездой типа OB или раннего A. Она может быть также невидимым голубым компонентом звезды более поэднего спектрального типа.

В заключение авторы выражают благодарность акад. В. А. Амбарцумяну за постоянный интерес и содействие при выполнении космического эксперимента «Глазар».

Бюраканская астрофизическая

обсерватория

СКБ «Гранит»

Женевская обсерватория

Центр подготовки

космонавтов

## STARS OF EARLY TYPES IN THE REGION OF STELLAR ASSOCIATION OB1 OBSERVED WITH THE "GLAZAR" SPACE TELESCOPE

H. M. TOVMASSIAN, R. Kh. HOVHANNESSIAN, R. A. EPREMIAN, M. A. MKRT-CHIAN, Yu. M. KHODJAYANTS, M. N. KRMOYAN, A. L. KASHIN, D. HUGUENIN, Yu. V. ROMANENKO, A. P. ALEXANDROV, B. G. TITOV, M. Kh. MANAROV, A. A. VOLKOV, S. K. KRIKALEV

102 stars of early spectral types brighter than 11<sup>m</sup> are detected in the region of the Orion OB1 stellar association as a result of ultraviolet observations carried out with the "Glazar" space telescope. One of the detected stars is probably a hot subdwarf, the component of the double star SAO 112509 (HD 33646). It is suggested that two stars (HD 36760 and HD 36811) are probably variable at 1640 A.

#### **ЛИТЕРАТУРА**

- 1. Г. М. Товмасян, Ю. М. Ходжаянц, М. Н. Крмоян, А. Л. Кашин, А. Э. Захарян, Р. Х. Оганесян, М. А. Мкртчян, Г. Г. Товмасян, Д. Югенен, В. В. Бутов, Ю. В. Романенко, А. Н. Лавейкин, А. П. Александров, Пвсьма в Астрон. ж., 14, 291, 1988.
- 2. G. J. Thompson, K. Nandy, C. Jamer, A. Monfilts, L. Houztaux, D. J. Carnochan, R. Wilson, Catalogue of Stellar Ultraviolet Fluxes, The Science Research Coincil, 1978.
- 3. P. R. Wesselius, R. J. van Duinen, A. R. W. de Jonge, J. W. A. Aalders, W. Luinge. K. J. Wildeman, Astron. and Astrophys. Suppl. Ser., 49, 427, 1982.
- 4. W. H. Warren, Jr. J. E. Hesser, Astrophys. J. Suppl. Ser., 34, 115, 1977.
- H. M. Tovmassian, R. A. Epremian, R. Kh. Hovhannessian, Yu. M. Khodjayants, M. N. Krmoyan, A. L. Kashin, D. Huguenin, S. I. Serova, A. P. Alexandrov, V. Yu. Romanenko, Astron. and Astrophys. (in press).
- 6. Y. M. Blanko, S. Demers, G. G. Douglas, M. P. Fitzgerald, Publ. US Naval Observ., 21, 1, 1968.
- A. Hirshfeld, R. W. Sinnot, Sky Catalogue 2000.0, v. 1, Cambridge Univ. Press, 1981.
- 8. W. Buscombe, MK Spectral Classification, Third General Catalogue; Northwestern Univ. Evanston, 1977.

## АСТРОФИЗИКА

**TOM 32** 

АПРЕЛЬ, 1990

выпуск 2

УДК: 524.337

#### MWC 342 — МОЛОДАЯ ЗВЕЗДА

Ю. К. БЕРГНЕР, А. С. МИРОШНИЧЕНКО, И. С. СУДНИК, Р. В. ЮДИН, Н. Ю. ЮТАНОВ, А. А. КРИВЦОВ, А. Н. СОКОЛОВ, К. С. КУРАТОВ, Д. Б. МУКАНОВ

> Поступила 4 апреля 1989 Принята к печати 25 января 1990

Представлены результаты UBVRIIHK-фотометрических и VRIH а поляриметрических наблюдений звезды MWC 342 в 1986—1989 гг. Обнаружена фотометрическая и поляриметрическая переменность объекта, имеющая периодическую составляющую. В рамках модели горячей звезды, окруженной гаво-пылевой оболочкой, получены оценки параметров звезды и оболочки, а также межзвездного поглощения. С использованием количественных критериев сделан вывод о принадлежности MWC 342 к эвездам Ae/Be Хербига.

1. Введение. Одним из объектов, который к настоящему времени не был определенно отнесен к какой-либо группе звезд, является МWC 342. Выделенный в [1] как ранняя звезда с вмиссионными линиями в спектре, после обнаружения ИК-избытка [2] он был объявлен пекулярной Везвездой. Это говорит лишь о существовании у нее особенностей по сравнению с Ве-звездами, но не о физических характеристиках. Фотометрические и поляриметрические наблюдения МWC 342 единичны (см. табл. 1). По ним нельзя сделать вывод о характере переменности звезды.

О природе MWC 342 высказывались две гипотезы [4, 5]. В обеих работах изучался оптический спектр объекта, в котором преобладают эмиссионные бальмеровские линии водорода и линии Fe II.

В [4] был сделан вывод, что наблюдаемые интенсивности линий и распределение внергии в континууме согласуются с моделью звезды ВЗ III, окруженной тонкой оболочкой газа ( $n_{\bullet} \sim 5 \cdot 10^{10} \ \mathrm{cm}^{-3}$ ) и пыли. По методу Занстра получена оценка эффективной температуры звезды:  $T_{\mathrm{eff}} > 2 \cdot 10^{4} \mathrm{K}$ . Межзвездное поглощение  $A_{\circ} = 1^{m} 8$  оценено в предположения, что МWC 342 находится на таком же расстоянии, что и близлежащие рассеянные скопления NGC 6910 и NGC 6913. Отмечено так-

же, что наблюдавшиеся ранее [6] абсорбционные компоненты эмиссионных линий отсутствуют.

ФОТОМЕТРИЯ MWC 342 ДО 1986 г.

Таблица	1

Дата	U	В	V	R	1	Н	K	L	Литера тура
1956 год	11 <sup>m</sup> 6	2 11.78	1 107.50	6			19	1	[23]
20.09.62	2		10 47	7				. 1	•
29.09.65	5	10.69	9.65	5					•
17.07.69	9	11.70	5						•
24.07.69	9	11.83	2				1	1	•
25.07.69	9		10.35	5					[25]
16,10.69	9 11.7	2 11.8	10.60	9.16	8.17				{22}
2.08.70	0	11.9	3				lo.		[25]
8.08.70	0	11.7	5					4	[25]
1972 год	4					5.96	4.90	2.99	[2]
5 мкм	10.2 MRM	12 мим	20 MRM	22 мкм	25 мкі	e 60	MKM	10) wx	м
2º 30	0711			-1 <sup>m</sup> 84					[13]
			-1 <sup>m</sup> 68						[26]
		46.2 <i>J</i>		10	48.5	/   8	3.5 <i>J</i>	67.J	[27]

<sup>\*—</sup> фотографические величины, полученные нами при обработке пластивки ГАИШ 1965 г., пластинок ГАО АН УССР 1969 г. и Абастум. АО АН Грув.ССР 1962 г. Примечание. В жателоге [25] приведено уоредненное значение за 2.08 и 8.08.1970 г. Ј-величина двна в Янских.

В. П. Архипова и А. П. Ипатов [5] предположили, что МWC 342—двойная система и представили ее спектр как сумму спектров звезды В8 [3], водородной оболочки с  $n_e > 10^8$  см<sup>-3</sup> и звезды М0 III. При этом горячий компонент должен иметь  $V = 12^m$ 1, а холодный —  $V = 11^m$  Присутствия полос поглощения ТіО, наблюдающихся у М-звезд, не обнаружено. Модель не объясняет наблюдаемые потоки излучения в области длин волн больше 1 мкм (рис. 1). В работе для МWC 342 предложено 3 значения  $A_v:1^m4$ ,  $3^m$ ,  $4^m2$  (согласно [7]), из которых выбрано первоелучше согласующееся с представлеяной моделью. Авторы [5] считают, что данная интерпретация, возможно, не является очончательной и требует дальнейшей проверки наблюдениями.

2. Наблюдения. С июля 1986 г. по ноябрь 1989 г. было выполнено 56 UBVRIIHK квазисинхронных фотометрических и 28 поляриметрических наблюдений (в основном в полосе R) MWC 342 (см. табл. 2 и 3). Наблюдения проводились на 1-м телескопе высокогорной станции Ассы АФИ

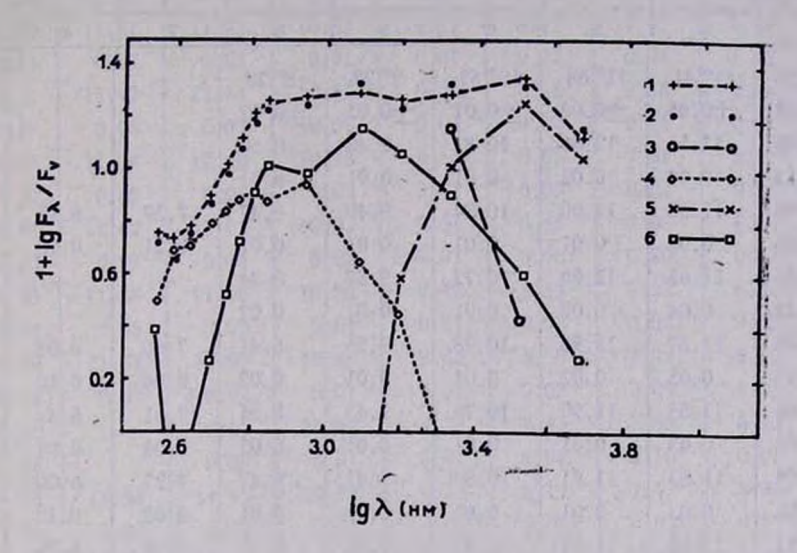


Рис. 1. Распределение внергии в спектре MWC 342. 1— наблюдаемое; 2— нашамодель; 3— модель из [5]; 4, 5, 6— вклад звезды, пылевой и газовой составляющих соответственно.

АН Каз.ССР с двухканальным фотометром-поляриметром ФПЗУ [8]. Методика наблюдений описана в [8]. В качестве звезды сравнения наблюдалась ВЅ 7800, UBVRIJHK-фотометрия которой была проведена нами (табл. 2). Привязка к бливлежащим стандартам проводилась 5 рав. В табл. 2 приведены статистические ошибки фотометрии стандарта. Постоянство его блеска в каждую ночь не контролировалось.

Фотометрия (полосы *UJHK*) и поляриметрия имеют значительно различающуюся точность в разные даты. Это следствие невысокого отношения сигнал/шум при этих наблюдениях. Они, как правило, проводились дважды в каждой полосе, и результатом являлось средневзвешенное отдельных наблюдений.

3. Межавевдное поглощение и поляривация. Рассмотрим подробно вопрос о межавевдном поглощении в окрестности МWC 342, так как приведенное в [4] значение не достаточно обосновано, а в [5] указывается не-

 $T_{ab {\it nuga}}$  2 ФОТОМЕТРИЯ MWC 342 ПО ДАННЫМ НАСТОЯЩЕЙ СТАТЬИ

Дата JD 244	U	В	V	R	1	J	Н	K
1	2	3	4	5	6	7	8	9
29.08.86	11741	117.84	107.62	97.22	8 <sup>m</sup> 28		_ =	-
6671.28	±0.05	+0.02	+0.01	±0.01	+0.02		11.11	
22.10.86	11.51	12.06	10.82	9.40	8.50	1		-
6726.14	0.04	0.02	0.01	0.01	0.01		0.3	
8.11.86	11.58	12.00	10.84	9.40	8.47	7.29	6.14	4.99
6743.06	0.05	0.01	0.01	0.01	0.01	0.31	0.10	0.09
9.11.86	11.66	12.00	10.73	9.37	8.34	_	_	_
6744.12	0.04	0.02	0.01	0.01	0.02			-
10.11.86	11.57	11.98	10.78	9.35	8.41	7.60	6.08	5.07
6745.15	0.05	0.02	0.01	0.01	0.02	0.04	0-10	0.09
1.12.86	11.55	11.90	10.76	9.43	8.51	7.61	6.33	5.00
6766.09	0.03	0.01	0.01	0.01	0.01	0.09	0.04	0.07
2.12.86	11.53	11.91	10.80	9.41	8.47	7.27	6.00	5.00
6767.06	0.03	0.01	0.01	0.01	0.01	0.02	0.12	0.07
8.07.87	11.80	11.77	10.77	9.43	8.57	7.38	6.35	5.23
6984.37	0.19	0.08	0.03	0.01	0.06	0.24	0.14	0.01
15.07.87	11.75	11.95	10.79	9.35	8.36	7.43	6.46	5.05
6991.33	0.05	0.03	0.01	0.01	0.02	0.14	0.03	0.01
9.08.87	11.65	11.96	10.86	9.49	8.38	7.34	6.23	5.24
7017.24	0.02	0.04	0.01	0.02	0.04	0.01	0.10	0.01
10.08.87	11.79	12.04	10.92	9.46	8.59	7.77	6.60	5.12
7018.25	0.01	0.05	0.02	0.01	0.04	0.11	0.21	0.01
11.08.87	11.58	12.09	10.92	9.50	8.51	7.31	6.48	5.14
7019.24	0.19	0.05	0.02	0.01	0.03	0.07	0.01	0.01
5.09.87	11.52	11.76	10.62	9.30	8.41	7.33	6.55	5.13
7043.32	0.13	0.04	0.01	0.01	0.03	0.16	0.01	0.01
6.09.87	11.55	11.85	10.72	9.25	8.52	7.57	6.62	5.13
7044.27	0.01	0.05	0.02	0.01	0.03	0.18	0.15	0.07
10.09.87	11.42	11.84	10.57	9.22	8.33	_	6.63	5.08
7048.40	0.03	0.05	0.02	0.01	0.03		0.04	0.15
11.09.87	11.44	11.91	10.69	9.24	8.34	7.30	6.48	5.18
7049.27	0.10	0.04	0.02	0.01	0.03	0.01	0.06	0.01
12.09.87	11.40	11.90	10.74	9.29	8.33	7.52	6.40	5.32
7050.28	0.08	0.02	0.01	0.01	0.02	0.04	0.16	0.06
13.09.87	11.30	11.77	10.64	9.24	8.39	7.38	6.38	5.27

1	2	3	4	5	6	7	8	9
7051.25	0.06	0 <sup>m</sup> 02	0 <sup>an</sup> 01	07.01	0 <sup>m</sup> .02	0.03	0.02	0.05
14.09.87	11.31	11.73	10.52	9.17	8.27	7.57	6.48	5.17
7053.15	0.07	0.03	0.01	0.01	0.02	0.14	0.13	0.10
15.09.87	11.47	11.54	10.53	9.21	8.34	7.38	6.26	5.06
7053.35	0.08	0.03	0.01	0.01	0.02	0.15	0.01	0.01
10.11.87	11.74	12.10	10.93	9.57	8.65	7.61	6.07	5.00
7110.07	0.09	0.03	0.03	0.01	0.03	0.07	0.03	0.05
3.12.87	11.62	12.03	10.91	9.51	8.55	7.63	6.60	5.23
7133.10	0.09	0.04	0.02	0.01	0.06	0.20	0.17	0.03
6.01.88	11.38	11.96	10.86	9.42	8.53	7.52	6.38	5.15
7167.04	0.05	0.02	0.01	. 0.01	0.02	0.05	0.05	0.01
7.01.88	11.58	12.08	10.85	9.45	8.55	7.32	6.12	5.04
7168.04	0.07	0.02	0.01	0.01	0.02	0.05	0.03	0.02
29.05.88	_	11.97	10.76	9.39	8.46	7.56	6.22	5.11
7310.46		0.03	0.01	0.01	0.01	0.10	0.01	0.06
25.07.88	11.55	11.92	10.74	9.28	8.14	7.43	6.39	5.21
7367.26	0.05	0.02	0.01	0.01	0.02	0.03	0.03	0.06
28.07.88	11.53	12.07	10.92	9.52	8.62	7.83	6.42	5.17
7370.35	0.10	0.03	0.01	0.01	0.01	0.03	0.05	0.04
30.08.87	11.72	12.04	10.86	9.45	8.55	7.57	7.09	4.95
7403.34	0.10	0.04	0.01	0.01	0.02	0.09	0.03	0.01
1.09.88	11.56	12.03	10.81	9.37	8.42	7.45	6.31	5.12
7405.29	0.02	0.06	0.01	0.01	0.02	0.10	0.07	0.05
1.09.88	11.67	11.94	10.79	9.37	8.43	7.52	6.27	5.13
7406.24	0.06	0.03	0.01	0.01	0.02	0.07	0.06	0.03
19.10.88	11.23	11.86	10.71	9.32	8.41	7.37	6.21	4.97
7454.16	0.04	0.02	0.01	0.01	0.01	0.05	0.01	0.01
20.10.88	11.30	11.80	10.63	9.22	8.28	7.57	6.23	5.03
7455.16	0.04	0.01	0.01	0.01	0.01	0.03	0.02	0.01
24.10.88	11.34	11.79	10.69	9.32	8.41	7.41	6.22	5.14
7459.07	0.03	0.01	0.01	0.01	0.01	0.14	0.02	0.02
4.07.89	11.48	11.78	10.62	9.23	8.43	7.18	6.17	4.87
7711.38	0.04	0.01	0.01	0.01	0.02	0.04	0.06	0.02
5.07.89	11.47	11.75	10.63	9.30	8.38	7.26	6.00	4.90
7712.35	0.03	0.01	-0.01	0.01	0.01	0.07	0.05	0.04
6.07.89	11.29	11.86	10.73	9.33	8.43	7.35	6.04	4.83
7713.37	0.03	0.01	0.01	0.01	0.02	0.08	0.03	0.02
7.07.89	11.43	11.86	10.78	9.32	8.34	7.34	6.12	4.81

1	2	3	4	5	6	7	8	9
7714.36	07.05	0701	07.01	07.01	0.01	0.09	0.05	0.92
9.09.89	11.50	11.92	10.72	9.41	8.54	7.64	6.18	5.03
7778.26	0.03	0.01	0.01	0.01	0.01	0.05	0.11	0.04
10.09.89	11.45	11.92	10.76	9.43	8.60	7.53	6.31	5.05
7779.26	0.02	0.01	0.01	0.01	0.01	0.02	0.03	0.04
10.09.89	11.51	12.01	10.82	9.44	8.53	7.36	6.39	5.01
7780.23	0.04	0.02	0.01	0.01	0.02	0.05	0.01	0.0
12.09.89	11.46	12.03	10.86	9.37	8.40	7.35	6.19	4.87
7781.25	0.05	0.01	0.01	0.01	0.01	0.04	0.01	0.0
12.09.89	11.60	12.00	10.85	9.42	8.50	7.13	6.12	4.91
7782.22	0.05	0.01	0.01	0.01	0.01	0.08	0.62	0.01
13.09.89	11.57	12.04	10.87	9.46	8.52	7.30	6.14	4.93
7782.37	0.01	0.02	0.01	0.01	U.02	0.02	0.01	0.01
14.09.89	11.63	12.01	10.80	9.44	8.61	7.43	6.09	4.80
7783.26	0.04	0.02	0.01	0.01	0.01	0.01	0.03	0.0
15.09.89	11.63	11.95	10.82	9.42	8.55	7.32	6.10	4.94
7785.22	0.05	0.02	0.01	0.01	0.01	0.02	0.04	0.02
16.09.89	11.61	12.12	10.90	9.52	8.60	7.46	6.12	4.97
7786.24	0.05	0.02	0.01	0.01	0.01	0.02	0.03	0.0
18.09.89	11.57	11.92	10.74	9.37	8.46	7.38	6.21	4.99
7787.34	0.04	0.02	0.01	0.01	0.02	0.10	0.09	0.0
19.09.89	11.65	12.01	10.67	9.37	8.42	7.34	6.13	4.9
7788.38	0.01	0.03	0.01	0.01	0.02	0.05	0.02	0.0
19.09.89	11.57	11.58	10.81	9.41	8.44	7.70	5.84	5.00
7789.19	0.01	0.02	0.01	0.01	0.01	0.02	0.01	0.02
21.09.89	11.48	11.90	10.73	9.36	8.47	7.25	6.17	4.89
7791.19	0.02	0.01	0.01	0.01	0.01	0.03	0.02	0.02
15.10.89	11.54	11.93	10.71	9.34	8.35	7.17	6.10	4.89
7815.22	0.04	0.01	0.01	0.01	0.01	0.08	0.04	0.0
13.11.89	11.39	11.68	10.52	9.22	8.32	7.38	6.20	4.98
7844.07	0.02	0.01	0.01	0.01	0.01	0.05	0.06	0.0
14.11.89	11.37	11.64	10.47	9.19	8.29	7.52	6.27	5.0
7845.17	0.02	0.01	0.01	0.01	0.01	0.05	0.02	0.0
15.11.89	11.44	11.84	10.70	9.34	8.37	7.30	6.31	5.00
7846.09	0.02	0.01	0.01	0.01	0.01	0.08	0.06	0.0
19.11.89	11.51	11.93	10.76	9.30	8.31	7.31	6.20	4.85
7850.09	0.01	0.01	0.01	0.01	0.01	0.06	0.02	0.02

Таблица 2 (окончание)

					- 2		-	
1	2	3	4	5	6	7	8	9
20.11.89 7851.12	11 <sup>m</sup> .63 0.01	11 <sup>m</sup> 99 0.01	10 <sup>m</sup> .77	9 <sup>m</sup> 32 0.01	8 <sup>m</sup> 36 0.01	7.39 0.05	6.29 0.06	5.26
BS 7800	9.40 0.03	7.57 0.03	6.07 0.02	4.70 0.02	3.83 0.02	3.12 0.01	2.28 0.01	2.05

сколько значений. Согласно [7, 10] вблизи объекта наблюдается очень сложная зависимость  $A_V$  от расстояния (D). Заметим, что в обеих работах рассмотрены площадки в несколько квадратных градусов. Построим эту зависимость в более близкой к объекту области площадью < 1 кв. градуса (рис. 2). Необходимые данные брались из каталогов МК-классификации и [25]. Этого недостаточно для оценки  $A_V$  до объекта, поскольку его ИК-избыток нельзя объяснить лишь межзвездным поглощением. Учет  $A_V$ , принятых в [4, 5], показывает, что исправленный ( $B_V$ )  $\sim 0.10^{11}$  значительно больше нормальных показателей цвета В-звезд. Можно оценить лишь суммарное (межзвездное и околозвездное) поглощение  $A_V^{(1)}$  из отношения интенсивностей линий  $A_V^{(2)}$  и  $A_V^{(3)}$  значение теоретического бальмеровского декремента [11] для случая непрозрачной в лаймановских линиях газовой оболочки [5]. Согласно наблюдениям А. П. Ипатова,  $A_V^{(2)}$  13, что при теоретическом значении, равном 2.77, дает нижнюю границу  $A_V^{(3)}$  =  $A_V^{(4)}$  2.

Таблица 3
ПОЛЯРИМЕТРИЧЕСКИЕ НАБЛЮДЕНИЯ MWC 342. ФИЛЬТР II, ИМЕЕТ
ПОЛУШИРИНУ 32 НМ

Дата	P. %	/ 1)°	P, % R	0°.	P, 0/0	b.	P, 0/0	60
1	2		3		4		5	
29.08 86	0.9 ±1.1	68 <u>+</u> 37	0.55 ±0.21	82 <u>+</u> 11	1.6 ±0.4	8 ±8		
8.11-85	1.5 0.7	125 15	0.24 0.25	127 28	0.5	126 32	3.6 1.0	160
9.11.85			0.48 0.35	176 22	1.3	116 15	· 5.7 1.8	149 9
1.12.85	0.8 0.4	15 17	0.8	14 6	8.0	6 10		
2.12.85	2.0 0.8-	173 - 16		1	2.0	100 30		

1	2		3			4	5	
8.07.87			2.1	179		1		
9.08.87	4.2 0.2	169	2.55 0.06	172	1.9 0.8	164 6	-11	
11 08.87			2.7 0.3	130 8	2.3	163 3		
5.09.87	4.5 1.1	177 7	3.4 0.4	177				
6.09.87			3.8 0.3	162 1	100			
11.09.87			2.0 0.2	22 6				
12.09.87			2.2 0.1	28 3	19-19		1	
13.09.87	4.2 0.2	1 3	2.45 0.05	176 3	1.0			
14.09.87	3.2 0.4	174 1	1.80 0.21	4 3				
10.11.87	0.96 0.07	2 12	2.13 0.04	22 13	2.5	174 6	3.8	179 6
6.01.88	1.0	170 13	2.51 26	16 3			5.9	146 2.
28.07.88			2.0	29 2				
1.09.88			1.8	50 5				
21.10.88			1.35 05	23 14				
25.10.88			0.8 U.2	38 16				
9.09.89		1,77	2.9 1	4 2	121		-	
10.09.89		13	2.5	10 4		151		
12.09.89		- 4	3.3 1	5 2	1-31			
13.09.89			3.5	7			i	
19.09.89			2.6	6 2	-51		1	
21.09.89			3.1	13 2		3.	1	
15.11.89		- 1/2	3.3	9			-	
19.11.89		-	2.5	9	4-1		1	

Межэвездная поляривация была оценена по данным каталога [12]. На угловом расстоянии менее 0.°5 от MWC 342 найдено 5 звезд, усреднение параметров поляривации которых дало следующие результаты:  $p_B(IS) = (4.3 \pm 0.3)^{0}/_{0}$ ,  $\theta(IS) = 112^{\circ} \pm 5^{\circ}$ .

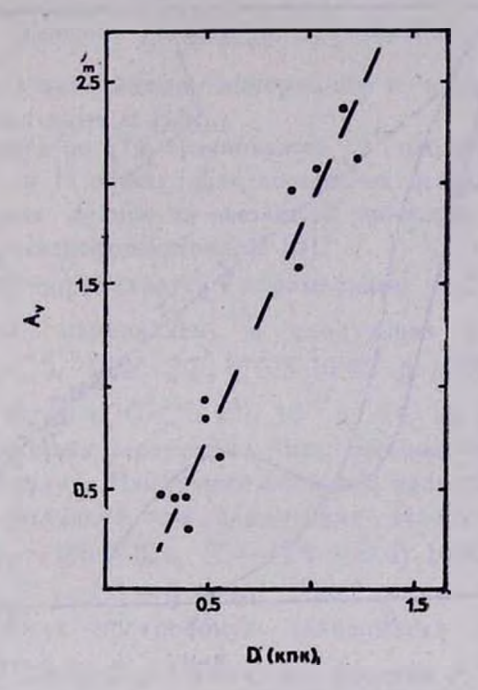
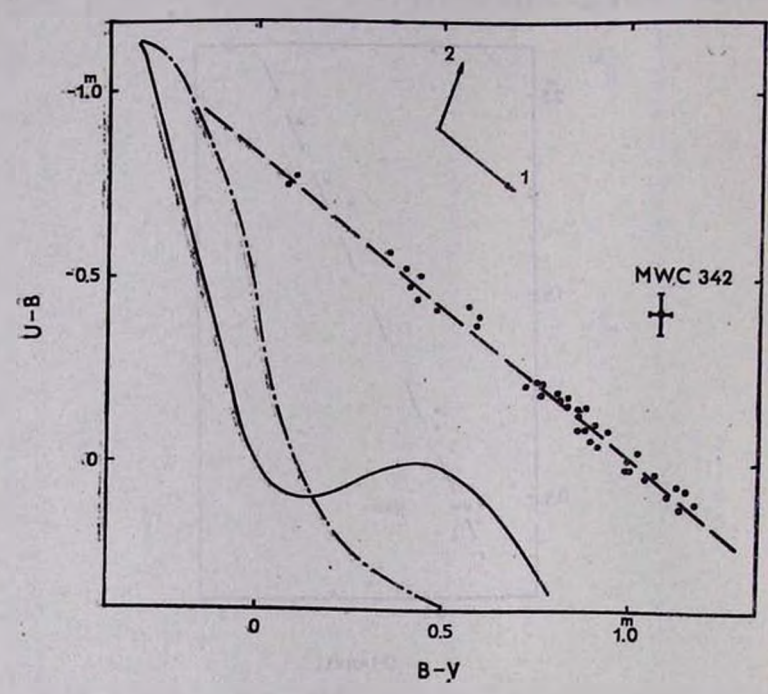


Рис. 2. Зависимость межэвездного поглощения от расстояния в ближайшей окрестности MWC 342.

4. Интерпретация распределения внергии в спектре (РЭС) MWC 342. Будем считать, что околоявездное поглощение обусловлено в основном пылевой составляющей околоявездной оболочки объекта, так как, согласно [2], наблюдающийся ИК-избыток нельяя объяснить свободно-свободным излучением газа. Кроме того, из положения МWC 342 на диаграмме (U—B) ~ (B—V) следует, что избыток излучения, вносимый газом, невелик (рис. 3). Тогда, полагая, что МWC 342 окружена прозрачной в континууме тазовой, а также пылевой оболочкой конечной оптической толщины и учитывая межявездное поглощение, попробуем аппроксимировать усредненное РЭС в котинууме от 0.36 до 5 мкм. РЭС построено по данным [2, 5, 13], а также результатам наших наблюдений (рис. 1). При этом был учтен вклад линии Н<sub>а</sub> в излучение объекта в полосе R (10%), остальные линии имеют существенно меньшие интенсивности [5] и их влияние на излучение в континуумс не учитывалось в полось в поло

Примем, что: а) фактор эффективности поглощения околозвездной пыли  $Q_{\lambda} \sim \lambda^{-1}$ ; б) закон межэвездного поглощения из [14, 15]; в) волновая зависимость ковффициента излучения газа  $k_{\lambda}$  — из [11]. Тогда:



$$F_{\lambda}^{\text{obs}} = \frac{2 h c^{2} R_{\star}^{2}}{D^{2}} \left[ B_{\lambda} \left( T_{h} \right) \exp \left( -\tau_{\lambda} \right) + C \left( 1 - \exp \left( -\tau_{\lambda} \right) \right) B_{\lambda} \left( T_{d} \right) + E \exp \left( -\frac{c h}{\lambda k T_{\star}} \right) \exp \left( -\tau_{\lambda} \right) \left( 1 + 2 \frac{\chi_{1}}{k T_{\star}} \sum_{l=1}^{\infty} \frac{\exp \left( \frac{\gamma_{l}}{k T_{\star}} \right)}{l^{3}} \right) \right] (\lambda^{2} T_{\star}^{1/2}) \right],$$

$$C = 4 y \left( R_{d}^{2} / R_{\star}^{2} \right), \qquad (2)$$

$$E = 3.9 \cdot 10^{-37} \frac{\int n_{\star} n^{+} dV}{R_{\star}^{2}}, \qquad (3)$$

где  $F_{*}^{\text{ob}}$  — наблюдаемая спектральная плотность потока излучения от системы звезда — оболочка;  $T_{*}$ ,  $T_{*}$ ,  $T_{d}$  — температуры звезды, газа и пыли соотнетственно;  $R_{*}$ ,  $R_{d}$  — радиусы звезды и пылевой оболочки; D — расстояние до звезды;  $\tau$  — оптическая толщина пылевой оболочки;  $\int n_{e} n^{-d} dV$  — мера эмиссии звезды; y — отношение объема диска и сферического слоя с одинаковыми внутренним и внешним радиусами (величина, введенная нами в [16]).

РЭС, рассчитанное по (1), сравнивалось с наблюдаемым, нормированным к полосе V, в 15 точках. Для построения последнего использовались фотометрические данные из настоящей работы, а также из [2, 13] для полос L и M, и спектрофотометрия из [5].

Расчетное РЭС определяется 7 параметрами:  $A_V$ ,  $\tau_V$ ,  $T_*$ ,

Теперь, используя построенную зависимость  $A_{\nu} \sim D$ , оценим расстояние до MWC 342: D=1.1 кпк. Из средних  $F_{\lambda}^{\text{obs}}$  и соответствующих расчетных величин в скобках правой части (1) получим оценку  $R_{\bullet}=3.7\cdot 10^{11}$  см. Найденные значения  $T_{\bullet}$  и  $R_{\bullet}$  соответствуют спектральным классам B0-B0.5 ZAMS, как и определенная из (3) мера вмиссии  $\sim 10^{60}$  см $^{-3}$  [17].

Расчет относительных вкладов в излучение объекта газовой и пылевой составляющих оболочки, показывает, что при  $\lambda < 2$  мкм РЭС определяется излучением звезды и газа, а при  $\lambda > 2$  мкм — излучением пыли. Вклад газа в излучение объекта в полосе V ( $\Delta V_g$ ) около 30% (см. рис. 1). Оценим  $M_V$  звезды с учетом этого вклада:

$$M_V = V - A_V + \Delta V_g + 5 - 5 \lg D,$$
 (4)

$$A_{\nu} = A_{\nu} + 1.086 \tau_{\nu}. \tag{5}$$

 $M_v$  получается равным — 3  $^m$  3, что соответствует B0 ZAMS [17] и подтверждает результаты, приведенные выше.

5. Исследование переменности объекта. В результате выполненных наблюдений обнаружена переменность блеска звезды, не превышающая 2—178

0.65 в каждой из фотометрических полос (рис. 4). На кривых блеска в оптическом диапазоне ваметны плавные изменения, исследование которых на периодичность методом Диминга [9] показало, что они имеют период 132<sup>d</sup>. Их амплитуда уменьшается в красную область спектра. Кроме того, существует тенденция к антикорреляции изменений блеска в полосах U и K (рис. 5a). На основании втого можно предположить, что эта периодич-

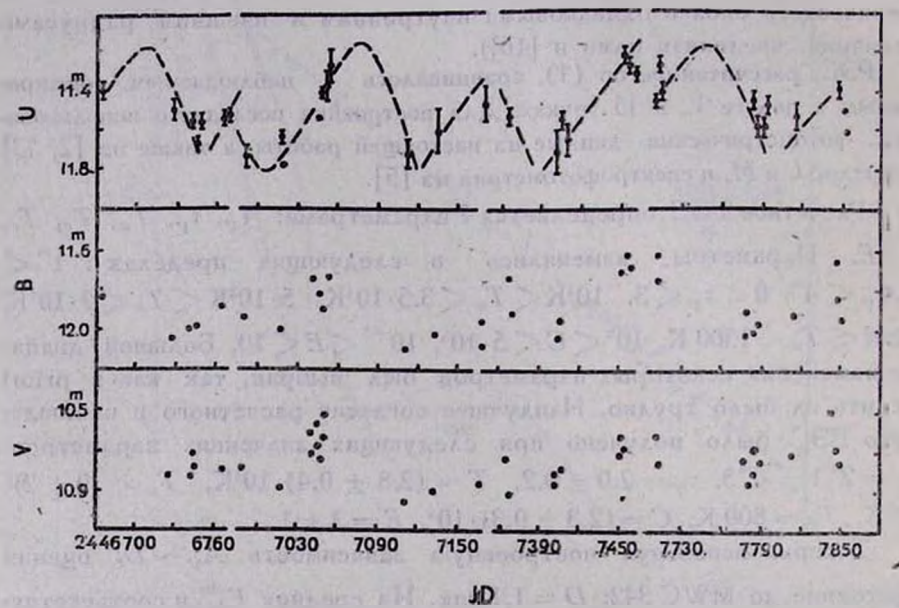


Рис. 4. Кривые блеска MWC 342 в оптическом диапазоне.

ность связана с процессами в пылевой оболочке МWC 342. Вероятно, происходит периодическое изменение оптической толщины пыли на луче зрения. Нечеткая U-K антикорреляция говорит о существовании нерегулярных изменений блеска, накладывающихся на регулярный процесс; к тому
же изменения блеска в полосе K должны быть в несколько раз меньше,
чем в U, ив-за уменьшения оптической толщины с ростом длины волны.
У звезд с алголеподобными ослаблениями блеска типа UX Огі, тде минимумы ( $\Delta V \sim 2^m - 3^m$ ) обусловлены затмениями звезды пылевыми образованиями [28], в доказательство втого приводят диаграммы «цвет—всличина»: (U-B)  $\sim V$ , (B-V)  $\sim V$  и др. В нашем случае вследствие мелости изменений блеска целесообразнее рассмотреть диаграмму с болсе
удаленными по длинам волн полосами, например, (U-R)  $\sim U$  (рис. 5b).
На ней хорошо заметно покраснение звезды є падением блеска.

Поляривация излучения MWC 342 также переменна (табл. 3). Переменность, как видно из рис. 6b, связана с изменениями блеска с периодом:

132<sup>d</sup>, причем период изменения поляризации в 2 раза меньше. Поляризация возникает, видимо, в основном в пылевой оболочке, как и у других подобных объектов (см. раздел 6) .К этому же выводу пришли и авторы [29], исследуя зависимость степени поляризации МWC 342 от длины волны. Необычно то, что минимумы поляризации приходятся как на максимумы, так и на минимумы блеска. Очевидно, наряду с изменениями оптической толщины существенный вклад в переменность поляризации вносит

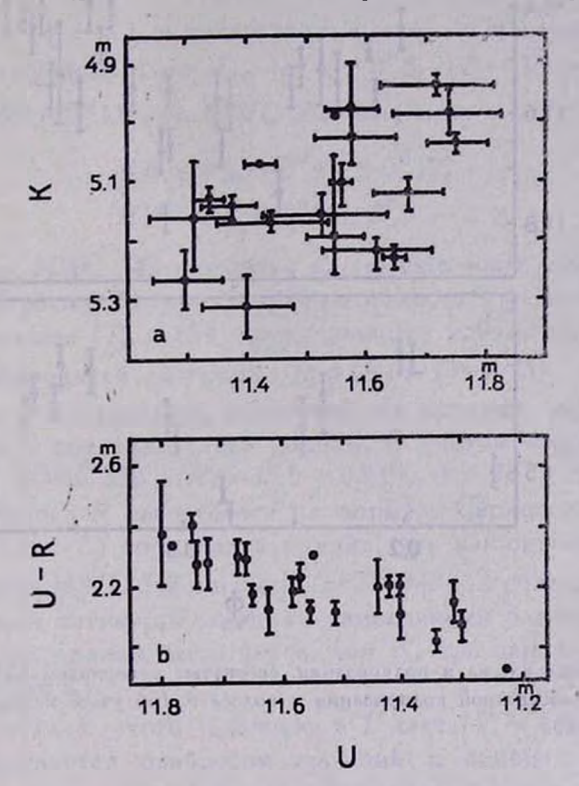


Рис. 5. а—наменения блеска MWC 342 в полосах U и K. (На рисунке не намесены наблюдения 1989 г., так как в это время произошло увеличение блеска объекта в ИК-днапазоне. При втом характер зависимости  $U \sim K$  сохранился), b—днапрамма «цвет»—величина»  $(U-R) \sim U$ .

изменение проекции геометрических характеристик оболочки на луч эрения. Отметим, что вид зависимости, изображенной на рис. 6b, одинаков как для наблюдаемой поляризации, так и собственной (после учета межзвездной — раздел 3).

Недостаток наблюдений не повволяет сделать более определенные выводы: нет наблюдений на фавах 0.05—0.2 132<sup>d</sup>-периода; мало их в макси-

муже цикла, что создает некоторый произвол в определении его моментов, а, следовательно, и фаз периода.

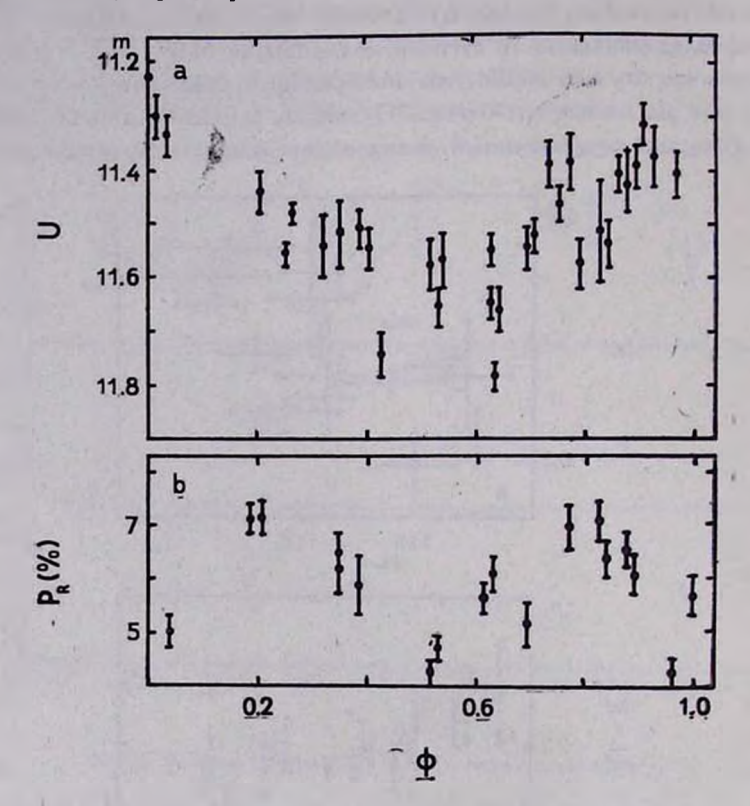


Рис. 6. Кривые блеска и поляризации, свернутые с периодом  $132^d$ ; а — для полосы U; b — для собственной поляривации в полосе R (об учете межавездной поляризации — в разделе 6).

6. Эволюционный статус MWC 342. Основными особенностями излучения MWC 342 являются: УФ- и ИК-избытки, наличие в спектре эмиссионных линий (в частности, очень сильной Н<sub>а</sub> [5]), ранний спектральный класс. Тажими признаками обладают звезды Ae/Be Хербига. К втой группе звезд MWC 342 не была отнесена, вероятно, из-за отсутствия вблизи нее наблюдаемой туманности. Но наличие свидетельств существования околозвездной оболочки уже может ставить вопрос о молодости объекта. Одним из признаков звезд Ae/Be Хербига является их расположение в областях звездообразования. Вблизи МWC 342 находится группа молодых звезд: BD + 40°4124, Lh H a 224 и 225, что говорит о недавнем звездообразовании в этом районе.

В последнее время был разработан ряд количественных критериев выделения молодых звезд [18, 19]. Для их применения требуются оценки  $A_V$  и спектрального класса объекта, что было получено в разделе 4. В [18] дан фотометрический критерий отбора звезд Ae/Be Хербига:

$$\begin{cases} (B-V)_0 < 0^m 4, \\ i^m < (V-K)_0 < 4^m, \end{cases}$$
 (6)

где  $(B-V)_0$  и  $(V-K)_0$  — показатели цвета, исправленные за межзвездное поглощение. При  $A_V=2^m1\pm0^m3$ ,  $(B-V)=1^m16\pm0^m05$ ,  $(V-K)=5^m64\pm0^m11$  для MWC 342 получаем:

$$\begin{cases} (B-V)_0 = 0^m 47 \pm 0^m 12, \\ (V-K)_0 = 3^m 5 \pm 0^m 3. \end{cases}$$
 (7)

Таким образом, MWC 342 находится на границе зоны, занимаемой звездами Ae/Be Хербига. Поскольку неопределенность в величине  $A_V$  значительная, то согласие (7) и (8) можно признать удовлетворительным.

В [19] приводится диаграмма  $\lg p(R) \sim (V-L)_{eh}$ : избытка цвета, вносимого околозвездной оболочкой, на которой молодые звезды располагаются в пределах узкой полосы. С учетом межзвездной поляризации для MWC 342  $p(R) = (5.5 \pm 0.8)^0/_0$ ,  $\theta = 20^\circ \pm 8^\circ$  (переход от полосы B к полосе R выполнялся по формуле Серковского). Корректное значение (V-L) определить трудно, так как опубликовано лишь одно наблюдение MWC 342 в полосе  $L=2^m$ . 99 [2]. В полосе L также должна проявляться антикорреляция с изменениями блеска в полосе U. Кроме того, она должна быть четче, чем K, так как вклад пыли в L больше ( $T_d=800$  K).

Использование этого значения в L дает  $(V-L)=7^m77\pm0^m11$  (ошибка определяется разбросом значений в полосе V). Для спектрального класса  $\mathrm{BO}(V-L)=-0^m98\,[13],\ (A_V-A_1)=2^m1\pm0^m3.$  Тогда  $(V-L)_{sh}=(V-L)-(V-L)_0-(A_v-A_1)=6^m6\pm0^m3.$  В результате MWC 342 оказывается вблизи полосы молодых звезд.

Отметим, что направления собственной и межзвездной поляризации почти перпендикулярны, а степени сравнимы. Повтому даже небольшая переменность собственной поляризации приводит к значительным изменениям наблюдаемых значений степени и угла, а также неточность в определении межзвездной поляризации влияет на величину собственной. Приведенные значения p(IS) дали звезды с максимальной поляризацией в окрестности звезды. Уменьшение p(IS) приводит к уменьшению значений собственной поляризации и приближению МWC 342 к полосе молодых звезд.

7. Заключение. В предыдущем разделе было показано, что по своим фотометрическим, поляриметрическим и спектральным характеристикам МWC 342 принадлежит к группе звезд Ае/Ве Хербига. Отметим ряд других особенностей объекта.

Изучение переменности блеска показало, что плавные регулярные изменения в оптическом днапазоне, вероятно, можно объяснить процессами, связанными с пылевой оболочкой объекта. Кроме этого, существует нерегулярная составляющая, наблюдаемая, в основном, в полосах І и Н, которая может возникать из-за нестационарности процессов, происходящих в системе (например, аккреции вещества из околозвездной оболочки, этеляного ветра). О последнем говорит и переменность вмиссионных линий [4, 5]. Проведение спектральных наблюдений с высоким разрешением квазисинхронно с фотометрией и поляриметрией необходимо в дальнейшем для уточнения природы переменности объекта.

Собранные нами результаты фотографических наблюдений МWC 342 в разные годы (см. табл. 1) показывают, что диапазон переменности звезды несколько больше, чем в последние годы. Так, обработка пластинки, полученной с объективной призмой в 1965 г. на Крымской станции ГАИШ, показала, что блеск МWC 342 вблизи 550 нм был почти на  $1^m$  ярче, чем обычно. Этот результат получен по нескольким стандартам и сомнений не вызывает. Другое значение  $V=10^m$  35, полученное в июле 1969 г., приведено в [25]. Через 3 месяца после этого наблюдалось  $V=10^m$  60 [22]. Поскольку других наблюдений в этот период, видимо, не было, то нельзя ничего сказать о временном масштабе этих вспышек. Нужны дальнейшие регулярные наблюдения МWC 342 для выявления подобных особенностей.

Перечислим основные результаты работы:

- 1. Обнаружена переменность блеска MWC 342 в диапазоне 0.36—2.5 мкм, а также поляризации излучения в оптической области.
- 2. Найдена периодическая составляющая изменения блеска в полосах UBVRI с периодом 132<sup>d</sup>.
- 3 .По своим наблюдательным проявлениям MWC 342 попадает в группу звезд Ae/Be Хербига.
- 4. Предложена модель объекта, объясняющая его РЭС в диапазоне 0.36— 5мкм. Оценен ряд усредненных параметров звезды и околозвездной оболочки.
  - 5. Отмечены особенности МWC 342, не выделявшиеся ранее.

По нашему мнению, следует продолжать исследование MWC 342. Кроме квазисинхронных фотометрических, поляриметрических и спектральных необходимы и ИК-наблюдения в диапавоне 2—20 мкм, радионаблюдения.

1317

Авторы благодарят В. П. Архипову и А. П. Ипатова за предоставление дополнительных неопубликованных материалов наблюдений МWC 342 и полезные обсуждения в процессе подготовки работы.

Главная астрономическая обсерватория АН СССР Астрофизический институт АН Каз.ССР

#### MWC 342 - A YOUNG STAR

Yu. K. BERGNER, A. S. MIROSHNICHENKO, I. S. SUDNIK, R, V. YUDIN, N. Yu. YU TANOV, A. A. KRIVISOV, A. N. SOKOLOV, K. S. KURATOV, D. B. MUKANOV

The results of UBVRIJHK—photometric and  $VRIH_{\alpha}$ —polarimetric observations of MWC 342 are presented. The photometric (with periodical part) and polarimetric variability are discovered. Supposing the model of hot star surrounded by the gas—dust shell some parameters of the star and the shell, and interstellar extinction are evaluated. The conclusion that MWC 342 is Herbig Ae/Be star is made using the quantitative criteria.

#### ЛИТЕРАТУРА

- 1.P. W. Merrill, C. G. Burwell, Astrophys. J., 78, 87, 1933.
- 2. D. A. Allen, Mon. Notic. Roy. Astron. Soc. 161, 145, 1973.
- 3. P. Kleinmann, L. Kuhi, Publ. Astron. Soc. Pacif., 84, 766, 1972.
- 4. N. Brosch, E. Leibowitz, N. Spector, Astron. and Astrophys., 65, 259, 1978.
- 5. В. П. Архипова, А. П. Ипатов, Письма в Аспрон. ж., 8, 554, 1982.
- 6. P. Swings, O. Strave, Astrophys. J., 97, 194, 1943.
- 7. Th. Neckel, G. Klare, Astron. and Astrophys. Suppl. Ser, 42, 251, 1980.
- 8. Ю. К. Бергнер, С. Л. Бондаренко, А. С. Мирошниченко в др., Изв. ГАО АН СССР, 205, 142, 1988.
- 9. T. J. Deeming, Astrophys. and Space Sci., 36, 137, 1975.
- 10. Н. Б. Каландадзе, Л. Н. Колесник, Астрометрия и аспрофизика, 32, 57, 1977.
- 11. В. В. Соболев, в кн. «Курс теоретической астрофизики», Наука, М., 1985.
- 12. J. S. Hall, Publ. US Naval Observ., 17, 275, 1958.
- 13. F. J. Low, AFCRL-70-0179, 1970.
- 14. J. Koorneeff, Prepr. ESO, No 226, 1983.
- 15. И. Суджюс, Бюл. Вильн астрон. обсерв, No 39, 18, 1974.
- 16. Ю. К. Бергнер, А. С. Мирошниченко, Р. В. Юдин и др., Письма в Астрон. ж., 14, 616, 1988.
- 17. N. Panagia, Astron. J., 79, 929, 1973.
- 18. А. А. Криецов, Н. Ю. Ютанов, Изв. ГАО АН СССР, 205, 74, 1988.
- 19. Р. В. Юлин, Астрон. циркуляр, N1491, 1, 1987.
- 2). J. Swings, Astron. and Astrophys. Suppl. Ser., 43, 331, 1981.

- 21. N. Panagia, Space Telescope Inst. Prepr. No 203, 1987.
- 22. T. A. Lee, Publ. Astron. Soc. Pacif, 82, 765, 1970.
- 23. W. A. Hütner, Astrophys. J. Suppl. Ser., 2, 389, 1956.
- 24. В. Страйжис, в кн. «Многоцветная фотометрия звезд», Мокслас, Вильнюс, 1977.
- В. И. Ворошилов, Н. Г. Гусева, Н. Б. Каландалзе и др., Каталог ВV-величин и спектральных классов 18000 звезд, Наукова думка, Киев. 1976.
- 26. T. Simon, Astron. J., 79, 1054, 1974.
- 27. D. Y. Gezari, M. Schmitz, J. M. Mead, NASA Ref. Publ., No 1196, 1986.
- 28. Н. Н. Вощинников, В. П. Гринин, Н. Н. Киселев, Н. Х. Минникулов, Астрофизика, 28, 311, 1988.
- 29. F.- J. Zickgraf, R. E. Shulte-Ladbeck, Astron. and Astrophys., 214, 274, 1989.

## АСТРОФИЗИКА

TOM 32

АПРЕЛЬ, 1990

ВЫПУСК 2

УДК: 524.335-54

## НАБЛЮДЕНИЯ ФУОРОВ. II. КРИВАЯ БЛЕСКА V 1515 ЛЕБЕДЯ, ФУРЬЕ-АНАЛИЗ МЕЛКОМАСШТАБНОЙ СОСТАВЛЯЮЩЕЙ

М. А. ИБРАГИМОВ, В. С. ШЕВЧЕНКО

Поступила 23 декабря 1988 Принята к печати 10 января 1990

Анализируются UBVRI-фотовлектрические наблюдения фуора V 1515 Суд, полученные за 486 наблюдательных ночей в 1981—1987 гг. Методом фурье-анализа найден квазипериод переменности  $9^d$ . 7 или  $19^d$ . 4 с амплитудой от  $0^m$ .05 до  $0^m$ .30 (в среднем  $0^m$ .15). По пластинкам ташкентской фототели дополнительно получены фотометрические оценки блеска за период 1967—1970 гг. Из анализа сводной кривой блеска отмечены среднемасштабные изменения с амплитудой до 1.5 B. Оценены расстояние до фуора -1000 пк, его радвус—13  $R_{\odot}$  и светимость  $M_V = -0^m$ .5  $\pm 0^m$ .5.

1. Введение. В [1] мы уточнили крупномасштабную кривую блеска фуора V 1057 Суд и обратили внимание на вероятные 12-суточные квазипериодические изменения блеска с амплитудой порядка 0 м 1 V. Настоящая работа посвящена фуору V 1515 Суд, отличающемуся от FU Огі и V 1057 Суд в частности тем, что амплитуда мелкомасштабных изменений блеска у него намного больше, а на крупномасштабной кривой блеска встречаются неправильные колебания, превышающие 1 м В настоящей работе мы также проанализировали мелкомасштабную переменность и с помощью фурье-анализа нашли квазипериодическую переменность с характерным временем около 9.47 и амплитудой 0 м 2 V.

Рассмотрев кривую блеска V 1515 Суд, приведенную Венцелом и Гесснером [2], Хербит [3] впервые отнес эту переменную к типу FU Ориона. Анализу фотографических наблюдений посвящена работа [4]. Сведения о первых фотовлектрических наблюдениях V 1515 Суд приведены также Ландольтом [5], Цветкова [6—8] по результатам фотографической UBV-фотометрии построила сводную кривую блеска за эпоху 1975—84 гг., обратив внимание на ослабление блеска 1980 г. Регулярные спектральные и фотовлектрические UBV-наблюдения V 1515 Суд начали с 1978 г. Петров и Колотилов [9—11], на телескопах КрАО АН СССР и Южной стан-

ции ГАИШ. Они привели новые определения спектрального класса V 1515 Суд и ряд *UBV*-измерений 1978—1982 гг.

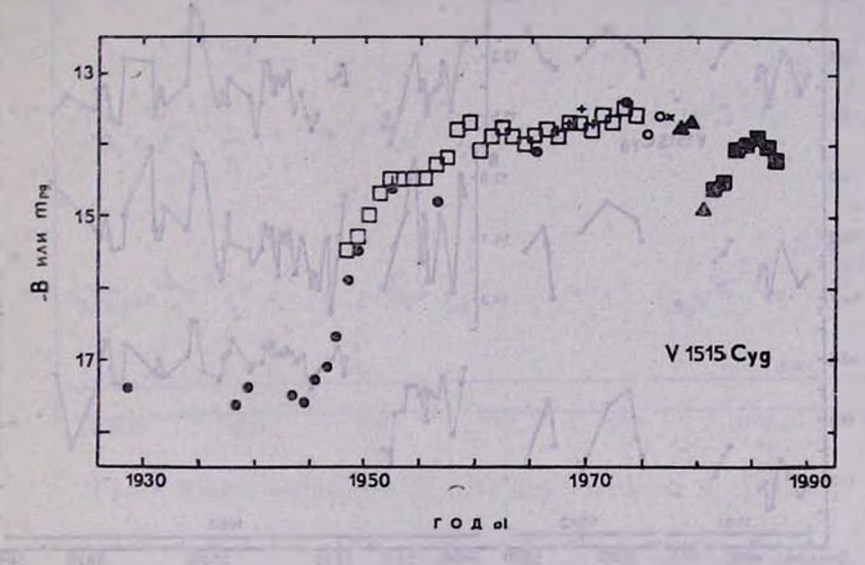
Фотовлектрическая UBVR(i)-фотометрия этого фуора ведется в Высокогорной майданакской экспедиции АИ АН Уэб.ССР с 1981 г. [12]. Плотные ряды наблюдений получены на Майданаке в 1983, 1984, 1985, 1986 и 1987 гг. Эти ряды, содержащие существенную мелкомасштабную составляющую, были проанализированы на ЭВМ по программам фурьевнализа, причем найден 9-суточный квазипериод. Мы также оценили радиус и светимость фуора и уточнили крупномасштабную кривую блеска.

2. Фотографические наблюдения 1967—1970 гг. и крупномасштабная кривая блеска. Сводная кривая блеска, приведенная Хербигом [3], кроме большой дисперсии вблизи максимума блеска и очень медленного крупномасштабного подъема, продолжавшегося с 1947 г. по 1952 г., имеет еще ряд отличий от «классических» фуоров FU Ori и V 1057 Суд, так что некоторые авторы высказывали сомнения в принадлежности этой звезды к классу фуоров. Воспользовавшись данными [2—12], мы также построили сводную кривую блеска V 1515 Суд, усреднив все имеющиеся фотографические и фотоэлектрические наблюдения в системе В за каждый год. Два ряда фотографических наблюдений, приведенных Хербигом [3], усреднены. Поскольку в нашем распоряжении оказались пластинки, полученные на ташкентском короткофокусном астрографе в 1967—1970 гг., мы дополнительно получили оценки блеска за втот период.

Применявшийся инструмент и система эмульсия — фильтр для реализации фотометрической системы  $m_{pg}$  описаны в [1]. Оценки блеска фуора V 1515 Суд проводились по тем же пластинкам, по которым в [1] оценивались величины фуора V 1057 Суд, который на втой серии пластинок накодился вблизи центра пластинки. Переменная V1515 Суд оказывалась у самого края. Поэтому из-за ограничения рамкой фильтров не удалось получить оценки  $m_{pv}$  и  $m_{pr}$ , и к тому же при предельной величине на пластинках  $\sim 15^m$  индивидуальная ошибка в оценке блеска достигает  $\pm 0^m 2$ . По усреднении же 5—50 измерений значения имеют ошибку менее  $0^m 1$ . Ниже приводятся усредненные по годам результаты фотографической фотометрии V 1515 Суд по пластинкам фототеки АИ АН Узб.СССР.

0,180	Таблица 1					
Год	m <sub>pg</sub>	n-m				
1967	137.8	26-18				
1968	13.7	51—34				
1969	13.5	5-4				
1970	13.7	17-5				

В последней колонке первое число *п* обозначает общее количество наблюдений, второе *т*— число ночей, по которому произведено усреднение. На рис. 1. приведена сводная кривая блеска V 1515 Суд, построенная авторами по опубликованным до 1988 г. наблюдениям. Из втого рисунка следует, что в впоху 1967—70 гг. звезда продолжала медленно повышать свой блеск до максимального уровня 13<sup>т</sup>5 в 1969 г. Затем, в 1970 г. произошло незначительное ослабление блеска фуора на 0 <sup>т</sup>2. Чередование подъемов и спадов блеска, как видно из рис. 1, является весьма характерной особенностью фотометрического поведения звезды как в период крупномасштабного подъема блеска, так и в послемаксимальный период, который, по-видимому, начался у звезды в 1974 г.



Рыс. 1. Сводная кривая блеска V 1515 Суд в фотографических лучах, построенная по данным Венцела, Гесснера, Хоффлит [2, 3] — П. Готтлиба, Лиллера [4] — Стона [3] и Ландольта [5] — С. Цветковой [6—8] — х. Колотилова и Петрова [9—12] — Д. Фотографические оценки авторов обозначены — Н. а фотовлектрические — П.

3. Фотовлектрические наблюдения 1981—1987 гг. Регулярная программа фотовлектрических UBVR-наблюдений фуора V 1515 Лебедя в АИ АН Узб.ССР ведется с 1981 г. на горе Майданак на 0.6-м рефлекторе Цейсса и 0.48-м рефлекторе АЗТ-14 Высокогорной экспедиции АИ АН Узб.ССР с идентичными фотометрами на счете импульсов. Кроме авторов в фотовлектрических наблюдениях по одной программе принимали участие Л. Н. Бердников, А. В. Безверхов, В. П. Кулешов, С. Ю. Мельников, Э. Г. Тимофеев, А.В. Чернышев, А. Ф. Шаймиева, Н. А. Шутемова и С. Д. Якубов. Всего с 1981 г. по конец 1987 г. получено 486 фотовлектрических оценок блеска фуора. Точность значений величин U, B, V, R определялась статистикой импульсов в этих полосах. В связи с малой статистикой импульсов в полосе U ошибка в определении цвета (U—E) достигает 0 то 9 (в среднем ± 0 то 35), тогда как погрешности в определении

цветов (B-V) и (V-R) составляют соответственно  $0^m02$  и  $0^m01$ . Кривые блеска в полосах B, V, R для периода 1981-86 гт. приведены на рис. 2-4.

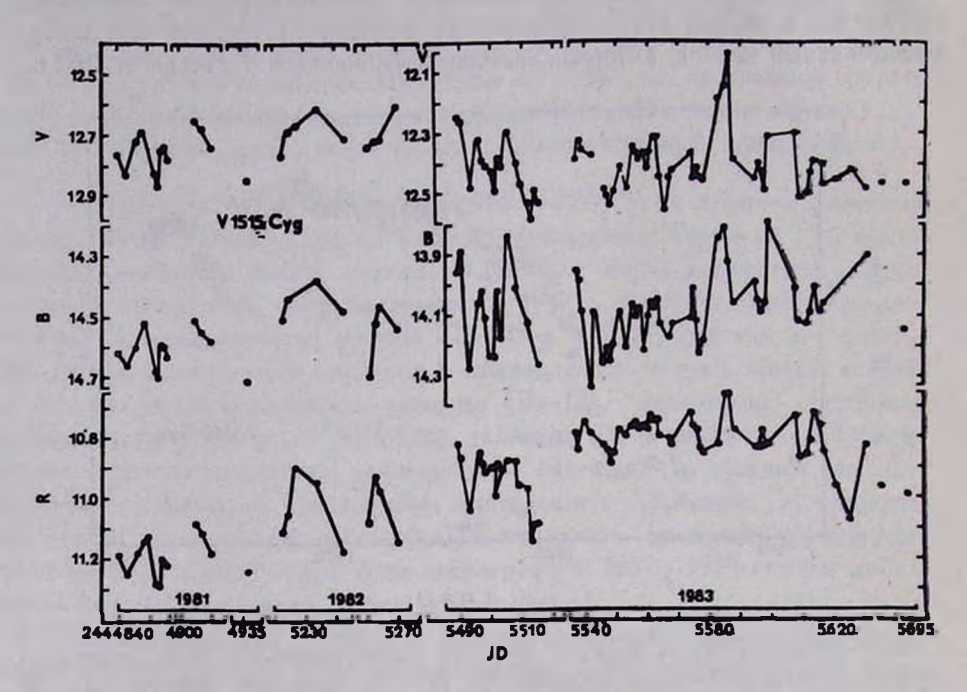


Рис. 2. Кривые блеска фуора V 1515 Суд в фильтрах B, V, R.

Наши фотоэлектрические измерения охватывают период подъема блеска V 1515 Лебедя, последовавшего вслед за сильным ослаблением звезды на  $\sim 1.5~B$ , (см. рис. 1) в 1980 г. [6, 10, 11]. На фоне отмеченного неуклонного подъема блеска звезды хорошо заметны его мелкомасштабные квазипериодические изменения, присутствующие во все сезоны наблюдений.

В 1983 и 1985 гг. амплитуда мелкомасштабных изменений достигает 0.<sup>m</sup>4 V. Ниже мы приводим сводку наблюдений 1981—1987 гг.

Для оценки изменений в цвете (U-B) мы отбрасывали по 2 минимальных и максимальных значения (U-B), а также те значения, которые основаны на малой статистике импульсов.

На самом деле можно заподоврить из анализа кривой блеска V 1515 Суд, построенной по фотографическим и фотовлектрическим наблюдениям 1966—1987 гг., существование среднемасштабных изменений блеска с амплитудой около 1 и характерным временем около 7 лет. В мелкомасштаб-

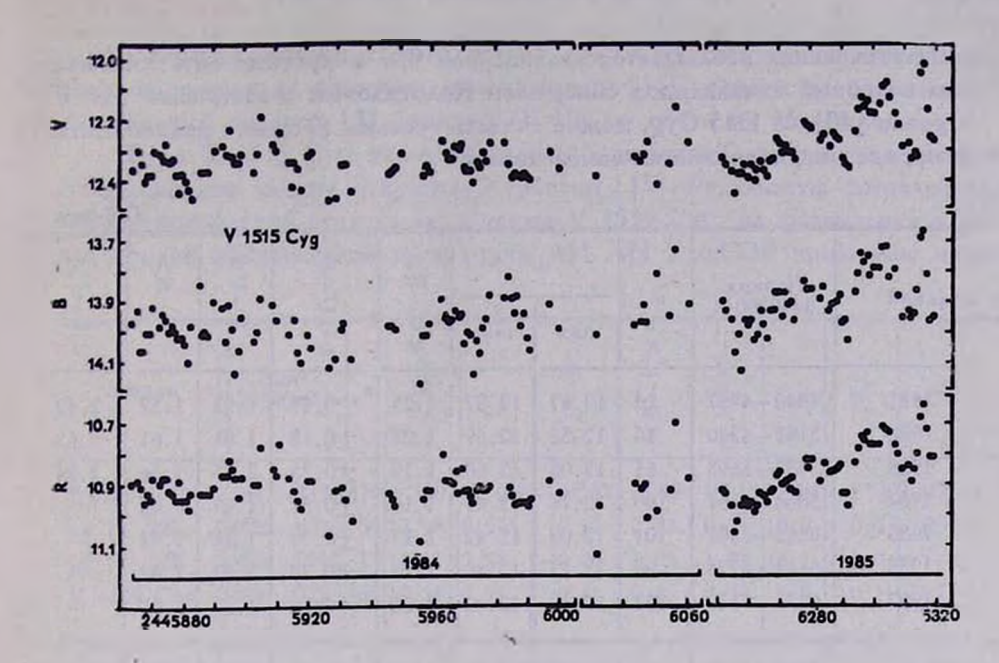


Рис. 3. Кривые блеска фусра V 1515 Суд в фильтрах В. V. R.

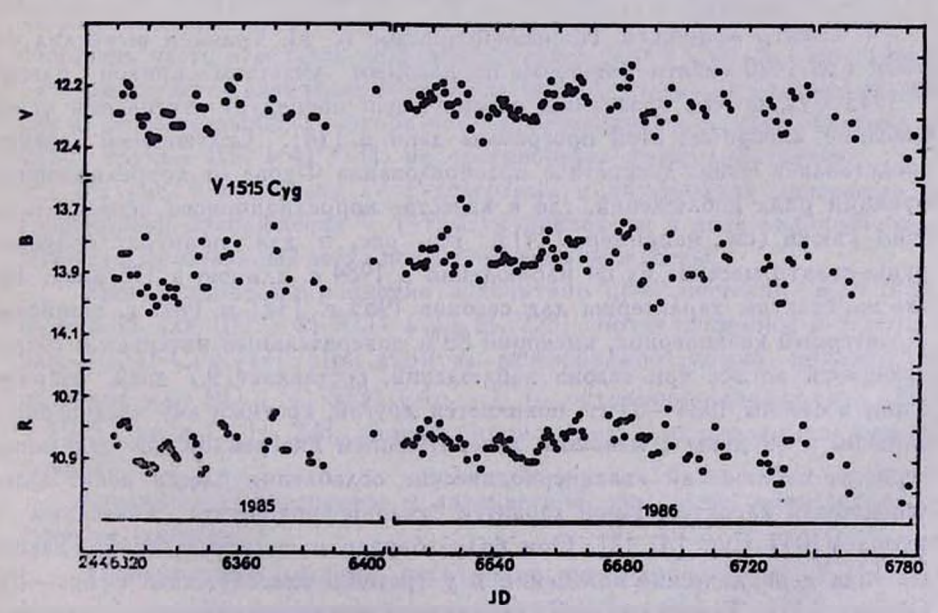


Рис. 4. Кривые блеска фусра V 1515 Суд в фильтрах В. V. R.

1987

Итого:

6956-7125

4840-7125

ных изменениях наблюдается квазипериод 9. 7 и кратные ему. Учитывая. что подобный квазипериод обнаружен Колотиловым и Петровым для FU Ориона [13], V 1515 Cyg, можно считать третьим фуором с мелкомасштабными квазипериодическими изменениями.

Таблица 2

-BV 8> V-R> 7 Период 2440000+ TOA n S min max 1981 4840-4937 12.67 12.87 1.25 +0.25 1.92 1.57 2.42 14 1982 5192-5240 12.52 12.69 1.23 ±0.18 1.81 1.61 2.63 10 1983 5487-5695 1.19 +0.28 1.75 1.56 2.54 61 12.06 12.60 1984 5864-6061 100 12.16 12.47 1.16 +0.32 1.67 1.46 1985 1.44 6252 - 6402101 12.02 12.42 1.17 +0.19 1.64 1986 6612-6776 12.13 12 40 1.15 +0.23 1.62 1 42 98

12.62

12.87

1.22

1.19

+0.18

+0.95

1.68

1.69

1.60

1.50

2.53

12.40

12.02

102

486

4. Спектр мощности. По нашей просьбе К. Н. Гранкин вычислил на ЭВМ СМ-1420 спекто мощности по плотным участкам кривой V 1515 Cyg по его программе, реализующей процедуру стягивания окна; описание алгоритма втой программы дано в [14]. Стлаженный спектр представляет собой дискретное преобразование Фурье от корреляционной функции ряда наблюдений, где в качестве корреляционного использовано окно Тьюки (см., например, [14]). На рис. 5 для примера приведен фурье-спектр массива из 84 наблюдений в 1984 г. длиною в 138 дней. Такие же спектры характерны для сезонов 1983 г. [12] и 1985 г. Наиболее характерный квазипериод, имеющий 80% доверительный интервал и сохраняющийся во все три сезона наблюдений, составляет 9.7 дней. Наряду с ним в сезоны 1984—85 гг. появляется другой, кратный ему квазипериод, бливкий к 19 дням с меньшим доверительным интервалом. В отдельные периоды наблюдений квазипериодические ослабления блеска носят алголеподобный характер. Иной характер квазипериодических колебаний у фуора V1057 Cyg [1, 12]. Они более близки к синусондальным. Такого же типа периодические колебания и у третьего классического фуора-FU Ориона [13]. Таким образом, мелкомасштабная переменность с квазипериодом от 10 до 20 дней, видимо, является характерной чертой послевспышечного фотометрического поведения фуоров.

5. Оденка радиуса и светимости V 1515 Суд. Эта оценка может быть сделана, поскольку иввестен спектр звезды [11], причем по сравнению с предыдущей оценкой [3] (ранний GI-II) он почти не изменился.

Фуор V 1515 Суд является членом компактной группы, содержащей 3 эмиссионные звезды, открытые Хербигом [15]. Результаты фотоэлектрических фотометрий этих звезд, а также V 1515 Суд, на фотометрах в Высокогорной майданакской экспедиции АИ АН У26.ССР приведены ниже.

Таблица 3

Звезда	Эпоха 2440000+	n	< <b>V</b> >	Δ V	<u-b></u-b>	<b-v></b-v>	< V-R>	7°	M	Sp
BD+41°3731	5847—7125	410	9".887	07028	-0 <sup>22</sup> 47	07.08	0713	87.9	-171	B23
Lk H, 228	6628-6730	36	12.96	0.085	0.21	0.83	0.77	10.0	0.0	B9?
Lk H <sub>a</sub> 229	6630 -6712	11	16.11	2.34	-0.86	1.03	1.72	15.	+5.0	_
V 1515 Cyg	4840 — 7125	486	12.35	0.85	0.49	0.85	0.80	9.5	-0.5	G 2-5: I-II

Для V 1515 Суд в последней строке приведены показатели цвета, исправленные за межзвездное покраснение, либо за покраснение в оболочке. По-видимому, группировка, содержащая фуор V 1515 Суд, входит как составная часть в область звездообразования RSF4 Суд А [16], центром которой является скопление NGC 6910. В втом случае расстояние до области и, соответственно, до фуора — 1 кпк. Результаты, взятые отдельно для малой группы BD + 41°3731, не противоречат этому расстоянию.

На рис. 6 приведена Г—Р-диаграмма и двухцветная диаграмма для группировки. Наблюдения V 1515 Суд приведены в виде индивидуальных точек, а для остальных звезд все наблюдения усреднены.

Межзвездное покраснение рассчитано при значении  $R_0=3.30$  и  $R_0=3.35$  для BD  $+41^\circ3731$  и Lk  $H_z$  228, соответственно, и  $R_0=3.58$  для V 1515 Cyg [17]. При этом за межзвездное можно принять покраснение для BD  $+41^\circ3731$  ( $A_V=1^m$ ), остальное поглощение света V 1515 Cyg и Lk  $H_a$  228, видимо, происходит в их околозвездных оболочках.

Анализ Г—Р-диаграммы и двухцветной диаграммы приводит к следующим выводам:

1) Вероятный модуль расстояния до группировки V 1515 Cyg  $V_0-M_V=10^m$ 0, тогда светимость V 1515 Cyg  $M_V=-0^m$ 5  $\pm$  0<sup>m</sup>5, а радиус  $R=13\pm2R_{\odot}$ . Физическая светимость фуора находится между II и III классзми, в то время как светимость, оцениваемая формально

по интенсивности специфических линий [11], может этноситься к более высокому классу (I—II). Такое явление уже отмечалось у Ае/Ве-звезд Хербига [12].

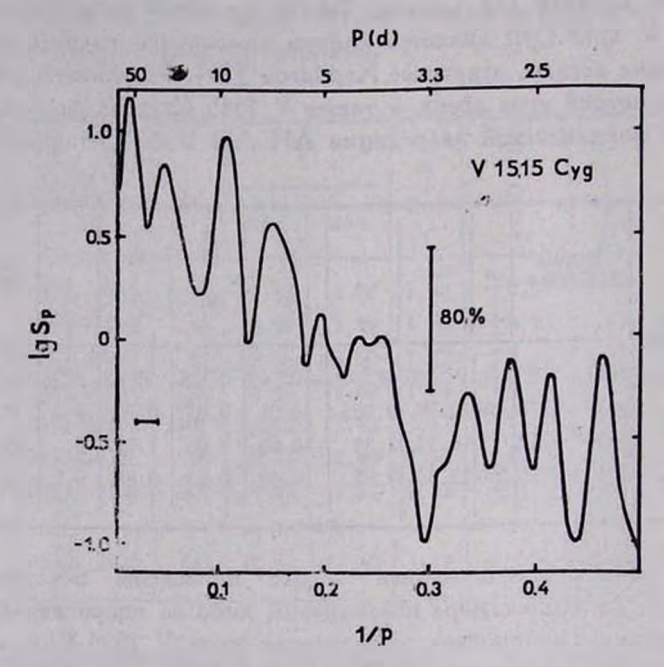


Рис. 5. Харачтерный спектр мощности фуора V 1515 Суд для массива из 84 набаюдений длинсю в 138 дней в 1984 г. Горизонтальный отрезок указывает размер ожна, а вертикальный — 80% доверительного интервала, с которым проводился расчег данного спектра мощности.

- 2) Мелкомасштабные и среднемасштабные изменения блеска V 1515 Суд происходят, вероятнее всего, за счет изменения поглощения в оболочке, причем закон поглощения в оболочке близок к нормальному ( $R_0 = 3.6$  для G 2I). Поглощение в оболочке меняется в пределах 1  $^m < A_v < 2^m 5$ , в то время как межзвездное поглощение близко к 1  $^n$ .
- 3) Квазипериодическая составляющая  $9^d$ 7 или  $19^d$  связана, скорее всего, с вращением оболочки, в которой поглощение неравномерно и меняется со временем. При вращении звезды с горячими или холодными пятнами должно наблюдаться изменение спектрального класса. Тот факт, что даже при существенном понижении блеска ( $\Delta V > 1^m$ ) спектр звезды не изменился [11], свидетельствует в пользу первой возможности.
- 4) Дисперсия в цвете (U—B) связана с изменением характеристик гавово-пылевой оболочки. Вклад ее более определенно можно оценить про-

ведя совместные фотометрические, поляриметрические и спектральные набаюдения в шпроком спектральном интервале.

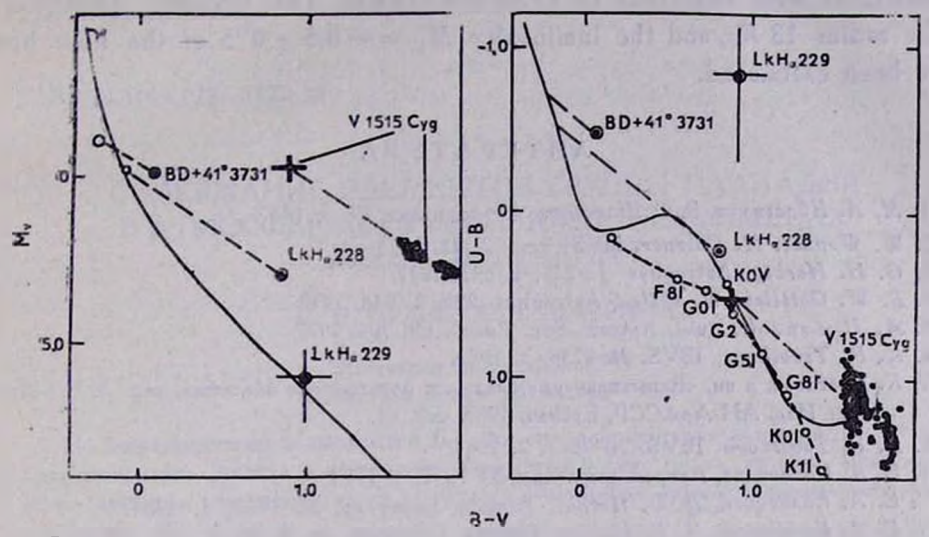


Рис. 6. Г—Р-диаграмма и двухцветная диапрамма для ввезд прушикровки, включающей фуор V 1515 Суд. Сплошной линией обозначена Главная последовательность. На двухцветной диаграмме приведена также и последовательность эвезд I класса светимости (жирные штрихи). Штриховой линией показана линия нарастающего покраспения.

5) Возможно, в среднемасштабных изменениях блеска ( $\Delta V \approx 1^m$ ) также присутствует квазипериодический член ( $P \approx 7$  лет).

Авторы благодарят астрономов, принимавших участие в фотометрических наблюдениях на горе Майданак в 1981—1988 гг., а также И. А. Бедулеву и З.И. Дмитриеву, оказавших помощь в подготовке рукописи.

Астрономический институт АН Узб.ССР

#### OBSERVATIONAL STUDY OF FUORS II. THE LIGHT CURVE OF V 1515 CYGNI. FOURIER ANALYSIS OF SMALL AMPLITUDE VARIABILITY

M. A. IBRAGIMOV, V. S. SHEVCHENKO

UBVR(i) — photometry of the Fuor V 1515 Cyg obtained by 486 observational nights in 1981 — 1987 is analysed. By Fourier-analysis method quasiperiodical variability 9.47 or 19.44 with amplitude 0.55 to 0.55 to 0.55 (in the average 0.55) have been found. Photometrici values in 1967—1970 from Tashkent's plates have been addit 3—178

onally obtained. From the analysis of total light curve average scale variations with amplitude to  $1^m5B$  are shown. The distance 1000 pc, the radius  $13~R_{\odot}$  and the luminosity  $M_{\nu} = -0.5 \pm 0^m5$  of the Fuor have been estimated.

#### **ЛИТЕРАТУРА**

- 1. М. А. Ибразимов, В. С. Шевченко, Астрофизика, 27, 5, 1987.
- 2. W. Wenzel, H. Gessner, MVS, 7, h. 2, 23, 1975.
- 3. G. H. Herbig, Astrophys J., 217, 1, 693, 1977.
- 4. E. W. Gottlieb, W. Liller, Astrophys. 225, 1. 448, 1978.
- 5. A. U. Landolt, Publ. Astron Soc. Pacif., 89, 704, 1977.
- 6. K. P. Tsvetkova, IBVS, No 2236, 3, 1982.
- 7. К. Цветкова, в кн. «Вспыхивающие звезды и родственные объекты», ред. Л. В. Мирвоян, Изд. АН Арм.ССР, Ереван, 1986, стр. 84.
- 8. K. P. Tsvetkova, IBVS, No 2617, 2, 1984.
- 9. Е. А. Колотилов, Астрон. диркуляр, № 1037, 1, 1979.
- 10. Е. А. Колотилов, П. П. Петров, Астрон. цвркуляр, № 1167, 1, 1981.
- 11. Е. А. Колотилов, П. П. Петров, Письма в Астрон. ж., 9, № 3, 171, 1983.
- 12 В. С. Шевченко, в кн. «Вспыхивающие звезды и родственные объекты», ред... Л. В. Мирвоян, Изд. АН Арм.ССР, Ереван, 1986, стр. 230.
- 13. Е. А. Колотилов, П. П. Петров, Письма в Астрон. ж., 11, 846, 1985.
- 14. Г. Дженкинс, Д. Ваттс, «Спектральный анализ и его приложения», Мир, М., 1971\_
- 15. G. H. Herbig, Astrophys. J. Suppl. Ser., 4, 337, 1960.
- 16. В. С. Шевченко, Аспрон. ж., 56, 297, 1979.
- 17. В. Л. Страйжис, Метогоцветная фотометрия ввезд, Изд-во Мокслас, Вильнюс, 1977.

### АСТРОФИЗИКА

**TOM 32** 

АПРЕЛЬ, 1990

ВЫПУСК 2

УДК 524.316.4.022—852—36

# СОДЕРЖАНИЕ ЭЛЕМЕНТОВ ГРУППЫ ПАЛЛАДИЯ В АТМОСФЕРАХ ПРОЭВОЛЮЦИОНИРОВЬШИХ ЗВЕЭД. II. РУТЕНИЙ

м. я. орлов, а. в. шаврина

Поступила 20 декабря 1989 Принята к печати 25 января 1990

По спектропраммам с дисперсней 6 А/мм методом синтетического спектра определено содержание рутения в атмосферах К-гигантов 9 Воо, р Воо, 39 Суд. Приводятся также данные о содержании этого влемента в атмосферах других проэволюционировавших эвезд.

Рутений <sup>100</sup>Ru образуется в ходе реакций *S*-процесса при захвате нейтрона атомом технеция <sup>98</sup>Tc. Определение его содержания в атмосферах звезд разных спектральных классов важно для понимания процесса нуклеосинтеза на поздних стадиях ввездной оволюции. Такие определения весьма немногочисленны.

Фой [1, 2], используя метод моделей атмосфер, получил содержания рутения для К-гиганта населения I типа У Рsc, трех К-гигантов с большими скоростями, HD 5780, HD 37763, HD 41312 и трех G, К-гигантов с малыми микротурбулентными скоростями, a<sup>1</sup>Cap, p Gru, b PsA. Комаров и Мишенина [3] методом синтетического спектра определили содержание рутения в атмосферах трех К-гигантов из рассеянного скопления Гиад, 7 Tau, 6 Tau, 8 Tau. Томкин и Ламберт [4]. Ламберт [5], Кришнасвами и Сведен [6] привели результаты для трех бариевых звезд, НК 774, Сар, НО 216219, полученные методом моделей атмосфер и синтетического спектра. Из М-гигантов исследовалась только в Ред, для которой результаты, полученные методом кривых роста (Ветешник [7]) и методом моделей атмосфер (Орлов, Шаврина [8]) по эквивалентным ширивам одних и тех же линий Rul, отличаются в ~10 раз. Смит и Уоллерстейн [9] методом кривых роста определили содержание рутения у четырех звезд классов S и SC (S UMa, R CMi, FU Mon, GP Ori).

Настоящая работа посвящена анализу содержания рутения в атмосферах трех К-гигантов, 9 Воо, р Воо, 39 Суд, по спектрограммам с

дисперсией 6 А/мм, полученным М. Е. Боярчук в фокусе куде 2.6-м телескопа Крымской астрофизической обсерватории АН СССР. Первоначально им выбрали три линии нейтрального рутения: 4584.44 А  $(a^3F-z^5G^0)$ , 4709.48 A  $(b^3F-z^3F^0)$ , 5636.24 A  $(a^5D-z^5D^0)$  c notesциалами возбуждения нижнего уровня 0.99, 1.12 и 1.05 аВ соответственно. Однако последняя линия практически совпадает по длине волны с линией Fel (5636.225 A, для которой нет надежно определенной силы осциллятора. Но даже если не включать в расчеты эту линию желева, то, принимая для линии рутения  $\lg gf = +0.19$  из [11], получим содержание рутения в исследуемых звездах на порядок ниже, чем по двум другим линиям. Если же использовать более низкое значение  $\lg gf = -1.20$  [10], то пределы содержания [Ru/H] составят — 0.65 (при включении линии железа с силой осциллятора из [10]) и + 0.35 (без нее). Повтому мы исключили из рассмотрения линию рутения 5636.24 А. Мы рассчитали синтетический спектр в области первых двух линий рутения (4582 — 4587 A и 4707 — 4712 A), включин все атомные линии из списка Куруца и Пейтремана [10], линии полосы (0.2) фиолетовой системы CN и полос (1,0), (2,1) системы Свана  $C_2$ . Линии С, (достаточно интенсивные) не вносят вклад в профили линий рутения. Были уточнены силы осцилляторов по данным новых сводок и определений. Для рассматриваемых линий Ru I мы приняли новые значения  $\lg gf$ , определенные Гуртовенко и Костыком [11]: — 0.31 (4584.44 A) и — 0.01 (4709.48 A). Расчеты моделей атмосфер проводились по программе SAM 1 [12], модифицированной в Тартуской астрофизической обсерватории АН ЭССР (были включены дополнительно молекулярные источники непрозрачности) [13].

Для контроля используемой методики и надежности принятых значений сил осциаляторов мы вначале рассчитали синтетический спектр для звезд-стандартов у Таи, в Таи и сравнили с наблюдаемыми спектрами из атласа [14] (дисперсия 3.2 А/мм). Принятые параметры атмосфер и полученные результаты приведены в табл. 1. Содержания рутения с учетом ошибок (± 0.2 dex) близки к солнечному.

Затем были рассчитаны синтетические спектры для исследуемых трех К-гигантов. Использовались параметры атмосфер из [15, 16] и содержания С, N, О из [17]. Сопоставление с наблюдаемыми спектрами показало, что содержание рутения в атмосферах 9 Воо, р Воо, 39 Суд примерно одинаково и составляет [Ru/H]  $\approx -0.15$  (табл. 1). Для сравнения в табл. 2 мы приводим результаты для других G-, К-гигантов, полученные в [1—3]. Сводка результатов определений содержания рутения в атмосферах бариевых, М- и S-звезд дана в табл. 3. Мы не включили в таблицу более старые результаты для бариевых звезд, полученные методом кривых роста [18, 19].

Таблица 1 ПАРАМЕТРЫ МОДЕЛЕЙ И СОДЕРЖАНИЕ РУТЕНИЯ В АТМОСФЕРАХ ИССЛЕДУЕМЫХ ЗВЕЗД

Звовда	Sp	T <sub>eff</sub> , K	lg g	/NX 'a	[Ru/H]	Диспер- сия	Авнии Ru I
γ Tau	KO-III ab	5000	2.1	1.7	+0.15	3.2 A/mm	4584.44, 4709.48 A
ō Tau	К 0- ІП	50 0	2.1	1.7	+0.25	99	7
9 Boo	K3 III	4200	1.5	2.3	-0.15	6 A/mm	4
p Boo	K3 III	4400	1.5	2.0	-0.15	11	,,
39 Cyg	K3 III	4400	1.7	1.7	-0-15	,,	,

Таблица 2 СОДЕРЖАНИЕ РУТЕНИЯ В АТМОСФЕРАХ ДРУГИХ G- И К-ГИГАНТОВ

Звезда	Sp	Sp [Ru/H]		Диспорсия	Аннии Rul	литера- тура	
21 Cap	G9 III	-0.40	-0.48	12.4 A/mm	не приводятся	[2]	
p Gru	G8 III	-0.10	+0.10	a			
8 PsA	G8 III	-0.80	-0.60		n	,,	
· Psc	K3 III	-0.7	-0.4	,,	u	[1]	
HD 5780	K4 III	+.02	+0.8	**		1	
γ Men	K4 III	-0.3	-0-4	41	19		
HD 41312	K3 III	-1.2	-0.6	100	Will bernell	11	
7 Tau	K 0- III ab	-0.15	-0.26	5.6 A/mm	5636.24 A	[3]	
ō Tau	K O III	+0.10	+0.10	11		,,	
s Tau	G 9.5 III	+0.05	-0.04	11		,	

Таблица 3 СОДЕРЖАНИЕ РУТЕНИЯ В АТМОСФЕРАХ БАРИЕВЫХ, М- И S-ЗВЕЗД

Звезда	Sp	[Ru/H]	[Ru/Fe]	Разрешение (дисперсия) спектрограми	Линии Rul	Антера- тура
1	2	3	4	5	6	7
HR 774	G8p, Ba3	+0.46:	+0.78	0.04-0.05 A	4584.44, 5309.27 A	[4.5]
Cap Cap	G4IIp, Ba3	+0.32	+0.43	and the pro	Berthall Mills	[5]
HD 216219	G2IIIp, Ba0	+0.63	+1.17	-0.13 A	4757.84 A	[6]
		11000			16 аниня	[7]
3 Peg	M2 <sup>+</sup> IIIa	-0.2	-0.2	4.18.3 А/мм	(\lambda 3728-4758 A)	118

1	2	3	4	5	6	7
			[Ru/Ti]			
S UMa	S 2/6		÷1.6	5 А/мм	5814.98. 5919.34 A	[9]
R CMi	SC 4/10		+1.7	6.7 А/мм		"
FU Mon	SC 6.5/7.5		+1.8			
GP Ori	SC 7/8		+2.0	11		

Приносим благодарность М. Е. Боярчук за предоставление спектрограмм.

Главная астрономическая обсерваторяя АН УССР

# THE ABUNDANCE OF PALLADIUM GROUP ELEMENTS IN THE ATMOSPHERES OF EVOLVED STARS. II. RUTHENIUM

#### M. YA. ORLOV, A. V. SHAVRINA

The abundance of ruthenium in the atmospheres of K giants 9 Boo, p Boo, 39 Cyg is determined from 6 A/mm spectrograms using the spectral synthesis technique. Published data on the abundances of ruthenium in the atmospheres of other evolved stars are also presented.

#### **ЛИТЕРАТУРА**

- 1. R. Foy, Astron. and Astrophys., 85, 287, 1980.
- 2. R. Foy, Astron. and Astrophys., 93, 315, 1981.
- 3. Н. С. Комаров, Т. В. Мишенина, Астрофизика, 28, 682, 1988.
- 4. J. Tomkin, D. L. Lambert, Astrophys. J., 273, 722, 1983.
- 5.D. L. Lambert, in "Cool stars with excesses of heavy elements. Proc. Strasbourg Observ. Collq., July 3-6, 1984", eds. M. Jaschek, P. C. Keenan, Dordrecht e. a., 1985, p. 191.
- 6. K. Krishnaswamy, C. Sneden, Publ. Astron. Soc. Pacif., 97, 407, 1985.
- 7. M. Vetešnik, Folia přirodoved. fak. UJEP Brné, 21, № 3, 5, 1980.
- 8. М. Я. Орлов, А. В. Шаврина, Письма в Астрон. ж., 10, 135, 1984.
- V. V. Smith, G. Wallerstein, Astrophys. J., 273, 742, 1983.
   R. L. Kurucz, E. Peytremann, SAO Spec. Rep., № 362, 1975.
- 11. Э. А. Гуртовенко, Р. И. Костык, Фраумгофоров спекто и система солнечных сил осцииляторов, Наукова думка. Кыев. 1989.
- 12. S. L. Wright, J. D. Argyros, Comm. Univ. London Observ., № 75, 1, 1975.
- 13. T. Kipper, J. Sitaka, in "Atmospheres of late type stars", Tallinn, 1981, p. 15.
- 14. L. Gratton, G. Natalt, R. Nesct, A Spectrephotometric Atlas of three K giants, Frascati, 1975.
- 15. М. Я. Орлов, А. В. Шаврина, Астрофизика, 28, 595, 1988.
  - 16. М. Е. Боярчук, М. Я. Орлов, А. В. Шаврина, Астрофизика, 30, 663, 1989.
  - 17. М. Е. Боярчук, Я. В. Павленко, А. В. Шаврина, КФНТ, 5, № 3, 56, 1989.
- 18. B. Warner, Mon. Notic. Roy. Astron. Soc., 129, 263, 1965.
- 19. 1. J. Danziger, Mon. Notic. Roy. Astron. Soc., 131, 51, 1965.

**TOM 32** 

АПРЕЛЬ, 1990

ВЫПУСК 2

УДК: 524.31.02-366

#### о содержании технеция в холодных гигантах

#### А. А. АКОПЯН, Ю. К. МЕЛИК-АЛАВЕРДЯН

Поступила 1 апреля 1988 Принята и печати 15 марта 1990

На основе модельных расчетов и мисющихся давных относительно интенсивностей линий Тс рассмотрен вопрос ю содержании Тс в эвездах. Установлены корреляции между содержанием Тс и физическими параметрами миррид.

Технеций в звездах был впервые обнаружен Мериллом в 1952 г. [1]. Как известно, технеций не имеет стабильных изотопов и, следовательно, его присутствие в атмосферах звезд указывает на сравнительно недавний процесс образования элементов. Поэтому выявление технеция в звездах различных классов имеет важное значение для теории звездной оволюции.

Практически все имеющиеся к настоящему времени данные о содержании технеция в звездах собраны в [2], где 279 звезд разбиты на следующие 5 групп на основании признаков наличия (или отсутствия) технеция:

а) звезды, в которых технеций, по мнению авторов, несомненно присутствует;

б) звезды, в которых Тс, по всей вероятности, присутствует;

в) звезды, в которых Тс, возможно, имеется; г) звезды, в которых Тс, вероятно, нет; д) звезды, в которых технеция нет определенно.

Можно ли, используя результаты работы [2], выяснить какие-либо закономерности процесса образования технеция, например, на какой стадии эволюции образуется этот элемент, как долго продолжается процесс его образования, имеется ли корреляция интенсивности этого процесса с теми или иными параметрами звезд? Ответить на все эти вопросы можно было бы, располагая данными о содержании технеция в звездах. Однако в работе [2] приводятся лишь качественные оценки, относящиеся к содержанию технеция. Тем не менее — в этом и заключается основная идея нашей работы — можно, используя данные работы [2], получить определенное представление о том, как содержание технеция связано с теми или иными физическими параметрами рассматриваемой группы звезд.

С этой целью мы выбрали среди звезд, исследованных в [2] с точки врения наличия признаков содержания технеция, те ввезды, которые относятся к долгопериодическим переменным спектрального класса М. Эти звезды представляют позднюю стадию эволюции. В аспекте исследования происхождения технеция для нас существенно то обстоятельство, что теоретическое рассмотрение этой эволюции дает возможность оценить важнейшне физические параметры звезд, такие, как абсолютная светимость, масса, возраст. Для этих целей служит, так называемая, диагностическая чаграмма [3]. Таким образом, оценив содержание технеция в миридах, мы сможем связать эту величину с рядом физических параметров мирид, определенных с помощью диагностической диаграммы.

Перейдем теперь к определению содержания технеция. Конечно, мы не располагаем данными, которые позволили бы нам получить точное эначение этой величины. Однако, располагая данными [2], мы можем ввести в рассмотрение некоторый параметр д, который, как будет показано ниже, определенным образом связан с содержанием технеция. Для этого поступим следующим образом. Все мириды, классифицированные в [2] по наанчию (или отсутствию) технеция, разделим на две группы. В первую группу включим те звезды, в которых наличие технеция, согласно [2], считается установленным или хотя бы вероятным, а во вторую -- остальные. Обозначим относительное число звезд, принадлежащих к первой группе, черев в. Величина в, которая, как будет показано ниже, определенным образом связана с содержанием технеция, для различных групп звезд будет, вообще говоря, различной. В частности, мы распределили все рассматриваемые ввевды на 6 групп по величине параметра т, представляющего собой величину массы звезды, найденную с помощью диагностической диаграммы. Оказалось, что величина в увеличивается с увеличением m (см. табл. 1). В өтой же таблице приводятся зависимости  $\delta$  от других, определенных также с помощью диагностической диаграммы, параметров: первоначальной массы, величины потери массы, возраста мириды.

				Pris.								Ta6.	лица 1
m	<0.	6	0.6	-0.7	C	.7-0.8	3	0.8-0.9		0.9-1.0		>1.0	
ठ %	6		14			35		62	_	73			77 •
<i>m</i> <sub>0</sub>	<0.9   0.9-		1.0 1.0—1.		.1	1   1.1-1.2		1.2-1.3 1		1.3-1.4 1.4		-1.5	>1.6
g 0/0	0 12.		.5 25		7		62.5		64 76		70		
Δ m	<0.	4	0.4	0.4-0.45 0		0.450.5		0.5-0.55		0.55-0.6		>0.6	
9/0 8	13			20		52		70		75		10	00
t 105	<7.5	5 7.5—1		0   10—12		-12.5	2.5   12.5—15		15—17.5   17.		17.5	-20	>20
0/0	0	0 15			17			37.5		81	7	5	67

Рассмотрим теперь полученные зависимости в отдельности (они показаны также на рис. 1—4).

Зависимость i — масса. На рис. 1 и 2 показаны зависимости величины i от массы звезды и от ее первоначальной массы  $m_0$ , то есть массы, ко-

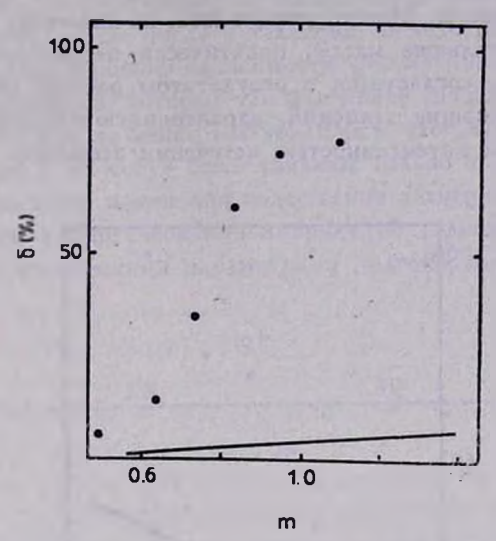


Рис. 1. Зависимость  $\delta$  от текущей массы m.

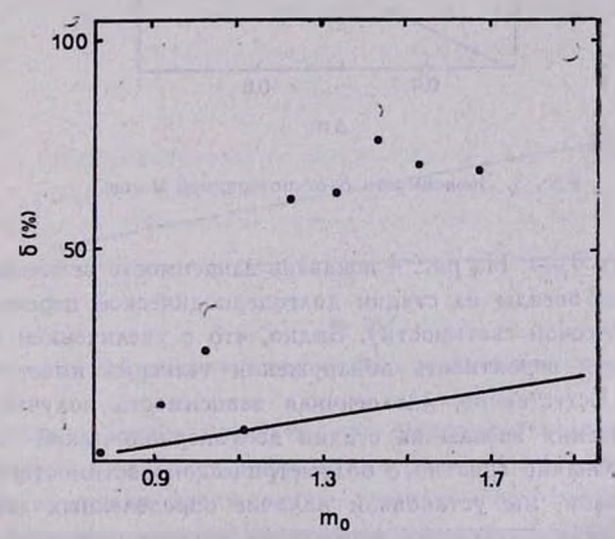


Рис. 2. Зависимость  $\delta$  от первоначальной массы  $m_0$ .

торая была у данной эвезды на главной последовательности. Как видно из втих рисунков, относительное число звезд, содержащих технеций, тембольше, чем больше масса звезды.

Равница в массах  $m_0$  и m обусловлена истечением вещества, особенно активным, как известно, на стадии красного гиганта. На рис. З приводится зависимость величины  $\delta$  от величины массы, выброшенной звездой в ходе ее эволюции. Как видно из этого рисунка, величина  $\delta$  быстро растет с увеличением потери массы. Можно утверждать, по-видимому, что все звезды, потерявшие значительные массы, практически несомненно содержат технеций. Этот вывод согласуется с результатом работы [4], где отмечено, что звезды, содержащие технеций, характеризуются инфракрасными избытками и высокой интенсивностью истечения вещества.

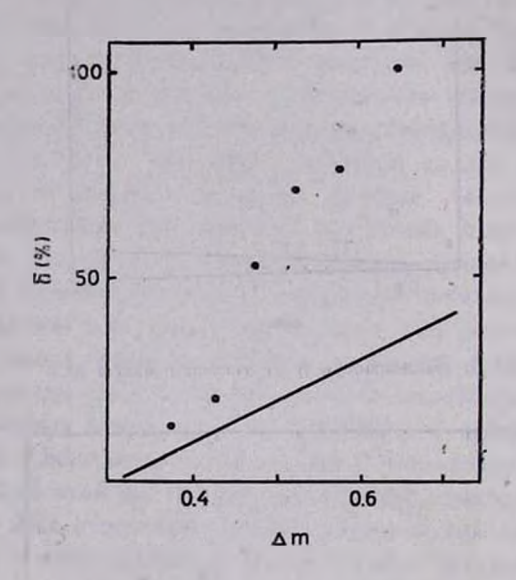


Рис. 3. Зависимость б от потерянной массы.

Зависимость  $\delta - t$ . На рис. 4 показана зависимость величины  $\delta$  от времени пребывания звезды на стадии долгопериодической переменной (или от ее болометрической светимости). Видно, что с увеличением болометрической светимости вероятность обнаружения технеция имеет тенденцию увеличиваться. Естественно, аналогичная зависимость получается и для времени пребывания звезды на стадии долгопериодической переменной (вто время однозначно связано с болометрической светимостью [3]).

Таким образом, мы установили наличие определенных зависимостей величины б от ряда физических параметров долгопериодических переменных звезд. Можно ли на основании отого утверждать, что с рассматриваемыми вариациями физических параметров рассматриваемых звезд связаны реальные изменения содержания технеция? В отом можно сомневаться.

Действительно, все рассматриваемые физические параметры звезд коррелируют с их эффективной температурой, которая непосредственно влияет на интенсивность линий поглощения, образующихся в атмосферах соответствующих звезд, и, следовательно, на возможность обнаружения любого химического элемента, в том числе и технеция. Вследствие этого можно ожидать наличия определенной зависимости рассматриваемой нами величины в от всех параметров, которые так или иначе связаны с эффективной температурой звезд. Тем не менее, мы убедились, что полученные нами зависимости величины в не могут быть связаны только с данным эффектом и указывают на реальные изменения содержания технеция, и, следовательно, можно говорить о существовании корреляций содержания технеция с рассматриваемыми физическими параметрами долгопериодических переменных.

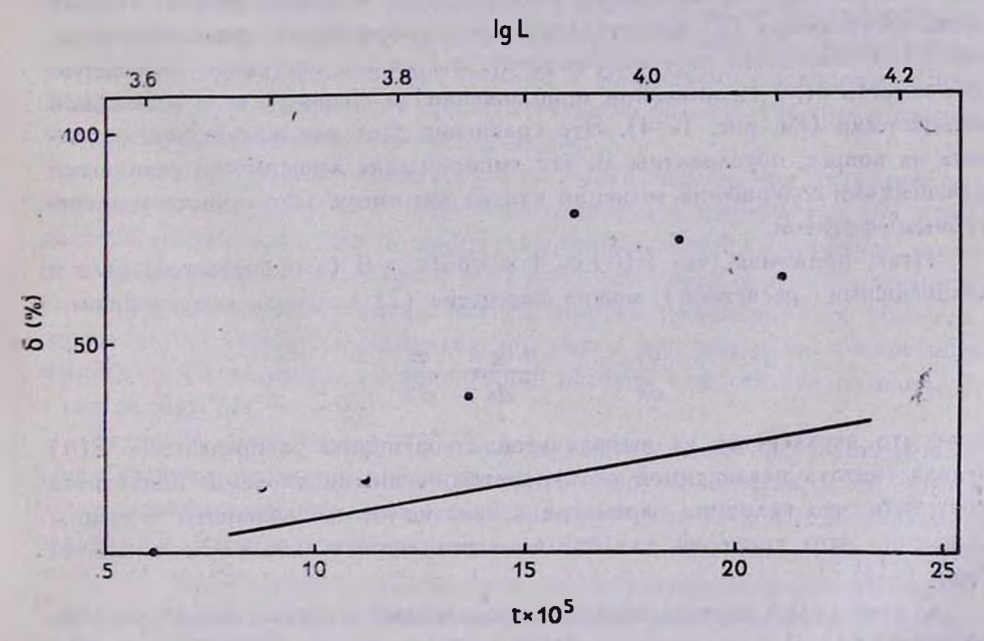


Рис. 4. Зависимость  $\delta$  от светимости и времени пребывания на стадии мириды.

Действительно, чтобы показать, что ожидаемая вследствие температурного эффекта зависимость в от рассматриваемых физических параметров не может объяснить наблюдаемую, выполним некоторые расчеты. Выразим определенную выше величину в следующим образом:

$$\delta = \int_{\lg n'}^{\infty} E(n) \, d \lg n, \tag{1}$$

где E(n) — нормированная функция распределения содержания технеция в рассматриваемых эвездах, n' — минимальное обнаружимое содержание технеция, зависящее, в частности, от спектрального класса звезды.

Теперь мы можем рассчитать ожидаемые зависимости величины  $\delta$  от рассматриваемых физических параметров, характеризующих мириды, и сравнить эти зависимости с полученными выше (см. рис. 1—4). Для этого рассмотрим зависимость  $\delta$  от некоторого параметра, который мы обозначим через x. Дифференцируя (1) по x и полагая, для начала. что E(n) не зависит от x, находим:

$$\frac{d\delta}{dx} = -E(n')\frac{d \lg n'}{dx} = -E(n')\frac{d \lg n'}{ds}\frac{ds}{dx}, \qquad (2)$$

где s—параметр, определяющий спектральный подкласс звезды. Правая часть соотношения (2) представляет собой коөффициент линейной регрессии  $\delta(x)$ . Рассчитав өтот коөффициент, мы можем построить ожидаемую зависимость  $\delta(x)$  (в линейном приближении) и сравнить ее с полученной эмпирически (см. рис. 1—4). Это сравнение даст нам возможность ответить на вопрос, обусловлены ли эти эмпирические зависимости реальными изменениями содержания технеция или же мы имеем дело с чисто температурным эффектом.

Итак, принимая, что  $E(n) \leqslant 1$  и  $d\delta/dx > 0$  (это подтверждается и дальнейшими расчетами), можно равенство (2) заменить неравенством:

$$\frac{d\delta}{dx} \leqslant -\frac{d \lg n'}{ds} \frac{ds}{dx} \,. \tag{3}$$

Если өто неравенство не выполняется, то функцию распределения E(n) нельзя считать независимой от пареметра x, иными словами, приходится допустить, что величина параметра x связана с содержанием технеция. Применим втот критерий для анализа полученных выше зависимостей (рис. 1—4).

С этой целью оценим яначения производных в приведенном выше неравенстве (3). Расчет величины ds/dx особых трудностей не представляет: в качестве ds/dx можно взять коэффициент линейной регрессии спектрального подкласса и параметра x. Необходимые для расчета этих кеэффициентов данные у нас имеются: это спектральные подклассы и периоды изменения блеска, приведенные в [2] для рассматриваемых звезд. Воспользовавшись этими данными и привлекая для оценки параметров L, m,  $m_0$  и t диагностическую диаграмму, мы получили следующие значения коэффициентов регрессии: 0.77 (для коэффициента регрессии спектрального подкласса с массой m), 10 (с потерей массы), 5.06 (со светимостью), 0.17 (с возрастом), 1.75 (с  $m_0$ ).

Что касается величины  $d \lg n'/ds$ , то при некоторых упрощающих предположениях ее можно оценить, иопользуя кривые роста линии поглощения технеция для звезд различных спектральных классов. Необходимые кривые роста мы построили, используя для расчетов модели атмосфер холодных гигантов классов M [5]. Так как эти модели атмосфер рассчитаны для определенных значений эффективных температур и ускорений силы тяжести, а в качестве характеристики звезды мы приняли ее спектральный подкласс, то для использования данных моделей нам необходимо задаться определенным соответствием между спектральным подклассом, с одной стороны, и эффективной температурой и ускорением силы тяжести — с другой. Такое соответствие мы приняли согласно работе [6].

Не останавливаясь на методике построения кривых роста, отметим лишь следующее. При расчетах профиль линий поглощения технеция принимался фойгтовским [7], учитывалась микротурбулентность, скорость которой принималась равной 3 км/с. Учитывалось поглощение отрицательными ионами водорода, рассеяние атомами и молекулами водорода. Силы осциаляторов линий технеция приняты согласно [8]. Полученные в результате расчетов кривые роста показаны на рис. 5.

Теперь, располагая кривыми роста линий поглощения технеция, мы можем рассчитать величину  $d\lg n'/ds$ , входящую в неравенство (3) и характеризующую зависимость минимально обнаружимого количества технеция от спектрального подкласса. Для этого мы приняли в качестве минимальной регистрируемой эквивалентной ширины линин 4297 Тс значение, равное 50~mA (нетрудно убедиться, что выбор того или иного конкретного значения этой величины на дальнейшие расчеты существению не влияет), и нашли  $d\lg n'/ds \sim -0.1$ .

Вернемся к неравенству (3). Теперь у нас есть все необходимые значения величин, входящих в правую часть этого неравенства, и мы можем оценить наибольшие ожидаемые значения  $d\delta/dx$  для всех рассматриваемых параметров. Рассматривая эти значения  $d\delta/dx$  в качестве коэффициентов регрессии, мы построили на рис. 1—4 соответствующие линии регрессии. Сопоставляя эти линии с построенными ранее эмпирическими зависимостями, мы приходим к основному выводу нашей работы: во всех представленных на рис. 1-4 случаях имеет место определенная зависимость содержания технеция от физических свойств эвезд, так как ожидаемые вследствие температурных эффектов соответствующие зависимости значительно слабес наблюдаемых. Этот вывод дает нам моральное право утверждать, что полученные нами зависимости величины  $\delta$  от параметров  $m, m_0, \Delta m$  и t отражают зависимость от этих параметров именно содержания технеция. Поэтому ниже мы будом вместо слов зависимость б от физических параметров m,  $m_0$ ,  $\Delta m$  и t говорить о зависимости от этих параметров именно содержания технеция. Что можно сказать о природе втих зависимостей?

Согласно современным представлениям, мириды — это звезды, в ядрах которых выгорел Не. Светимость таких звезд однозначно определяет время их пребывания в стадии мириды [3]. Учитывая это обстоятельство, мы пришли к выводу, что чем больше время пребывания данной звезды на стадии мириды, тем больше в ней технеция. Второй важный вывод нашей работы заключается в том, что содержание технеция увеличивается с увеличением массы звезды, и, следовательно, с уменьшением времени, проведенного звездой на главной последовательности. Это означает, что содержание технеция уменьшается с увеличением возраста звезды.

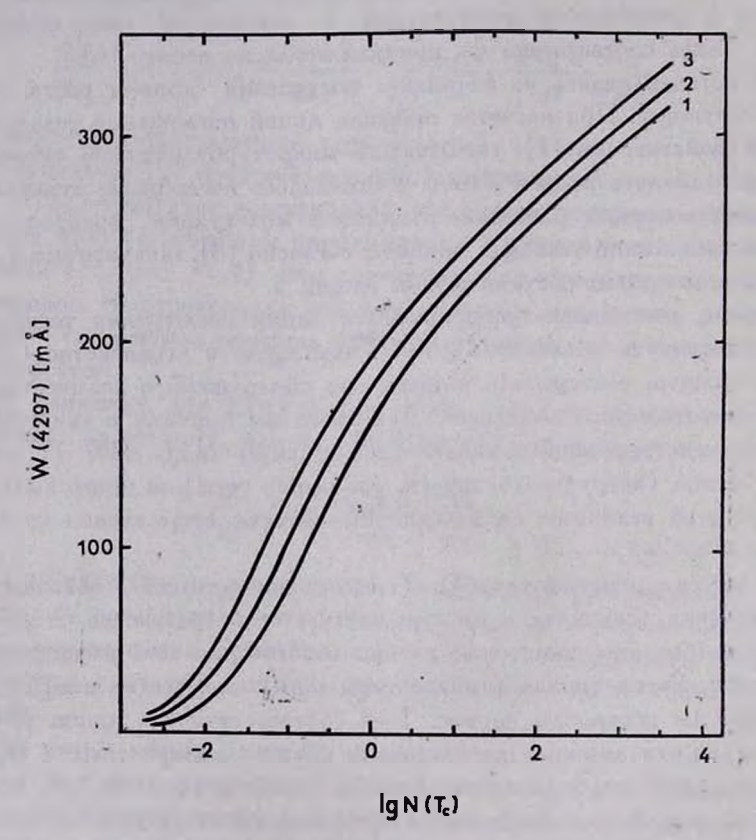


Рис. 5. Кривые роста для эвезд гразных спектральных подклассов: 1—M2, 2—M4, 3—M6.

Сопоставляя между собой два втих заключения, можно сделать вывод, что образование технеция в звездах происходит именно на стадиимириды. Действительно, если бы процесс образования технеция завершался до вступления эвезды на стадию мириды, то вследствие распада технеция наблюдалось бы уменьшение его содержания с возрастом звезды. Следовательно, учитывая вышесказанное, мы должны допустить, что обогащение атмосфер звезд технецием происходит на стадии мириды, и интенсивность втого процесса тем выше, чем меньше средний возраст звезды.

Из полученных выше кривых роста линий технеция следует, что диапазон изменения содержания технеция, соответствующий наблюдаемому диапазону эквивалентных ширин этих линий (50—300 m A), составляет примерно 4 порядка. Это означает, что после однократного образования технеция этот элемент может наблюдаться в спектре звезды в течение времени, соответствующего не более чем 10 периодам его полураспада. Наиболее долгоживущие изотопы технеция имеют, как известно, следующие периоды полураспада:

Как видно из рис. 4, содержание технеция за время  $10^6$  лет не только не уменьшается, а, наоборот, увеличивается. Этот факт говорит о том, что в рассматриваемых звездах образование технеция представляет собой, вероятно, не однократный, а длительный процесс. Покажем ото на некоторой упрощенной модели. Допустим, что образование технеция на стадии мириды происходит с некоторой постоянной интенсивностью. Тогда изменение содержания технеция с учетом его распада выражается уравнением:

$$\frac{dN}{dt} = a - \frac{N}{t_0},\tag{4}$$

где  $t_0$  — период полураспада. Из уравнения (4) получим:

$$N(Tc) = a t_0 [1 - \exp(-t/t_0)],$$
 (5)

где a — постоянная, которую можно определить по данным наблюдений.

Как видно из (5), содержание  $^{99}$ Тс в рассматриваемой модели при  $t > 5 \cdot 10^5$  лет практически не должно зависеть от возраста. В противополжность втому, на рис. 4 наблюдается заметное увеличение содержания технеция с возрастом звезды. Это противоречие приводит нас к предположению, что технеций в миридах может быть представлен не изотопом  $^{99}$ Тс, а изотопами  $^{97}$ Тс или  $^{98}$ Тс — так как для периодов полураспада втих изотопов формула (5) предсказывает наблюдаемое усиление содержания технеция со временем.

Конечно, в жачестве альтернативного объяснения наблюдаемого увеличения содержания технеция с возрастом мирид можно допустить, что технеций обравуется с возрастающей производительностью. Однако для такого предположения у нас лока нет никаких оснований.

Вывод о том, что Тс в миридах представлен своими наиболее долгоживущими изотопами <sup>97</sup>Тс и (или) <sup>98</sup>Тс, имел бы принципиально важное значение. Дело в том, что образование технеция в звездах обычно связывают с

процессом нейтронного захвата изотопом <sup>98</sup>Мо, который распадается, образуя <sup>99</sup>Тс. Остальные два долгоживущих изотопа технеция не могут образовываться путем нейтронного захвата. Для объяснения происхождения этих изотопов приходится привлекать такие процессы, как зажват протонов, реакции с у-квантами, распад тяжелых элементов. Эти процессы предполагаются, или, во всяком случае, допускаются в гипотезе о распаде сверхплотного дозвездного вещества, выдвинутой в [9]. Конечно, приведенные выше соображения еще не являются доказательством существования такого рода процессов в миридах, так как нельзя полностью исключить возможность того, что увеличение содержания технеция с возрастом мириды связано с увеличением интексивности сбразования этого элемента. Трудно понять, однако, почему характерное время этого процесса совпадает с периодом полураспада <sup>98</sup>Тс или <sup>97</sup>Тс.

В заключение отметим, что полученные выше результаты могут служить критерием для проверки представлений об эволюции мирид. Принимая обычную оценку возраста мирид  $2 \cdot 10^6$  лет (мы имеем в виду, конечно, длительность стадии мириды, а не возраст звезды), можно, рассматривая рис. 4, придти к выводу, что к концу стадии мириды звезда все еще может содержать значительное количество технеция. Если мириды, как полагают, действительно превращаются в планетарные туманности, то, поскольку время жизни планетарных туманностей достаточно мало, есть все основания ожидать присутствия в них технеция.

Бюраканская астрофизическая обсерватория

#### ON THE To CONTENT IN COOL GIANT STARS

#### A. A. AKOPYAN, Yu. K. MELIK-ALAVERDIAN

From an examination of the available data of Tc line intensities the Tc contents in cool giant stars are considered. The correlations between Tc abundances and some physical parameters of Mira stars are discussed.

#### **ЛИТЕРАТУРА**

- 1. P. W. Merrill, Astrophys. J., 116, 21, 1952.
- 2. S. J. Little, I. R. Little-Marenin. W. H. Bauer, Astron. J., 94, 981, 1987.
- 3. J. H. Cahn, S. P. Wyatt, Astrophys. J., 221, 163, 1978.
- 4. F. Sanner, Astrophys. J., 219, 538, 1978.
- 5. H. R. Johnson, A. P. Bernat, B. Krapp., Astrophys. J. Suppl. Ser., 42, 501, 1980-
- 6. T. Tsuji, Astron. and Astrophys., 62, 29, 1978.
- 7. К. Ленг, Астрофиявиеские формулы, Мяр. М., 1978.
- 8. R. H. Garstang, Publ. Astron. Soc. Pacif., 93, 641, 1981.
- 9. В. А. Амбарцумян, Сообщ. Бюракан. обсерв., 13, 3, 1954.

### **АСТРОФИЗИКА**

**TOM 32** 

АПРЕЛЬ, 1990

выпуск 2

УДК: 524.7:520.84

#### СПЕКТРОФОТОМЕТРИЧЕСКОЕ ИССЛЕДОВАНИЕ ГАЛАКТИКИ МАРКАРЯН 7

А. Н. БУРЕНКОВ, Э. Е. ХАЧИКЯН

Поступила 17 февраля 1990 Принята к печати 1 марта 1990

Проведено детальное споктральное изучение одиннадцати Н II областей в клочковатой ирретулярной галактике (CIG) Марк 7. Определены содержания кислорода, авота, серы и неона в Н II-областях. В галактике наблюдается градисит содержания авота на 0.55 dex и отсутствие такового по кислороду. Содержание влементов в галактике Марк 7 является типичным для CIG и близко к содержанию в Im-галактиках.

1. Введение. Марк 7 (UGC 3838 = 7 Zw 153) — иррегулярная галактика, вошедшая в список галактик со сверхассоциациями (CA) [1], была отнесена к типу CIG (Clumpy Irregular Galaxies) Касини и Айдманом [2].

Каллоглян [3] классифицировал галактику как Ігг І, а по интегральным параметрам (поверхностная плотность нейтрального водорода, ширина линии дл. 21 см, отношение массы Н І к полной и т. д.). Боттинелли и др. [4] классифицировали Марк 7 как Ігг со светимостью, превышающей среднюю светимость данного типа галактик в 10 раз.

Поверхностная фотометрия Марк 7 была проведена Бернгеном и Каллогляном [5], абсолютная ввездная величина в B-полосе получилась—19.0 (в пределах размеров  $30''\times42''$ ) и показатели цвета "(U-B)=-0.35 и (B-V)=+0.29. Светимости трех самых ярких, по определению авторов, конденсаций попадают в пределы —  $16.2\div-16.4$ , а  $(U-B)=-0.42\div-0.49$  и  $(B-V)=+0.21\div+0.26$ . Данные по фотовлектрической фотометрии Марк 7 с диафрагмой 41″ приведены Хакра [6].

В сантиметровом диапазоне Марк 7 не является сильным радиоисточником [7, 8].

Первый щелевой спектр Марк 7 получил, по-видимому, Сарджент [9]. Позже спектры с умеренной дисперсией получали другие авторы [4, 10—12], но детального спектрального изучения галактики не проводилось.

В данной работе приводятся результаты детального спектрофотометрического исследования Марк 7.

2. Наблюдения. Прямой снимок Марк 7 был получен в САО АН СССР феврале 1984 г. на телескопе Цейсс-600 на очувствленной прогревом в водороде вмульсии А-500Н с экспозицией 2 часа. Он и его изоденсы представлены на рис. 1.

Спектры были получены на БТА, и основные данные о них приведены в табл. 1. Для учета спектральной чувствительности аппаратуры в тех же условиях наблюдались спектрофотометрические стандарты из [13].

Таблица 1 ЖУРНАЛ СПЕКТРАЛЬНЫХ НАБЛЮДЕНИЙ ГАЛАКТИКИ МАРК 7

Номер Дата спектра наблюден		Дата набаюдений	Аппара- тура	Эксповиция (мян)	Изображе- вие (")	Днапазон (нм)	ПУ (гред)	Коммента- рии
Mapi	x 7	F COLUMN		1				
СП	0014	4.03.1979	, СП М9	60	3	594—725	8	W-полоска
СП	15			60		594-725	172	Е-полоска
СП	77	26.11.1979	СП М9	60	3	600-725	19	"
СП	78	31.12.1979	СП УМК	25	>5	580-710		11
СП	79			25		580—710	8	W-полоска
СП	161	21.10.1981	СП УМК	15	2.5	370—510	13	17
СП	186	22.10.1981	СП УМК	15	3-4	460—600	11	"
СП	187			20		580 - 710		11
СП	203	23.10.1981	СП УМК	20	3-4	370—510	н	11
СП	204			20		580—710		11
СП	205			20		580 - 710	172	Е-полоска:
СП	206			20	-	370—510	11	18
СП	435	08.01.1983		10	1.5	370—510	11	11
СП	436			10		460-600	19	19
СП	437			20		580-710	99	• и
СП	438			20		580-710	8	W-HOAOCRA
СП	439		1	10.5	1	450 -600		99
СП	440		121-1	10	1	370 - 510	**	"

Примечание. СП M9 = СП—160+ЭОП М9трв; СП УМК = СП—160+ЭОП УМК91в.

По спектрам СПО 435 ÷ СПО 440 (см. табл. 1), полученным при хероших атмосферных условиях (изображения 1.<sup>m5</sup>), для 11 деталей в Марк 7 выполнена спектрофотометрия.

3. Описание измеренных деталей. На прямом снимке рис.. 1 галактика состоит из двух продолговатых изображений (полосок), сходящихся под

острым углом в северном направлении. В фотографических лучах в обеих полосках доминируют яркие, довольно компактные северные конденсации, южные части полосок более аморфные, на южном конце западной полоски расположена слабая компактная конденсация.

Положения щели спектрографа и некоторые конденсации, для которых сделана спектрофотометрия, указаны на рис. 1а. На рис. 2а, в приведены отпечатки синей и красной областей спектров. Верхние спектры на рис. 2а и в относятся к сечению через восточную полоску Марк 7, а нижние — через западную, северные участки галактики расположены на рисунке в верхней части спектров. На рисунке также указаны наиболее сильные эмиссионные линии, принадлежащие галактике.

- K1— самая яркая конденсация в восточной полоске, имеет сильный континуум, особенно резко выделяющийся над соседними вдоль щели участками спектра в синей части. Размеры яркой части конденсации измерялись по изолиниям (Ди), по континууму в спектре (Дк) и по эмиссионным линиям (Дл):  $\Delta u = 3.3 \times 5.2$ ,  $\Delta k = 5.6$ ,  $\Delta \lambda = 6.5$ .
- K2 обширная слабая область на севере, на прямом снимке не имеет резких очертаний, на спектре показывает слабый континуум, эмиссионные линии остаются почти такими же по яркости, как в K1. Расстояние от K1 по спектру 6.%, размер:  $\mathcal{J}_{A} = 6.2$ .
- K7 выделена по спектрам западной полоски, по-видимому, Н II-область на северо-западном краю K2. Континуум слабый, эмиссионный спектр сильный. Расстояние на спектрах от яркой конденсации K6 в западной полоске 11".3, размеры: Дл = 6.
- K6' выделена по спектрам западной полоски, по-видимому, Н II-область на более ярком (южном) краю K2. Континуум слабый, но более сильный, чем в K7, эмиссионные линии сильные. Расстояние от K6 по спектру 6.''9, размер  $\mathcal{J}_{A} = 3''.4$ .
- K3 протяженная южная часть восточной полоски. Континуум пирокий, сильный, несколько уступает по интенсивности K1, вмиссионный спектр заметно слабее, чем в K1. Расстояние от K1 9."5, размеры яркой части:  $\mathcal{A}u = 2.6 \times 9.7$ ,  $\mathcal{A}\kappa = 10.2$ ,  $\mathcal{A}\lambda = 12.6$ . Из-за некоторой неоднородности в интенсивности линий вдоль щели K3 была разделена на 2 части и просканирована на автоматическом микроденситометре ( $AM\mathcal{A}$ ) с меньшей высотой щели на расстояниях от K1 для K3' 5.9 и для K3' 12".
- K6 яркая, компактная конденсация на севере западной полоски, показывает сильный, наиболее узкий в синей части континуум и яркие эмис-

сионные линии в спектре. Размеры:  $Ди = 3.3 \times 3.9$ ,  $Д\kappa = 6.9$ ,  $Д\Lambda = 9.8$ . В спектре К6 видно уярчение, смещенное на 2.2 к северу относительно болес протяженной области на спектре, которую мы отнесли к К6. Это уярчение относится к яркой части К6 на прямом снимке и имеет размеры: ДK = 3.1 и  $Д\Lambda = 3.9$ .

K5—большая, пятнистая область южнее K6. Имеет континуум, по интенсивности не уступающий K6, но более широкий, эмиссионные линии несколько слабее, чем у K6. Расстояние по спектру от K6 7."9, размеры:  $\mathcal{A}_{H} = 4...75 \times 7...4$ ,  $\mathcal{A}_{K} = 7...7$ .

K5' — слабый южный край K5, на спектре — это яркие хвосты эмиссионных линий, выступающие за край континуума K5. Расстояние от K6 14."1, размеры: A

K4 — самая южная слабая, компактная конденсация в западной полоске, имеет слабый континуум, более выделяющийся на опектре в синей части спектра, эмиссионные линии сильные. Расстояние от K6 19."7, размеры:  $\Delta u = 3.2 \times 3.2$ .  $\Delta \lambda = 6.4$ .

При записи спектров для конденсаций: K1, K2, K3', K3" и K7 использовалась высота щели  $AM\mathcal{A}$  6.1, для K3 — 10.2, для K5 — 4.1. Для двух конденсаций использовались две высоты щели: для K5 — -71 и 10.2 и для K6 — 6".1 и 10.2; полученные относительные интенсивности эмиссионных линий были усреднены для каждой конденсации, т. к. данные отличались не более, чем на величину ошибок измерения.

4. Ревультаты спектрофотометрии. Наблюдаемые относительные интенсивности эмиссионных линий для каждой конденсации приведены в табл. 2. Ошибки измерения относительных интенсивностей линий Н $\beta$  и [O III] приведены из сравнения измерений по двум разным спектрам данной Н II-области. Ошибки измерения других линий мы оцениваем для  $I(\lambda) \simeq H\beta$  в 15÷20%, для слабых и очень сильных линий — в 25÷30%; относительные интенсивности линий, измеренных неуверенно, отмечены знаком «:».

Необходимо отметить, что в спектрах всех конденсаций в водородных линиях, начиная с НВ, имеется более широкая, чем эмиссионная линия, абсорбционная подложка. При измерении интенсивности линии этот эффект мы учитывали проведением локального «континуума» возле эмиссионной линии.

Из-за трудностей овяви красной области спектра с синей, в табл. 2 для линий в области  $\lambda < 5100 \,\mathrm{A}$  интенсивности приведены относительно

 $H\beta$ , а для линий в красной области — относительно  $H\alpha$ . Кроме того, в таблице указаны эквивалентные ширины четырех водородных эмиссионных линий  $H\alpha \div H\delta$ .

Коэффициент покраснения C ( $H\beta$ ) мы получили из сравнения наблюденных I ( $H\gamma$ ) I ( $H\beta$ ) и I ( $H\delta$ ) I ( $H\beta$ ) с теоретическими для «случая B», при  $N_e = 100 \div 1000$  см $^{-3}$  и  $T_e = 10000$  К [14]. Полученные по  $H\gamma$  и  $H\delta$  коэффициенты покраснения показывают заметный разброс значений, причиной которого является слабость линии  $H\delta$  и большая ошибка измерения  $H\gamma$ , которая попадает на дефект в центре фотокатода используемого ЭОП УМК-91в, поэтому мы использовали среднее двух определений C ( $H\beta$ ). Для четырех конденсаций значения C ( $\beta$ ) все же получились, по нашему мнению, сильно завышенными, поэтому для K5' мы приняли C ( $H\beta$ ) K5, а для K3, т. е. и для K3', и для K3'', C ( $H\beta$ ) = 1, приблизительно равный средней величине для всех конденсаций Mарк T; в этих случаях рядом со значением коэффициента покраснения в табл. T стоит значок «T».

В табл. З приведены исправленные за покраснение относительные интенсивности линий исследуемых жонденсаций и используемые  $C(H\beta)$ ,  $R[SII] = I([SII] \land 6717)/I([SII] \land 6731)$ , средняя электронная температура, полученная из эмпирических зависимостей [15 17], электронная плотность  $N_e$ , полученная для данных R[SII] и  $T_e$  [18]. В случае R[SII] > 1.5 мы привимали  $N_e = 50$  см<sup>-3</sup>, и в таб. З эти принятые значения выделены значком  $N_e$ 

Интенсивности линий красной области спектра относительно Н $\beta$  получены после исправления за покраснение наблюденных  $I(\lambda)/I(H\alpha)$  с предположением равенства  $I(H\alpha)/I(H\beta)$  теоретическому значению 2.86 («случай-В»,  $T_e = 10000$  K,  $N_e = 100 \div 1000$  см<sup>-3</sup>).

На рис. 9 в работе [19], представляющем зависимость параметра возбуждения  $\langle E \rangle$  и Ig (I(3727)/I(5007)), все наши конденсации попадают в область Н II-областей, возбуждаемых ивлучением звезд ранних спектральных классов, и вклад других механизмов возбуждения (ударных воли или нетеплового континуума) не может быть значительным.

Класс возбуждения по Аллеру и Лиллеру [20], определенный из отношений (I(4959) + I(5007))/ $I(H\beta)$  и I(3727)/I(5007), для конденсаций Марк 7 получился в пределах  $3\div 4$ , т. е. Н II-области Марк 7 имеют умеренное возбуждение.

5. Содержания элементов. Оценки содержания ионов O<sup>+</sup>/H<sup>+</sup> O<sup>++</sup>/H<sup>+</sup>, N<sup>+</sup>/H<sup>+</sup>, Ne<sup>++</sup>/H<sup>+</sup> сделяны в предположении нулевых температурных флуктуаций в НІІ-области по охеме из работы Пеймберта и Костеро [21] и N<sup>+</sup>/S<sup>+</sup> по Бенвенути и др. [22]. Коррекция за ненаблюдаемые стадии ионизации сделана по [21].

 $T_{a6\pi uya}$  2 ОТНОСИТЕЛЬНЫЕ ИНТЕНСИВНОСТИ ЛИНИЙ (НАБЛ.) В СПЕКТРАХ ОДИННАДЦАТИ КОНДЕНСАЦИЙ (К4. К2. ..., К7)

			(11, 12),									
Дл. Волны	Ион	К1	K2	К3	К3′	K3*	K4	К5	K5'	K6	K6'	К7
3727.5	[0 11]	139	148	361	274	248	115	120	121	114	112	133
3868.7	[Ne III]	16	25	49	32	20	<26	14	20	25	<18	<23
3889.1	H <sub>8</sub>	9	7					9		4.5		
3970.1	Hε	7	12			8:				8		
4101.7	Ha	9	22	3	10	4	10	18	12	22	19	17
4340.5	H,	50	50	16	12	15	43:	28	25	36	28	32
4861.3	H <sub>8</sub>	100	100	100	100	100	100	100	100	100	100	100
4958.9		116±26	104±7	90+20	115±13	72±4	111±17	70士10	70±4	121±10	84+8	95 <u>+</u> 35
5006.8	[O III]	314 <u>±</u> 51	362 <u>+</u> 52	274 <u>+</u> 99	322 <u>+</u> 90	220+25	311±10	251 <u>+</u> 31	231±5	366士38	241±5	254 <u>+</u> 74
6548.1	[N II]	3	6:	5:	2:	5:	1:	3	2	- 3:	4:	3
6562.8	Ha	100	100	100	100	100	100	100	100	100	100	100
6583.6	[N II]	10	12	18	8	20	5	10	8	6	10	12:
6717.0	[S II]	12	12	20	20	18	12	10	15	8	21	21
6731.3	[S II]	8	13:	15	11	15	10	8	7	8	21	16
W (Ha)	эмиссия	93	71	30	27	32	83	68	79	101	65	78
W (H <sub>β</sub> )	,,	22-1	27±1	8 <u>±</u> 2	5 <u>±</u> 1	9-11	21+2	13±1	13±1	25±1	17±3	16±1
W(H <sub>1</sub> )	**	10.1	11.3	0.9	0.5	1.5	9:	4.0	4.7	8.0	5.3	5.7
W (H8)	"	2.5	- 5.8	0.2	0.8	0.5	1.8	2.6	2.1	4.8	3.7	2-6

 $T_{a6.1u$ µа 3 ОТНОСИТЕЛЬНЫЕ ИНТЕНСИВНОСТИ ТЕХ ЖЕ ЛИНИЙ, ЧТО И В ТАБЛ. 2, ИСПРАВЛЕННЫЕ ЗА ПОКРАСНЕНИЕ

Дл. Волны	Ион	К1	К2	К3	К3′	K3″	K4	К5	K5'	K6	K6'	K7
3727.5	[0 11]	292	158	726	551	497	264	275	277	176	260	281
3868.7	[Ne III]	31	26	88	58	35	< 52	28	40	36	<37	<44
3889.1	H <sub>8</sub>	16	7					18		7		
3970.1	Ha	13	13			14:		- 77	-10	11	-	
4101.7	Нè	15	22	5	16	5:	18	31	20	29	32	28
4340.5	Η <sub>γ</sub>	71:	52:	22	16	21	62:	41	37	43	41	45
4861.3	Hβ	100	100	100	100	100	100	100	100	100	100	100
4958.9	[O III]	110±24	104士7	86±19	109士12	68 <u>+</u> 3	105±16	66±9	66士4	118±10	79士8	90士3
8.000	[O III]	289士47	359±5	254±97	299士84	204 + 23	284+9	230±28	211士4	349 + 36	220士5	234+6
6548.1	[N II]	10	17:	15:	5:	16:	3:	9	7	81	13:	8
6562.8	Ha	286	286	286	286	286	286	286	286	286	286	286
6583.6	[N II]	29	33	50	23	56	15	28	23	17	29	35:
6717.0	[S II]	33	35	55	54	49	33	27	40	23	56	57
6731.3	[S II]	23	361	40	31	40	28	21	18	22	57	44
С (Нβ)	1 33	1.068	0.101	1.00*	1.00*	1.00*	1.189	1.192	1.19*	0.627	1.206	1.076
R [SII]		1.43	0.97	1.38	1.74	1.22	1.18	1.29	2.22	1.05	0.98	1.30
T. [K]	средняя	9100	8800	9600	9880	9200	9200	8600	8600	9100	8500	8700
N. [cm-		30	760	60	50°	260	320	160	50*	570	720	160

Примечание. \* — принятое значение (см. текст).

В таба. 4 приведены для каждой конденсации содержания кислорода, азота, серы и неона в виде  $[X/H]=12+\lg(X/H)$ . Ошибки полных содержаний элементов оценивались из ошибок  $I(\lambda)$ ,  $T_c$  и коэффициента покраснения  $C(H\beta)$ . Они в большинстве случаев оказались меньше  $0.2\div0.3$  dex; обилие серы является оценкой нижнего предела, т. к. мы принимали N+/S+=N/S.

Для сравнения в таблице приведены содержания элементов в К1 из работы Бузгарда и др. [10], для двух конденсаций галактики типа Im — Марк 35 [25], для Солица [23] и усредненные данные для ММО и БМО [24].

 $T_{a6\pi uya}$  4 СОДЕРЖАНИЯ ЭЛЕМЕНТОВ [X/H] = 12+lg (X/H) В 12 КОНДЕНСАЦИЯХ МАРК 7

Объект	[O/H] [N/H]		[S/H]	[Ne/H]	Антера- тура	
Maps 7 Kl	8.46	7.04	6.77	8.04		
Марж 7 К2	8.47	7.30	7.07	7.89		
Марж 7 К3	8.61	7.07	6.80	8.67		
Maps 7 K3'	8.51	6.77	6.78	8.31		
Марк 7 К3"	8.55	7.18	6.82	8.33		
Maps 7 K4	8.43	6.75	6.80	<8.23		
Maps 7 K5	8.51	7.05	6.72	8.17		
Меря 7 К5'	8.49	6.95	6.80	8.34		
Maps 7 K6	8.42	6.95	6.81	7.98	19	
Mapa 7 K6'	8.54	7.07	7.09	<8.34	-	
Maps 7 K7	8.50	7.14	7.04	<8.34		
<b>Уарк</b> 7 Kl	8.54	7.00	6.45		[10]	
Mapa 35 CA	8.19	6.80	6.43	7.70	[25]	
Марк 35 Ядро	8.48	7.05	6.63	7.81		
<mmo></mmo>	8.02	6.48	6.40	7.29	[24]	
<БМО>	8.49	6.95	7.20	7.80		
Солнце	8.87	7.96	7.23	8.05	[23]	

Полученные содержания элементов указывают на наличие градиента обилия авота в галактике ([N/H] увеличивается на 0.55 dex от самой южной конденсации К6 до северной конденсации К2), при отсутствии такового по кислороду.

6. Заключение. В данной работе приведены результаты спектрофотометрического исследования 11 Н II-областей в галактике Марк 7, которые относятся к 5 ярким конденсациям в галактике, либо к участкам галакти-

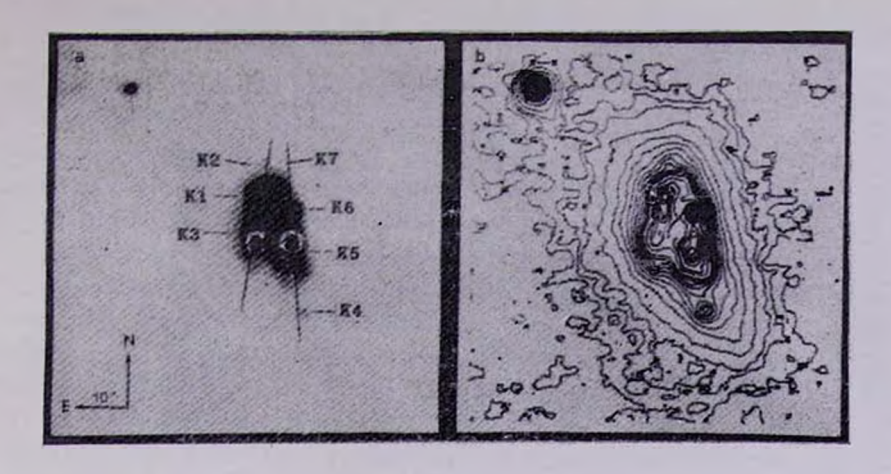


Рис. 1. а) Прямой снимок галактики Марк 7. Показаны положения щели спектрографа и изученные конденсации. b) Изоденсы изображения галактики.

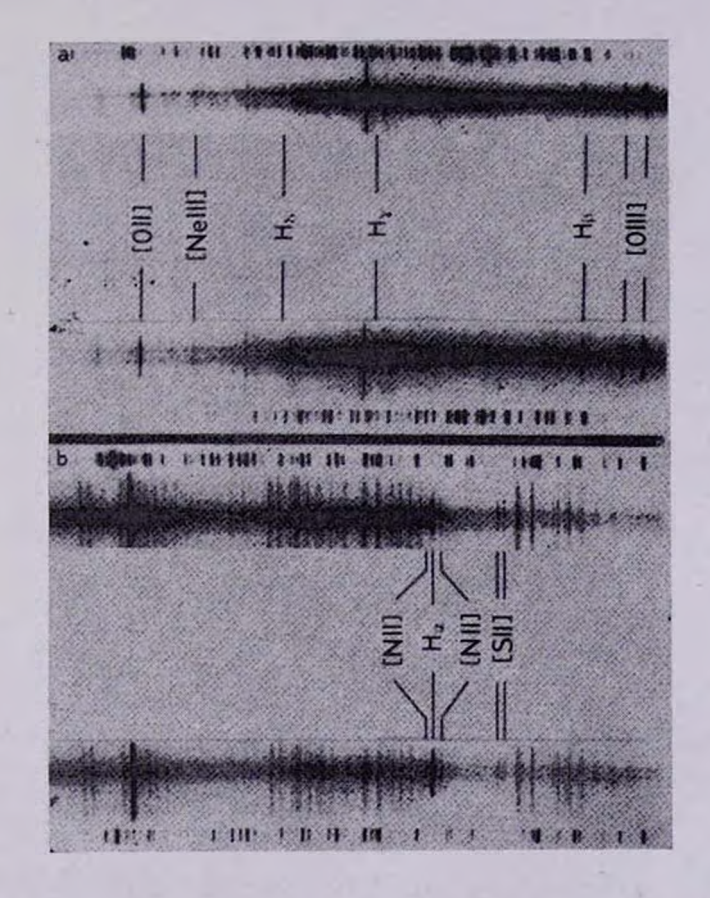


Рис. 2. Спектры галактики Марк 7, отмечены наиболее сильные вмиссионные линии, принадлежащие галактике. Север сверху. а) Синие области спектров обоих сечений, где верхний спектр соответствует сечению через восточную полосу галактики, а нижний—через западную. b) Красные области стектров: расположение спектров, как на а).

ки, расположенным около этих конденсаций. Эти конденсации по размерам (самые компактные конденсации К4 и К6 протяженнее 600 пк), по светимости и цветам (см. данные фотометрии [5], приведенные выше) и по физическим условиям в связанных с ними Н II-областях (доминирует фотоионизационный механизм возбуждения излучением звезд ранних спектральных классов) могут быть отнесены к сверхассоциациям (СА).

Сделаны оценки содержаний кислорода, азота, серы и неона в втих Н II-областях. Они близки к обилиям втих влементов в Н II-областях иррегулярных галактик магелланова типа (см. табл. 4 данной работы, данные по Марк 35 [25]), т. е. являются типичными для СІG-галактик (см. данные по Марк 297 [26]).

По галактике наблюдается заметное уменьшение обилия авота от севора к югу на 0.55 dex и отсутствует градиент по кислороду.

В заключение авторы выражают благодарность за полезные обсуждения в ходе написания данной работы О. К. Сильченко.

Специальная астрофизическая обсерватория АН СССР Бюраканская астрофизическая обсерватория

# A SPECTROPHOTOMETRICAL INVESTIGATION OF THE GALAXY MARKARIAN 7

#### A. N. BURENKOV. E. Ye. KHACHIKIAN

Detailed spectrophotometrical investigation of eleven Hll regions in the clumpy irregular galaxy (ClG) Mark. 7 is carried out. The abundances of oxygen, nitrogen, sulphur and neon in Hll regions are determined. The nitrogen abundance gradient up to 0.55 dex and absence of the gradient for oxygen is observed. The abundance of elements is typical for ClG and is close to that of the Im galaxies.

#### **ЛИТЕРАТУРА**

- 1. К. А. Саакян, Э. Е. Хачикян, Астрофизика, 11, 207, 1975.
- 2. C. Casini, J. Heidmann, Astron. and Astrophys., 47, 371, 1976.
- 3. А. Т. Каллоглян, Аспрофизика, 7, 521, 1971.
- 4. L. Bottinelli, R. Duflot, L. Gouguenheim, J. Heidmann, Astron. and Astrophys. 41, 61, 1975.
- 5. Ф. Берген, А. Т. Каллоглян, Астрофизика, 10, 159, 1974.
- 6. J. R. Huchra, Astrophys. J. Suppl. Ser., 35, 171, 1977.
- 7. J. Heidmann, U. Klein, R. Wielebinski, Astron. and Astrophys., 105, 188, 1982.
- 8. H. Machara, M. Inoue, B. Takase, T. Noguchi, Publ. Astron. Soc. Jap., 37, 451, 1985.

- 9. W. L. W. Sargent, Astrophys. J., 159, 765, 1970.
- 10. A. M. Boesgaard, S. Edwards, J. Heidmann, Astrophys. J., 252, 487, 1982.
- 11. D. Kunth, M. Jouber, Astron. and Astrophys., 142, 411, 1985.
- 12. H. Machara, T. Noguchi, B. Takase, T. Handa, Publ. Astron. Soc. Jap., 39, 393. 1987.
- 13. R. P. S. Stoun, Astrophys. J., 218, 767, 1977.
- 14. M. Brocklehurst, Mon. Notic. Roy. Astron. Soc., 153, 471, 1971.
- D. Alloin, S. Collin-Souffrin, M. Joly, L. Vigrous, Astron. and Astrophys., 78, 200, 1979.
- B. E. J. Pagel, M. G. Edmunds, D. E. Blackwell, M. S. Chun, G. Smith, Mon. Notic. Roy. Astron. Soc., 189, 95, 1979.
- P. A. Shaver, R. X. McGee, L. M. Newton, A. C. Danks, S. R. Pottash, Mon. Notic. Roy. Astron. Soc., 204, 53, 1983.
- 18. И. В. Носов, Астрон. цвркульр, 1050, 1, 1979.
- J. A. Baldwin, M. M. Phillips, R. Terleutch. Publ. Astron. Soc. Pasif., 93, 5, 1981.
- 20. L. H. Aller, W. Liller, Nebulae and Interstellar Matter, Chicago, 1968, p. 483.
- 21. M. Peimbert, R. Costero, Bol. Inst. Tonantzintla, 5, 3, 1969.
- 22. P. Benvenuti, S. D'Odorika, M. Peimbert, Astron. and Astrophys., 28, 447, 1973.
- 23. L. H. Aller, S. Czyzak, Astrophys. J. Suppl. Ser., 51, 211, 1983.
- 24. D. L. Talent, Astrophys. J., 252, 594, 1982.
- 25. А. Н. Буренков, Э. Е. Хачикян, Астрофизика, 19, 826, 1986.
- 26. А. Н. Буренков, Астрофизика, 28, 47, 1988.

## АСТРОФИЗИКА

**TOM 32** 

АПРЕЛЬ, 1990

выпуск 2

УДК: 524.45NGC3718:520.826.2

#### ДЕТАЛЬНАЯ ПОВЕРХНОСТНАЯ ФОТОМЕТРИЯ ПЕКУЛЯРНОЙ ГАЛАКТИКИ NGC 3718

В. А. ГАГЕН-ТОРН, В. П. РЕШЕТНИКОВ, В. А. ЯКОВЛЕВА

Поступила 6 марта 1990 Принята к печати 20 марта 1990

Приведены результаты детального фотометрического изучения пекулярной галактики NGC 3718. Показано, что NGC 3718 представляет собой нормальную Sb-галактику, структура которой искажена приливным взаимодействием.

1. Введение. В настоящей статье сообщаются результаты детальной фотографической фотометрии пекулярной галактики NGC 3718 (Агр 214). Некоторые предварительные результаты ее фотометрического изучения, ведущегося в Астрономической обсерватории Ленинградского университета, уже опубликованы в работах [1, 2]. Первая из них посвящена в основном поляриметрии NGC 3718, во второй даются фотометрические и цветовые характеристики вдоль нескольких избранных разрезов галактики.

Репродукции крупномасштабных снижков галактики NGC 3718 имеются в Хаббловском атласе галактик [3] и в Атласе пекулярных галактик Арпа [4]. Морфология галактики очень необычна. Ее главное тело пересекает мощная ивотнутая пылевая полоса. В центральной части галактики она очень увка и кажется выходящей из почти звездообразного ядра. С удалением от ядра полоса изгибается и, расширяясь, охватывает значительную часть видимого главното тела галактики; области окончания полосы являются началом двух слабосветящихся протяженных образований, напоминающих спиральные ветви.

Расстояние до галактики при  $H_0 = 75$  км/с Мпк составляет 13 Мпк, так что 1" соответствует линейный равмер 63 пк. Общие сведения о галактике приводятся в табл. 1.

Масштабность и необычность пылевой полосы затрудняют морфолотическую классификацию NGC 3718. Холмберг [5] относит ее к галактикам типа SO<sub>p</sub>, Сендидж в [3] указывает, что Хаббл, мысленео устраняя полосу, также классифицировал галактику как SO<sub>p</sub>. Вокулёр [6, 7] припи1, 6

сывает ей тип SAB(s)a, Арп [8] — SBb. Радионаблюдения галактики 19 не прояснили ситуацию, так как по одним характеристикам галактику можно отнести к ранним морфологическим подклассам, по другим - к поздним. Не ясна также природа слабых внешних образований. напоминающих спиральные ветви. В [9], например, приводится мнение Линдблада. считающего, что они образованы веществом, выхваченным из талактики в результате приливного взаимодействия с NGC 3729. (Галактика NGC 3729 расположена от NGC 3718 на расстоянии 12' (45 клк) и именно ее влиянием обычно объясняют многие особенности NGC 3718).

ОСНОВНЫЕ ХАРАКТЕРИСТИКИ NGC 3718

2, 8 (1950)  $11^{h}29^{m}83$ , +53207147 02 60 22 Морфологический тип SAB (s). b Расстоянле 13 Mng (1"==63 ng) Поглощение в Галактике 0.0 Интегр. вид. зв. вел.,  $B_T$ 11.39 Интегр. показат. двета,  $(B-V)_T$ -0.89 $(U-B)_{\tau}$ +0.3:

Большая ось ( $\mu_R = 26$ ) Видимое сматис ( $\mu_R = 26$ ) Наклон плоскости галактики, ! Эффективный эквивал. радиус.

Абсолютная вв. вел., МВ-

Индексы концентрации, C31  $C_{32}$ HB. Балдж re b/a AHCK h ba

Отношение светимостей балджа и диска в полосе B, B/D

---19.18 9' 8=37.1 RUR 0.28 60": (U)(B)(V) 87" 69 4 63"5 1.85 1.9 2.1 1.6: 1.8 2.05 19.23 4''1 = 0.26 RIIK 1.0 21.26 46''=2.9 RIIX 0.5

0.38

Таблица 1

Целью данной работы является исследование глобальной фотометрической структуры NGC 3718, определение стандартных фотометрических характеристик галактики и более точная, чем предыдущие, морфологическая классификация.

2. Наблюдения и обработка. Нами использован тот же наблюдательный материал, что и в работе [2] — 7 UBV-снимков (3 в B, по 2 в U и V), полученных весной 1978 г. и 1979 г. в прямом фокусе 2.6-м телескопа Бюраканской астрофизической обсерватории. Пластинки были записаны на магнитную ленту на микрофотометре АМД САО АН СССР. Размер измерительной диафрагмы составлял 35 $\times$ 35 мкм (0 "75 $\times$ 0" 75), шаг записи по сканам и отсчетам — 35 мкм, размер записанного участка — 810 $\times$ 810 (10. $^{\prime}$ 2 $\times$ 10. $^{\prime}$ 2).

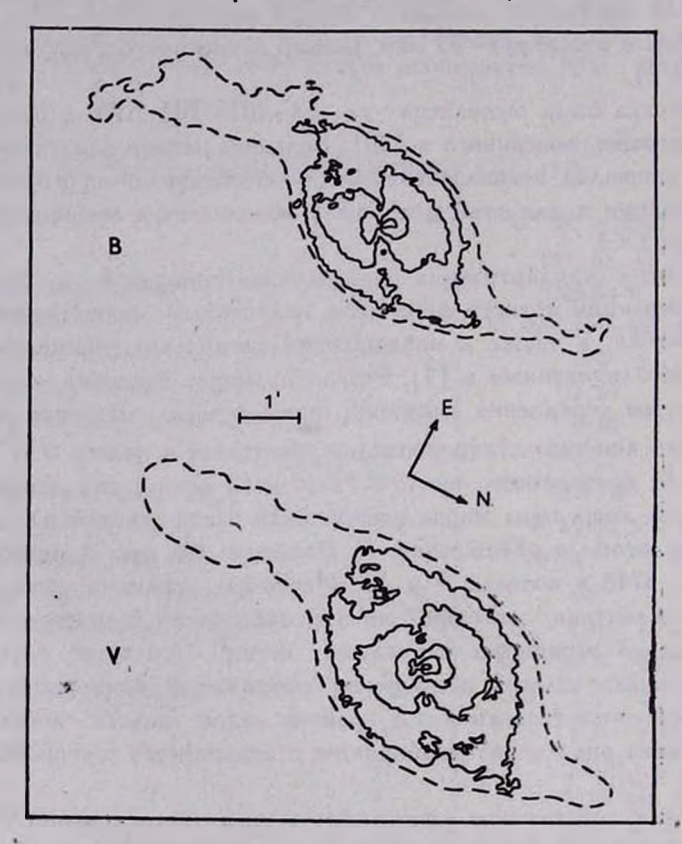
Обработка была выполнена на ЕС-1033 ВЦ ЛГУ с помощью комплекса программ, описанного в [10]. Большой размер записанных изображений не позволил воспользоваться для сглаживания протраммой линейной фильтрации и для этой цели была использована медианная фильтрация с окном 3×3.

Константы стандартизации определялись привязкой к фотовлектрическим измерениям яркости фона неба, полученным одновременно со снимками галактики, а также к наблюдениям нескольких участков галактики (марок), опубликованным в [1]. Результирующие значения констант были найдены путем усреднения значений, определенных разными способами. Погрешность констант стандартизации составляет в полосе B 0° 07, в V 0.° 14, а в U, по-видимому, около 0.° 2 (в этой полосе для стандартизации использована лишь одна марка центральной части галактики).

3. Результаты и обсуждение. 1) Изофоты. На рис. 1 приведены изофоты NGC 3718 в полосах В и V. Изофоты натлядио демонстрируют структуру галактики, состоящей из линзообразного главного тела и двух слабых широко раскрытых спиральных ветвей. Структура тлавного тела сильно искажена полосой поглощения, проходящей примерно в 5" к SW от ярчайшей точки галактики. В районе ядра полоса довольно узка (~10"), затем она плавно расширяется и отклоняется в стороны спиральных ветвей.

Основные результаты фотометрического исследования NGC 3718 приведены в табл. 1. Длина большой оси талактики по изофоте  $\mu_B=26$  составляет примерно 9.8, её позиционный угол Р. А.  $\approx 0$ . Это согласуется с диаметром по изофоте  $\mu_B=25$ , приведённым в RC2 [7], 8.7, и близко к значению 10.5 по изофоте  $\mu_V=26$  согласно [11]. Видимое сжатие галактики с учётом слабых спиральных ветвей b/a=0.28. Сжатие линзообразного главного тела  $b/a\simeq 0.5$  (соответствующее значение в RC 2 — 0.51), длина его большой оси  $\sim 5'$ , Р.А.  $\approx 155^\circ$ . Оценка наклона галактики по сжатию главного тела :  $i\approx$  вгссоз  $b=60^\circ$ .

2) Интегральные характеристики. Интегрирование в пределах все более слабых ивофот дает следующие полные асимптотические видимые звездные величины NGC 3718:  $B_T=11.39\pm0.10,\ V_T=10.50\pm0.15$  и  $U_T=11.7\pm0.2.$  Величины  $B_T$  и  $V_T$  в пределах ошибок согласуются с приведёнными в RC 2:  $B_T=11.26\pm0.11$  и  $V_T=10.53\pm0.18$ .

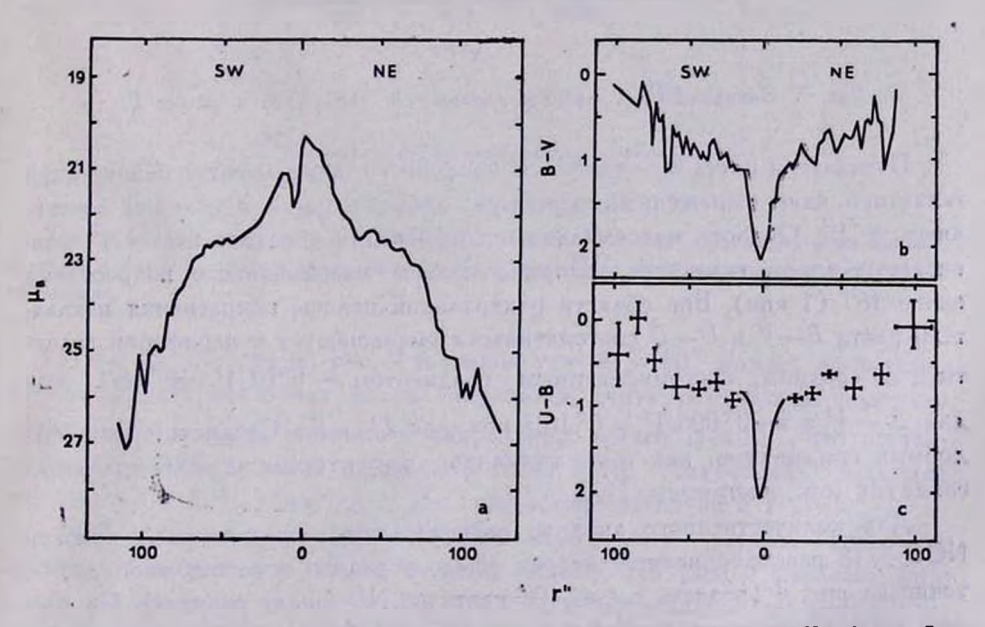


Рвс. 1. Ивофоты NGC 3718 в цветовых полосах B и V. Ярчайшая нопрерывная изофота в полосе B соответствует поверхностной ярхости 20.5, слабейшая — 23.5, пунктир — 24.5. В фильтре V соответствующие значения — 20, 24 и 25. Шаг изофот—1.0.

В работе [9] на основе радионаблюдений построена кривая вращения NGC 3718. Оптический радиус галактики по нашим данным составляет  $\sim 5'$  (18.9 кшк). Радиальная скорость на втом расстоянии от ядра по [9] составляет  $220\pm30$  км/с и, следовательно, масса галактики в пределах оптического радиуса равна  $m=\frac{V^2 \cdot r}{G}$   $\csc^2 i=(2.8\pm0.8)\cdot 10^{11}~m_{\odot}$ . Вид имо ввездной величине галактики  $B_T=11.39$  при R=13 Мпк соответст-

вует светимость  $L_B=7.3\cdot 10^9~L_\odot$  и, следовательно, наблюдаемое отношение масса—светимость составляетдля NGC 3718  $f=m/L_B=38\pm 14$ . Полученное значение очень велико и свидетельствует о значительной недооценке светимости галактики из-за поглощения пылевой полосой.

3) Распределение светимости и цветов. Для анализа фотометрической структуры NGC 3718 нами был рассмотрен разрез с позиционным углом 35°, проходящий черев точку максимальной яркости галактики. Этот разрез примерно перпендикулярен полосе поглощения и, по-видимому, за исключением самой середины в наименьшей степени иокажен ее влиянием. Распределение поверхностной яркости вдоль разреза в полосе B показано на рис. 2a, распределения показателей цвета B-V и U-B-H на рис. 2b и с. Положение точки r=0" (ядра галактики) определено путем совмещения SW и NE крыльев разреза в области  $r \gtrsim 40$ ". В пределах 1"—2" она совпадает с точкой максимальной яркости.



Pвс. 2a. Фотометрический разрез галактики в фильтре B ( $P.A.=35^{\circ}$ ); b, c — Pас-пределение пожавателей цвета вдоль разреза.

Представленный на рис. 2 фотометрический разрез имеет типичную для спиральных галактик структуру (см., например, [12]). Рис. 3, на котором изображен эквивалентный профиль светимости, также демонстрирует характерное для спиральных галактик распределение поверхностной яркости — на нем четко выделяется околоядерная область, где основной

вклад в светимость даст балдж, и последующий участок с экспоненциальным падением яркости, типичным для дисковых составляющих.

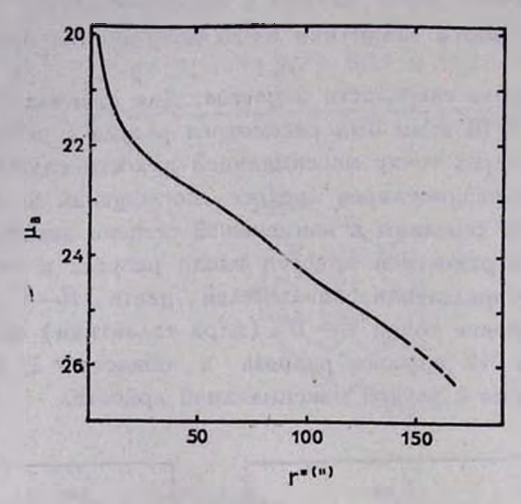


Рис. 3. Эквивалентный профиль светимости NGC 3718 в полосе В.

Показатели цвета B-V и U-B (рис. 2b, c) показывают в районе ядра галактики явно выраженный максимум, избытки цвета в котором составляют  $\sim 1^m$ . Область максимального покраснения с точностью  $\approx 1''$  совпадает с ядром галактики. Ширина полосы максимального покраснения около 16" (1 кпк). Вне области центральной полосы покраснения показатели цвета B-V и U-B систематически уменьшаются к периферии галактики со средним спроецированным градиентом  $\sim 0^m 01/1'' = 0^m 16/1$  кпк для B-V и  $\sim 0^m 006/1'' = 0^m 10/1$  кпк для U-B. Существование подобных градиентов, как и их величины, характерны для спиральных галактик (см., например, [12]).

Для количественного анализа распределения поверхностной яркости NGC 3718 рассматриваемый разрез был усреднен относительно ядра—точки на рис. 4 (область с  $r \le 10''$  взята по NE крылу разреза). По точкам, расположенным вне областей  $r \le 10''$  и  $35'' \le r \le 85''$ , было найдено приближение разреза стандартной двухкомпонентной моделью (балдж+виспоненциальный диск). Получены следующие значения параметров балджа и диска (параметр h пересчитан к большой оси галактики с учетом ее видимого сжатия):

балж— 
$$\mu = 19.23$$
,  $r_e = 4.1$ ,  $b/a = 1.0$ ; диск—  $\mu_0 = 21.26$ ,  $h = 46''$ ,  $b/a = 0.5$ .

Найденное по этим данным отношение светимостей балджа и диска в полосе B с учетом наклона составляет 0.38. Это значение B/D характерно для спиральных галактик Sab—Sb типов [13].

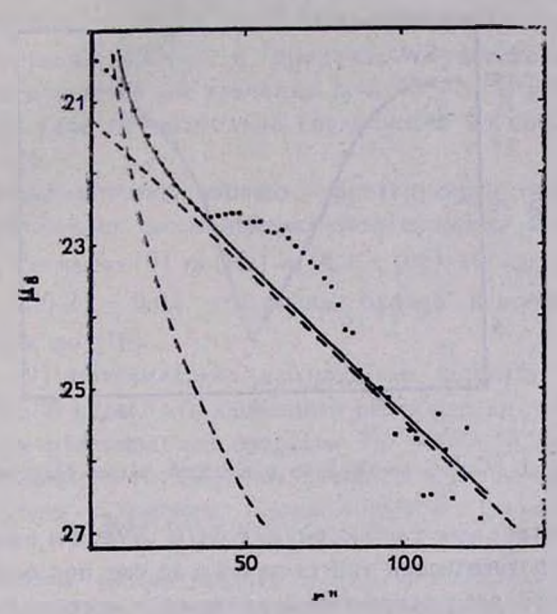


Рис. 4. Усредненный разрез NGC 3718 (точки). Пунктир — распределения яркости в диске и балдже, непрерывная линия — результирующее приближение фотометрического разреза.

Избыток яркости на рис. 4 в районе r=40''-80'' можно, по-видимому, интерпретировать как вклад спиральной структуры. Тогда получаем оценку интегральной светимости спиральных ветвей  $B\approx 13^{-1}$ , что составляет около 20% видимой светимости NGC 3718. Полученная величина так же, как и B/D, характерна для спиральных галактик с T>1.

Найденное выше приближение фотометрического разреза позволяет оценить поглощение в районе пылевой полосы. На рис. 5 показана разность наблюдаемой поверхностной яркости и вычисленной по изображенной на рис. 4 аппроксимации. Экстраполяция SW и NE крыльев профиля поглощения на точку r=0" дает оценку максимального поглощения  $A_B\simeq 4^m 2$ . Следовательно, мы получаем, что максимальное покраснение в ядре галактики должно составлять около  $1^m$ . Это значение хорошо согласуется с непосредственной оценкой покраснения по рис. 2.

В заключение этого пункта отметим еще одну особенность распределения цветов по NGC 3718. В работах [1, 2] было показано, что северовосточная часть галактики является более синей по сравнению с юго-за-

падной. Наши данные подтверждают этот вывод — в пределах расстояния r=10''-75'' средний показатель цвета NE крыла нашего фотометрического разреза  $\overline{B-V}=+0.80\pm0.04$ , а SW крыла  $\overline{B-V}=0.89\pm0.04$ .

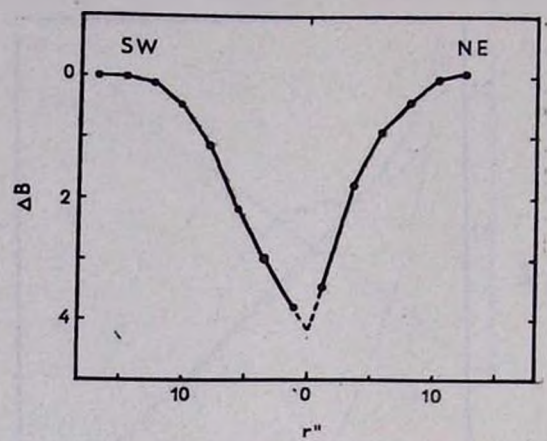


Рис 5. Модель поглощения в пылевой полосе галактики.

4) Морфологическая классификация NGC 3718. Во введении было отмечено, что морфологический тип галантики до сих пор определялся оченьнеуверенно. Самой распространенной является в настоящее время классификация NGC 3718 Вокулёром [6, 7] — SAB(s)а (T=1). Полученные нами новые данные позволяют уточнить эту классификацию.

В качестве основного параметра возьмем отношение интегральных светимостей балджа и диска. Как мы уже отмечали, в фильтре B это отношение для NGC 3718 составляет 0.38, что соответствует галактикам Sab—Sb типов. Для контроля мы рассмотрели также приближение двух-компонентной моделью эквивалентного профиля галактики, изображенного на рис. 3. Результаты приближения таковы:  $\mu_e = 23.90$ ,  $r_e = 26$ ",  $\mu_0 = 21.73$  и h = 41". Это даёт отношение B/D = 0.19, характерное для Sbc—галактик [13] (примерно втому же типу соответствуют привёденные в табл. 1 значения индексов концентрации [14]).

Таким образом, NGC 3718 с наибольшей вероятностью можно отнести к галактикам типа Sb (T=3), поскольку приведенные выше оценки отношения B/D находятся в пределах разброса эначений для галактик втого типа.

Обсудим, как согласуются с нашей классификациий NGC 3718 другие ее характеристики. Согласно [15], средний, исправленный за наклон, цвет галактик типа Sb: B-V=+0.64. Предположив, что NGC 3718 является типичной Sb-талактикой, находим избыток цвета, обусловленный наклоном галактики и поглощением пылевой полосой. —  $E_{B-V}=+0.25$ .

Следовательно, для величины интегрального поглощения получаем оценку  $A_B \gg 4.4 \cdot E_{B-V} = 1.1$ . Исправленная за поглощение видимая звездная величина галактики составляет, следовательно,  $B_0 \leqslant 10.3$ , абсолютная звёздная величина —  $M_B \leqslant -20.3$  и светимость  $L_B \gg 2.0 \cdot 10^{10} \, L_\odot$ . Отношение массы галактики в пределах оптического радиуса к её светимости уменьшается до значения  $f_0 \leqslant 14 \pm 5$ . С учётом погрешности вта оценка удовлетворительно согласуется со средним значением для Sb-галактик.

Другая характеристика, хорошо коррелирующая с морфологическим типом,— это отношение массы нейтрального водорода к полной светимости галактики. Согласно [9] m (HI) =  $(4.7 \pm 0.8) \cdot 10^9 \, m_{\odot}$  и, следовательно, m (HI)/ $L_B \approx 0.24 \pm 0.04$ . что очень близко к среднему значению для Sb-галактик по [16].

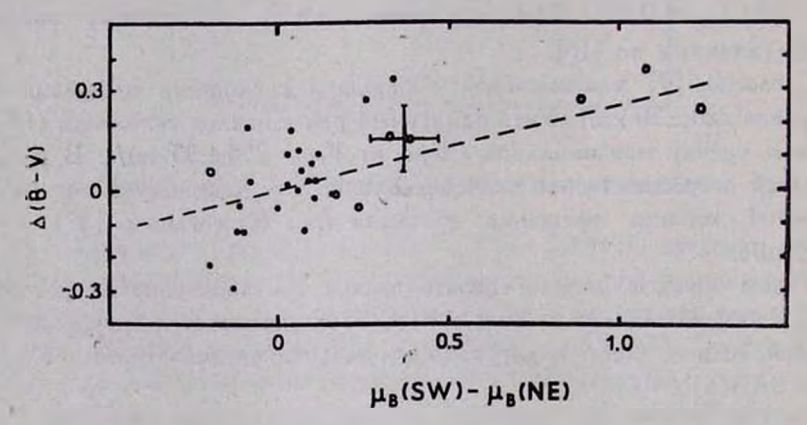
Согласно [9] максимальная наблюдаемая скорость вращения NGC 3718 равна  $220\pm30$  км/с. Учтя найденный ранее нажлон галактики ( $i=60^{\circ}$ ), получаем оценку максимальной скорости  $V_m=254\pm35$  км/с. В пределах указанной погрешности это эначение близко к медианному эначению максимальной скорости вращения галактик типа Sb согласно [17] —  $V_m=222$  км/с.

Таким образом, можно сделать вывод, что совокупность фотометрических и кинематических данных о NGC 3718 оказывается внутрение согласованной, если ее классифицировать как галактику типа Sb или, более подробно, SAB(s)b.

5) Пространственная структура NGC 3718. Пекулярность морфологии NGC 3718 часто связывают с ее гравитационным вваимодействием с NGC 3729. Наиболее простым и реалистичным является предположение, согласно которому NGC 3718—это расположенная к нам почти с ребра галактика, чей диск первоначально лежал в плоскости, совпадающей с плоскостью пылевой полосы в центре галактики, а затем в результате взаимодействия с NGC 3729 его внешние части сильно изотнулись [9]. Воэможно, что расширение полосы поглощения с удалением от ядра является следствием одновременного разворота плоскости пылевого диска от начальной плоскости.

Согласно такой модели в центральной части галактики плоскость пылевого диска почти совпадает с лучом эрения. Судя по видимой на рис. 5 асимметрии поглощения в ядре, диск ориентирован так, что его SW часть и нам ближе, NE — дальше. Об втом же, по-видимому, свидетельствует и крупномасштабная асимметрия распределения показателя цвета B—V вдоль малой оси. Для проверки предположения о происхождении асимметрии распределения цвета вследствие поглощения в слое пыли нами была

рассмотрена зависимость  $(B-V)_{SW}-(B-V)_{NE}$  от  $\mu_B(SW)-\mu_B(NE)$ , где  $(B-V)_{SW}$  и  $(B-V)_{NE}$ — показатели цвета вдоль малой оси на равных расстояниях к SW и NE от ядра, а  $\mu_B(SW)$  и  $\mu_B(NE)$ — поверхностные яркости в тех же точках. Результат приведён на рис. 6. где точками показаны результаты настоящей поверхностной фотометрии, кружками—данные работы [2] (все—в зоне  $10'' \leqslant r \leqslant 55''$ ), а крестом—результаты фотовлектрической фотометрии из [1]. Прямая линия— ожидаемая корреляция для нормального закона покраснения  $A_B = 4 \cdot E_{B-V}$ . Очевидно, что данные наблюдений удовлетворительно согласуются с ожидаемой зависимостью и не противоречат сделанному предположению.



Pнс. 6. Асимметрия распределения повержностной ярхости и похазателя цвета B—V вдоль мелой оси галактики.

Считая далее, что плоскости пылевого и звездного дисков совпадают, мы получаем, что галактика обращена к нам юго-западным краем. Согласно [9], NGC 3718 вращается так, что ее северная часть приближается, южная — удаляется. Следовательно, слабые внешние спирали галактики являются отстающими, как и полагается нормальным спиральным ветвям. Обычную спиральную природу внешних протяженных образований подтверждают также их цветовые характеристики: так, вплоть до 4' (15 кпк) от ядра показатель цвета южной более яркой спирали остается примернопостоянным ( $B-V=+0.3\div+0.4$ ) и соответствует цвету нормальных ветвей.

4) Заключение. Ревультаты нашего фотометрического изучения показали, что NGC 3718 является достаточно обычной галактикой типа Sb. Пекулярность морфологии NGC 3718 обусловлена, по-видимому, некомпланарностью ее структуры и условиями видимости (луч врения почти совпадает с плоскостью центральной части галактики). Для дальнейшего продвижения в изучении NGC 3718, по нашему мнению, необходимы новые высококачественные фотометрические наблюдения центральной части галактики (с разрешением не хуже 1"), а также детальное исследование ее поля скоростей.

Авторы выражают благодарность руководству Бюраканской астрофизической обсерватории за предоставление времени на 2.6-метровом телескопе и руководству САО АН СССР за возможность использования микроденситометра АМД.

Лениппрадский государственный университет

# DETAIL SURFACE PHOTOMETRY OF PECULIAR GALAXY NGC 3718

### V. A. HAGEN-THORN, V. P. RESHETNIKOV, V. A. YAKOVLEVA

The results of photometric investigation of peculiar galaxy NGC 3718 are given. NGC 3718 is shown to be a normal Sb galaxy disturbed by the tidal forces.

### **ЛИТЕРАТУРА**

- 1. В. А. Газен-Тори, И. И. Попов, В. А. Яковлева, Аспрофизика, 17, 35, 1981.
- 2. И. И. Попов, Тр. АО ЛГУ, 39, 73, 1984.
- 3. A. Sandage, The Hubble Atlas of Galaxies, Carnegie Inst. of Washington, 1961.
- 4. H. Arp. Atlas of Peculiar Galaxies, Pasadena, 1966.
- 5. E. Holmberg, Medd. Lund. Astron. Observ., No 136, 1, 1958.
- 6. Ж. Вокулёр, в кн. «Строение зваздных систем», М., 1962, стр. 351.
- 7. G. de Vaucouleurs, A. de Vaucouleurs, H. G. Corwin, Second Reference Catalogue of Bright Galaxies, Austin, 1976.
- 8. H. Arp, Astrophys. J., 185, 797, 1973.
- 9. N. J. Allsopp. Mon. Notic. Roy. Astron. Soc., 186, 343, 1979.
- 10. В. В. Макаров, В. П. Решетников, В. А. Яковлева, Тр. АО ЛГУ, 41, 112, 1987.
- 11. K. Kodaira, M. Watanabe, S. Okamura, Astrophys. J. Suppl. Ser., 62, 703, 1986.
- 12. R. Buta, Astrophys. J. Suppl. Ser., 64, 383, 1987.
- 13. F. Simien, G. de Vaucouleurs, Astrophys. J., 302, 564, 1986.
- 14. В. П. Решетников, Кинемат. и физ. небесн. тел, 1990 (в печати).
- 15. А. В. Засов, В. В. Дёмин, Астрон. ж., 56, 941, 1979.
- G. Efstathiou, G. Lake, J. Negroponte, Mon. Notic. Roy. Astron. Soc., 199, 1069 1982.
- 17. V. C. Rubin, D. Burstein, W. K. Ford, N. Thonnard, Astrophys. J., 289, 81, 1985.
- 18. D. Burstein, C. Heiles, Astrophys. J. Suppl. Ser., 54, 33, 1984.

### **АСТРОФИЗИКА**

**TOM 32** 

АПРЕЛЬ, 1990

выпуск 2

УДК: 524.47

### О ВОЗМОЖНОМ МЕХАНИЗМЕ ОБРАЗОВАНИЯ ШОЗОТАНТИЙ В КОРОНЕ ГИГАНТСКОЙ ЭЛЛИПТИЧЕСКОЙ ГАЛАКТИКИ

В. Г. ГОРБАЦКИЙ

Поступила 6 марта 1990

Рассматривается эволюция газовых конденсаций в короне гигантской Е-галактижи. Если масса конденсации достаточно велика, она должна двигаться к центру галактики. Как показали расчеты, в охлаждающемся газе возможно возникновение правитационной неустойчивости на некотором расстоянии от центра галактики. Результатом такой неустойчивости может быть фрагментация конденсаций. Обсуждаются некоторые наблюдательные данные о распределении шаровых скоплений в коронах.

1. Введение. Вопрос о путях формирования системы шаровых скоплений (ШС) у гигантских валиптических галактик до сих пор не решен. Эти системы отличаются от систем ШС у спиральных галактик в ряде отношений. В первую очередь обращает на себя внимание значительный избыток содержания ШС у многих гигантских галактик типов Е. D [1-3]. Характерны также большая протяженность системы, неоднородность ШС по «металличности» [4]. Было высказано предположение об образовании ШС в протогалактическом облаке [5] в результате травитационной неустойчивости составляющего его газа. С другой стороны, высказывалось мнение о гравитационной неустойчивости в текущем к массивной галактике межгалактическом газе (т. н. «охлаждающееся течение») как одной из причин, определяющих специфические черты системы ШС галактик типа сD [6]. Однако многие из особенностей систем не объясняются на основе этих предположений — в частности, значительная доля скоплений находится на большом расстоянии от центра галактики, где температура газа велика  $(T \gtrsim 10^7 \text{ K})$ , а плотность его мала, и поэтому условия для развития в необходимых масштабах гравитационной неустойчивости неблагоприятны.

В недавнее время у многих гигантских валиптических талактик были обнаружены обширные газовые короны [7]. Если в короне каким-либо путем возникает уплотнение, включающее в себя достаточно большую массу, то при определенных условиях оно должно стать гравитационно неустойчивым и может дать начало ШС [8]. В качестве одной из причин присут-

ствия конденсаций в короне можно предположить наличие «первичных» уплотнений (облаков) в той межгалактической среде, из которой сбразуется корона.

В данной статье указанный механизм образования ШС обсуждается более детально, чем в [8]. Сделаны некоторые выводы относительно массы образующихся шаровых скоплений и распределения их по расстоянию от центра галактики.

2. Условия сохранения и эволюции конденсаций в короне галактики. Горячие газовые короны талактик были обнаружены по испускаемому ими ренттеновскому излучению. По своей массе корона сравнима со всем звездным населением галактики, а у массивных галактик масса короны близка к полной массе звезд ( $\mathfrak{M}_* \gtrsim 10^{12} \,\mathfrak{M}_{\odot}$ ). Вопрос в том, за счет каких факторов газ короны удерживается от диссипации, пока не выяснен. Это может быть и действие скрытой массы, на порядок превышающей звездную, и давление межгалактической среды. Так или иначе, но корону считают находящейся в состоянии, близком к гидростатическому равновесию [9].

Модельные расчеты структуры квазистационарной короны показали [10], что распределение давления (p(r)) и концентрации атомов (n(r)) в ней могут быть аппроксимированы степенными функциями:

$$p(r) = p(r_0) \left(\frac{r_0}{r}\right)^{k_1}; \ n(r) = n(r_0) \left(\frac{r_0}{r}\right)^{k_2}.$$
 (1)

Это подтверждается и данными рентгеновских наблюдений [10]. Интервалы значений  $k_1$  и  $k_2$  следующие:  $0.5 \lesssim k_1 \lesssim 1.0$ ;  $1.0 \lesssim k_2 \lesssim 1.5$ .

Концентрация атомов в газе на внешней границе короны ( $r=R_{\rm кор}$ ) находится из соотношения:

$$n(R_{\text{mop}}) = \frac{\frac{\mu}{m_{\text{m}}} (3 - k_2) \, \mathfrak{M}_{\text{mop}}}{4\pi \, \tilde{\mathcal{R}}_{\text{mop}}^3} \, . \tag{2}$$

Для оценки концентрации и температуры газа в короне воспользуемся данными рентгеновских наблюдений галактики М 87 [11]. Для нее  $R_{\text{вор}} \approx 200$  кпк, а масса приблизительно равна массе звезд, содержащихся в галактике  $\mathfrak{M}_* \approx \mathfrak{M}_{\text{кор}}$ . По абсолютной звездной величине  $M_V = -22^m$  38 (при расстоянии до галактики 16 Мпк) имеем  $\mathfrak{M}_* \approx 10^{12} \, \mathfrak{M}_{\odot}$ . Если  $\mathfrak{M}_{\text{кор}} = 10^{12} \, \mathfrak{M}_{\odot}$  и  $k_2 = 1.5$ , то по соотношению (2) получаем, что  $n \, (R_{\text{кор}}) \approx 10^{-3} \, \text{см}^{-3}$ . Величина температуры на внешней границе короны М 87  $T \, (R_{\text{кор}}) \approx 2 \cdot 10^7 \text{K}$  [11]. Можно полагать, что приведенные значения  $n \, (R_{\text{кор}})$  и  $T \, (R_{\text{кор}})$  характерны и для других галактик в настоящую эпоху.

При указанных значениях T и n время высвечивания превосходит хаббловское, и повтому в предположении однородности газа короны (при отсутствии начальных конденсаций) вблизи периферии не может возникнуть и развиваться тепловая неустойчивость. Ближе к центру ( на расстояниях  $r = \frac{R_{\text{вор}}}{2}$ ) тепловая неустойчивость возможна.

Если размер области повышенной плотности (и, соответственно, пониженной температуры) недостаточно велик, то в результате прогрева окружающим газом плотность выровняется и конденсация исчезнет. Оценим расстояние  $R_c$ , на которое распространяется тепло в конденсации за характерное время ее охлаждения (высвечивания)  $t_c$ . При достаточно высокой температуре газа в конденсации ( $T_k \gtrsim 10^6 \mathrm{K}$ ) функция высвечивания  $\propto T_k^{-0.5}$  и повтому, согласно [12],

$$t_c \approx \frac{10^{-21} T_k^{3/2}}{F_k}$$
 (3)

Величина Яс оценивается из соотношения

$$R_c \approx \sqrt{2\gamma_k t_c}$$
 (4)

где  $\chi_k = \frac{x_k}{\rho_k \, c_p}$  — ковффициент температуропроводности.

Приняв для коэффициента теплопроводности х, выражение

$$x_{k} = 6 \cdot 10^{-7} \ 7_{k}^{5/2}, \tag{5}$$

пригодное в условиях, существующих в коронах галактик, из (3)—(5) имеем:

$$R_c \approx 6 \cdot 10^4 \frac{T_k^2}{n_k}. (6)$$

Для того, чтобы конденсацию было допустимо рассматривать как единый эволюционирующий объект, приблизительно сферической формы и однородный по плотности и температуре, изменение параметров газа во всем его объеме должно происходить более или менее синхронно. Соответственно размер конденсации должен быть гораздо меньшим, чем величина  $R_s$ , равная

$$R_s = c_0 t_c. (7)$$

Здесь через  $c_0$  обозначена скорость звука в конденсации. Используя (3) и известное выражение для  $c_0$ , получаем

$$R_{\star} \approx 3 \cdot 10^6 \frac{T_{\star}^2}{n_{\star}} \,. \tag{8}$$

Пределы, между которыми должна находиться величина массы конденсации  $\mathfrak{M}_k = \frac{4}{3}\pi R_k^3 \rho_k$  для того, чтобы возмущение могло в дальнейшем вволюционировать (уплотняться), устанавливаются при посредстве (6) и (3),

$$2 \cdot 10^{-9} \frac{T_k^6}{n_k^2} \ll \mathfrak{M}_k \ll 2 \cdot 10^{-4} \frac{T_k^6}{n_k^2}$$
 (9)

Заметим, что правое неравенство должно быть очень сильным-преобладание не менее, чем на полтора-два порядка.

Применим (9) для оценки возможной массы конденсации, находящейся на некотором среднем уровне в короне, скажем, при r=75 кпк. Приняв указанные выше величины  $T(R_{\rm кор})$  и  $n(R_{\rm кор})$  и положив  $k_1=1$  и  $k_2=1.5$ , для конденсации, в которой  $T_k=\frac{1}{2}$  T(75) и  $n_k=2$  n (75), находим

$$10^5 \ll \frac{\mathfrak{M}_k}{\mathfrak{M}_{\odot}} \ll 10^{10}. \tag{10}$$

Величины  $\mathfrak{M}_k$ , соответствующие массам шаровых скоплений  $\mathfrak{M}_{\text{IIIC}} \gtrsim 10^6 \, \mathfrak{M}_{\odot}$ , этим неравенствам удовлетворяют. На существенно более глубоком уровне, например, при r=25 кпк,

$$10^2 \ll \frac{\mathfrak{M}_k}{\mathfrak{M}_{\odot}} \ll 10^7 \tag{11}$$

и, следовательно, значение  $\mathfrak{M}_k$  меньше, чем величина массы типичных ШС. Таким образом, «выжить» и эволюционировать как целое мотут только те из конденсаций, которые находятся не слишком близко к центру галактики, но при этом и не на периферии короны — на уровнях  $30 \lesssim r \lesssim 100$  кпк.

В следующем разделе рассматриваются изменения температуры и плотности в конденсации при ее перемещении в тлубь короны.

3. Движение конденсации в короне залактики. Плотность в вволюционирующей конденсации больше, чем в окружающей ее среде, и повтому она должна смещаться по направлению к центру галактики. Если считать конденсацию однородным по плотности  $(\rho_k)$  и температуре  $(T_k)$  шаром, то окорость ее движения определяется уравнением

$$\left[1 + \frac{2 T(r)}{T_k} \middle| \frac{dv_k}{dt} = 2 \left[ \frac{T(r)}{T_k} - 1 \middle| \frac{1}{\rho(r)} \frac{d\rho(r)}{dr} - \frac{3}{4} c_x v_k^2, \right]$$
(11)

где  $c_x$  — коэффициент сопротивления среды (порядка единицы) и также принято, что величина давления внутри конденсации и снаружи нее одинакова, то есть  $p_k(r) = p(r)$ . Отсюда следует соотношение:

$$\frac{T(r)}{T_k(r)} = \frac{\rho_k(r)}{\rho(r)} > 1. \tag{12}$$

Значение скорости установившегося движения  $\overline{v}_{k}$  соответствую-

щего условию  $\frac{dv_k}{dt} = 0$ ) достигается за время, равное по порядку величины времени прохождения конденсацией пути длиной  $R_k$ . Из (11) получается следующее значение  $[v_k]$ :

$$|\overline{v}_k| \approx 1.6 \sqrt{\frac{R_k}{r^2} G \mathfrak{M}_{\text{rax}} \left(\frac{\rho_k}{\rho(r)} - 1\right)}$$
 (13)

Это выражение может быть записано в виде:

$$|\overline{v}_k| \approx 1.6 \sqrt{\frac{R_k}{r} \left| \frac{\rho_k}{\rho(r)} - 1 \right|} v_{\text{mena}}(r).$$
 (13')

Соотношение (13') можно использовать, пока выполняется условие  $\frac{R_k}{r} \frac{\rho_k}{\rho(r)} \lesssim 1$ . Так как  $\rho_k \propto R_k^{-3}$ , то  $|v_k| \propto R_k^{-1} v_{\text{вепа}}(r)$ . При сжатии конденсации и достижении достаточно малого значения  $R_k$  движение должно происходить в режиме свободного падения на галактику. Если момент количества движения конденсации относительно центра галактики отличен от нуля, она должна обращаться вокруг центра галактики.

Во время движения конденсация теряет свою внутреннюю энергию путем ее высвечивания, а плотность газа возрастает. Одновременно газ нагревается под действием давления извне. Кроме того, конденсация может нагреваться излучением окружающего ее более горячего газа. Можно показать, что при  $T \gtrsim 10^6$  K по эффективности нагрев за счет указанных факторов значительно уступает потерям энергии вследствие излучения. Уравнение, определяющее скорость падения температуры в конденсации, записывается в виде [12]:

$$\frac{dT_k}{dt} = -\sigma_0 \, \rho_k \, F(T_k), \tag{14}$$

гле  $\sigma_0 \approx 2 \cdot 10^{39} \text{ г}^{-2} \text{ см}^{-2} \text{ с}^3 \text{ K}.$ 

При известной функции  $F(T_k)$ , приняв во внимание (1) и (12), а также уравнение состояния газа, из соотношения (14), записанного в виде

$$v_k \frac{dT_k}{dr} = -\sigma_0 \varphi_k F(T_k), \qquad (15)$$

можно найти зависимость температуры  $T_k$  от расстояния конденсации до центра  $r_k$ :

$$T_k = \varphi (r_k, r_0, T^{(0)}, p^{(0)}, T_k^{(0)} \mathfrak{M}_k, \mathfrak{M}_{ran}, k_1, k_2).$$
 (16)

Здесь  $r_0$  — начальное расстояние конденсации от центра галактики,  $T^{(0)}$  и  $p^{(0)}$  — значения температуры и давления газа в короне на уровне  $r_0$  соответственно и  $T_k^{(0)}$  — величина температуры в конденсации в начальный момент.

Вместе с уменьшением температуры в конденсации сокращается и ее радиус  $R_h$ , вависящий от тех же параметров, что и  $T_h$ . Прв некотором значении  $r_h = r_J$ , когда джинсовская длина волны сравнивается с  $R_h$ , в конденсации может возникнуть гравитационная неустойчивость. Для определения величины  $r_J$ , учитывая известное выражение критической длины волны, получаем следующее уравнение:

$$R_{k}[r_{f}, r_{0}, \rho_{k}(r_{f}), T^{(0)}, p^{(0)}, T^{(0)}_{k}, \mathfrak{M}_{k}, \mathfrak{M}_{rax}, k_{1}, k_{2}] = \left[\frac{7R^{*}}{\pi \mu_{*} G} \frac{T_{k}(r_{f})}{\rho_{k}(r_{f})}\right]^{1/2}.$$
(17)

Конденсация может превратиться в шаровое скопление, если при  $\mathfrak{M}_k = \mathfrak{M}_{\text{ШС}}$  значение r, оказывается в интервале ( $R_{\text{гал}}$ ,  $r_0$ ), где через  $R_{\text{гал}}$  обозначена величина радиуса галактики.

В процессе развития гравитационной неустойчивости условие равенства внутреннего и внешнего давлений может нарушиться и это должно сказаться на характере процесса, который вначале представляет собой коллапс конденсации. Что же касается значения гл, то оно не должно существенно зависеть от наличия внешнего давления, поскольку предполагается его компенсация внутренним и, во всяком случае, при учете внешнего давления значение гл может только увеличиться.

Расчеты величины  $r_J$  выполнялись при различных значениях параметров, от которых зависит  $\rho_k$ , с использованием функции высвечивания, приведенной в [13]. Для значений температуры  $T_k < 10^4$  К использовались различные предположения о характере высвечивания, и оказалось, что они практически не оказываются на значении  $r_J$ .

В результате расчетов выяснилось, что при  $\mathfrak{M}_k \gtrsim 10^6 \ \mathfrak{M}_\odot$  значение  $\frac{r_f}{r_0}$  сильно зависит от принятой величины отношения  $T_k^{(0)}/T_0$ , а за-

висимость от других параметров сравнительно слабая. Если  $T_k^{(0)}/T^0 \gtrsim 0.5$ , то значение  $r_f$  не попадает в интервал  $(R_{\rm ran}, r_0)$  даже при  $r_0 = 0.5 \; R_{\rm kop}$ , не говоря о меньших  $r_0$ . Если же  $T_k^{(0)}/T^0 \lesssim 0.3$ , то  $\frac{r_f}{r_0} \gtrsim 0.7$  и  $T_k^*(r_f) \approx 3 \cdot 10^3 \; {\rm K}$ . Таким образом, для величины  $T_k(r_f)$  получаются значения, при которых естественно ожидать наступления гравитационной неустойчивости, и возникновение в коронах вллиптических галактик гравитационно неустойчивых образований, по массе соответствующих ШС, представляется вполне возможным.

4. Заключительные замечания. Вопрос о том, реализуется ли обсуждавшийся механизм образования шаровых скоплений в коронах галактик, может быть решен только путем анализа наблюдательных данных. Пространственное распределение ШС, возникающих в охлаждающем течении, должно быть иным, чем для скоплений, образующихся путем уплотнения существующих в короне конденсаций. Как отмечалось выше, условия для наступления гравитационной неустойчивости блатоприятны лишь в самых внутренних областях аккреционного потока — там, где температура достаточно низкая. Если в охлаждающем течении и формируются ШС, то они должны концентрироваться на малых расстояниях от центра галактики. Образование же ШС в результате эволюции конденсаций возможно только в более внешних областях короны и поэтому преобладающая доля скоплений должна располагаться достаточно далеко от центра галактики— на расстояниях  $r \gtrsim 0.3 R_{\text{кор}}$ .

В галактике М 87, как и подобных ей, поверхностная концентрация ШС  $\sigma(r)$  при  $r \gtrsim 25$  кпк убывает с расстоянием гораздо медленнее, чем поверхностная яркость звездного гало [14]. Это особенно заметно при  $r \gtrsim 0.2$   $R_{\text{кор}} \approx 40$  кпк. Начиная с  $r \approx 100$  кпк происходит значительный спад величины  $\sigma(r)$  и для  $r \gtrsim 0.6$   $R_{\text{кор}} \approx 120$  кпк  $\sigma(r) \approx 0$ . Хотя радиус системы ШС больше, чем размер звездного гало, но он меньше радиуса газовой горячей короны. Если полагать, что в области  $0.2 \lesssim \frac{r}{R_{\text{кор}}} \lesssim 0.6$  большую долю ШС в системы составляют скоп-

ления, образующиеся в результате эволюции возмущений плотности газа, то имеем согласие проведенных выше оценок для области их образования с данными наблюдений.

Для того, чтобы найти теоретически распределение по массам ШС, возникающих из газовых конденсаций, нужно знать начальную функцию распределения по массам таких конденсаций. Эта функция неизвестна, но естественно предполагать, что вероятность существования газовой конденса-

ции данной массы тем меньше, чем больше масса. Если аппроксимировать функцию масс степенной зависимостью

$$f(\mathfrak{M}) d\mathfrak{M} = A \mathfrak{M}^{-1} d \mathfrak{M}, \tag{17}$$

где  $f(\mathfrak{M})$   $d\mathfrak{M}$  — число конденсаций с массой в интервале от  $\mathfrak{M}$  до  $\mathfrak{M}+d\mathfrak{M}$ , то можно найти среднее значение массы. Приняв, без достаточного пока обоснования, но по аналогии со спектром масс межзвед-

ных облаков в Галактике,  $\nu=\frac{3}{2}$  и интервал значений массы [ $\mathfrak{M}_{\min}$ ,

 $\mathfrak{M}_{\mathtt{max}}$ ], для средней величины массы получаем выражение ( $\mathfrak{M}_{\mathtt{min}} \ll \mathfrak{M}_{\mathtt{max}}$ ):

$$\langle \mathfrak{M}_{k} \rangle \approx \sqrt{\mathfrak{M}_{\min} \mathfrak{M}_{\max}}.$$
 (18)

Используя неравенства (10), из (18) находим, что для ШС в галактике М 87 среднее значение массы должно составлять ( $10^6 \div 5 \cdot 10^6$ )  $\mathfrak{M}_{\odot}$  в зависимости от величины r.

Согласно [3], абсолютные величины ШС в М 87 группируются около эначения  $M_B \simeq -7^m$  (заметим, что в Галактике ШС в среднем существенно ярче). Отсюда получается, что массы их труппируются около величины  $10^6~\rm M_{\odot}$ , а среднее значение массы близко к  $2\cdot 10^8~\rm M_{\odot}$ . Это соответствует оценке, полученной из (18),и такое соответствие является дополнительным аргументом в пользу предлагаемой в данной работе точки эрения о возможности происхождения ШС в коронах гигантских эллиптических галактик из тазовых конденсаций. По-видимому, такую возможность следует учитывать при исследованиях структуры систем ШС.

Надо иметь в виду, что в впоху образования ШС свойства газовой короны галактики могли быть иными, чем в настоящее время. Это может сказаться на численных оценках, но вряд ли сделает рассмотренный механиям образования ШС неоффективным.

Ленинорадожни государственный университет

# ON THE POSSIBLE WAY OF GLOBULAR CLUSTER FORMATION IN CORONAE OF GIANT ELLIPTICAL GALAXIES

### V. G. GORBATSKY

The evolution of gaseous condensations in the corona of giant E galaxy is considered. The condensation must move to the galaxy centre if its mass is great enough. As the calculations have shown Jeans instability in the cooling gas becomes possible of some distance from the galaxy centre. The fragmentation of the condensation to stars may be the result of such instability. Some observational data on the distribution of globular clusters in coronae are discussed in this context.

### **ЛИТЕРАТУРА**

- 1. R. E. White III, Mon. Notic. Roy. Astron. Soc., 227, 185, 1985.
- 2. W. E. Harris, Astrophys. J., 315, L 29, 1987.
- 3. W. E. Harris, Astron. J., 91, 822, 1985.
- 4. S. van den Bergh, Astrophys. and Space Sci., 118, 435, 1986.
- 5. M. Fakl, M. Rees. Astrophys. J., 298, 18, 1985.
- 6. A. C. Fabian, P. E. J. Nulsen, C. R. Canizares, Nature, 310, 733, 1984.
- 7. M. Forman, C. Jones, W. Tucker, Astrophys. J., 283, 102, 1985.
- 8. В. Г. Горбанкий, Астрон. циркуляр, № 1534, 5, 1988.
- 9. В. Г. Берман, А. А. Сучков, Письма в Актрон. ж., 13, 843, 1987.
- 10. Е. В. Волков, Астрофизика, 24, 477, 1986.
- G. C. Stewart, C. R. Canizares, A. C. Fobian, P. E. J. Nulsen, Astrophys. J., 273, 536, 1984.
- 12. В. Г. Горбанкий, Вестн. ЛГУ, № 19, 112, 1962.
- 13. J. C. Raymond, D. P. Cox, B. W. Smith, Astrophys. J., 204, 290, 1976.
- 14. C. Crillmair, Ch. Pitchet, S. van den Bergh, Astron. J., 91, 1328, 1986.

## **АСТРОФИЗИКА**

**TOM 32** 

АПРЕЛЬ, 1990

ВЫПУСК 2

УДК: 524.37—852—652

### ДИФФУЗНОЕ ОТРАЖЕНИЕ СВЕТА СФЕРИЧЕСКОЙ ТУМАННОСТЬЮ

А. К. КОЛЕСОВ, В. В. СОБОЛЕВ

Поступила 6 марта 1990

Рассматривается задача о диффузном отражения света однородным шаром. Предполагается, что в шаре происходят изотролное рассеяние и истинное поглощение излучения. Для решения задачи применяются известные интегро-дифференциальные уравнения для коэффициента отражения, преобразованные нами к более удобной форме. Получены асимптотические формулы для коэффициента отражения шара большого оптического радиуса. Найдены также асимптотические формулы для светимости сферической
туманности при разных положениях освещающей звезды.

1. Введение. Большой интерес для астрофизики представляет задача о многократном рассеянии света в средах, обладающих сферической симметрией. К ним относятся протяженные оболочки звезд, сферические туманности, ядра галактик и другие объекты. Вследствие сложности задачи она решается преимущественно численными или приближенными методами.

С целью получения точных аналитических решений обычно рассматривается простейший случай сферически-симметричной среды — однородный шар. В этом случае при изотропном рассеянии определение функции источников сводится к решению интегрального уравнения такого же типа, как в случае плоского слоя (см., например, [1—3]).

В работах [4] и [5] были получены точные формулы для оветимости шара при различных источниках внергии. При этом светимость шара оптического радиуса х была выражена через функции Амбарцумяна ф (2x, η) и ф (2x, η) для плоского слоя оптической толщины 2x. В работе [4] принималось, что источники внергии равномерно расположены в шаре, а в работе [5] рассматриваются два случая расположения источников: 1) шар освещен параллельными лучами, 2) на границе шара находится точечный источник излучения. Если под шаром понимать туманность, а под точечным источником звезду, то можно сказать, что первый из втих случаев соответствует расположению звезды на бесконечно-большом расстоянии от туманности, а второй — на ее границе.

Для решения задачи о диффузном отражении света шаром в ряде работ был введен коэффициент отражения, зависящий от углов падения и отражения (как в случае плоского слоя). Знание этой функции поэволяет находить интенсивность выходящего из шара излучения при произвольных внешних источниках излучения, обладающих сферической симметрией.

В работах [6—12] найдено и исследовано интегро-дифференциальное уравнение, определяющее непосредственно комффициент отражения. Для получения уравнения использовался метод добавления к данному телу слоя бесконечно малой оптической толщины и рассмотрения происходящих в нем процессов.

В работах [13—15] получена асимптотическая формула для коэффициента отражения света шаром большого оптического радиуса. При этом применялось соотношение между интенсивностью излучения, выходящего из шара, и интенсивностью излучения в бесконечной среде, в которую шар считается погруженным.

В работах [16, 17] подробно исследована связь между излучением, рассеянным шаром, и излучением, рассеянным плоским слоем. Это дало возможность получить асимптотическую формулу для ковффициента отражения и выражения для его моментов и димоментов.

В настоящей статье также рассматривается проблема диффузного отражения света однородным шаром. При этом используются интегро-дифференциальные уравнения, полученные ранее и преобразованные нами к более удобной форме для решения. В результате получаются асимптотические формулы для ковффициента отражения — более точные, чем в работах [13—15]. Показывается, что ковффициент отражения шара при  $x \gg 1$  выражается только через функцию  $\phi(\eta)$ , характеризующую отражение света полубесконечным плоским слоем. Найдены также асимптотические формулы для светимости сферической туманности, освещенной звездой в двух упомянутых выше случаях.

2. Основные уравнения. Будем считать, что в однородном шаре радиуса х может происходить изотропное рассеяние и истинное потлощение света.

Пусть в каком-то месте поверхности шара падают фотоны под углом агссоз  $\zeta$  к нормали. Диффундируя в шаре, одна часть фотонов может погибнуть (испытав истивное поглощение), а другая может выйти наружу—в любом месте поверхности и под любым углом агссоз  $\eta$ . Для характеристики части фотонов, выходящих наружу (как говорят, отраженных шаром), мы будем употреблять ковффициент отраженил  $\rho_s(x, \eta, \zeta)$ .

Физический смыса ковффициента отражения состоит в том, что для каждого фотона, падающего под углом агссов  $\zeta$ , величина  $2\eta p_s(x)$ 

 $\eta$ ,  $\zeta$ )  $d\eta$  представляет собой вероятность выхода его наружу в любом месте поверхности в интервале косинусов угла от  $\eta$  до  $\eta+d\eta$ . Очевидно, что при угле падения фотонов агссоз  $\zeta$  светимость шара равна

$$2\int_{0}^{1} \rho_{s}(x, \eta, \zeta) \eta d\eta.$$

Если шар освещен так, что в каждом месте его поверхности падает под углом агссов  $\zeta$  излучение интенсивности  $I_0$ , не зависящей от азимута (т. е. в виде "светового конуса"), то интенсивность излучения, отраженного шаром в каждом месте под углом агссов  $\eta$ , будет равна  $\frac{I_0}{2} \rho_x(x, \eta, \zeta) \zeta$ .

Таким образом, с помощью кооффициента отражения р<sub>в</sub> (x, η, ζ) могут быть определены как светимость шара — при любых внешних источниках энергии, так и интенсивность излучения, отраженного шаром под любым углом отражения — при одинаковом внешнем освещении каждого места поверхности.

Уравнение для определения функции  $\rho_s$  (x,  $\eta$ ,  $\zeta$ ) может быть записано в виде

$$\eta \zeta \frac{\partial \rho_s(x, \eta, \zeta)}{\partial x} + (\eta + \zeta) \rho_s(x, \eta, \zeta) = \frac{1}{x} R(\rho_s) + \frac{\lambda}{4} [\varphi_s(x, \eta) + e^{-2x\eta}] [\varphi_s(x, \zeta) + e^{-2x\zeta}], \qquad (1)$$

где  $R(\rho_s)$  — результат применения оператора R к функции  $\rho_s(x, \eta, \zeta)$ , т. е.

$$R(\rho_s) = 2 \eta \zeta \rho_s(x, \eta, \zeta) - (1 - \eta^2) \zeta \frac{\partial \rho_s}{\partial \eta} - (1 - \zeta^2) \eta \frac{\partial \rho_s}{\partial \zeta}, \qquad (2)$$

$$\varphi_s(x, \eta) = 1 + 2\eta \int_0^1 \rho_s(x, \eta, \zeta) d\zeta$$
(3)

и  $\lambda$  — отношение ковффициента рассеяния к сумме ковффициентов рассеяния и истинного поглощения (иначе "альбедо частицы"). Экспоненциальные члены  $e^{-2x\eta}$  и  $e^{-2x\eta}$  учитывают излучение, проходящее через шар без рассеяния.

Каж уже говорилось, уравнение (1) было получено в нескольких работах [6—12] путем мысленного добавления к шару слоя бесконечно малой оптической толщины (сначала бев экспоненциальных членов, а потом с ними). В работах [9, 10] было предпринято численное решение уравнения

(1) без экспоненциальных членов. Насколько нам известно, определение функции  $\rho_{\delta}(x, \eta, \zeta)$  с экспоненциальными членами не производилось.

Для решения уравнения (1) целесообразно представить функцию  $\rho_i(x, \eta, \zeta)$  в виде

$$\rho_{s}(x, \eta, \zeta) = a_{s}(x, \eta, \zeta) + b_{s}(x, \eta, \zeta) e^{-2x\eta} + b_{s}(x, \zeta, \eta) e^{-2x\zeta} + c_{s}(x, \eta, \zeta) e^{-2x(\eta+\zeta)}, \tag{4}$$

где  $a_s(x, \eta, \zeta)$ ,  $b_s(x, \eta, \zeta)$  и  $c_s(x, \eta, \zeta)$  — функции, подлежащие определению.

Подстановка выражения (4) в уравнение (1) приводит к следующим уравнениям для определения искомых функций:

$$\eta \tilde{\lambda} \frac{\partial a_s}{\partial x} + (\eta + \zeta) a_s(x, \eta, \zeta) = \frac{1}{x} R(a_s) + \frac{\lambda}{4} \mu(x, \eta) \mu(x, \zeta), \quad (5)$$

$$\eta\zeta\frac{\partial b_s}{\partial x} + (\eta - \zeta) b_s(x, \eta, \zeta) = \frac{1}{x}R(b_s) + \frac{\lambda}{4}v(x, \eta) \mu(x, \zeta), \quad (6)$$

$$\eta'_s \frac{\partial c_s}{\partial x} - (\eta + \zeta) c_s(x, \eta, \zeta) = \frac{1}{x} R(c_s) + \frac{\lambda}{4} v(x, \eta) v(x, \zeta), \quad (7)$$

где обозначено

$$\mu(x, \eta) = 1 + 2\eta \int_{0}^{1} a_{s}(x, \eta, \zeta) d\zeta + 2\eta \int_{0}^{1} b_{s}(x, \zeta, \eta) e^{-2x\zeta} d\zeta, \quad (8)$$

$$v(x, \eta) = 1 + 2\eta \int_{0}^{1} b_{s}(x, \eta, \zeta) d\zeta + 2\eta \int_{0}^{1} c_{s}(x, \eta, \zeta) e^{-2x\zeta} d\zeta. \tag{9}$$

Уравнения (5)—(9) вместе с формулой (4) дают возможность определить коэффициент отражения шара  $\rho_{\bullet}(x, \eta, \zeta)$  при любом оптическом радиусе x. По-видимому, эта задача может быть решена полностью лишь численными методами. Однако в случае большого оптического радиуса шара  $(x \gg 1)$  можно получить асимптотические формулы для функции  $\rho_{\bullet}(x, \eta, \zeta)$ . Этот случай и рассматривается подробно ниже.

3. Асимптотические формулы. В случае шара большого оптического раднуса ( $x \gg 1$ ) мы равложим ковффициент отражения по степеням 1/x, сохраняя в этом разложении только два первых члена. Иными словами, представим величину  $\rho_{a}$  (x,  $\eta$ ,  $\zeta$ ) в виде

$$\rho_{s}(x, \eta, \zeta) = \rho_{0}(x, \eta, \zeta) + \frac{\rho_{1}(x, \eta, \zeta)}{x}, \qquad (10)$$

где функции  $\rho_0(x, \eta, \zeta)$  и  $\rho_1(x, \eta, \zeta)$  зависят от x через экспоненты  $e^{-2x\zeta}$  и  $e^{-2x\zeta}$ . В свою очередь, по аналогии со случаем плоского слоя большой оптической толщины, для функции  $\rho_0(x, \eta, \zeta)$  возьмём представление

$$\rho_0(x, \eta, \zeta) = \rho(x, \eta, \zeta) - f(x) u_0(x, \eta) u_0(x, \zeta). \tag{11}$$

Сначала мы займемся определением функций, входящих в формулу (11). Представляя функции  $\rho(x, \eta, \zeta)$  и  $u_0(x, \eta)$  в виде

$$\rho(x, \eta, \zeta) = \alpha(\eta, \zeta) + b(\eta, \zeta) e^{-2x\eta} + 
+ b(\zeta, \eta) e^{-2x\zeta} + c(\eta, \zeta) e^{-2x(\eta+\zeta)},$$
(12)

$$u_0(x, \eta) = u(\eta) - v(\eta) e^{-2x\eta}$$
 (13)

и сравнивая между собой выражения (11) и (4), получаем

$$a_{s}(x, \eta, \zeta) = a(\eta, \zeta) - f(x) u(\eta) u(\zeta), \tag{14}$$

$$b_{s}(x, \eta, \zeta) = b(\eta, \zeta) + f(x) v(\eta) u(\zeta), \tag{15}$$

$$c_{*}(x, \eta, \zeta) = c(\eta, \zeta) - f(x) v(\eta) v(\zeta). \tag{16}$$

Теперь мы должны подставить выражения (14)—(16) в уравнения (5)—(7) (при отбрасывании членов порядка 1/x и выше). Предварительно заметим, что входящие в эти уравнения функции  $\mu$  (x,  $\eta$ ) и  $\nu$  (x,  $\eta$ ), определяемые формулами (8) и (9), принимают в данном случае вид

$$\mu(x, \eta) = \varphi(\eta) - 2u_0 f(x) \eta u(\eta),$$
 (17)

$$v(x, \eta) = \omega(\eta) + 2u_0 f(x) \eta v(\eta), \qquad (18)$$

гле обозначено

$$\varphi(\eta) = 1 + 2\eta \int_0^1 a(\eta, \zeta) d\zeta, \qquad (19)$$

$$\omega(\eta) = 1 + 2\eta \int_{0}^{1} b(\eta, \zeta) d\zeta \qquad (20)$$

$$\int_{0}^{1} u(\zeta) d\zeta = u_{0}.$$

Подставляя выражение (14) в уравнение (5) (без члена  $\frac{1}{x}R(a)$ ) и учитывая формулы (17) и (18), находим

и

$$-f'(x) \eta \zeta u(\eta) u(\zeta) + (\eta + \zeta) [a(\eta, \zeta) - f(x) u(\eta) u(\zeta)] =$$

$$= \frac{\lambda}{4} [\varphi(\eta) - 2 u_0 f(x) \eta u(\eta)] [\varphi(\zeta) - 2 u_0 f(x) \zeta u(\zeta)]. \tag{21}$$

Отсюда следует

$$a(\eta, \zeta) = \frac{\lambda}{4} \frac{\varphi(\eta) \varphi(\zeta)}{\eta + \zeta}$$
 (22)

H

$$f'(x) + \lambda u_0^2 f^2(x) + f(x) \left| \frac{1}{\eta} - \frac{\lambda}{2} u_0 \frac{\varphi(\eta)}{\eta u(\eta)} \right| + f(x) \left| \frac{1}{\zeta} - \frac{\lambda}{2} u_0 \frac{\varphi(\zeta)}{\zeta u(\zeta)} \right| = 0.$$
 (23)

Из соотношения (23) получаем формулу

$$u(\eta) = \frac{\lambda}{2} u_0 \frac{\varphi(\eta)}{1 - k\eta} \tag{24}$$

и уравнение для определения функции f(x):

$$f'(x) + \lambda u_0^2 f'(x) + 2k f(x) = 0.$$
 (25)

При подстановке (15) в (6) и (16) в (7) мы аналогичным образом опять приходим к уравнению (25) для функции f(x) и формулам (22) и (24). При этом получаются также новые формулы

$$b(\eta, \zeta) = \frac{\lambda}{4} \frac{\omega(\eta) \varphi(\zeta)}{\eta - \zeta}, \qquad (26)$$

$$c(\eta, \zeta) = -\frac{\lambda}{4} \frac{\omega(\eta) \omega(\zeta)}{\eta + \zeta}, \qquad (27)$$

$$v(\eta) = \frac{\lambda}{2} u_0 \frac{\omega(\eta)}{1 + k\eta} \cdot \tag{28}$$

Таким образом, задача об определении функции  $\rho_0$  (x,  $\eta$ ,  $\xi$ ) может считаться полностью решенной. С помощью полученных формул для вспомогательных функций находим следующую формулу для искомой функции  $\rho_0$  (x,  $\eta$ ,  $\zeta$ ):

$$\rho_{0}(x, \eta, \zeta) = \frac{\lambda}{4} \frac{\varphi(\eta) \varphi(\zeta)}{\eta + \zeta} + \frac{\lambda}{4} \frac{\omega(\eta) \varphi(\zeta)}{\eta - \zeta} e^{-2x\eta} + \frac{\lambda}{4} \frac{\varphi(\zeta) \omega(\eta)}{\zeta - \eta} e^{-2x\zeta} - \frac{\lambda}{4} \frac{\omega(\eta) \omega(\zeta)}{\eta + \zeta} e^{-2x(\eta + \zeta)} - \frac{\lambda}{2} \frac{\omega(\eta) \omega(\zeta)}{\eta + \zeta} e^{-2x(\eta + \zeta)}$$

$$-f(x)\left(\frac{\lambda}{2}u_0\right)^2\left[\frac{\varphi(\eta)}{1-k\eta}-\frac{w(\eta)}{1+k\eta}e^{-2x\eta}\right]\times$$

$$\times\left[\frac{\varphi(\zeta)}{1-k\zeta}-\frac{w(\zeta)}{1+k\zeta}e^{-2x\zeta}\right]. \tag{29}$$

Входящие в формулу (29) функции  $\phi(\eta)$  и  $\omega(\eta)$  определяются из уравнений

$$\varphi(\eta) = 1 + \frac{\lambda}{2} \eta \varphi(\eta) \int_{0}^{1} \frac{\varphi(\zeta)}{\eta + \zeta} d\zeta, \qquad (30)$$

$$\omega(\eta) = 1 + \frac{\lambda}{2} \eta \omega(\eta) \int_{0}^{1} \frac{\varphi(\zeta)}{\eta - \zeta} d\zeta, \qquad (31)$$

получающихся при подстановке (22) в (19) и (26) в (20). Мы видим, что функция  $\varphi(\eta)$  является известной функцией Амбарцумяна, а величина  $\alpha(\eta, \zeta)$ , определенная формулой (22), представляет собой коэффициент отражения полубесконечного плоского слоя. Что касается функции  $\omega(\eta)$ , то с помощью формулы (31) она выражается через  $\varphi(\eta)$ . Пользуясь линейным интегральным уравнением для  $\varphi(\eta)$  (см. [18]), можно получить также формулу

$$\omega(\eta) \varphi(\eta) \left(1 - \frac{\lambda}{2} \eta \ln \frac{1 + \eta}{1 - \eta}\right) = 1. \tag{32}$$

Заметим, что функция  $\omega$  ( $\eta$ ) терпит разрыв при значениях  $\eta$ , близких к 1. Однако вта функция является множителем при экспоненте  $e^{-2\pi\eta}$ , которая при  $\eta\approx 1$  и  $x\gg 1$  гораздо меньше члена асимптотического выражения для  $\rho_s(x,\,\eta,\,\zeta)$  порядка 1/x. Поэтому нас может интересовать функция  $\omega$  ( $\eta$ ) только при малых  $\eta$ . В случае очень больших x можно считать  $\omega$  ( $\eta$ ) = 1.

Введенная выше постоянная k является корнем уравнения  $\frac{\lambda}{2k} \ln \frac{1+k}{1-k} = 1$ . Оно эквивалентно уравнению

$$\frac{\lambda}{2} \int_{0}^{1} \frac{\varphi(\eta)}{1 - k\eta} d\eta = 1, \tag{33}$$

получающемуся путем интегрирования (24) по  $\eta$  от 0 до 1.

Нам остается еще определить функцию f(x). Решая уравнение (25), находим

$$f(x) = \frac{1}{C e^{2kx} - \frac{\lambda u_0^2}{2k}}, \qquad (34)$$

где С — произвольная постоянная. Для ее определения можно сравнить между собой асимптотические формулы для коэффициента отражения шара, полученные выше и в работах [13] или [14]. Из этого сравнения сле-

дует, что  $C = \frac{1}{M}$  и  $\frac{\lambda u_0^2}{2kC} = N$ . Поэтому формула (34) может быть переписана в виде

$$f(x) = \frac{M}{e^{2kx} - N} {35}$$

Постоянные M, N и  $u_0$  хорошо известны в теории рассеяния света (см., например, [18]). В случае изотропного рассеяния они определяются формулами

$$M = \frac{4}{k} \left( \frac{1}{1 - k^2} - \frac{1}{\lambda} \right), \tag{36}$$

$$\lambda u_0 \int_0^1 \frac{\varphi(\eta)}{(1-k\eta)^2} \eta d\eta = 1,$$
 (37)

$$\lambda u_0^2 M = 2kN. \tag{38}$$

Подстановка выражений (35) и (38) в формулу (29) приводит к следующей окончательной формуле для величины  $\rho_0$  (x,  $\eta$ ,  $\zeta$ ):

$$p_{0}(x, \eta, \zeta) = \frac{\lambda}{4} \frac{\varphi(\eta) \varphi(\zeta) - \omega^{*}(x, \eta) \omega^{*}(x, \zeta)}{\tau_{i} + \zeta} + \frac{\lambda}{4} \frac{\omega^{*}(x, \eta) \varphi(\zeta) - \omega^{*}(x, \zeta) \varphi(\eta)}{\eta - \zeta} - \frac{\lambda}{2} \frac{k N}{e^{2kx} - N} \left[ \frac{\varphi(\eta)}{1 - k\eta} - \frac{\omega^{*}(x, \eta)}{1 + k\eta} \right] \left[ \frac{\varphi(\zeta)}{1 - k\zeta} - \frac{\omega^{*}(x, \zeta)}{1 + k\zeta} \right],$$
(39)

где для упрощения записи обозначено

$$\omega^*(x, \eta) = \omega(\eta) e^{-2x\eta}. \tag{40}$$

В важном частном случае чистого рассеяния ( $\lambda=1,\,k=0$ ) формула (39) принимает вид

$$\rho_{0}(x, \eta, \zeta) = \frac{1}{4} \frac{\varphi(\eta) \varphi(\zeta) - \omega^{*}(x, \eta) \omega^{*}(x, \zeta)}{\eta + \zeta} + \frac{1}{4} \frac{\omega^{*}(x, \eta) \varphi(\zeta) - \omega^{*}(x, \zeta) \varphi(\eta)}{\eta - \zeta} - \frac{\left[\varphi(\eta) - \omega^{*}(x, \eta)\right] \left[\varphi(\zeta) - \omega^{*}(x, \zeta)\right]}{2(2x + \delta)},$$
(41)

где  $c=2^{\frac{\varphi_1}{\varphi_1}}$ -, а  $\varphi_1$  и  $\varphi_2$ — первый и второй моменты функции  $\varphi(\eta)$ .

Как следует из физических соображений, коэффициент отражения шара обращается в нуль при  $\eta=0$  или  $\zeta=0$ , т. е.

$$\rho_s(x, \eta, 0) = 0.$$
 (42)

Мы видим, что ковффициент отражения, определенный формулой (39), удовлетворяет этому условию.

4. Определение функции  $\rho_1(x, \eta, \zeta)$ . Для определения функции  $\rho_1(x, \eta, \zeta)$  мы представим её, по аналогии с функцией  $\rho_2(x, \eta, \zeta)$ , в виде

$$\rho_1(x, \eta, \zeta) = \alpha_1(\eta, \zeta) + b_1(\eta, \zeta) e^{-2x\eta} + b_1(\zeta, \eta) e^{-2x\zeta} + c_1(\eta, \zeta) e^{-2x(\eta+\zeta)}$$
(43)

и будем искать величины  $a_1(\eta, \zeta)$ ,  $b_1(\eta, \zeta)$  и  $c_1(\eta, \zeta)$  из уравнений (5)—(7), сохраняя лишь члены порядка 1/x. При этом будем пренебрегать членами, содержащими произведения  $\frac{1}{x}f(x)$ , так как при ма-

лых k функция f(x) порядка 1/x, а при больших k она порядка  $e^{-2kx}$ . Очевидно, что в уравнениях (5)-(7) будут также присутствовать функции  $a(\eta, \zeta)$ ,  $b(\eta, \zeta)$  и  $c(\eta, \zeta)$ , найденные нами выше. Они входят как через посредство величин R(a), R(b), R(c), так и через посредство интегралов в выражениях (8) и (9). Для этих интегралов приближенно имеем

$$\int_{0}^{1} b(\zeta, \eta) e^{-2x\zeta} d\zeta = \frac{1}{2x} b(0, \eta), \int_{0}^{1} c(\eta, \zeta) e^{-2x\zeta} d\zeta = \frac{1}{2x} c(\eta, 0)$$
 (44)

или, при использовании (26) и (27),

$$\int_{0}^{1} b(\zeta, \eta) e^{-2x\zeta} d\zeta = -\frac{\lambda}{8x\eta} \varphi(\eta), \int_{0}^{1} c(\eta, \zeta) e^{-2x\zeta} d\zeta = -\frac{\lambda}{8x\eta} \omega(\eta). \quad (45)$$

На основании сказанного, уравнения для определения величин  $a_1$  ( $\eta$ ,  $\zeta$ ),  $b_1$  ( $\eta$ ,  $\zeta$ ) и  $c_1$  ( $\eta$ ,  $\zeta$ ) имеют вид

$$(\eta + \zeta) \ a_1 \ (\eta, \ \zeta) = R \ (a_1) + \frac{\lambda}{2} \left[ \varphi \ (\eta) \zeta \beta \ (\zeta) + \varphi \ (\zeta) \ \eta \beta \ (\eta) - \frac{\lambda}{4} \ \varphi \ (\eta) \ \varphi \ (\zeta) \right]. \tag{46}$$

$$(\eta - \zeta) b_1(\eta, \zeta) = R(b_1) +$$

$$+ \frac{\lambda}{2} \left[ \omega(\eta) \zeta \beta(\zeta) + \varphi(\zeta) \eta_1(\eta) - \frac{\lambda}{4} \omega(\eta) \varphi(\zeta) \right].$$

$$-(\eta + \zeta) c_1(\eta, \zeta) = R(c_1) +$$

$$(47)$$

$$+\frac{\lambda}{2}\left[\omega\left(\eta\right)\zeta\gamma\left(\zeta\right)+\omega\left(\zeta\right)\eta\gamma\left(\eta\right)-\frac{\lambda}{4}\omega\left(\eta\right)\omega\left(\zeta\right)\right],\tag{48}$$

где обозначено

$$\beta(\eta) = \int_{0}^{1} a_{1}(\eta, \zeta) d\zeta, \quad \gamma(\eta) = \int_{0}^{1} b_{1}(\eta, \zeta) d\zeta. \tag{49}$$

Мы видим, что решение уравнений (46)—(48) сводится к определению функций  $\beta(\eta)$  и  $\gamma(\eta)$ . Для нахождения первой из этих функций воспользуемся уравнением (46). Из него с помощью (2), (22) и (30) получаем уравнение

$$\frac{\beta(\eta)}{\varphi(\eta)} = \frac{\lambda}{2} \varphi(\eta) \int_{0}^{1} \frac{\zeta \beta(\zeta)}{\eta + \zeta} d\zeta - \frac{\lambda}{4} \frac{\varphi(\eta) - 1}{\eta} + \frac{\lambda}{4} \int_{0}^{1} [\varphi(\eta) \varphi(\zeta) (1 + \eta \zeta) - (1 - \eta^{2}) \varphi'(\eta) \zeta \varphi(\zeta) - (1 - \zeta^{2}) \varphi'(\zeta) \eta \varphi(\eta)] \frac{d\zeta}{(\eta + \zeta)^{2}}.$$
 (50)

Используя выражения для двух первых производных функции  $\phi(\eta)$ , найденные из уравнения (30), убеждаемся в том, что решение уравнения (50) имеет вид

$$\beta(\eta) = \frac{\lambda}{8\eta} \varphi(\eta) + \frac{1}{2} \eta \varphi'(\eta) - \frac{1}{4} (1 - \eta^2) \varphi''(\eta). \tag{51}$$

Уравнение для определения функции γ(η) получается из (47). Пользуясь также формулами (32) и (51), имеем

$$\gamma(\eta) = \frac{\lambda}{8\eta} \omega(\eta) - \frac{1}{2} \eta \omega'(\eta) + \frac{1}{4} (1 - \eta^2) \omega''(\eta). \tag{52}$$

Как видно из полученных нами формул (43) — (52), величина  $\rho_1(x, \eta, \zeta)$  выражается только через две функции —  $\varphi(\eta)$  и  $\omega(\eta)$ . Это относится и к величине  $\rho_0(x, \eta, \zeta)$ , а значит. и к величине  $\rho_1(x, \eta, \zeta)$ . Поскольку же функция  $\omega(\eta)$  с помощью формулы (32) выражается через функцию  $\varphi(\eta)$ , то знание одной этой функции достаточно для определения коэффициента отражения шара большого оптического радиуса.

Заметим, что в работе [19] даны выражения и таблицы для производных  $\varphi'(\eta)$  и  $\varphi''(\eta)$ . Там же содержатся таблицы функции, определенной формулой (51), и некоторых других функций, встречающихся в теории, развитой  $\Gamma$ . ван де Хюлстом [16, 17].

5. Светимость сферической туманности. Полученные выше результаты могут быть использованы при изучении туманностей, освещаемых эвездами .Мы рассмотрим два случая расположения эвезды: 1) звезда находится на бесконечно большом расстоянии от туманности, 2) звезда расположена на ее краю. Для каждого случая найдем полную энергию, рассеянную туманностью, т. е. ее светимость.

В первом случае будем считать, что туманность освещена параллельными лучами с потоком H. Тогда на туманность с радиусом  $r_0$  падает энергия  $\pi r_0^2 H$ . Представим светимость туманности в виде

$$L = A_s \pi r_0^2 H, \tag{53}$$

где  $A_s$  — так называемое «сферическое альбедо». Учитывая физический смысл коэффициента отражения  $ho_s$  (x,  $\eta$ ,  $\zeta$ ), имеем

$$A_{z}(x) = 4 \int_{0}^{1} \zeta \ d\zeta \int_{0}^{1} \rho_{z}(x, \eta, \zeta) \eta \ d\eta. \tag{54}$$

Во втором случае обозначим черев  $L_{*}$  светимость звезды, находящейся на границе туманности. Представляя светимость туманности в виде

$$L = \frac{L_*}{2} B_*, \tag{55}$$

для величины  $B_s$  получаем

$$B_s(x) = 2 \int_0^1 d\zeta \int_0^1 \rho_s(x, \eta, \zeta) \eta d\eta.$$
 (56)

Величины  $A_s(x)$  и  $B_s(x)$  связаны между собой простым соотношением, вытекающим из уравнения (1). Интегрируя (1) по  $\eta$  и  $\zeta$  от 0 до 1, находим

$$A'_{s}(x) + 4B_{s}(x) + \frac{2}{x}A_{s}(x) = \lambda \left[1 + B_{s}(x) + \frac{1}{2x}(1 - e^{-2x})\right]^{2}$$
 (57)

В случае чистого рассеяния (т. е. при  $\lambda = 1$ ) величины  $A_s(x)$  и  $B_s(x)$  определяются очевидными формулами

$$A_s(x) = 1 - \frac{1}{2x^2} + \left(\frac{1}{x} + \frac{1}{2x^2}\right)e^{-2x},$$
 (58)

$$B_x(x) = 1 - \frac{1}{2x}(1 - e^{-2x}),$$
 (59)

выражающими собой тот факт, что в данном случае все фотоны, поглощенные в туманности, выходят после рассеяний наружу. Легко проверить, что-функции  $A_s(x)$  и  $B_s(x)$ , определенные формулами (58) и (59). удовлетворяют соотношению (57).

Соотношения (57) — (59) справедливы при любом оптическом радиусе туманности x. В случае же больших x можно получить асимптотические формулы для величин  $A_s(x)$  и  $B_s(x)$  при произвольных  $\lambda$ . Для втого надо в формулы (54) и (56) подставить выражение (10) и использовать последующие выражения для величин  $\rho_0(x, \eta, \zeta)$  и  $\rho_1(x, \eta, \zeta)$ . Сохраняя при интегрировании лишь члены нулевого и первого порядка относительно 1/x, легко убедиться, что в принятом приближении обращаются в нуль все члены, содержащие экспоненциальные функции, кроме одного, даваемого первой из формул (45).

В результате получаем следующие асимптотические формулы для величин  $A_{\delta}(x)$  и  $B_{\delta}(x)$ :

$$A_{s}(x) = 1 - 2\gamma_{1} \sqrt{1 - \lambda} - \frac{8}{\lambda_{k}} \cdot \frac{(1 - \lambda) N}{e^{2kx} - N} + \frac{\lambda \varphi_{1}^{2}}{x}, \tag{60}$$

$$B_{s}(x) = \varphi_{0} - 1 - \frac{4}{\lambda} \cdot \frac{N\sqrt{1-\lambda}}{e^{2kx} - N} + \frac{2\varphi_{1} - 1}{2x}$$
 (61)

В случае чистого рассеяния (при  $\lambda=1$ ) формулы (60) и (61) дают (с точностью до членов порядка  $1/x^2$ ):

$$A_s(x) = 1, B_s(x) = 1 - \frac{1}{2x},$$
 (62)

что согласуется с формулами (58) и (59).

Недавно в работе [16] были также найдены формулы (60) и (61) другим способом. Еще раньше в работе [5] были получены формулы для

светимости туманности произвольного оптического радиуса. Из них при  $x \gg 1$  также вытекают формулы (60) и (61).

В заключение заметим, что в настоящей статье при решении задачи о свечении сферической туманности мы ограничились случаем внешних источников энергии. В другой нашей статье будет рассмотрен случай, когда туманность светится под действием эвезды, находящейся в ее центре.

**Ленииградский государственный** унимерситет

## DIFFUSE RADIATION REFLECTION FROM A SPHERICAL NEBULA

### A. K. KOLESOV, V. V. SUBOLEV

The problem of diffuse radiation reflection from a homogeneous sphere is considered. It is assumed that in the medium the processes of radiation absorbing and isotropic scattering take place. To solve the problem we used the known integro—differential equations for the light reflection coefficient. These equations were transformed by us to a more convenient form. Asymptotic formulae for the light reflection coefficient are derived for the case of a sphere of a large optical radius. In addition, asymptotic expressions for the luminosity of a spherical nebula are found for different cases of the illuminating star position.

#### **AUTEPATYPA**

- 1. Б. Дэвисон, Теория переноса нейтронов, Атомиздат, М., 1960.
- 2. A. Leonard, T. W. Mullikin, Proc. Nat. Acad. Sci. USA, 52, 683, 1954.
- 3. В. В. Соболев, Астрон. ж., 39, 632, 1962.
- 4. M. A. Heaslet, R. F. Warming, J. Quant. Spectrosc. Radiat. Transfer, 5, 669, 1969.
- В. В. Соболев, Аспрефизика, 8, 197, 1972.
- 6. R. E. Bellman, R. E. Kalaba, G. M. Wing, J. Math Mech., 8, 575, 1959.
- 7. P. B. Bailey, J. Math. Anal. Appl., 8, 144, 1964.
- 8. P. B. Bailey, G. M. Wing, J. Math. Anal. Appl, 8, 170, 1964.
- 9. R. L. Bellman, R. E. Kalaba, Proc. Nat. Acad. Sci. USA, 54, 1293, 1965.
- 10. R. E. Bellman, H. H. Kagiwada, R. E. Kalaba, J. Comp. Phys., 1, 245, 1966.
- 11. G. B. Rybicki, J. Comp. Phys., 6, 131, 1970.
- 12. S. Ueno, H. Kagiwada, R. Kaluba, J. Math. Phys., 12, 1279, 1971.
- 13. В. В. Соболев, Дока. АН СССР, 273, 573, 1983.
- 14. А. К. Колесов, Астрофизика, 21, 309, 1984.
- 15. А. К. Колесов, Астрофизика, 22, 177, 1985.
- 16. H. C. van de Hulst, Astron. and Astrophys., 173, 115, 1987.
- . 17. H. C. van de Hulst, Astron. and Astrophys., 267, 182, 1988.
  - 18. В. В. Соболев, Рассеяние света в атмосферах планет, Наука, М., 1972.
- 19. J. W. Hoventer, C. V. M. van der Mee, D. de Heer, Astron. and Astrophys., 207, 194, 1988.

## **АСТРОФИЗИКА**

**TOM 32** 

АПРЕЛЬ, 1990

ВЫПУСК 2

УДК: 524.354.6-335.7

# ПРОФИЛЬ ТЕМПЕРАТУРЫ ВНУТРИ НАМАГНИЧЕННОЙ НЕЙТРОННОЙ ЗВЕЗДЫ

А. К. АВЕТИСЯН, Д. М. СЕДРАКЯН

Поступила 25 июля 1989 Принята к печати 25 января 1990

Развитая авторами магнитогидродинамическая теория оверхплотной вырожденной плазмы (СВП) применена для определения профиля температуры внупри намагниченной нейтронной звезды (ННЗ). Показано, что непроврачность СВП ( $\chi$ ) при плотностих  $10^4$  г/см $^3 \le \rho \le 2 \cdot 10^{14}$  г/см $^3$  и температурах  $10^4 \le T \le 10^6$  К обусловлена лишь электронной теплопроводностью. При  $B \le 10^8$  Гс  $\chi$  изотропно убывает вдоль радиус—вектора (профиль T не зависит от B). При  $B \gg 10^6$  Гс  $\chi$  тензор и профиль T нензотропный; в направлениях  $0 < \theta \le 72^\circ$ ,  $108^\circ \le \theta \le 180^\circ$ ,  $0 \le \varphi < 2\pi$  влияние B на профиль T существенно: T сравнительно медленно убывает вплоть до поверхности и лишь вблизи ее круто спадает до значения, которое при  $B \sim 10^{12}$  Гс более чем на порядок меньше по сравнению с поверхностной температурой ННЗ в остальных областях.

1. Введение. В работе [1] разработана магнитодинамическая теория сверхплотной вырожденной плазмы (СВП) в диапазоне плотности материи 16<sup>6</sup> г/см<sup>3</sup> ≤ р ≤ 2·10<sup>14</sup> т/см<sup>3</sup> («Ае» и «Апе» фазы—кора ННЗ), с целью последующего применения ее результатов при исследовании кинетических, термоэлектрических и термогальваномагнитных явлений, а также вопросов генерации, прохождения и поглощения различных воли внутри ННЗ, с учетом их возможной трансформации в ниэкочастотную область. В ней, однако, не учитывалось различие между Т внутренних слоев коры; между тем, корректное аналитическое решение класса задач внутреннего строения ННЗ, не исключено, что и ожидаемое теоретическое объяснение наблюдаемого радиоивлучения пульсаров (в предположении, что оно формируется в коре), возможно, если известна явная функциональная зависимость Т от координат в коре и имеются конкретные численные значения физических параметров, в частности кинетических кооффициентов СВП в реально допустимом диапазоне Т.

Распределение T внутри H3 и ее зависимость от времени были рассмотрены в ряде работ в связи с определением времени остывания этих звезд (см., например, [2]). Неизотропность распределения T внутри замагниченной H3 из-за неизотропности коэффициента теплопроводности вещества в магнитном поле была предсказана в работе [3], а неизотропность T по поверхность сильно замагниченной H3, обусловленная аккрецией вещества на поверхность H3 в системе двойных эвезд, обсуждалась в работе [4]. Однако, при наличии источников нагрева в ядрах H3 с определенной конфигурацией внутреннего магнитного поля, распределение T внутри звезды становится стационарным. Вопрос о нахождении этого стационарного распределения T=T  $(r,\theta)$  внутри одиночной замагниченной H3 не рассматривался.

Настоящая работа посвящена решению именно этой задачи — нахождению профиля T внутри ННЗ на основе теории переноса внергии в корс. Известно, что важнейшим физическим параметром теории переноса энергии является непрозрачность материи, функциональный вид которой во многом предопределяет окончательное решение уравнения для  $\nabla T$  в той или иной симметрии — профиль T в радиальном и меридиональном направлениях: T = T (r,  $\theta$ ) (из-за однородности магнитного поля в коре ННЗ физические параметры задачи не зависят от азимутального угла).

При  $B\lesssim 10^8$  Гс кинетические коөффициенты СВП, согласно [1], не вависят от  $\bar{B}$  во всей коре; в частности, при таких полях непрозрачность СВП изотропна, и изменение T происходит лишь вдоль r;  $\nabla T=$ 

 $= \frac{r}{r} \frac{dT}{dr},$  поэтому основные уравнения задачи интегрируются в сфери-

чески-симметричном представлении. Ниже будет показано, что в данной работе внешней границей ННЗ принят слой с плотностью  $\rho=10^4$  г/см³, и результаты [1] на основе их выражений фактически продолжены в область плотностей  $10^4$  г/см³  $\leqslant \rho \leqslant 10^6$  г/см³ на основании того, что результаты [1] и [21] относительно коэффициента теплопроводности СВП качественно совпадают в широком диапазоне плотностей  $10^6$  г/см³  $\lesssim \rho \lesssim 10^{11}$  г/см³ (область исследований в [21]:  $10^4$  г/см³  $\leqslant \rho \leqslant 10^{11}$  г/см³).

При  $B \gtrsim 10^8$  Гс кинетические коэффициенты, в частности и непроврачность СВП, являются тензорами [1, 21, 22], компоненты которых вдоль и поперек B существенно различны, особенно в весьма тонкой приповерхностной области с плотностью  $\rho \lesssim 10^8$  г/см³. Казалось бы, в этом случае принципиально неправомерно оферически-симметричное представление уравнения для  $\nabla T$ . Оказывается, однако, что математические трудности

этой анизотропной задачи переноса в принципе удается преодолеть, благодаря тому, что предположение о малости меридионального компонента  $\partial T/\partial b$  относительно радиального  $\partial T/\partial r$  подтверждается окончательными результатами самосогласованным образом. На основании сказанного, при  $B \ge 10^8$  Гс, уравнение для  $\nabla T$  опять решается в сферическисимметричном представлении в рамках следующего формального подхода: решение  $T \equiv T(r, 0)$ , полученное на основе выражения для компонента тензора непрозрачности вдоль B (направление b = 0), приписывается к ожидаемому профилю T вдоль B; второе решение, полученное на основе выражения для компонента тензора непрозрачности поперек B— профилю T в экваториальной плоскости ( $T \equiv T\left(r, \frac{\pi}{2}\right)$ ).

2. Непроврачность СВП. В явлении переноса энертии в «Ae» и «Ane» фазах СВП основными являются процессы лучеиспускания и электронной теплопроводности, в соответствии с чем полную непроврачность коры ННЗ будем определять выражением

$$\gamma = \gamma_{p} \cdot \lambda_{T} / (\chi_{p} + \chi_{T}), \tag{1}$$

где  $\chi_p$  — радиационная непрозрачность, а  $\chi_T$  — непрозрачность, обуслованная электронной теплопроводностью. Остановимся сперва на определении выражения  $\chi_p$ .

В полностью ионизованной «Ае», тем более в «Апе», плазме радиационная непрозрачность обусловлена поглощением фотонов вырожденными влектронами в тормозных процессах (свободно-свободные переходы) в поле голых атомных ядер и определяется следующим выражением [6] (аналогичная формула впоследствии получена также в работе [7]):

$$\gamma_{.\rho} = \frac{7.4\pi \cdot 10^{15}}{T^2} \ln \left[ 1 + 30.8 \left( \rho_0 \frac{A}{Z} \right)^{2/3} \right]$$
 (2)

Здесь  $\rho_6 = 10^6 \rho$  Z/A, Z — заряд иона, а A — его атомный вес. Во избежание ошибок, встречающихся в литературе при определении выражения непрозрачности СВП, считаем необходимым отметить, что применяемая к обычным (невырожденным) звездам и к эвездным атмосферам известная полуклассическая формула Крамерса для непрозрачности (см. например, [2—4]) неправомерна для СВП в коре ННЗ.

Приступим теперь к исследованию механизма непрозрачности СВП, обусловленного электронной теплопроводностью. Основы теории теплопроводности и соответствующей непрозрачности СВП белых карликов были заложены в работах [6—9], а дальнейшее развитие эта теория получила 7—178

в работах [1, 10—22] по изучению свойств СВП в коре сверхплотных звезд. Результаты этих исследований сравнены и проанализированы в работах [1—21] в различных аспектах, где отмечено также о некоторых неточностях в отдельных работах. Сравнительно общие выражения для коэффициента электронной теплопроводности и соответствующей непрозрачности СВП почти во всем диапавоне плотностей коры ННЭ получены в работе [1], результаты которой показывают, что при  $B \lesssim 10^8$   $\Gamma$ с непрозрамностей предостать поставляющей предостать и предостать поставляющей показывают.

рачность СВП не зависит от  $\bar{B}$  во всем диапазоне плотностей  $10^4 \Gamma/\text{см}^3 \lesssim 5 \lesssim 2 \cdot 10^{14} \ \Gamma/\text{см}^3$  и определяется изотропным выражением  $\chi = \chi_T^{(0)}$ , где

$$\chi_T^{(0)} = 2.1 \cdot 10^{-19} \left(\frac{Z^2}{A}\right) \frac{T^2}{\rho_6 \left(1 + \rho_6^{2/3}\right)^{1/2}}; B \lesssim 10^8 \, \Gamma c.$$
(3)

При  $B\gg 10^8$  Гс ковффициент теплопроводности для всего диапазона плотностей СВП в коре ННЗ представляется в едином тензорном виде, следовательно для компонентов тензора непрозрачности СВП на основе

[1] получаем следующие выражения вдоль  $(\chi_T^{(p)})$  и поперек  $(\chi^{(\pm)})$   $\widehat{B}$ :

$$\begin{cases} \chi_T^{(r)} = \chi_T^{(0)} \\ \chi_T^{(\perp)} = \chi_T^{(0)} [1 + (\omega_s^c \cdot \tau_{\tau_p})^2]; \end{cases}$$
 при  $B \gg 10^8$  Гс. (4)

Здесь ф - электронная циклотронная частота -

$$\omega_{a}^{c} = 1.76 \cdot 10^{19} \ B_{12}/(1 + \rho_{b}^{2.3})^{1/2}, \ B_{12} \equiv 10^{-12} \ B_{1}$$

а т- транспортное время электрон-ионного упругого рассеяния —

$$\tau_{\rm pp} = 3.52 \cdot 10^{-17} (1 + \rho_6^{2/3})/Z\rho_c$$

Выясним теперь парциальные вклады радиационного и электронного теплового механизмов переноса энергии в полную непрозрачность (1) коры ННЗ. Численный анализ выражений (2)—(4) во всем диапазоне плотностей  $10^4 \, \text{г/см}^3 \lesssim \rho \lesssim 2 \cdot 10^{14} \, \text{г/см}^3$  и при предполагаемых температурах коры  $10^4 \lesssim T \lesssim 10^9 \text{K}$  (вто допущение в итоге утверждается) показывает, что  $\chi_\rho \gg \chi_T$ , т. е. полная непрозрачность СВП (1) совпадает с непрозрачностью, обусловленной электронной теплопроводностьк:  $\chi = \chi_T$ . Этот результат физически очевиден; согласно принципу Паули, тормозные процессы в СВП подавлены.

3. Основные уравнения. Замкнутая система уравнений, определяющая сферически-симметрическое распределение T в коре ННЗ с изотропным выражением для непроврачности СВП (при  $B \lesssim 10^8$  Гс), состоит из:

а) уравнения для градиента Т —

$$\frac{dT}{dr} = -\frac{3\chi p}{16 q T^3} \cdot \frac{L_r}{4\pi r^2} \,, \tag{5}$$

б) уравнения гидростатического равновесия —

$$\frac{dP}{dr} = -\frac{GM_r}{r^2}\rho,\tag{6}$$

в) уравнения состояния СВП в коре ННЗ —

$$P = P(\rho). \tag{7}$$

Здесь  $L_r$ — количество вырабатываемой энергии внутри сферы радиуса r за 1c (считается, что источники эффективного энерговыделения распределены, в основном, в сердцевине ННЗ—в "пре"-фазе СВП),  $M_r$ — масса вещества внутри сферы радиуса r, G— гравитационная постоянная, P—давление в СВП. Систему уравнений (5)— (7) необходимо дополнить граничвыми условиями на поверхности ННЗ (см. ниже).

Уравнения, определяющие L, и M, здесь не выписаны, поскольку в сравнительно тонком слое коры HH3 с толщиной  $\Delta \equiv R - R_0 \approx 0.1~R$  (R—радиус звезды,  $R_0$ —радиус "пре"-фазы) массой можно пренебречь, полагая M,  $\approx M$  (M—масса HH3), а величину L, считать постоянной, равной наблюдаемой светимости HH3:  $L_r \approx L_R = 4\pi~R^2$   $\sigma~T_R$  ( $T_R$ —поверхностная температура HH3). Численное интегрирование системы (5)—(7), как и качественные оценки, показывает, что последовательный учет общерелятивистских вффектов в этих уравнениях еще более неэффективен, чем корректный учет точных уравнений для величин  $L_r$  и M. Действительно, во всей коре HH3, вплоть до границы "пре"-фазы, член  $P/c^2$  более чем в два порядка меньше  $\rho$ , благодаря чему  $\rho + P/c^2 \approx \rho$ . Что же касается влияния собственного гравитационного поля HH3 на профиль температуры СВП, то

оно также несущественно, поскольку формула  $T_r^G = T_r (1-2GM_r/rc^2)^{-\frac{1}{2}}$  для истинной T на границе между "Апе" и "пре" фазами дает соотношение  $T_0^G \approx 1.08~T_0$  ( $T_0$  — температура без учета гравитации), при характерных значениях сердцевины ННЗ  $M_0 \approx M = 10^{33}~\mathrm{r}$  и  $R_0 \approx 10~\mathrm{km}$ .

Выявим теперь функциональную зависимость (7). В общепринятой модели внутреннего строения коры ННЗ [23, 24] давление внутри СВП, вплоть до плотности  $\rho \leq 8 \cdot 10^{13}$  г/см<sup>3</sup>, обусловлено, в основном, электронами; при указанной плотности вещества давление идеального вырожденного релятивистского электронного таза ( $P_{\sigma}$ ) почти в три раза превышает давление идеального вырожденного нерелятивистского нейтронного газа и

того же порядка, что и давление СВП, вычисленное в [25] на основе различных моделей. Учитывающих взаимодействие между частицами внутри СВП. Исходя из сказанного, уравнение состояния СВП в коре ННЗ, вплоть до слоя с плотностью  $\rho \leqslant 8 \cdot 10^{13} \text{ г/см}^3$ , представим уравнением состояния идеального вырожденного релятивистского влектронного газа:

$$P \equiv P_e = 6 \cdot 10^{22} [x (2x^2 - 3) (1 + x^2)^{1/2} + 3 \text{ arc sh } x].$$
 (7a)

Зависимость параметра релятивизма электронного газа  $x \equiv P_{eF}/m_e c$  ( $P_{eF}$  — ферми-импульс,  $m_e$ —масса покоя электрона, c—скорость света) от плотности материи  $\rho$  в коре получается с учетом выражения для плотности электронов  $n_e = \rho Z/Am_e$  ( $m_e$ —масса протона):

$$x = (\hbar/m_e c) (3\pi^2 n_e)^{1/3} = 1.0064 \, \rho_6^{1/3} \approx \rho_6^{1/3}.$$
 (8)

Уравнение состояния СВП в форме (7a) и связь между x и  $\rho_6$  (8) указывают, что для вычислительных целей удобно в выражениях (3), (4) заменить  $\rho_6$  на  $x^3$ , а в уравнениях (5), (6) от дифференцирования по r перейти к дифференцированию по параметру x.

Граничные условия к системе уравнений (5)—(7а) обычно задаются в виде  $x_R=0$  при r=R, в соответствии с требованием равенства нулю давления на поверхности звезды. Однако для настоящей работы граничное значение давления необходимо задавать так, чтобы не было противоречия с условием идеальности влектронного газа (7а). Известно, что условие идеальности для последнего выполняется при  $\rho \gg Z^2$ , поэтому, считая, что у поверхности ННЗ основной влемент железо (A=56, Z=26), для граничного значения плотности получаем  $\rho_R=10^4$  г/см³, а для параметра x в соответствии с (8) имеем  $x_R=0.167$ .

4. Профиль температуры. Приступив к интегрированию системы основных уравнений (5)—(7a) с граничным условием  $\rho_R=10^4$  г/см³ или  $x_R=0.167$ , рассмотрим сперва изотропную задачу— сферически-симметричное распределение T в коре, что правомерно при  $B\lesssim 10^8$  Гс.

Задача А. При  $B \lesssim 10^8$  Гс непроразчность СВП во всем диапазоне плотностей  $10^6$  г/см<sup>3</sup>  $\lesssim \rho \lesssim 8 \cdot 10^{13}$  г/см<sup>3</sup> представляется изотропным выражением (3) и для радиального распределения температуры в коре ННЗ из системы (5)—(7а) получается следующее аналитическое выражение, справедливое вплоть до слоя  $\rho_0 \equiv 8 \cdot 10^{13}$  г/см<sup>3</sup>, т. е. до  $x_0 \equiv 230$ :

$$T(x) = 10^6 T_{R_6} \left[ 1 + 0.39 \cdot 10^4 \frac{R_6^2}{M_{33}} T_{R_6}^2 \ln \frac{1 + x^2}{1 + x_R^2} \right]^{1/2}$$
 (9)

Здесь  $T_{R_0}=10^{-6}~T_R$ ,  $R_0=10^{-6}R$ ,  $M_{39}=10^{-33}M$ . При получении выражения (9) входящий в (3) параметр  $Z^2/A$  заменен его наивероятным, в данном случае также средним значением  $\langle Z^*A \rangle = (Z^2/A)_{\rm max}=13.8$ , потому, что во всем исследуемом диапазоне плотностей параметр  $Z^2/A$  изменяется незначительно относительно этого значения (ср., например, с [1, 23, 24]). Согласно (9), значения температуры внутренних слоев СВП почти не зависят от граничного значения  $x_R$ , т. е. при значении внутреннего магнитного поля ННЗ  $B \lesssim 10^8~\Gamma c$  для внутренних слоев с  $x \gg 0.167$  (т. е.  $p \gg 10^4~r/cm^3$ ) без особой погрешности в результатах можно в (9) выбрать, как обычно и делается,  $x_R=0$ . С учетом сказанного, при  $T_R \gtrsim 10^5 K$  (что согласуется с наблюдаемыми данными) для профиля температуры в области  $p \gg 10^4~r/cm^3$  вместо (9) можно использовать более простое выражение:

$$T(x) = 0.63 \cdot 10^8 \ T_{Re}^2 \frac{R_0}{M_{33}^{1/2}} [\ln{(1+x^2)}]^{1/2}$$
 (9a)

Количественное представление о радиальном распределении температуры СВП в коре ННЗ при  $B \lesssim 10^8$  Гс и для характерных значений параметров  $T_{Re}$  и  $\alpha \equiv R_5^2/(M/M_\odot)$  дает рис. 1 (сверху). Задача B. При  $B \gg 10^8$  Гс, т. е. при характерных полях пульсаров

Задача В. При В  $\gg 10^8$  Гс, т. е. при характерных полях пульсаров В  $\sim 10^{11-12}$  Гс, непрозрачность СВП представляется в едином для всей коры ННЗ тензорном виде, поэтому использование уравнения для градиента T в сферически-симметричном виде неправомерно для всей коры. Оказывается, тем не менее, что математические трудности анизотропной задачи переноса энертии становится возможным обойти благодаря тому обстоятельству, что компонент ( $\nabla T$ ) в меридиональном направлении сравнительно меньше по сравнению с радиальным компонентом (в частности, в направлениях  $\vartheta = 0$  и  $\vartheta = \pi 2$ ). Заранее считая выполненным это условие, будем интегрировать систему уравнений (5)—(7a) в сферически-симметричном представлении, один раз используя выражение для непрозрачности

вдоль  $\vec{B}(\chi(\theta=0)=\chi_T^{(n)})$ , а другой—поперек  $\vec{B}\left(\chi\left(\theta=\frac{\pi}{2}\right)=\chi_T^{(\perp)}\right)$ . Полученные решения для T будем приписывать соответственно направлениям  $\theta=0$  и  $\theta=\pi/2$  (разумеется, профиль температуры в направле-

нии  $\theta = 0$  и  $\theta = \pi/2$  (разумеется, профиль температуры в направлении  $\theta = 0$  не зависит от значения B и определяется тем же выражением (9)).

При  $B\gg 10^8$  Гс, для компонента тензора непрозрачности СВП поперек  $\vec{B}$ , согласно (4), имеем следующее выражение:

$$\chi_{\perp} = \frac{2.9 \cdot 10^{-18} \ T^{2}}{x^{3} (1 + x^{3})^{1/2}} \left| 1 + \frac{5.08 \cdot 10^{2} \cdot B_{12}^{2} (1 + x^{3})}{x^{6}} \right|. \tag{10}$$

При получении выражения (10) вместо параметра Z в (4) подставлено его среднее значение  $\langle Z \rangle = 27.5$  для дмапавона  $10^4$  г/см<sup>3</sup>  $\lesssim 10^8$  г/см<sup>3</sup>,

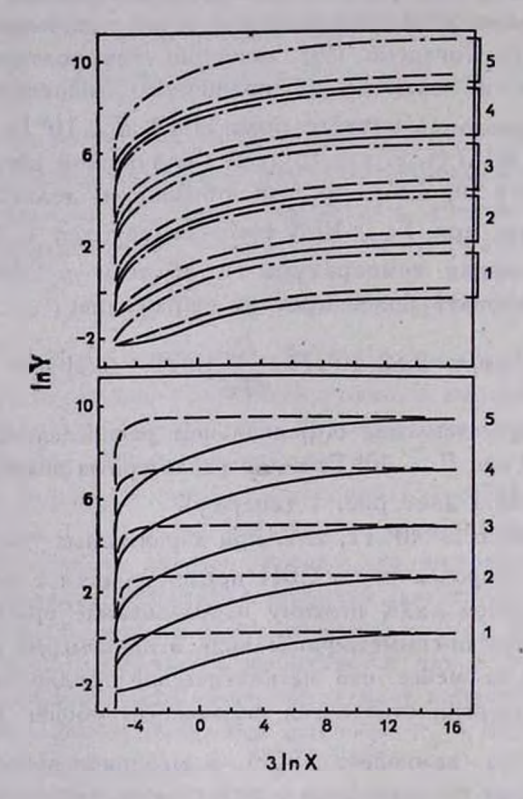


Рис. 1. Сверху: профиль T внутри ННЗ при  $B \lesssim 10^{\circ}$   $\Gamma$  с; зависимости  $\ln Y \equiv \ln T_6$  от  $3 \ln x \equiv \ln \rho_0$  приведены для трех характерных значений усредненного на основе [26] парамотра  $z = \langle R_5^2/(M/M_{\odot}) \rangle$  при значениях поверхностной температуры  $T_{R6} = (0.1; 0.33; 1; 3.3; 10)$ , соответствующих нумерации i = 1, 2, 3, 4, 5. Для хривых  $\alpha_1 = 34.74$ ;  $\rho_{c1} = 10^{10} \text{ г/см}^3$  (плотность в центре ННЗ), для — —  $\alpha_2 = 70.41$ ;  $\rho_{c2} = 1.7 \cdot 10^{15} \text{ г/см}^3$ , а для — —  $\alpha_3 = 1800$ ;  $\rho_{c3} = 2.6 \cdot 10^{14} \text{ г/см}^3$ . Симзу: То же при  $B = 10^{12}$   $\Gamma$  с;  $\alpha_2 = 70.41$ ;  $\rho_{c2} = 1.7 \cdot 10^{15} \text{ г/см}^3$ . Кривые — соответствуют профилю T в направлениях  $0 < \vartheta \lesssim 18^{\circ}$ ,  $162^{\circ} \lesssim \vartheta < 180^{\circ}$  и  $0 < \varphi < 2\pi$ , а кривые — — в направлениях  $72^{\circ} \lesssim \vartheta \lesssim 108^{\circ}$  и  $0 < \varphi < 2\pi$ .

вне которого значение Z не играет существенной роли, поскольку выражение в прямых скобках (10) резко стремится к единице (благодаря возрастанию параметра x) и выражение (10) переходит в (3). Профиль  $\widetilde{T}$  попе-

$$\tilde{T}(x) = 10^{6} \tilde{T}_{R_{6}} \left\{ 1 + 0.39 \cdot 10^{4} \tilde{T}_{R_{6}}^{2} \frac{R_{6}^{2}}{M_{33}} \left[ \ln \frac{1 + x^{2}}{1 + x_{R}^{2}} + \right. \right.$$

$$\left. + 2.54 \cdot 10^{2} B_{12}^{2} \left( \frac{1}{x_{R}^{4}} - \frac{1}{x^{4}} \right) \right| \right\}^{\frac{1}{2}} . \tag{11}$$

Для внутренних слоев коры ННЗ (т. е. при  $\rho > 10^4$  г/см³), при  $T_R \gtrsim 10^4$ К и  $B \gtrsim 10^{10}$  Гс, вместо (11) можно использовать более простую формулу

$$\widetilde{T}(x) = 0.63 \cdot 10^{\circ} \ \widetilde{T}_{R_*}^2 \frac{R_0}{M_{33}^{1/2}} \left| \ln (1 + x^2) + 2.54 \cdot 10^3 \frac{R_{12}^2}{x_R^4} \right|^{\frac{1}{2}} \ . \tag{11a}$$

Из формулы (11) или (11а) следует, что при  $B \gtrsim 10^{10}$  Гс корректное определение граничного значения  $x_R$  весьма существенно для профиля T поперек B, в отличие от задачи A и задачи B вдоль B. Как и следовало ожидать, при  $B \lesssim 10^{8}$  Гс выражение (11) переходит в (9). Приступив к анализу выражения (11), заметим, что при  $B \gg 10^{8}$  Гс распределение  $T_{R0}$  на поверхности HH3 неизотропно (естественное следствие неизотропности  $\chi_T$ , чем и продиктованы приближения задачи B). Действительно, поскольку проводимость  $CB\Pi$  в «пре»-фазе физически бесконечна, то ее температура должна быть изотропной и постоянной по всему объему. Но тогда, согласно выражениям (9) и (11), разными должны быть поверхностные значения  $T_{R0}$ , в частности, на магнитном вкваторе и полюсе при  $B \gg 10^{8}$  Гс. Каким же образом, на основании наблюдательных данных, определить неизотропную поверхностную  $T_{R0}$  ННЗ при  $B \gg 10^{8}$  Гс, являющуюся, фактически, граничным условием для задачи B? Этот вопрос

качественно разрешается благодаря тому обстоятельству, что пон  $B\gg$ № Гс основная часть поверхности ННЗ все же должна иметь почти одинаковую  $\widetilde{T}_{RB}$ , равную  $\widetilde{T}_R$  на магнитном полюсе и определяемую, как и в случае  $B \lesssim 10^8$  Гс (задача A), соотношением  $L_R = 4\pi$   $R^2$  о  $T_R^4$ . Это предположение обосновано тем, что однородное почти во всем объеме «пре»-фазы внутреннее магнитное поле ННЗ выходит в кооу почти нормально к ее поверхности — почти радиально, за исключением сравнительно небольшой области вокруг магнитного экватора, где магнитные силовые линии замыкаются внутри коры. Именно в этой области внутреннее магнитное поле можно считать перпендикулярным радиусу-вектору и применить результаты задачи В. По приближенным оценкам этой области не превышает четверти общей поверхности ННЗ, с другой стороны, согласно выражениям (9а) и (11а) и с учетом условия изотермичности «пре»-фазы (при x > 230  $T(r, \theta) = T_0(x_0 = 230) = const), по$ верхностная температура на магнитном полюсе ( $\mathcal{T}_R$ ) и на экваторе  $(T_p)$  связаны между собой соотношением

$$T_R = 13.16 \cdot B_{12}^{1/2} \ \widetilde{T}_R, \tag{12}$$

т. е. при характерных для пульсаров магнитных полях  $B \sim 10^{12} \, \Gamma c$   $\bar{T}_R$  более чем на порядок меньше по сравнению с  $T_R$ . На основании вышесказанного легко показать, что при  $B \gg 10^8 \, \Gamma c$  та же (что и в случае  $B \lesssim 10^8 \, \Gamma c$ ) полная, в данном случае усредненная, светимость  $\bar{L}_R$  обеспечивается при  $\bar{T}_R (B \gg 10^8 \, \Gamma c) \approx (L_R/3\pi \, R^2 \, s)^{1/4} \approx 1.075 \, T_R \, (B \lesssim 10^8 \, \Gamma c)$ , т. е. профили T вдоль B практически одинаковы в задачах A и B.

На основании этих рассуждений, при  $B\gg 10^8$  Гс профиль T восстанавливается следующим образом: по заданному граничному значению  $T_R$  на магнитном полюсе определяется  $T_0$  изотермической сердцевины ННЗ ("пре" — фазы) на основе выражения (9), т. е.  $T_0\equiv T(X_0=230)$ . Далее, подставляя найденное численное значение  $T_0$  в (11), определяется профиль T в экваториальной плоскости, в частности, граничное значение  $T_R$  на магнитном экваторе. При  $B\gg 10^8$  С количественное предетавление о профиле T ННЗ вдоль и поперек B в зависимости от характерных значений  $T_R$  и  $T_R$  можно получить из рис.1. (снизу). С целью дальнейшего применения полученных результатов к пульсарам, на рис. 1 (снизу) приведены графики выражения

- (11) для характерных значений  $B=10^{18}\,\Gamma c$  (графики, соответствующие параметрам  $B_{12}=0.1$ ; 1; 10 почти не отличаются). Как видно из рис. 2, магнитные поля  $B\gg 10^8\,\Gamma c$  резко изменяют профиль T поперек B (в данном случае в направлениях  $72^\circ \lesssim \theta \lesssim 108^\circ$ ,  $0\leqslant \phi \leqslant 2\pi$ ), в отличие от направлений вдоль B (направления  $0^\circ \leqslant \theta \lesssim 72^\circ$  и  $108^\circ \lesssim \theta \lesssim 180^\circ$  при  $0\leqslant \phi \leqslant 2\pi$ ); поперек B вплоть до внешней гравицы HH3 B изменяется сравнительно незначительно и лишь у самой поверхности ( $P_R=10^\circ$  г см³ или  $P_R=0.167$ )  $P_R=0.167$ 0. Поскольку аналогичный ход  $P_R=0.167$ 1 г круго спадает до  $P_R=0.167$ 2 г случаях  $P_R=0.167$ 3 г случаях  $P_R=0.167$ 4 и  $P_R=0.167$ 5 г случаях  $P_R=0.167$ 6 г случаях  $P_R=0.167$ 6 г случаях  $P_R=0.167$ 7 и случаях  $P_R=0.167$ 9 г случаях
- 5. Выводы. При  $B\gg 10^8~{\rm Fc}$  на поверхности ННЗ имеются две области с  $0^{\circ} \leqslant 0 \lesssim 72^{\circ}$ ;  $108^{\circ} \lesssim 0 \leqslant 180^{\circ}$ ;  $0 \leqslant \varphi \leqslant 2\pi$  и  $72^{\circ} \lesssim 0 \gtrsim 108^{\circ}$ ;  $0 \leqslant \phi \leqslant 2\pi$ , каждая из которых имеет почти однородную температуру  $T_p$  и  $T_p$ . Эти, почти изометрические, поверхности ННЗ разделены друг от друга несьма тонкой сферической полосой вокруг широт 8,~  $\sim$ 72° и  $\eta_2\sim$ 108°, в пределах которой T спадает от  $T_p$  до  $T_p$ . характерных для пульсаров магнитных полях  $B \sim 10^{12} \, \Gamma c$ , в пределах каждой такой полосы, согласно (12), Т изменяется более чем на порядок, тем самым обуславливая достаточно большой по абсолютной величине меридиональный градиент Т на весьма малых расстояниях. На основании физических соображений можно, по-видимому, сделать следующие рассуждения о двоякой роли такого градиента: во-первых, он приведет к образованию весьма сильных влектрических полей, роль которых может оказаться существенной в явлении эффективного ускорения заряженных частиц, а также разогрева наружной плавмы, в частности и магнитосферы. Во-вторых, во вращающихся ННЗ этот градиент может оказаться альтернативой в объяснении наблюдаемых пульсеций излучения пульсаров. Изучению этих вопросов будет посвящена отдельная статья.

Ереванский государственный университет

### THE TEMPERATURE PROFILE IN MAGNETIC NEUTRON STAR

### A. K. AVETISSIAN, D. M. SEDRAKIAN

The theory of the magnetohydrodynamics, developed by the authors for the superdense plasma "Ae" and "Ane" phases, is applied to determine

the temperature profile in magnetic neutron star. It has been shown that the opacity of such a plasma for the densities 10<sup>1</sup> g/cm<sup>3</sup> \$\sigma 2 \cdot 10<sup>1</sup> g/cm<sup>3</sup> and temperatures  $10^4 \lesssim T \lesssim 10^9 \text{K}$  is due to electron thermal conductivity. When the internal magnetic field  $B \leq 10^{8}$  Gauss, plasma opacity

does not depend on B. The temperature in the star is isotropically lowered along the radius—vector. For  $B \gg 10^8$  Gauss plasma opacity is a

tensor with different components along and across B, and that is why the temperature profile is anisotropic; in the directions  $0^{\circ} \leqslant \vartheta \lesssim 72^{\circ}$ ,

and  $108^{\circ} \le \theta \le 180^{\circ}$  (0  $\le \varphi \le 360^{\circ}$ ) B doesn of effect the profile T and in the rest directions T relatively slowly lowers up to the surface and just near the surface of magnetic neutron star T and rather steeply lowers to the value which is more than in the order less (at  $B \sim 10^{12}$ Gauss) than in other directions.

#### **ЛИТЕРАТУРА**

- 1. Д. М. Седракян, А. К. Аветисян, Астрофизика, 26, 489, 1987.
- 2. K. Nomoto, S. Tsuruta, Asrtophys. J., 250, L19, 1981.
- 3. Г. С. Бисноватый-Козан, Ю. Н. Куликов, В. М. Чечеткин, Астрон. ж., 53, 975, 1976.
- 4. Э. Н. Колесникова, Г. Г. Павлов, Ю. А. Шибанов, Астрофизика, 25, 207, 1986.
- 5. В сб. «Внутреннее строение звезд», ред. Л. Аллер и Д. Б. Мак-Лафлин, Мво. М., 1970.
- 6. F. C. Michel, Rev. Mod. Phys., 54, 1, 1982.
- 7. Д. А. Киржниц, Успехи физ. наук, 104, 489, 1971.
- 8. L. Mestel, Proc. Cambridge Phyl. Soc., 46, 331, 1950.
- 9. T. D. Lee, Astrophys. J., 111, 625, 1950.
- 10. А. А. Абрикосов, Ж. эксперим. и теор. физ., 45, 2038, 1963.
- 11. W. B. Hubbard, Astrophys. J., 146, 858, 1966.
- 12. M. Lampe, Phys. Rev., 170, 306, 1968.
- 13. W. B. Hubbard, M. Lampe, Astrophys. J. Suppl. Ser., 18, 297, 1969.
- 14. V. Canuto, Astrophys. J., 159, 641, 1970.
- 15. A. Kovetz, G. Shavtv, Astron. and Astrophys., 28, 315, 1973.
- 16. E. Flowers, N. Itoh, Astrophys. J., 206, 218, 1976.
- 17. A. B. Solinger, Astrophys. J., 161, 553, 1970.
- 18. G. M. Ewart, R. A. Guer, G. Greenstein. Astrophys. J., 202, 238, 1975.
- 19. В. А. Урпин, Д. Г. Яковлев, Аспрофизика, 15, 647, 1979.
- 20. В. А. Урпин, Д. Г. Яковлев, Астрон. ж., 57, 213, 1980.
- 21. Д. Г. Яковлев, В. А. Урпин, Астрон. ж., 57, 526, 1980.
- 22. I. Easson, C. J. Pethick, Astrophys. J., 227, 995, 1979. 23. Г. С. Саакян, Равновесные конфитурации вырожденных газовых масс, Наука, М., 1972.
- 24. G. Baym, H. Bethe, C. Pethick, Nucl. Phys., A175, 225, 1971.
- 25. V. R. Pandharipande, D. Pines, R. A. Smith, Astrophys. J., 208, 550, 1976.
- 26. W. D. Arnett, R. L. Bowers, Astrophys. J. Suppl. Ser., 33, 415, 1977.

## АСТРОФИЗИКА

**TOM 32** 

АПРЕЛЬ, 1990

ВЫПУСК 2

УДК: 524.354.6—823

# ДВИЖЕНИЕ ВИХРЕЙ И ДИССИПАЦИЯ ЭНЕРГИИ В ЯДРЕ НЕЙТРОННЫХ ЭВЕЗД

Д. М. СЕДРАКЯН, А. Д. СЕДРАКЯН, К. М. ШАХАБАСЯН

Поступила 18 декабря 1989 Принята к печати 20 февраля 1990

Предложены два новых механизма замедления угловой скорости вращения пульсаров. Диссипация вращательной энергии возникает из-за движения протонных вихрей в сверхтекучем ядре нейтронной звезды. Эта диссипация является новым источником нагрева ядра нейтронных звезд. Первый механизм является следствием омической диссипации в сердцевилах протонных вихрей, а второй — конечности времени релаксации параметра порядка вихрей. Согласно этим механизмам уменьшение угловой скорости вращения происходит по закону  $p \sim p^{-1}$ . Определена подпопуляция пульсаров, для которых эти механизмы эффективны.

1. Наблюдения пульсаров в диапазоне мягких рентгеновских лучей, проведенные в Эйнштейновской обсерватории, показывают, что у некоторых изолированных пульсаров существует неимпульсное тепловое рентгеновское излучение [1]. Это излучение свидетельствует о существовании эффективных механизмов трансформации вращательной кинетической энергии пульсара в тепловую. Ранние механизмы предполагали диссипацию энергии вращения из-за трения на границе сверхтекучего ядра и коры, состоящей из тяжелых ядер [2]. Но оказалось, что ядро и кора звезды жестко связаны с временем релаксации  $\tau \sim 1$ с [3] и совершают твердотельное вращение из-за возникновения токов увлечения сверхтекучих протонов [4]. Учет возникновения сети протонных вихрей приводит к еще более коротким временам релаксации т ~ 10-14 с [5]. Диссипация вращательной энергии через трение возможна только во внутренней коре («Аеп»-фазе) нейтронной звезды, где единственный несвязанный компонент звезды — нейтронная сверхтекучая жидкость сосуществует с решеткой тяжелых ядер [6].

Принципиально иной механизм — механизм магнитодипольного излучения сверхтекучих нейтронных вихрей (MDRSN) был развит в работе [7]. Нами был предложен модифицированный механизм матнитодиполь-

ного излучения, где предполагалось, что излучают только нормальные нейтроны в сердцевинах нейтронных вихрей, при наличии сильных локальных магнитных полей токов увлечения [8]. Статистический анализ показывает, что уменьшение угловой скорости пульсаров невозможно объяснить в рамках одного механизма на всем протяжении их вволюции [9]. Естественно предположить, что наблюдаемое уменьшение угловой скорости вращения — результат «включения» и «выключения» различных механизмов диссипации на различных этапах оволюции нейтронных звезд. В настоящей работе предложены два новых оффективных механизма диссипации вращательной энергии в тепловую.

2. В ядре вращающейся нейтронной звезды («пре»-фазе) сверхтекучая нейтронная жидкость существует в виде квантованных вихрей. Взаимодействие нейтронной и протонной компонентов жидкость в «пре»-фазе приводит к эффекту увлечения части протонов нейтронами [11]. Возникающие протонные токи генерируют сильные локальные магнитные поля  $\sim 10^{14}$  Гс вокруг каждого нейтронного вихря, которые при усреднении приводят к ожидаемой величине средней индукции магнитного поля  $B \sim 10^{12}$  Гс. Напряженность локальных магнитных полей такова. Что неувлеченные сверхтекучие протоны переходят в смещанное состояние, образуя вокруг каждого нейтронного вихря плотную сеть протонных вихревых нитей — вихревой кластер. Эти нити располагаются в радиусе  $r_1 < b$  вокруг нейтронных вихрей, с плотностью  $B/\Phi_0$ , где b — расстояние между нейтронными вихрями и  $\Phi_0$  — квант магнитного потока [10. 11].

Наблюдаемое уменьшение угловой скорости  $\Omega$  пульсаров происходит с характерным временным масштабом  $t \sim \Omega/\Omega \sim 10^{13} - 10^{15}$  с, где  $\Omega \equiv d\Omega/dt$ . В результате уменьшения угловой скорости вращения ( $\Omega < 0$ ) нейтронные вихри, параллельные оси вращения, движутся к границе между ядром и «Аеп»-фазой звезды [6]. Вместе с каждым нейтронным вихрем движется и окружающий его протонный вихревой кластер. Так как каждый протонный вихрь несет квант магнитного потока  $\Phi_0$ , то при его движении в нормальной сердцевине вихря возникает однородное электрическое поле. В этом поле происходит столкновительная диссипация энергии нормальных электронов на нормальных протонах, что приводит к джоулевому нагреву. Аналогичный механизм диссипации был рассмотрен в сверхпроводниках II рода, находящихся в резистивном состоянии [12, 13]. Согласно второму механизму диссипация энергии возникает из-за неоднородности параметра порядка в вихре [13, 14].

В настоящей работе рассчитана мощность диссипации внергии в объеме ядра звезды, обусловленная указанными двумя механизмами. Зависимость производной периода p от периода p оказывается такой же, как и в модели наклонного ротатора:  $p \sim p^{-1}$ . Определена также индикатриса анерговыделения. Показано, что эти механизмы эффективны на определенном этапе эволюции пульсаров.

3. Приступая к вычислению мощности диссипации энергии посредством первого механизма, примем локальную модель структуры вихря. Это несколько упрощенная модель вихря, в которой предполагается, что вихрь состоит из полностью нормальной сердцевины, несущей квант — магнитного потока Фо и имеющей радиус €, равный длине когерентности сверхпроводящей жидкости. Параметр порядка на границе сердцевины переходит от своего равновесного значения в ноль. В нелокальной модели параметр порядка становится равным нулю только в центре сердцевины вихря. При движении протонной вихревой структуры линии тока заходят в сердцевину вихря, и на границе происходит превращение сверхтекучего тока в ток нормальных протонов и в нормальной области возникает влектрическое поле. Поле скоростей сверхтекучих протонов вокруг сердцевины вихря задается выражением [15]:

$$\overline{v}_{s} = \frac{h}{2mv}, \qquad (1)$$

где  $\rho$  — расстояние от центра вигря и h/2m — квант циркуляции сверхтекучей жидкости. В случае движения вихря гидродинамическое уравнение движения сверхтекучих протонов имеет вид [13]

$$m \frac{\partial \vec{v}_s}{\partial t} = \vec{\nabla} \left[ \mu - m \left( \vec{v}_L \vec{v}_s \right) \right], \tag{2}$$

где  $v_s$ — скорость сверхтекучих протонов,  $v_L$ — скорость движения вихревой решетки,  $\mu$ — химический потенциал. Следовательно, химический потенциал сверхтекучих протонов при движении вихрей равен  $\mu_s = \mu$ — m ( $v_L$   $v_s$ ). Из-за движения вихря в нормальной области возникает электрическое поле  $E = -\nabla \Phi$ , и химический потенциал нормальных протонов становится равным  $\mu_n = \mu - e\Phi$ . В условии равновесия должна обеспечиваться непрерывность химического потенциала на границе ссрящевины вихря.

Учитывая (1), имеем

$$v_s = \mu - \frac{\hbar v_L y}{2\rho^2} \quad (\rho > \xi). \tag{3}$$

$$\mu_* = \mu - \frac{\hbar v_L y}{2\xi^2} \qquad (\rho < \xi), \tag{4}$$

где у — проекция вектора р на ось, перпендикулярную направлению движения вихря. Отсюда получаем величину электрического поля в сердцевине вихря:

$$E = E_y = \frac{\hbar v_L}{2e\xi^2}$$
 (5)

Здесь скорость движения вихревой решетки ил из-за уменьшения угловой скорости вращения пульсара дается формулой [6]

$$v_L = \frac{\dot{\Omega}}{2\Omega} r,\tag{6}$$

где / — расстояние вихря от оси вращения эвезды.

В сердцевине вихря будет происходить столкновительная диссипация внергии ультрарелятивистских влектронов на нормальных протонах. В единице объема мощность диссипации равна

$$q = \vec{j} \ \vec{E} = \sum \sigma_{ik} E_i \ E_k = \sigma_{gg} E_g^2. \tag{7}$$

Здесь  $\sigma_{gg} = \sigma_0 (1 + \omega_e^2 \tau^8)^{-1}$  — диагональный компонент тензора проводимости при наличии сильного магнитного поля,  $\omega_c = eB/\hbar k_F$  — циклотронная частота ультрарелятивистских электронов,  $k_F$  — электронное волновое число Ферми, B — средняя магнитная индукция в ядре нейтронной звезды. Проводимость вещества нормальной сердцевины вихря в отсутствие магнитного поля [16]

$$\sigma_0 = \frac{n_e e^2 c^{\frac{1}{2}}}{\hbar k_F}, \qquad (8)$$

где  $n_s$  — плотность влектронов,  $\tau$  — время релаксации для столкновений влектронов на нормальных протонах в ядре звезды [16],

$$\frac{1}{\tau} = \frac{\pi^2}{12} \left(\frac{e^2}{\hbar c}\right)^2 \left(\frac{T}{T_p}\right)^2 \frac{ck_F^2}{k_{TF}}.$$
 (9)

Здесь  $T_p=\hbar^2~k_F^2/2m_p~k_B$ ,  $k_{TF}$ — волновое число вкранирования Томаса—Ферми,  $k_B$ — постоянная Больцмана. В условиях нейтронных звезд вкранирование происходит в основном за счет протонов, а электроны можно считать однородным отрицательно заряженным фоном. Тогда для  $k_{TF}$  можно принять его значение для протонов

$$k_{TF}^2 = \frac{4}{\pi} \frac{k_F m_{\mu} e^2}{\hbar^2} \,. \tag{10}$$

Для времени релаксации получаем численное значение:  $z^{-1}=2\cdot 10^{14}~T_8^2/n_{36}^{5/6}$ , где  $T_8$ — температура ядра звезды в единицах.  $10^{8}$ К и  $n_{36}$ — плотность в единицах  $10^{38}$  барион см $^{-3}$ .

Поскольку в случае сильного магнитного поля  $w_e \tau \gg 1$ , то  $\sigma_{gg}$ . принимает вид

$$\sigma = \frac{\sigma_0}{\omega_\perp^2 \tau^2} \, \cdot \tag{11}$$

4. Диссипация энергии в нормальной сердцевине протонного вихря в единицу времени

$$w = \sigma E^2 \pi \xi^2 I_I, \tag{12}$$

где  $l_i = 2\sqrt{R^2 - r_i^2}$  — длина вихря, находящегося на расстоянии  $r_i$  от оси вращения, R — радиус ядра звезды. Как было отмечено в [12], в непосредственной близости к сердцевине вихря происходит быстрое уменьшение спаривания, т. е. параметра порядка, который переходит в ноль на расстоянии  $\xi$ . В этой области также происходит диссипация влектронов на нормальных протонах, которая при значениях индукции магнитного поля  $B \sim 10^{12} \Gamma c$  и  $\xi \sim 10^{-12} c m$  в точности равна диссипации в сердцевине вихря [12]. Тогда

$$w = 2\pi \, \xi^2 \, l_i \sigma \mathcal{E}^2. \tag{13}$$

Диссипация энергии в одном вихревом кластере:

$$w_1 = \pi r_1^2 \frac{\overline{B}}{\Phi_0} w, \qquad (14)$$

где  $\overline{B}=k\,\Phi_0/4\pi\,\lambda^2$  — средняя индукция кластера протонных вихрей k — коэффициент увлечения протонов нейтронами,  $\lambda$  — глубина проникновения магнитного поля в сверхпроводящей протонной жидкости,

 $r_1 = b \left( \xi/\lambda \right)^{\frac{3|k|}{3|k|}}$ — радиує вихревого кластера.

Полную мощность диссипации энергии можно найти просуммировав по всем вихревым кластерам (или просто нейтронным вихрям, с каждым из которых связан кластер), в "пре"-фазе звезды. Радиус "пре"-фазы  $R \sim 10^{\circ}$  см, расстояние между нейтронными вихрями  $b \sim 10^{-3}$  см, следовательно, можно от суммирования перейти к интегрированию по r,  $0 \le r \le R$ , где r—расстояние вихря от оси вращения звезды. Используя формулы (5), (61, (14), учитывая, что числовихрей в кольце dr равно  $2\pi r dr/\pi b^2$  и  $\psi_0 = \pi \hbar c/e$ , получаем:

$$dW = 2\Phi_0 \frac{B}{c^2} \sigma \left(\frac{r_1}{\xi}\right)^2 \left(\frac{\Omega}{2\Omega}\right)^2 \frac{l}{b^2} r^3 dr.$$
 (15)

Вводя базразмерный параметр x=r/R, 0 < x < 1, и далее производя замену  $x=\cos\alpha$ ,  $0 < \alpha < \pi/2$ , для углового распределения диссипации энергии получаем:

$$dW = 2\Phi_0 \frac{B}{c^2 \xi^2} \sigma \left(\frac{r_i}{b}\right)^2 \left(\frac{\Omega}{2\Omega}\right)^2 R^5 \cos^3 \alpha \sin^2 \alpha \, d\alpha. \tag{16}$$

Максимальное внерговыделение происходит под углом 39°. Интегрируя уравнение (16), получаем полную интенсивность диссипации внергии в «пре»-фазе звезды:

$$W = \frac{4}{15} \Phi_0 \frac{\overline{B}}{c^2 \xi^2} \sigma \left(\frac{r_1}{b}\right)^2 \left(\frac{\dot{\Omega}}{2\Omega}\right)^2 R^5. \tag{17}$$

Так как длина свободного пробега ультрарелятивистских электронов в нормальном протонном веществе с плотностью  $n_p \sim 10^{37}$  барион см<sup>-3</sup>, ст  $\sim 6\cdot 10^{-4}$  см порядка размеров протонного кластера и возрастает из-за учета сверхтекучести протонов вне сердцевины вихрей, то циклотронная частота зависит от средней индукции в вихревом кластере следующим образом:

$$\omega_{\rm e} = \frac{e B}{\hbar k_F} \left(\frac{r_1}{L}\right)^2 \cdot \tag{18}$$

Подставляя значения  $\tau$ ,  $\sigma$ ,  $\omega_e$  из (9), (11), (18) и учитывая, что k=0.5, получим

$$W = 8.52 \cdot 10^{-9} \left(\frac{\lambda}{\xi}\right)^{10/3} \left(\frac{\Omega}{2\Omega}\right)^2 T^2 n_e^{1/2} R^5.$$
 (19)

В условиях нейтронных звезд  $t\simeq 10^{-11}$  см,  $t\simeq 10^{-12}$  см. Вводя обозначения  $R=10^6$   $R_6$ ,  $T=10^8$   $T_8$ ,  $n_e=10^{37}$   $n_{37}$ , окончательно получим:

$$W = 5.7 \cdot 10^{10} \left(\frac{\Omega}{2\Omega}\right)^2 7_8^2 n_{37}^{1/2} R_6^5.$$
 (20)

.Для типичных нейтронных звезд  $R_0=1$ ,  $T_8=1$ ,  $n_{37}=1$  и 9/29 меняется от  $10^{-15}\,\mathrm{c}^{-1}$  до  $10^{-13}\,\mathrm{c}^{-1}$ , следовательно, полная мощность энергии, выделяемая в объеме ядра, порядка  $5.7\cdot10^{29}-5.7\cdot10^{33}\,\mathrm{spr/c}$ .

5. Второй механизм диссипации внергии возникает вследствие неоднородности параметра порядка в вихре [13, 14]. В реальной картине движения вихря существует конечное время релаксации т параметра порядка вихря к своему равновесному значению. В неподвижной системе отсчета в данной точке ядра звезды при прохождении через нее вихря функция  $\psi$  меняется от  $|\psi_0|$  до нуля с частотой  $\omega \approx v_L/\epsilon$ . Время прохождения нити  $t \sim \epsilon |v_L|$ . Если  $F = -\alpha |\psi|^2$  — величина плотности свободной внергии, то при медленном движении  $\omega \epsilon \ll 1$  диссипация внергии в единице объема в единицу времени [14]

$$q = \omega^2 : F. \tag{21}$$

Физическая интерпретация фактора  $\omega^2$ т заключается в том, что протоны испаряются и конденсируются в сверхпроводящую фазу  $\omega/2\pi$  раза в секунду, получая и теряя внергию конденсации каждый раз, и каждый раз доля внергии  $\omega$  F уходит необратимым образом на рождение и нагрев нормальных протонов. Основной член выражения свободной внергии теории Гинзбурга—Ландау

$$F = \frac{H_{em}^2}{4\pi}. (22)$$

где  $H_{em}$  — термодинамическое критическое поле.

Мощность диссипации энергии одного протонного вихря

$$q = \frac{H_e^2}{4} v_L^2 \tau l_i. \tag{23}$$

Время релаксации параметра порядка  $\tau = k/\Delta$ ,  $\Delta$  — значение энергетической щели. Отметим, что время  $\tau$  слабо зависит от температуры  $\sim (\ln T)^{-1}$  [17], и пренебрегаем этой зависимостью. Мощность диссипации энергии вихревого кластера

$$q_1 = \pi r_1^2 \frac{\overline{B}}{\Phi_0} \cdot \frac{H_e^2}{4} v_L^2 \tau i_\ell. \tag{24}$$

Здесь  $H_c = [4\pi N(0)]^{1/2} \Delta$ ,  $N(0) = m_{\rho} p_F/2\pi^2 \hbar^3$  — плотность протонных состояний на поверхности Ферми,  $p_F$  — ферми-импульс протонов. Проводя суммирование по всем вихревым кластерам аналогично рассмотрению первого механизма и подставляя значения величин  $v_L$ ,  $\tau$ , B и  $\Phi_0$  для углового распределения диссипации энергии по всему объему звезды, получаем

$$dW = \frac{H_c^2}{4} \frac{\hbar}{\Delta} \frac{k}{\lambda^2} \left(\frac{r_1}{b}\right)^2 \left(\frac{\dot{Q}}{2Q}\right)^2 R^5 \cos^2 a \sin^2 a da. \tag{25}$$

Интегрируя по α, имеем полную мощность внерговыделения:

$$W = \frac{2}{15} \frac{\pi \hbar N(0) \Delta}{\lambda^2} k \left(\frac{r_1}{b}\right)^2 \left(\frac{\Omega}{2\Omega}\right)^3 R^5. \tag{26}$$

Подставляя выражения для N(0),  $r_1$  и  $\lambda^2 = m_p c^2/4\pi$   $n_p e^2$ , учитывая, что  $\Delta = 0.1$  МвВ и ковффициент увлечения k = 0.5, окончательно получаем:

$$W = \frac{4}{5} \frac{e^2}{\hbar c^2} k \Delta \left(\frac{\xi}{\lambda}\right)^{4/3} \left(\frac{\dot{Q}}{2\Omega}\right)^2 n_p^{4/3} R^5 = 1.68 \cdot 10^{58} \left(\frac{\dot{Q}}{2\Omega}\right)^2 n_{37}^{4/3} R_6^5, \quad (27)$$

где  $R_6 = 10^{-6} \, R$  и  $n_{87} = 10^{-87} \, n_p$ . Для типичных нейтронных звезд  $W \sim 1.7 \cdot 10^{28} - 1.7 \cdot 10^{32}$  эрг/с.

6. Существенно, что энергия диссипации, обеспечиваемая первым механизмом, зависит от температуры оверхтекучего ядра звезды ( $W\sim T^2$ ). Следовательно, втот механизм будет наиболее эффективен для молодых пульсаров с относительно высокими температурами ядра и малыми величинами периодов p. При образовании нейтронной звезды при взрыве сверхновой ее температура достигает значения  $3\cdot 10^{11}\,\mathrm{K}$ . Благодаря нейтринному механизму остывания звезда быстро ( $t\sim 10^3\,\mathrm{Aet}$ ) достигает температур  $T\sim 4\cdot 10^8\,\mathrm{K}$ , ниже которых нейтринный механизм остывания сильно подавлен и доминирует фотонное излучение [18]. Следовательно, температуры ядер нейтронных звезд порядка и ниже  $4\cdot 10^8\,\mathrm{K}$ . При температурах  $T\sim 2\cdot 10^7\,\mathrm{K}$ , существенным становится и вклад второго механизма в диссипацию энергии вращения звезды.

Выясним, для каких пульсаров описанные механизмы могут объяснять наблюдаемое уменьшение угловой скорости вращения. Предположим, что вто уменьшение обусловлено только втими механизмами. Тогда изменение кинетической внергии звезды равно мощности, выделяемой в ядре звезды

$$- I \Omega \dot{\Omega} = (5.7 T_8^2 + 0.17) \cdot 10^{58} \left(\frac{\dot{\Omega}}{2\Omega}\right)^2 R_6^5, \tag{28}$$

Учитывая, что  $\Omega = 2\pi/p$ , получаем

$$p p = \frac{4\pi^2 I}{(5.7 T_8^2 + 0.17) 10^{59} R_6^5}$$
 (29)

Введем параметр  $D=10^{7} (p\ p)^{1/2}$  и определим его граничное значение  $D_0$ , соответствующее максимальной температуре ядра звезды.  $T_0=4\cdot 10^8 {\rm K}$ . Подставляя типичные для пульсаров значения  $R_6=1$ ,  $I=10^{45} {\rm r}\ {\rm cm}^2$ , получаем

$$\lg D_0 = -0.18. \tag{30}$$

На рис. 1 приведена вависимость  $\lg D$  от  $\lg t$ , где t=p/2 p—характерное время жизни пульсаров. Уравнение (30) обозначене на рис. 1 пунктирной линией. Чтобы описанные механизмы объясними

уменьшение угловой скорости пульсаров, лежащих ниже прямой (30), необходимы температуры ядра  $T > T_0$ , что, как было отмечено выше, возможно только на очень ранних стадиях эволюции пульсаров. Следовательно, эти механизмы могут быть эффективны для пульсаров, лежащих выше этой прямой.

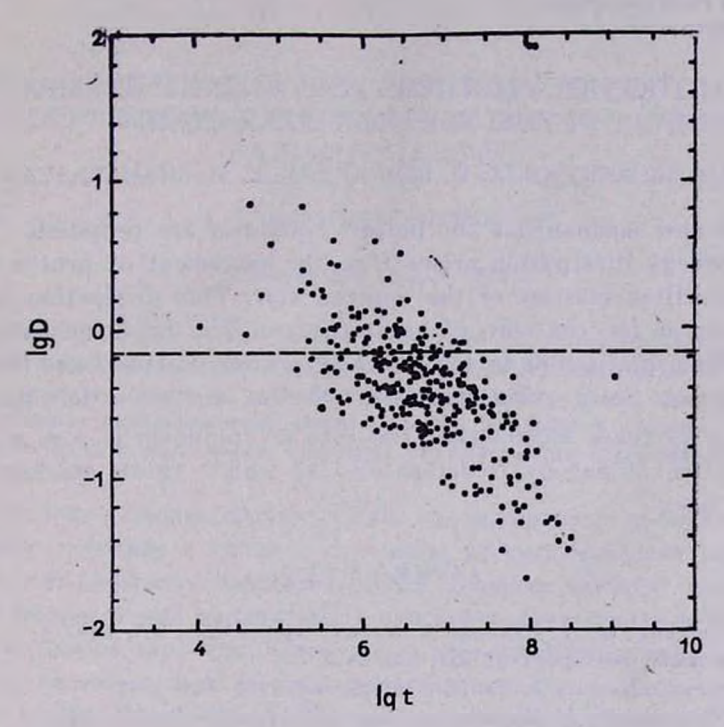


Рис. 1. Зависимость логарифиа параметра  $D=10^7 (p\ p)^{1/2}$  от логарифиа характерного времени жизни пульсаров  $t \sim p/2p$  для 291 пульсара. Пунктирная линия соответствует уравнению (30).

Заметим, что условие (28), выражающее закон сохранения внергии. довольно жесткое условие, так как существуют и иные механизмы потерь вращательной внергии пульсара. Что касается потерь вращательного момента звезды, то ее заряженный компонент непрерывно замедляется тормозящим моментом реакции фотонного излучения, передаваемым магнитным полем и потерей частиц с поверхности звезды. Так как заряженный компонент звезды жестко связан с сверхтекучим ядром [5], то реакция излучения таким образом приводит к замедлению всей звезды.

В заключение отметим, что совместное рассмотрение данных механизмов и механизма магнитодипольного излучения стволов нейтронных вихревых нитей [8] может обосновать многообразие и особенности распреде-

ления пульсаров по периодам p и их производным p. Это исследование проводится в настоящее время.

Бюражанская астрофизическая обсерватория Ереванский государственный уняверситет

## THE MOTION OF VORTICES AND ENERGY DISSIPATION IN THE NEUTRON STAR CORE

### D. M. SEDRAKYAN, A. D. SEDRAKYAN, K. M. SHAHABASYAN

Two new mechanisms for pulsar spindown are proposed. The rotational energy dissipation arises from the movement of proton vortices in the superfluid interior of the neutron star. This dissipation is a new heating source for the core of neutron stars. The first mechanism is due to the Ohmic dissipation in the cores of proton vortices, and the second is due to the finite relaxation time of the vortex order parameter. According to these mechanisms the rate of spindown is  $p \sim p^{-1}$ . The subpopulation of pulsars is estimated, for which these mechanisms are effective ones.

#### **ЛИТЕРАТУРА**

- 1. D. J. Helfand, G. A. Chanan, R. Novick, Nature, 283, 337, 1980.
- 2. G. Greenstein, Astrophys. J., 231, 880, 1979.
- 3. A. Alpar, S. Langer, J. Sauls, Astrophys. J., 282, 533, 1984.
- 4. Д. М. Седракян, К. М. Шахабасян, Докл. АН Арм.ССР, 70, 28, 1980.
- Д. М. Седракян, К. М. Шахабасян, А. Г. Мовсисян, Астрофизика, 22, 137, 1985.
- 6. D. Pines, A. Alpar, Nature, 316, 27, 1985.
- J. H. Huang, R. E. Lingefelter, Q. H. Peng, K. L. Huang, Astron. and Astrophys., 113, 9, 1982.
- 8. Д. М. Седракян, А. Д. Седракян, К. М. Шахабасян, Астрофизика, 31, 337, 1989.
- 9. J. H. Huang, K. L. Huang, Q. H. Peng, Astron. and Astrophys., 148, 391, 1985.
- 10. Д. М. Седракян, Астрофизика, 18, 417, 1982.
- 11. Д. М. Селракян, К. М. Шахабасян, А. Г. Мовсисян, Астрофизика, 19, 303, 1983.
- 12. J. Bardeen, M. J. Stephen, Phys. Rev., A140, 1197, 1965.
- 13. Л. П. Горьков, Н. Б. Копнин, Успехи физ. наук, 118, 413, 1975.
- 14. M: Tinkham, Phys. Rev. Lett., 13, 804, 1964.
- 15. И. М. Халатников, Теория сверхтекучести, Наука, М., 1971, стр. 104.
- 16. G. Baym, C. Pethick, D. Pines, Nature, 224, 674, 1969.
- 17. A. Schmid, Phys. Kondens. Materie, 5, 302, 1966.
- 18. M. Sogeur, J. Phys., 41, C2-139, 1980.

### АСТРОФИЗИКА

**TOM 32** 

АПРЕЛЬ, 1990

выпуск 2

УДК: 524.387-423

### ЮПИТЕРЫ ВОКРУГ МЕРТВЫХ ЗВЕЗД И ОБРАЗОВАНИЕ ОДИНОЧНЫХ ПОДКРУЧЕННЫХ РАДИОПУЛЬСАРОВ

#### Г. С. БИСНОВАТЫЙ-КОГАН

Поступила 6 апреля 1990

Рассчитана эволюция тесной двойной, состоящей из белого карлика, нейтронной звезды или чарной дыры в паре с вырожденным карликом малой массы на стадии перетекания вещества вплоть до превращения карлика в гигантскую планету.

Рассмотрено «вынужденное испарение» карлика из двойной системы в шаровом скоплении, ведущее к образованию одиночных маллисекундных пульсаров.

1. Введение. Эволюционная судьба маломассивных тесных двойных привлекает внимание в связи с изучением катаклиэмических переменных (КП) и рентгеновских барстеров (РБ). В обоих случаях наблюдается мертвая звезда: белый карлик (КП) или нейтронная звезда (РБ), в паре с маломассивным карликом. Свечение и нестационарные явления в этих объектах связаны с перетеканием вещества карлика на более массивную мертвую звезду. В работах [1, 2] отмечалось, что перетекание в РБ должно закончиться или резко ослабиться после того, как вещество карлика станет неидеальным и он превратится в гигантскую планету типа Юпитера. В [3] рассматривалась вволюция белого карлика в тесной паре с черной дырой при перетекании вещества на черную дыру в связи с моделью уникального гамма-источника Гелинга. Здесь также образование планеты типа Юпитера является естественным концом вволюции.

В настоящей работе рассчитаны последние стадии эволюции тесных маломассивных систем в результате излучения гравитационных воли и перетекания вещества. Используется уравнение состояния вещества карлика [4], дающее плавный переход от идеального газа к неидеальной жидкости. Пренебрегается влиянием температурных өффектов на строение карликовой звезды. Это приближение хорошо применимо для белых жарликов вокруг нейтронных звезд или черных дыр с  $\mu_e = \langle A/Z \rangle = 2$ , прошедших ядерную эволюцию [3, 5, 6]. Для катаклизмических переменных с нор-

мальным химическим составом карликов данное приближение дает приемлемую точность только на поздних стадиях при  $M_d \leqslant 0.025~M_{\odot}$ . Согласно расчетам [7], для систем с полной массой  $\gtrsim 0.6~M_{\odot}$  масса карлика  $M_d = 0.025~M_{\odot}$  достигается за время  $\sim 9 \cdot 10^9$  лет. Для КП расчеты, аналогичные данным, проводились в работе [8].

В конце данной работы исследована судьба пары с планетой в шаровом скоплении. Показано, что в плотных ядрах шаровых скоплений возможно разрушение пары в результате «вынужденного испарения» карлика и образование одиночного миллисекундного пульсара.

2. Эволюция. Рассмотрим тесную двойную систему, в которой карлик заполняет свою полость Роша, так что его радиус  $R_d$  связан с расстоянием между центрами звезд  $R_{12}$ , соотношением [9]:

$$R_d = R_{12} \frac{2}{3^{4/3}} \left(\frac{M_d}{\tilde{M}}\right)^{1/3}, \ M = M_d + M_1,$$
 (1)

где  $M_1$  — масса главного компаньона. Период обращения по закону Кеплера равен

$$P = \frac{2\pi R_{12}^{3/2}}{(GM)^{1/2}} = -\frac{9\pi R_d^{3/2}}{\sqrt{2G}M_d}$$
 (2)

Модели холодных карликов произвольной массы, вплоть до планетгигантов, состоящих из неидеального вещества, рассчитаны в [4]. В этих расчетах, использующих уравнение состояния [10], получены кривые  $R_d$  ( $M_d$ ) для различных составов, которые могут быть аппроксимированы следующими полиноминальными зависимостями:

$$R_{dH} = 2.0887 - 3.2586 x - 3.1690 x^{2} - 2.7600 x^{3} -$$

$$-0.9272 x^{4} - 0.09859 x^{5}, \text{ при } -4 \leqslant x \leqslant 0$$

$$R_{dH_{6}} = 0.5964 - 1.0936 x + 0.6331 x^{2} + 1.4622 x^{3} +$$

$$+1.1117 x^{4} + 0.3363 x^{5} + 0.03446 x^{6}, \text{ при } -4 \leqslant x \leqslant -0.134$$

$$R_{dC} = 0.5428 - 1.5914 x - 1.4737 x^{2} - 1.6406 x^{3} -$$

$$-0.8274 x^{4} - 0.1810 x^{5} - 0.01457 x^{6}, \text{ при } -4 \leqslant x \leqslant -0.1415$$

$$R_{dM_{6}} = 0.5389 - 1.4231 x - 0.9579 x^{2} - 0.8469 x^{3} -$$
(5)

$$-0.3950 x^4 - 0.08001 x^5 - 0.005909 x^6, при - 4 < x < -0.15$$

$$R_{dF_6} = 0.4126 - 1.1810 \ x - 0.3378 \ x^2 + 0.2262 \ x^3 +$$

$$0.2756 \ x^4 + 0.09563 \ x^5 + 0.01057 \ x^6 \ \text{mpy} \ - 4 < x < -0.24$$

 $+0.2756 x^4 + 0.09563 x^5 + 0.01057 x^6$ , при  $-4 \le x \le -0.24$ .

Здесь радиус карлика  $R_d$  дан в  $10^9$  см,  $x = \lg{(M_d/M_\odot)}$ , индексы Fe, Mg, C, He, H относятся, соответственно, к железу 56Fe, магнию 34Mg, углероду 12C, гелию 13He и смеси 750/0 водорода H и 250/0 гелия 4He, соответственно.

Если пренебречь собственным моментом вращения звезд, то для орбитального момента имеем:

$$I = M_d M_1 (GR_{12}/M)^{1/2}. (8)$$

Скорость потери момента за счет гравитационного излучения есть [11]

$$\frac{|f|}{I} = -\frac{32 G^3}{5 c^5 R_{12}^4} M M_d M_1. \tag{9}$$

Из (1), (8), (9) получаем уравнение для изменения  $M_d$  со временем:

$$\dot{m} = \frac{dm_{d}}{dt} = -D \frac{m^{2/3} m_d^{10/3} (1 - m_d/m)^2}{R_{d9}^4 \left[ \frac{5}{6} + \frac{1}{2} M_d \frac{R_{d9}}{R_{d9}} - \left( \frac{11}{6} + \frac{1}{2} M_d \frac{R_{d9}}{R_{d9}} \right) \frac{m_d}{m} \right]}$$
(10)

3десь функция для  $R_{d9}(M_d)$  задается в (3) - (7),( $R_{d9}=R_d/10^9$  см)  $_m/_m$  означает дифференцирование по  $M_d$ ;  $m_d=M_d/M_{\odot}$ ,  $m=M/M_{\odot}$ .

$$D = \frac{2^{9} G^{3} M_{\odot}^{3}}{5 \cdot 3^{16/3} c^{5} 10^{36}} = 2 \cdot 815 \cdot 10^{-11} M_{\odot}/c.$$

Для белых карликов в интервале масс  $(0.2 + 0.7) \, M_{\odot}$  с

$$R_{d9} = 0.76 \ m_d^{-1/3} \left(\frac{2}{\mu_s}\right)^{5/3}, \ M_d \frac{R_{d9}^2}{R_{d9}} = -1/3$$
 (11)

при  $\mu_e = 2$  (10) переходит в уравнение, полученное в [3]. Уравнение (10) численно интегрировалось при начальных условиях

$$m_{d0}=0.1$$
 для  $x_{\rm H}=0.75,~x_{\rm He}=0.25;$  (12)  $m_{d0}=0.3$  для <sup>4</sup>He, <sup>12</sup>C, <sup>24</sup>Mg, <sup>56</sup>Fe при  $t=0.$ 

При интегрировании (10) использовалась формула Гаусса с 40 узлами [12].

3. Результаты расчетов представлены в таблицах 1—5. Как видно из (2), период двойной системы в условиях заполнения карликом своей полости Роша не зависит от массы компаньона. Начальные массы главных звезд принимались равными  $M_{10}=0.8~M_{\odot}$ ,  $1.4~M_{\odot}$  и  $5~M_{\odot}$  для карликов с  $x_{\rm H}=0.75$  и  $M_{10}=1.4~M_{\odot}$  и  $5~M_{\odot}$  для остальных составов. Данные значения  $M_{10}$  соответствуют белому карлику, нейтронной звезде и червой дыре, соответственно.

В первых трех столбцах таблиц приведены период двойной системы в секундах (PER), масса карлика в  $M_{\odot}$  (MASS) и его радиус в  $10^9$  см (RADIUS). В последующих столбцах для каждой массы главной звезды приведены значения скорости перетскания в  $M_{\odot}$ /год (DMD Г), время эволюции в годах (TIME) и расстояние между центрами звезд в  $10^9$ см (R12).

Применяя полученные ревультаты для рентгеновского источника 4U 1820—30, имеющего период двойной системы P=685 с, получаем значения масс вырожденных карликов

 $m_d = 0.050$ ; 0.049; 0.041; 0.026 для <sup>4</sup>He, <sup>12</sup>C, <sup>24</sup>Mg, <sup>56</sup>Fe, соответственно.

Значения массы (13) для <sup>4</sup>Не на  $\sim$  15% ниже, чем в [6] для холодной звевды, где использовалась аппроксимация  $R_d$  ( $M_d$ ), отличнея от (4).

Как следует ив табл. 1, за время порядка космологического  $\tau_c=2\cdot 10^{10}$  лет, масса карлика с нормальным составом в маломассивной рентгеновской двойной (ММРД) достигнет  $\sim 10^{-2}~M_{\odot}$ . В ММРД второго поколения [13] с проэволюционировавшим компаньоном — белым карликом, состоящим ив более тяжелых элементов, массы карликов за время  $\tau_c$  достигнут примерных значений 0.003  $M_{\odot}$ ; 0.0025  $M_{\odot}$ ; 0.002  $M_{\odot}$ ; 0.0012  $M_{\odot}$  для <sup>1</sup>He, <sup>12</sup>C, <sup>24</sup>Mg и <sup>56</sup>Fe, соответственно.

Периоды двойных систем при втом составляют  $\sim 2.5$  часа для нормального состава и  $1.7 \div 1.2$  часа для звезд остальных химических составов.

4. Вынужденное испарение. Механизм образования одиночных миллисекундных пульсаров до сих пор не до конца ясен. Часть их образуется за счет испарения компаньона пульсарным излучением [14], (процесс, наблюдаемый в ватменных радиопульсарах [15]). Однако, факт вхождения почти всех миллисекундных (подкрученных) радиопульсаров в шаровые скопления указывают на то, что основным механизмом их образования является, видямо, разрыв пары при столкновениях со звездами поля [13].

При попытках количественного объяснения разрыва пары за счет сближений со звездами поля в шаровых скоплениях возникают существен-

ные трудности. На основе численных расчетов в [16] получено, что одиночные нейтронные звезды могли образоваться за счет звездных сближений только из пар с орбитальными периодами не менее 10—100 дней. В то же время наблюдения и теоретические оценки [13, 16] указывают на то, что подкрученные радиопульсары образовались из гораздо более тесных пар. Выход из положения может дать механизм вынужденного испарения, рассмотренный ниже.

Как следует из теории [17, 18] и численных экспериментов [19]. столкновения звезд с достаточно тесными парами в среднем ведут к отбору энергии у пар и к нагреву звезд поля. Этот результат легко интерпретировать, если принять, что процесс столкновения звезд определяется только их скоростями и не зависит от вхождения одной из звезд в пару. Процессы релаксации ведут к выравниванию кинетической энергии звезд. то есть, звезда с большей кинетической энергией в среднем теряет ее. Для одиночных звезд это вело бы к выравниванию кинетических энергий, во для эвеэд в тесных парах результат получается противоположный. Звезда быстро вращается по орбите в тесной паре, передает свою кинетическую энергию болес медленной ввезде поля при столкновении, но сама при этом ускоряется на орбите еще больше в силу справедливости теоремы вириала в примснении к двойной системе. Звездная пара в равновесии (как и звездная система в целом) обладает отрицательной теплоемкостью, так что потеря внергии парой приводит к увеличению скоростей входящих в нее звезд.

Из сказанного выше очевидно, что если скорость звезды пары меньше, чем средняя скорость звезд поля, то звезда в паре в среднем приобретает энертию. Это ведет к разрушению пары за время, порядка времени релаксации шарового скопления, которое во многих случаях меньше космологического.

Пусть карлик в паре с нейтронной звездой заполняет свою полость Роша Тогда орбитальная скорость карлика с учетом (1), (2) равна

$$v_d = \frac{2\pi R_{12}}{P} \frac{M_d}{M} \approx \frac{\sqrt{2}}{3^{2/3}} \left(\frac{GM^{2/3} M_d^{1/3}}{R_d}\right)^{1/2}$$
 при  $M_d \ll M$ . (14)

В скоплении со средней скоростью звезд  $< v_{cl}^2 >^{1/2}$  и средней массой  $< M_{cl} >$  разрушение пары произойдет быстро, за время порядка времени релаксации, если  $< M_{cl} > < v_{cl}^2 > > M_d v_d^2$ , то есть

$$\frac{M_d^{4/3}}{R_d} < \frac{3^{4/3}}{2} \frac{\langle v_{cl}^2 \rangle \langle M_{cl} \rangle}{GM^{2/3}}.$$
 (15)

Для скоплений 47 Tuc и  $\omega$  Cen с  $< v_{cl}^2 >^{1/2} = 10.3$  км/с и 16.8 км/с;  $< M_{cl} > = 0.67 \ M_{\odot}$  и 0.51  $M_{\odot}$ , соответственно.

Из (15) получаем

$$\frac{m_d^{4/3}}{R_{d9}} < 1.62 \cdot 10^{-5} \frac{m_{1} v_{c6}^2}{m^{2/3}}$$
 (16)

тде

$$m_{cl} = \frac{\langle \dot{M}_{cl} \rangle}{\dot{M}_{\odot}}, \quad v_{c6} = \frac{\langle v_{cl}^2 \rangle^{1/2}}{10^6 \text{ cm/c}}.$$
 (17)

Используя приблизительную связь (11), получаем условие быстрого разрушения пары в виде

$$m_d < 1 \cdot 13 \cdot 10^{-3} \frac{m_{ei}^{0.6} v_{c6}^{1.2}}{m^{0.4}} \left(\frac{2}{\mu_e}\right)$$
 (18)

Для скоплений 47 Тис и  $\circ$  Сеп получаем  $m_d < 6.3 \cdot 10^{-4} \left(\frac{2}{\mu_e}\right)$  и  $m_d < 6.3 \cdot 10^{-4}$ 

 $<9.3 \cdot 10^{-4} \left(\frac{2}{\mu_*}\right)$ , соответственно. Эти значения масс примерно в 3

раза меньше масс карликов, достигаемых в парах при перетекании, вызванном гравитационным излучением для  $\mu_e = 2$  (табл. 2—5) и в $\sim$ 6 раз меньше для карликов нормального состава (табл. 1).

Если в двойной системе карлик, заполняющий свою полость Роша сталкивается с медленными звездами поля, то такие столкновения приводят не к сближению звезд в паре, а к усилению перетекания вещества, и в итоге к увеличению  $R_{12}$ . Действие столкновений здесь аналогично действию гравитационного излучения, но может приводить к более быстрой эволюции и в итоге—к более быстрому разрыву пары в достаточно плотном скоплении. Процесс разрыва пары, происходящей в результате процессов, сопровождающих взаимодействие пары со звездами скопления, назовем «вынужденным испарением» карлика из звездной пары.

Для количественных оценок используем время релаксации импульса т. ввезды (карлика) в скоплении [20, 21]:

$$\tau_{s} \approx \frac{\sqrt{M_{d}}}{\pi \sqrt{2} G^{2}} \frac{\sqrt{M_{d}}}{M_{d}^{2} \langle M_{el} \rangle^{2}} \left(\frac{M_{d} v_{d}^{2}}{2}\right)^{3/2} \frac{1}{\lambda n_{el}} = \frac{v_{d}^{3}}{4\pi G^{2} \langle M_{el} \rangle^{2} \lambda n_{el}}, \tag{19}$$

nel-плотность числа ввезд в скоплении.

Для карлика в двойной системе, используя (14), (11), получаем

$$\tau_{s} = \frac{1}{9\pi \sqrt{2}} \frac{M M_{d}^{1/2} (\mu_{e}/2)^{5/2}}{G^{1/2} R_{d}^{3/2} \langle M_{cl} \rangle^{2} \lambda_{n_{el}}} = \frac{M M_{d} (\mu_{e}/2)^{5/2}}{9\pi \sqrt{2} \cdot (7.6 \cdot 10^{8})^{3/2} \sqrt{G} M_{\odot} \langle M_{cl} \rangle^{2} \lambda_{n_{el}}} = (20)$$

$$= 1.03 \cdot 10^{22} \frac{m m_{d}}{m_{cl}^{2} n_{51}} \left(\frac{\mu_{e}}{2}\right)^{5/2} c.$$

Здесь принято  $\lambda=10$ ,  $n_{5i}=n_{ci}/10^{-5i}$  см<sup>-3</sup>. Использование минимального из времен релаксации связано с тем, что карлик «сильно» связан с компаньоном и избыток импульса может переходить в движение центра масс пары. Характерное время потери утлового момента за счет гравитационного излучения определяется из (9), (1), (11)

$$\epsilon_{gr} \approx \frac{5c^{5} R_{12}^{4}}{32 G^{3} M^{2} M_{d}} = \frac{5 \cdot 3^{16/3}}{2^{0}} \frac{c^{5}}{G^{3}} \frac{R_{d}^{4}}{M^{2/3} M_{d}^{7/3}} = \frac{5 \cdot 3^{16/3}}{2^{0}} \frac{c^{5}}{G^{3}} \frac{(7.6 \cdot 10^{8})^{4} M_{\odot}^{4/3} (2/\mu_{e})^{20/3}}{M^{2/3} M_{d}^{11/3}} = \frac{1.16 \cdot 10^{10}}{m^{2/3} m_{d}^{11/3}} \left(\frac{2}{\mu_{e}}\right)^{20/3} c.$$
(21)

Отношение двух времен

$$\tau_{gr}/\tau_{s} = \frac{5 \cdot 3^{16/3}}{2^{\circ}} 9\pi \sqrt{2} \frac{c^{5}}{G^{5/2}} \frac{R_{d}^{11/2} < M_{el} >^{2} i. n_{el}}{M^{5/3} M_{d}^{17/6}} \left(\frac{2}{\mu_{s}}\right)^{55/6} =$$

$$= 1 \cdot 1 \cdot 10^{-12} \frac{m_{el}^{2} n_{5/3}}{m^{5/3} m_{d}^{14/3}} \left(\frac{2}{\mu_{s}}\right)^{55/6}$$
(22)

равно единице при

$$m_{d1} = 2.7 \cdot 10^{-3} \frac{m_{cl}^{3/7} n_{51}^{3/14}}{m^{5/4}} \left(\frac{2}{P_4}\right)^{55/28}$$
 (23)

В тех же предположениях за космологическое время под действием одного только гравитационного излучения масса карлика достигнет величины [13]:

$$m_{dc} = 4.5 \cdot 10^{-3} \, m^{-2/11} \, (2/\mu_{\bullet})^{20/11}$$
 (24)

Если  $m_{di} > m_{dc}$ , то столкновения важнее гравитационного излучения и ведут к разрушению системы за счет «вынужденного испарения». Отметим, что согласно (20) эволюция пары при этом идет в ускоряющемся темпе ( $\tau_s \sim m_d$ ). Если  $m_{di} < m_{dc}$ , то столкновения не успевают сыграть какуюто роль за космологическое время и испарение не происходит. Очевидно, что для плотных скоплений условие (23) достигается раньше, чем (18), и вынужденное испарение предшествует возможному прямому разрушению пары.

Для того, чтобы выполнялось неравенство  $m_{di} > m_{dc}$  требуется выполнение условия

$$\frac{m_{el}^{3/7} n_{51}^{3/14}}{m^{27/154}} \left(\frac{2}{P_e}\right)^{45,308} > 1.7 \tag{25}$$

HAH

$$n_{51} > 11 \left(\frac{\mu_e}{2}\right)^{15/22} \frac{m^{9/11}}{m_{el}^2},$$

$$n > 3 \cdot 10^5 \left(\frac{\mu_e}{2}\right)^{15/22} \frac{m^{9/11}}{m_{el}^2} \text{ nK}^{-3}.$$
(26)

Ив (26) следует, что для карликов нормального состава  $\mu_e=1.14$  условия вынужденного испарения менее жесткие, чем при  $\mu_e=2$ , поэтому образование миллисекундных пульсаров более вероятно из ММРД первого поколения, чем второго [13]. Плотность эвезд в шаровом скоплении, требуемая для разрыва пары (26) соответствует центральной плотности в наиболее плотных шаровых скоплениях. Характерным является скопление М 15 с плотностью звезд  $1.8\cdot10^5$  пк $^{-3}$ , в котором наблюдаются два подкрученных пульсара. В то же время скопление М 28 выглядит недостаточно плотным. Данные по шаровым скоплениям могут еще уточняться, возможно также влияние скрытой массы.

5. Заключение. Рассмотренный в работе процесс вынужденного испарения совместно с гравитационным излучением может быть причиной отрыва карлика от нейтронной звезды и образования одиночного подкрученного радиопульсара в плотных ядрах шаровых скоплений. В менее плотных скоплениях двойственность сохраняется и результатом эволюции ММРД является система с гигантской планетой вокруг нейтронной звезды с периодом обращения 1.5—2.5 часа.

Институт космических исследований

# JUPITERS AROUND DEAD STARS AND FORMATION OF SINGLE RECYCLED RADIO PULSARS

#### G. S. BISNOVATYI-KOGAN

The evolution of close binary is calculated which consists of a white dwarf, neutron star or a black hole together with a low mass degenerate dwarf on the stage of mass transfer up to transformation of the dwarf into a giant planet. The "enhanced evaporation" of the dwarf from the binary is considered for globular clusters leading to formation of a single mulli-econd pulsar.

#### **ЛИТЕРАТУРА**

- 1. Г. С. Бисноватый-Козан, М. М. Романова, Астрон. ж., 80, 900, 1983.
- 2. M. Ruderman, J. Shaham, Nature, 304, 425, 1983.
- 3. Г. С. Бисноватый-Козан, Астрофизика, 22, 369, 1985.
- 4. H. Zapolsky, E. E. Salpster, Astrophys. J., 158, 809, 1969.
- 5. L. Ste'la, W. C. Priedgorsky, N. E. White, Astrophys. J. Lett., 312, L17, 1987.
- 6. S. Rappaport, L.A. Nelson, C. P. Ma, P. C. Joss, Astophys. J., 322, 842, 1987.
- 7. B. Pacsynski, R. Sienkiewicz, Astrophys. J. Lett., 248, L27, 1981.
- 8. S. C. Vila, Astrophys. J., 169, 217, 1971.
- 9. B. Paczynski, Acta Astronomica, 31, 1, 1981.
- 10. E. E. Salpeter, H. Zapolsky, Phys. Rev., 158, 876, 1967.
- 11. Л. Д. Ландау, Е. М. Лифшиц, Теория поля, Наука, М., 1967.
- М. Абрамович, И. Стизан, Справочник по специальным функциям, М., Наука, ФМ., 1979.
- 13. Г. С. Бисноватый-Козан, Аспрофизика, 31, 567, 1989; 32, № 1, 1990.
- 14. W. Kluzhiak, M. Ruderman, J. Shaham, M. Taviani, Naturo, 334, 225, 1983.
- 15. A. Fruchter, D. Stinebring, J. H. Taylor, Nature, 333, 237, 1988.
- 16. S. Rappaport, A. Putney, F. Verbunt, Astrophys. J., 345, 210, 1989.
- 17. Л. Э. Гуревич, Б. Ю. Левин, Актрон. ж., 27, 273, 1950.
- 18. Л. Э. Гуревич, А. Д. Чернин, Введение в космологию, Наука, М., 1978.
- 19. S. Aurseth, M. Lecar, Ann. Rev. Astron. Astrophys., 13, 1, 1975.
- 20. Б. А. Трубников, В сб. «Вопросы теорыя плазмы», вып. 1, с. 98, 1963.
- 21. Л. Спитуер, МА, Динамическая вволюцая шаровых скоплений, Мир. М., 1990.

Таблица 1

$X_{\rm a} = 0.75, \qquad X_{\rm He} - 0.25$			<b>M</b> =	0.9 M <sub>⊙</sub>	
PERH	MASS	RADIUS	DMDT	TIME	R12
.145E+04	.100E+00	.411E+01	.199E -08	.000E+01	.185E+02
.193E+04	.700E01	.443E+01	.436E-09	.340E+08	.225E+02
.259E+04	.490E-01	.477E+01	.968E-10	.142E+09	.272E+02
.345E+04	.343E-01	.513E+01	.217E—10	.479E+09	.330E+02
.457E+04	.240E-01	.550E+01	.495E-11	.152E+10	.398E+02
.600E+04	.168E-01	.586E+01	.115E11	.469E+10	.477E+02
.779E+04	.118E-01	.619E+01	.276E-12	.140E+11	.568E+02
.999E+04	.824E-02	.648E+01	.685E-13	.409E+11	.671E+02
.126E+05	.576E-02	.672E+01	.177E-13	.115E+12	.783E+02
.156E+05	.404E-02	.689E+01	.477E-14	.310E+12	.904E+02

$M=1.5~M_{\odot}$			<i>M</i> =	$M = 5.1 M_{\odot}$		
DMDT	TIME	R12	DMDT	TIME	R12	
.269E-08	.000E+01	.219E+02	.593E08	.000E+01	.33°E+02	
.601E-09	.248E+08	.266E+02	.134E - 08	.112E+08	.400E+02	
.134E—09	.102E+09	.323E+02	.301E-09	.460E+08	.486E+02	
.303E10	.345E+09	.391E+02	.681E-10	.154E+09	.588E+02	
.692E—11	.109E+10	.472E+02	.156E-10	.486E+09	.710E+02	
.162E 11	.335E+10	.566E+02	.364E-11	.149E+10	.851E+02	
.388E12	.100E+11	.674E+02	.875E-12	.445E+10	.101E+03	
.962E-13	.291E+11	.795E+02	.217E-12	.129E+11	.120E+03	
.248E-13	.818E+11	.929E+02	.561E-13	.362E+11	.140E+03	
.670E-14	.221E+12	.107E+03	.151E-13	.978E+11	.161E+03	

	M =		
PERHEL	MASS	RADIUS	DMDT
.132E+03	.300E +00	.120E+01	.395E04
.190E+03	.210E+00	.136E+01	.440E-05
.266E+03	.147E+00	.151E+01	.720E - 06
.365E+03	.103E+00	.166E+01	.137E-06
.497E+03	.720E01	.181E++1	.281E-07
.673E+03	.504E-01	.197E+01	.594E-08
.913E - 03	.353E01	.214E+01	.127E-08
.124E+04	.247E-01	.232E+01	.274E-09
.168E+04	.173E-01	.253E+01	.591E-10
.226E+04	.121E-01	.274E+01	.129E—10
.302E+04	.847E-02	.295E+01	.286E—11
.398E+04	.593E-02	.315E+01	.655E- 12
.517E+04	.415E-02	.333E+01	.15 <sub>0</sub> E 12
.658E+04	.291E-02	.347E+01	.392E-13
.817E+04	.203E-02	.356E+01	.104E—13
.989E+04	.142E-02	.359E+01	.298E—14

1.7 M <sub>☉</sub>		M=3	5.3 M <sub>⊙</sub>	
TIME	R12	DMDT	TIME	R12
.0005+01	.464E+01	.421E-04	.000E+01	.677E+01
.820E+04	.592E+01	.698E-05	.576E+04	.864E01
.473E+05	.740E+01	.131E -05	.282E+05	.108E + 02
.198E+06	.914E+01	.267E06	.108E+06	.133E+02
.727E+06	.112E+02	.565E-07	.374E+06	.164E+02
.250E+07	.137E+02	.122E-07	.124E+07	.201E+02
.830E+07	.168E+02	.265E-08	.405E+07	.246E+02
.272E+08	.206E+02	.574E-09	.131E+08	.301E+02
.887E+08	.252E+02	.125E-09	.423E+08	.368E+02
.287E+09	.308E + 02	.273E-10	.135E+09	.449E+02
.917E + 09	.373E+02	.608E-11	.433E+09	.545E+02
.287E + 10	.444E+02	.139E-11	.135E+10	.656E+02
.871E+10	.535E+02	.332E-12	.410E+10	.781E+02
.254E+11	.628E+02	.834E-13	.119E+11	.917E+02
.703E +11	.725E+02	.222E-13	.330E+11	.106E+03
.184E+12	.824E + 02	.635E—14	.826E+11	.120E+03
-	THE RESERVE THE PERSON NAMED IN			

у	глерод "С		М
PERCRB	MASS	P \DIUS	DMDT
.124E+03	.300E+00	.115E+01	.454E U4
.179E-  33	.210E+00	.130E+01	.535E-05
.253£-LC3	.147E+00	.146E + 01	.852E-06
.355£+03	.103E+00	.163E+01	.153E-1.6
.491E- -03	.720E-01	.179E+01	.295E07
.671E+03	.504E 01	.196E+01	.600E - US
.904E+03	.353E-01	.212E+01	.128E-08
.120E+04	247E-01	.227E+01	.287E-09
.156E+04	.173E-01	.241E+01	.674E-10
.200E+04	.121E-01	.252E+01	.166E-10
.252E+04	.847E-02	.261E + 01	.429E-11
.313E+04	.593E-02	.268E + 1	.116E-11
.383E+04	.415E-02	.272E+01	.326E-12
.462E+04	.291E-02	.274E + 01	.951E-13
.551E+04	.203E-02	.274E+01	.287E - 13
.651E+-04	.142E-02	.272E-01	.894E 14
.763E+04	.997E-03	.268E+01	.285E-14

Тавлица З

= 1.7 M⊙		М	= 5.3 M <sub>☉</sub>	
TIME	R12	ENET	TIME	R12
.COOE +01	.444E+01	.493E-(4	.000E+01	.649E+01
.684E+04	.567E+01	.840E-05	.482E+04	.828E+01
.3 5E+25	.716E+01	.154E-05	.237E+05	.105E+02
.172E+06	.896E+01	.297E 06	.935E+05	.131E+02
.663E+06	.111E+62	. 593E 07	.34?E+06	.163E+02
.239E+07	.137E+02	. 123E-17	.1191+07	.200E+02
.818E+07	.167E+02	.267E - (8	.358E + (7	.244 -102
.256E +01	.202E+02	.602E-0	.1:8E+(8	.2 4E+02
.826E+08	.240E+02	.142E-09	.514L- 08	.351E-02
.245E÷09	.284E+62	.352E−10	.116E- 09	.414E02
.693E+09	.331E+02	.911E 11	.327E+09	.484E-02
.188E-[-10	.382E-02	.246E - 11	.8841 +09	.559E+02
.488E+10	.437E+02	.693E-12	.229E 10	.639E 02
.122E+11	.476E+02	.203E-12	.572E+10	.724E+02
.293E+11	.558E+02	.613E-13	.138E+11	.815E+02
.684E+11	.623E+02	.191E-13	.321E+11	.910E+02
.155E+12	.693E+02	.608E - 14	.727E+11	.101E+03

N	МАГНИЙ <sup>24</sup> М₃	Λ.	$I=1.7 M_{\odot}$	
PERMGN	MASS	RADIUS	DMDT	TIME
.118E+03	.300E+00	.112E+01	.499E-04	.000E+01
.168E+03	.210E+00	.125E+01	.601E-05	.613E+04
.234E+03	.147E+00	.139E+01	.101E-05	.343E+05
.321E+03	.103E+00	.152E+01	.193E-06	.142E+06
.432E+03	.720E-01	.165E+01	.400E-07	.516E+06
.575E+03	.504E-01	.177E+01	.875E-08	.174E+07
.755E+03	.353E-01	.188E01	.200E08	.554E+07
.979E+03	.247E-01	.199E+01	.478E-09	.169E+08
.125E+04	.173E-01	.208E+01	.119E-09	.494E+08
.158E+04	.121E-01	.216E+01	.306E-10	.139E+09
.197E+04	.847E02	.222E+01	.821E-11	.377E+09
.242E+04	.593E-02	.226E+01	.228E—11	.985E-+-09
.293E+04	.415E-02	.228E + 01	.658E—12	.248E+10
.351E+04	.291E—02	.228E+01	.197 <i>E</i> —12	.605E + 10
.415E+04	.203E-02	.227E+01	.606E-13	.143E+11
.486E+04	.142E-02	.223E+01	.193E—13	.325E+11
.563E+04	.997E-03	.219E+01	.631E-14	.722E+11
.647E+04	.698E-03	.213E+01	.212E-14	.156E+12

	Λ.	15.3 M⊙	
R12	DMDT	TIME	R12
.430E+01	.551E-04	.000E-01	.629E+01
.545E+01	.959E-05	.425E+04	.796E+01
.67JE+01	.184E - 05	.204E+05	.993E+01
.837E+01	.376E - 06	.769E+05	.122E+-02
.102E+02	.806E-07	.265E+06	.149E+02
.124E+02	.180E-07	.863E+06	.181E+02
.148E+02	.417E 08	.270E-+-07	.217E+02
.176E+02	.100E-08	.812E+07	.257E+02
.208E+02	.251E-09	.235E+08	.303E+-02
.242E+02	.649E10	.659E+08	.354E+02
.281E+02	.174E-10	.178E+09	.410E+02
.322E+02	.486E-11	.464E+09	.470E+02
.366E+02	.140E-11	.117E+10	.535E+02
.413E+02	.419E-12	.284E+10	.603E+02
.462E+02	.129E—12	.669E+10	.675E+02
.513E+02	.411E-13	.153E+11	.749E+02
.566E+02	.135E—13	.338E+11	.827E+02
.621E+02	.451E14	.730E+11	.907E+02

Татблица 5

ЖЕАЕЗО ™Fe		M	$M=1.7 M_{\odot}$	M = 5.3 M⊙		THE PERSON		
PERIRN	MASS	RADIUS	DMDT	TIME	R12	DMDT	TIME	R12
.888E+02	.300E+00	.922E+00	.178E-03	.000E + 01	.356E + 01	.118E-03	.000E+01	.520E+01
.126E+03	.210E+00	.103E-1-01	.127E-04	.290E+04	.449E+01	.205E-04	.200E+04	.655E+01
.172E+03	.147E + 00	.113E+01	.222E 05	.15 E+05	.552E+01	.408E05	.940E+04	.807E+01
.229E+03	.103E+00	.121E+01	.455E-06	.630E+05	.669E+01	.889E-06	.340E- -05	.977E+01
.300E+03	.720E-01	.129E+01	.102E06	.215E+06	.801E + 01	.206E-06	.110E+-96	.117E+02
.389E+03	.504E-01	.136E+01	.241E - 07	.672E+06	.952E+01	.496E-07	.334E- -06	.139E+02
.500E+03	.353E01	.143E+01	.589E-08	.200E+07	.113E+02	.123E -07	.973E+06	.164E +02
.638E+03	.247E-01	.149E+01	.147E-08	.574E+07	.133E+02	.310E-08	.276E+07	.194E+02
.810E+03	.173E- 01	.159E+01	.377E-09	.161E+08	.155E+02	.795E-09	.767E+07	.227E+02
.102E+04	.121E-01	.161E+01	.981E10	.441E+08	.181E- -02	.208E-09	.209E+08	.265E+02
.128E+04	.847E-02	.166E+01	.261E-10	.11°E+09	.210E+.2	.555E-10	.560E+08	.307E+02
.158E+04	.593E-02	.170E+01	.715E-11	.311E+09	.242E+02	.152E-10	.147E+09	.354E+02
. 193E+04	.415E-02	.172E+01	.202E-11	.795E+09	277t +(2	.431E-11	.374E+09	.404E+02
.231E+04	.291E-02	.173E+01	.598E-12	.196E+10	.312E- <del> </del> -02	.127E-11	.922E+09	.456E+02
.272E+04	.203E-02	.171E+01	·185E-12	.456E+10	.3-8E+02	.395E-12	.219E+10	.509E+02
.313E+04	.142E-02	.167E+01	.60 E-13	.105E+11	.332E+02	.130E-12	.495E+10	.559E+02
.352E+04	.997E-03	.160E+01	.213E-13	.227E+11	.413E+02	.454E - 13	.106E+11	.604E+02
.386E +04	.698E-03	.151E+01	.795E -14	.451E+11	.440E+02	.170E-13	.216E+11	.642E+02
.414E+04	.489E-03	.141E+01	.317E-14	.884E- -11	.461E+02	.676E-14	.414E- -11	.673E ÷ 02
.438E-¦-04	.342E -03	.130E+01	.133E—14	.161E+12	.478E+02	.283E-14	.753E+11	.699E+02

### АСТРОФИЗИКА

**TOM 32** 

АПРЕЛЬ, 1990

выпуск 2

УДК: 52:53

# МАКСИМАЛЬНО ПРАВДОПОДОБНОЕ ВОССТАНОВЛЕНИЕ ИЗОБРАЖЕНИЙ. I. ОСНОВНЫЕ СООТНОШЕНИЯ

### В. Ю. ТЕРЕБИЖ Поступяла 1 февраля 1990

Проводится последовательное рассмотрение процесса формирования изображения, сводящегося к линейному размыванию и добавлению белого пуассоновского шума. Учитывается вероятностный характер размывания изображения, так что подход применим и для восстановления слабых источников. Априорная информация естественно включает исотрицательность решения. При помощи метода Дарвина—Фаулера найдено явное выражение (18) для вероятности получения наблюдаемого распределения отсчетов, максимизация которого дает наиболее правдоподобную оценку оритинала. Частный случай составляет задача оптимальной фильтрации белого шума.

1. Введение. Почти всякая задача интерпретации данных эксперимента включает т. н. обратную вадачу или — в давней оптической терминологии — проблему восстановления изображения. Она сводится обычно к нахождению решения уравнения

$$\int_{-\infty}^{\infty} h(x, x') s(x') dx' + \xi_r(x) = f(x), \qquad (1)$$

где s(x) — искомый оригинал; h(x, x) — аппаратная функция или функция рассияния точки (Point Spread Function), описывающая размытие изображения на предшествующем регистрации этапе; f(x) — аддитивный шум, представляющий собой реализацию случайного процесса f(x); f(x) — наблюдаемое изображение. Мы рассматриваем для простоты одномерную задачу, поскольку введение дополнительных измерений не вносит принципиальных усложнений.

Чаще всего в (1) считаются заданными функции h(x, x') и f(x), а также характеристики процесса  $\xi(x)$ , но, конечно, не его конкретная реализация  $\xi_r(x)$ , содержащаяся в изображении. Именно последнее обстоятельство превращает известную задачу обращения (1) в сложную проблему, которой посвящено большое количество исследований (см.

[1—6] и цитированную там литературу). Причина трудностей связана с важной ролью, которую играет высокочастотная составляющая шума, так что формальное решение (1) оказывается чрезвычайно чувствительным к выбору  $\xi_r(x)$ : различным реализациям шума, вполне типичным при заданных его характеристиках (среднем значении, спектральной плотности и т. п.) отвечают сильно различающиеся формальные решения. В свою очередь, изменчивость спектра реализаций шума обусловлена независимостью близких его значений и медленным (экспоненциальным) уменьшением плотности распределения [7].

Устойчивые методы решения (1), позволяющие найти более или менее блиэкую к оригиналу оценку s(x), условно можно разделить на две группы — линейные (например, оптимальной фильтрации, регуляризации) и нелинейные, опирающиеся главным образом на информационные критерии. Сначала практика, а ватем и теоретические исследования показали принципиальное превосходство методов второй группы. Это проявляется, в частности, в эффекте сверхраврешения, когда мелкие детали, казалось бы, полностью размытые системой формирования изображения (находящиеся в частотной области, «срезанной» аппаратной функцией), восстанавливаются нелинейными алгоритмами. Другими словами, эти алгоритмы сбеспечивают значительно более высокое разрешение по сравнению с тем, которое определяется классическим критерием Рэлея. Эффект сверхразрешения обусловлен оптимальным продолжением имеющейся спектральной информации о решении в область высоких частот спектра мощности.

Вместе с тем следует сказать, что обоснование нелинейных методов не достигло пока надлежащей ясности. Фактически каждый из них вводит дополнительные предположения ad hoc, не вытекающие с неизбежностью из существа дела. Само наличие мнотих нелинейных методов, а к ним отно-Сятся несколько вариантов метода максимума энтропии, разновидности метода аналитического продолжения спектра, максимума информации и т. д., показывает отсутствие единого подхода, причем такое положение не диктуется разнообравием априорной информации. В частности, сейчас выясняется, что требование максимальной энтропии решения, ограниченной лишь «связями» вида (1), не гарантирует решения, близкого к наиболее вероятному [8]. По-видимому, логически безупречным можно признать лишь интуитивно оченидный подход, основанный на методе максимума правдоподобия (ММП). Он требует, чтобы в качестве оценки исходного распределения (оригинала) было принято такое распределение яркости, при котором наиболее вероятно получить реально наблюдавшееся изображение.

Следующее замечание представляется уместным в связи с общей постановкой проблемы восстановления изображения и рассмотрением с этой целью уравнения (1). Механизм размытия изображения имеет вероятностную природу, и лишь при очень большой яркости оригинала можно заменить действительный его вклад в каждый элемент картины средним значением — первым слагаемым в левой части (1). Таким образом, уже при написании этого уравнения предполагается бесконечно высокое отношение сигнала к внутреннему шуму, который представляет собой естественные флуктуации реализации сигнала.

Излагаемый ниже подход свободен от указанного предположения и опирается на общее рассмотрение процесса формирования изображения. По этой причине он применим и для восстановления слабых изображений. Основное внимание уделяется естественности постановки задачи и последовательности в применении ММП. Аддитивный шум считается пуассоновским, так что он автоматически удовлетворяет условию неотрицательности. Данная статья посвящена выводу функционала, максимум которого отвечает оптимальной оценке оригинала. Сопоставление с другими подходами, проблема сверхразрешения, двумерная форма записи, примеры и применение результатов к решению астрономических задач изложены в последующих статьях.

2. Постановка задачи иллюстрируется схемой, представленной на рис. 1 и называемой в дальнейшем для краткости схемой SHNR. В данном случае она включает действительный пример восстановления при помощи описанного ниже алгоритма.

Введем сразу необходимую дискретизацию и будем рассматривать искомое теоретическое распределение яркости — оригинал — как совокупность неотрицательных отсчетов  $(s_1, s_2, ..., s_n) \equiv \{s_k\}$ , нормпрованных так, что

$$0 \leqslant s_k \leqslant 1, \ \sum_{k=1}^n s_k = 1.$$
 (2)

Предположим далее, что в соответствии с распределением  $\{s_k\}$  реализованы  $N_*$  событий. Оценку  $N_*$  неизвестной детерминированной величины  $N_*$  еще предстоит найти. Реализованное распределение событий по
бинам  $\{g_k\}$  содержит, вообще говоря, флуктуации и не совпадает с  $\{s_k\}$ .

Переходя к описанию системы формирования изображения H, примем, что событие оригинала, имевшее место в k-ом бине, с вероятностью  $(h_{jk})$  перейдет в j-ый бин изображения, причем

$$\sum_{j=1}^{m} h_{jk} = 1, \quad m \geqslant n. \tag{3}$$

Судьба каждого из  $N_{\infty}$  событий не зависит от распределения других событий, т. е. предполагается линейность системы H. За матрицей  $(h_{jk})$  сохраним наименование функция рассеяния точки (ФРТ). Инвариантность системы к сдвигам не обязательна. Для учета эффектов типа дефокусировки в ФРТ можно ввести свободные параметры, но пока будем считать эту функцию полностью известной. При  $h_{jk} = \delta_{jk} \iota$ , где  $\delta_{jk} \iota$ — символ Кронекера, мы имеем задачу очищения изображения от шума.

Пусть шум задается совокупностью случайных величин  $\{\xi_j\}$ , которые представляют собой добавки к количеству событий оригинала в каждом бине изображения. Предполагается, что эти величины взаимно независимы (белый шум) и подчиняются закону Пуассона:

$$\Pr\left(\hat{z}_{j}=r\right)=e^{-b_{j}}\frac{(b_{j})^{r}}{r!}, \frac{r=0, 1, \cdots,}{j=1, \cdots, m}.$$
(4)

Как известно, при этом среднее значение 🖏 равно ее дисперсии:

$$\langle \hat{z}_j \rangle = D(\hat{z}_j) = b_i,$$
 (5)

и фон может быть в среднем как однородным  $(b_j \equiv b)$ , так и меняющимся произвольным образом. Для удобства введем нормированную к 1 совокупность  $\{\beta_j\}$  — относительное распределение средней яркости шума:

$$\sum_{i=1}^{m} b_i = B, \ \beta_j = b_j/B, \ \sum_{i=1}^{m} \beta_i = 1.$$
 (6)

Наконец, наблюдаемое изображение характеризуется распределением  $\{N_j\}$  количества зарегистрированных событий по бинам, включающим как перераспределенные события оригинала, так и дебавки шума. Всего наблюдается

$$N = \sum_{i=1}^{m} N_i \tag{7}$$

событий. Вводя вновь относительное распределение, получим:

$$0 \leqslant f_j = N_j / N \leqslant 1, \ \sum_{j=1}^m f_j = 1.$$
 (8)

Таким образом, предполагаются известными следующие величины: 1) протяженности оригинала n и выходного изображения m (при отсутствии информации о размерах источника следует принять n=m): 2) функция рассеяния точки  $(h_{jk})$ ; 3) средние интенсивности шума в бинах изображения  $\{b_j\}$ ; 4) наблюдаемое распределение событий по бинам  $\{N_j\}$ . Нужно найти оценки относительного распределения яркости оригинала  $\{s_k\}$  и полной его яркости N.

Вообще говоря, иногда случается, что основная часть шума вносится на стадии, предшествующей формированию изображения. Эту схему, которую обозначим как SNHR, мы рассмотрим в разделе 6.

3. Восстановление по реализации или без внешнего шума. Дальнейшее изложение станет значительно понятнее, если мы рассмотрим сначала простые случаи, когда оценка оригинала производится на основании конечной выборки (переход SR на схеме рис. 1) или после втапа формирования

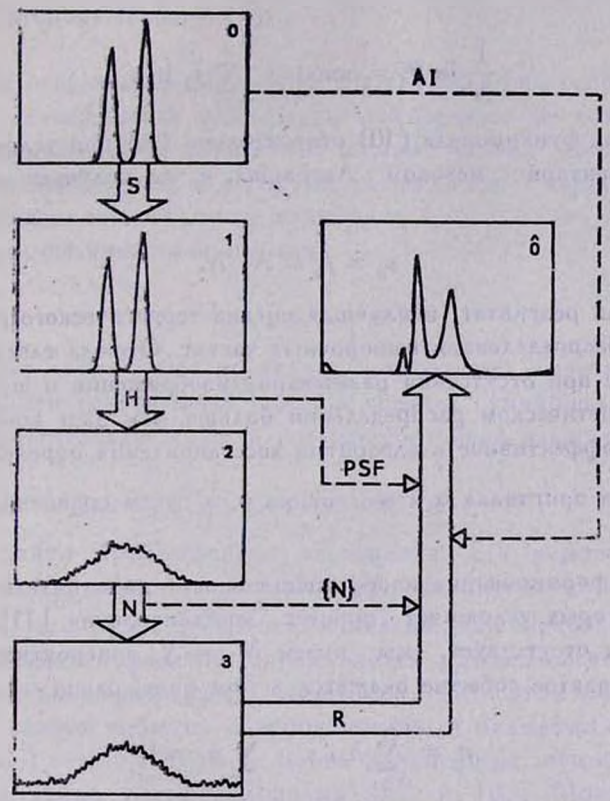


Рис. 1. Схема формирования и восстановления изображения. Использованы обозначения: 0-оригинал; S—образование конечной выборки; 1—реализация оригинала; H—система формирования изображения; 2—размытое изображение с флуктуациями; N—аддитивный шум; 3—конечное изображение; R—алгоритм восстановления; 0—оценка оригинала; AI—априорная информация; PSF—функция рассеяния точки; {N}—средние дарактеристики шума.

изображения прибором (SHR). Эти случаи чрезвычайно редко находят практические применения, поскольку трудно избежать внесения шума, однако с принципиальной точки эрения такое рассмотрение совершенно необходимо.

Итак, пусть задана совокупность  $\{N_k\}$ , образованная после реализации  $N_* = N$  событий (очевидно, здесь m = n) с теоретическим распределением вероятностей  $\{S_k\}$ . Мы имеем здесь типичную последовательность независимых испытаний [10], так что вероятность  $P_I$  получения данного набора  $\{N_k\}$ , удовлетворяющего условию (7), определяется полиномиальной формулой

$$\mathbf{P}_{1}(N_{1},\cdots,N_{n}) = \frac{N!}{N_{1}! \ldots N_{n}!} s_{1}^{N_{1}} \ldots s_{n}^{N_{n}}, \tag{9}$$

откуда

$$\frac{1}{N}\ln \mathbf{P}_1 = \text{const} + \sum_{k=1}^{n} f_k \ln s_k, \tag{10}$$

Максимизация функционала (10) относительно  $\{s_k\}$  при условиях (2) проводится влементарно методом Лагранжа, и мы получаем оптимальную оценку:

$$\hat{s}_k = f_k = N_k/N. \tag{11}$$

Это известный результат: наилучшая оценка теоретического распределения совпадает с распределением выборочных частот. Отсюда следует, в частности, что даже при отсутствии размывания изображения и шума нереально узнать о теоретическом распределении больше, чем дает конечная выборка. Поэтому эффективность алгоритма восстановления определяется не путем сравнения оригинала 0 и его оценки 0, а путем сравнения реализации 1 с 0 (рис. 1).

Система формирования изображения вносит дополнительные флуктуации, учет которых усложняет процесс восстановления [11]. Поскольку внешний шум отсутствует, мы имеем  $N_{*}=N$ , а вероятность того, что произвольно взятое событие окажется в j-ом бине, равна

$$p_j = \sum_{k=1}^{n} h_{jk} s_k, \quad \sum_{j=1}^{m} p_j = 1.$$
 (12)

Теперь имеет место последовательность независимых испытаний с вероятностями заполнения  $\{p_j\}$ , так что вероятность получения набора  $\{N_j\}$  равна

$$P_{11}(N_1, \dots, N_m) = \frac{N!}{N_1! \dots N_m!} p_1^{N_1} \dots p_m^{N_m}.$$
 (13)

Соотношения (12) и (13) определяют  $P_{11}$  для произвольных  $\{s_k\}$ . Оценка максимального правдоподобия доставляет максимум  $P_{11}$ , т. е. функционалу

$$\frac{1}{N} \ln P_{II} = \text{const} + \sum_{j=1}^{m} f_j \ln p_j$$
 (14)

при условиях (2). Некоторые численные способы максимизации (14) рассматривались в [11, 12].

Решение системы уравнений  $p_j = f_j$ — т. н. инверсное решение — не является положительно определенным, и потому, вообще говоря, не совпадает с разыскиваемым оптимальным в смысле ММП решением\*. Не гарантировано также, что инверсное решение будет удовлетворять условию нормировки, т. е. второму условию (2).

4. Сводка результатов для задачи SHNR. Конечно, основной интереспредставляет случай, когда изображение «испорчено» не только внутренними флуктуациями, но и добавочным шумом. Вывод соответствующих формул достаточно сложен, и потому мы отнесли его к следующему пункту, а пока выпишем окончательные выражения.

Оценка полной яркости оригинала

$$\widehat{N}_{\star} = N - B \tag{15}$$

показывает, что оптимальная процедура предполагает вычитание из всего количества зарегистрированных событий средней суммарной яркости шума. Вводя относительную яркость последнего, можно написать:

$$B = \mu N, \ \hat{N}_* = (1 - \mu) N, \ 0 \leqslant \mu \leqslant 1.$$
 (16)

Легко найти приближенное выражение для вероятности  $P \equiv P_{\rm III}(N_1,\cdots,N_m)$  получить наблюдаемую совокупность отсчетов, если допустить, что размещение всех событий, как световых, так и фоновых, по бинам изображения определяется рандомизированной последовательностью независимых испытаний. При этом считается, что произвольно взятое событие с вероятностью  $\mu$  окажется фоновым и с вероятностью  $1-\mu$ — световым, а его дальнейшая судьба определя ется соответственно распределениями  $\{\beta_j\}$  и  $\{p_j\}$ . Поэтому вероятность попадания произвольно взятого события в j-ый бин равна  $w_j = (1-\mu) p_j + \mu \beta_j$ , а P задается той же полиномиальной формулой (13) с заменой  $p_j$  на  $w_j$ , так что

$$\frac{1}{N} \ln P \simeq \text{const} + \sum_{i=1}^{m} f_{i} \ln [(1 - \mu) p_{i} + \mu \beta_{i}].$$
 (17)

<sup>\*</sup> Этим замечанием я обязан В. В. Бирюкову

Максимум этого функционала следует искать при ограничениях (2). При всей простоте описанного приближения точность его трудно оценить, а потому следует провести полный анализ.

Такое рассмотрение в разделе 5 дает для Р выражение

$$\frac{1}{N} \ln \mathbf{P} = \text{const} + \sum_{j=1}^{m} f_{j} \ln \left[ (1 - \mu) \Lambda p_{j} + \mu \beta_{j} \right] - (1 - \mu) \ln \Lambda, \quad (18)$$

где  $\{p_j\}$  связаны с  $\{s_k\}$  соотношениями (12), а  $\Lambda(s_1,\cdots,s_n)$  — корень уравнения

$$\sum_{i=1}^{m} \frac{f_i \, \beta_i}{(1-\mu) \, \Lambda \, p_i + \mu \, \beta_i} = 1, \quad \mu \neq 0. \tag{19}$$

При  $\mu=0$  параметр  $\Lambda\equiv 1$  и (18) совпадает с (14). Напомним, что разыскивается условный максимум (18) при ограничениях (2). Эта задача без особого труда решается при помощи современных компьютеров.

Из соображений, основанных на законе больших чисел, следует ожидать (и предварительные расчеты согласуются с втим), что приближение  $\Lambda=1$ , т. е. замена (18) на (17), будет выполняться тем точнее, чем больше общее количество событий.

Если система строит идеальное изображение, т. е.  $h_{jk} = \delta_{jk}$ , то отличны от нуля только  $p_j = s_j$ ,  $j = 1, \cdots, n$ , и приведенные выше формулы дают решение задачи оптимальной фильтрации белого шума.

До сих пор априорная информация об оригинале ограничивалась лишь требованием его неотрицательности и, воэможно, сведениями о протяженности. Первое свойство естественно учитывается заданием вероятностного распределения  $\{s_k\}$ . При этом задача на экстремум решается в конечной области (n-1)-мерного пространства. Однако часто имеется дополнительная априорная информация, и это позволяет существенно снизить количество искомых величин, т. е. проводить максимизацию P в пространстве меньшего числа измерений. Ограничимся одним примером.

Предположим, что исходное распределение сосредоточено в сравнительно немногих бинах, т. е. имеет вид дискретного спектра:

$$s_k = I_k \, \delta_{k, \, k_l}, \ l = 1, \dots, L < n, \sum_{l=1}^{L} I_{k_l} = 1.$$
 (20)

Если это известно заранее, то в (18) и (19) разыскиваются лишь 2L неизвестных параметра  $\{L, k_l, l_{k_l}\}$  и экстремум находится значительно быстрее [11].

Аналогично учитываются и другие сведения. В конечном итоге именно они определяют качество восстановленного изображения (в особенности при чистой фильтрации шума). Важно подчеркнуть, что в рассматри-

Определим функцию  $\phi$  комплексной переменной z=x+iy следующим образом:

$$\varphi(z) = \sum_{0 = n_j \in N_j} \prod_{l=1}^m \frac{(v_j z)^{n_j}}{n_j!} \cdot \frac{b_j^{N_j - n_j}}{(N_j - n_j)!}.$$
 (28)

где суммирование уже не ограничено гиперплоскостью (23), а распространяется на все точки m-мерного параллелепипеда. Очевидно, сумма в (27) равна коэффициенту при  $z^N_{\pm}$  функции  $\psi(z)$ . В свою очередь, на основании теоремы о вычетах этот коэффициент находится контурным интегрированием в комплексной плоскости z, так что

$$P = N_*! N_*^{-N_*} e^{-B} \cdot \frac{1}{2\pi i} \oint_{\tau} \varphi(z) \frac{dz}{z^{N_*+1}}, \qquad (29)$$

где контур у охватывает начало координат. Поскольку пуассоновское распределение сохраняет свой вид при суммировании независимых величин, формулу (28) можно записать в виде:

$$\varphi(z) = \prod_{J=1}^{m} \frac{(v_{j}z + b_{J})^{N_{J}}}{N_{J}!} . \tag{30}$$

Таким образом,

$$P = \frac{C}{2\pi i} \int_{1}^{m} \prod_{j=1}^{m} (v_{j}z + b_{j})^{N_{j}} \frac{dz}{z^{N_{w}+1}},$$
 (31)

где

$$C = \frac{N_*! N_{\bullet}^{-N_{\bullet}} e^{-B}}{N_!! : : : N_m!} \simeq \frac{\sqrt{2\pi N_*} e^{-(N_{\bullet} + \lambda)}}{N_!! : : : N_m!}$$
(32)

Для оценки интеграла в (31) при  $N = \Sigma N_J \gtrsim 10$  методом перевала следует деформировать контур интегрирования так, чтобы он проходил через точку  $x = \Lambda$ , y = 0, в которой подынтегральная функция, рассматриваемая на действительной оси, достигает минимального значения. Отсюда следует, что  $\Lambda$  является корнем уравнения

$$\sum_{j=1}^{m} \frac{N_{j} v_{j}}{\Lambda v_{j} + b_{j}} = \frac{N_{*}}{\Lambda}$$
 (33)

Ограничиваясь при интегрировании областью вблизи перевала, получаем из (31):

$$P = \frac{C}{\sqrt{2\pi N g(\Lambda)}} \Lambda^{-(N_{\bullet} + 1)} \prod_{j=1}^{m} (\Lambda v_j + b_j)^{N_j}, \qquad (34)$$

где

$$g(\Lambda) = \frac{1 - \mu}{\Lambda^2} - \sum_{j=1}^{m} \frac{f_j \, v_j^2}{(\Lambda \, v_j + b_j)^2} \,, \tag{35}$$

параметр  $\mu = 1 - (N_* + 1)/N \simeq 1 - \frac{N_*}{N}$  и в соответствии с (8) введены  $\{f_j\}$ .

Выражение (34) в принципе пригодно для нахождения совместных оценок  $\hat{N}_*$  и  $\{s_k\}$ . Целесообразно, однако, разделить задачу и найти сначала  $\hat{N}_*$  по заданным значениям полного количества событий и среднего шума, а затем подставить оценку  $\hat{N}_*$  в (34) и использовать втот функционал для вычисления  $\{s_k\}$ .

Найти  $N_*$  указанным образом не составляет труда. Ввиду инвариантности распределения Пуассона суммарное количество событий шума  $\xi = \Sigma$  , подчиняется закону Пуассона со средним  $B = \Sigma$   $b_I$ , а полное количество событий  $N = N_* + \xi$  имеет при фиксированном  $N_*$  распределение

$$\Pr(N = N | N_*) = e^{-B} \frac{B^{N-N_*}}{(N-N_*)!}, \quad N \geqslant N_*.$$
 (36)

Эта вероятность как функция  $N_*$  достигает максимума при  $N_* \simeq N - B$ . Дальнейшие преобразования (34) заключаются в следующем. Заменим  $N_*$  на  $N_* = (1 - \mu) N$  и будем считать параметр  $\mu \equiv B/N$  заданным. Поскольку  $g(\Lambda)$  порядка 1, в первом приближении можно не принимать во внимание вариации этой функции и включить ее в постоянный множитель. Наконец, с помощью (6), (8), (16) и (26) преобразуем уравнение (33) для случая  $B \neq 0$  к виду (19), а выражение (34)— к виду (18). Этим и завершается вывод основных соотношений.

6. Схема SNHR может быть рассмотрена совершенно так же, как и основная схема SHNR (рис. 1). Мы ограничимся здесь формулами для рандомизированной последовательности независимых испытаний.

Допустим, что пуассоновский шум  $\{\xi_k\}$  со средним значением  $\langle \xi_k \rangle = b_k$  и полной яркостью  $B = \sum_1^n b_k$  вносится до формирования изображения. Вводя вновь оценку полной яркости оригинала по формулам (15) и (16), полагаем, что для произвольно взятого события вероятность оказаться в бине k исходного распределения равна

ваемом подходе априорная информация лишь конкретизирует выражение (12) для  $p_{\parallel}$ , но все соотношения сохраняют вид.

5. Вывод основных соотношений. Обозначим через с содержимое j-го бина, включающее как перераспределенные события оригинала η j, так и добавку шума с:

$$\zeta_j = \eta_j + \xi_j, \quad j = 1, \cdots, m. \tag{21}$$

Для применения ММП нужно найти вероятность получения заданного набора  $[N_c]$ , т. е.  $P \equiv \Pr\left(\zeta_1 = N_1, \cdots, \zeta_m = N_m\right)$ .

Как и ранее, совокупность случайных величин {η<sub>i</sub>} подчиняется полиномиальному закону:

$$\Pr\left(\gamma_{ij} = n_1, \cdots, \gamma_{i_m} = n_m\right) = \frac{N_{*}!}{n_1! \dots n_n!} p_1^{n_1} \dots p_m^{n_m}, \tag{22}$$

где Р ј определяются (12) и

$$\sum_{j=1}^{m} n_j = N_{\bullet}. \tag{23}$$

По предположению, совокупность отсчетов шума подчиняется многомерному распределению Пуассона:

$$\Pr\left(\xi_{1}=r_{1},\cdots,\,\xi_{m}=r_{m}\right)=\prod_{j=1}^{m}e^{-b_{j}}\frac{\left(b_{j}\right)^{r_{j}}}{r_{j}!}\cdot\,r_{j}\geqslant0.\tag{24}$$

Поскольку источник и аддитивный шум считаются независимыми,

$$P = N_*! e^{-t} \sum_{0 < n_j < N_j} \prod_{j=1}^m \frac{p_{j,j}^{n_j}}{n_j!} \cdot \frac{b_j^{N_j - n_j}}{(N_i - n_j)!}, \qquad (25)$$

где знаком \* отмечено, что суммирование проводится при ограничении (23).

Дальнейшие наши шаги связаны с намерением использовать при оценке суммы в (25) известный метод Дарвина—Фаулера (см., например, книгу Шрединтера [13]).

Умножим и разделим правую часть (25) на  $N_{\bullet}^{N_{\bullet}}$ , учтем (23) и обозначим

$$v_j = N_{\bullet} \cdot p_j, \quad \sum_{j=1}^m v_j = N_{\bullet}. \tag{26}$$

Тогда

$$P = N_*! \ N_*^{-N_*} e^{-B} \sum_{0 < n_j < N_j} \prod_{j=1}^m \frac{v_j^{n_j}}{n_j!} \cdot \frac{b_j^{N_j - n_j}}{(N_j - n_j)!}$$
 (27)

 $(1-\mu) s_k + \mu \beta_k$ , где  $\beta_k = b_k / B$ . Вероятность того, что это событие будет затем перераспределено в j-ый бин изображения, равна

$$\widetilde{w}_{j} = \sum_{k=1}^{n} h_{jk} [(1 - \mu) s_{k} + \mu \beta_{k}] = (1 - \mu) p_{j} + \mu \widetilde{\beta}_{j}, \qquad (37)$$

где

$$\tilde{\beta}_{j} = \sum_{k=1}^{n} h_{j,k} \, \beta_{k} \tag{38}$$

— прошедший через систему формирования изображения шум. Наконец, вероятность  $\tilde{P}(N_1,\dots,N_m)$  получить на выходе заданный набор отсчетов определяется полиномиальным законом с вероятностями  $\{w_j\}$ , так что

$$\frac{1}{N}\ln\widetilde{P} = \operatorname{const} + \sum_{j=1}^{m} f_{j} \ln\left[\left(1 - \mu\right) p_{j} + \mu \widetilde{\beta}_{j}\right]. \tag{39}$$

Формально функционалы (17) и (39) не отличаются, и максимизация их при условиях (2) проводится единообразно. Однако важно подчеркнуть вслед за Рашфортом и Харрисом [9], что восстановление в схеме SNHR дает более близкий к оригиналу результат. Причина этого понятна: предварительное стлаживание шума системой формирования изображения эквивалентно сужению занимаемой им полосы частот и как следствие — уменьшению его выходной мощности.

7. Заключительные вамечания. Приведенная в разделе 2 постановка задачи восстановления изображения включает три предположения: 1) линейность системы формирования изображения, 2) пуассоновский вид функции распределения шума и 3) независимость значений шума в разных бинах. Легко видеть, что только первое и третье из втих допущений существенны. Действительно, хотя строгий вывод функционала (18) опирался на явный вид закона распределения шума, при не слишком слабых источнике и шуме применима рандомизированная последовательность независимых испытаний, сразу приводящая к функционалам (17) и (39), которые содержат средние значения шума.

Автор признателен В. В. Бирюкову за полевное обсуждение работы и проведение численных расчетов.

Государотвенный астрономический институт им. П. К. Штериберга

# MAXIMUM LIKELIHOOD IMAGE RESTORATION I. MAIN EQUATIONS

V. YU. TEREBIZH

The consecutive consideration of image formation process is given, including linear smoothing and adding of white Poissonian noise. The stochastic nature of smoothing is taken into account, so the approach is suitable for the restoration of faint objects. A priori information naturally includes the positivity of the solution. With the aid of Darwin-Fowler method the explicit expression (18) is found for the probability of observed image, and the most probable estimate of the object can be calculated by maximizing this probability. The problem of optimal white noise filtering constitutes the particular case.

#### **ЛИТЕРАТУРА**

- B. R. Frieden, Image Enchancement and Restoration; in Picture Processing and Digital Filtering, ed. T. S. Huang, Springer, 1979, p. 179.
- 2. Г. И. Василенко, А. М. Тараторин, Восстановление изображений, Радво и связь, М., 1986.
- 3. Л. М. Сороко, Физ. влем. частиц и атомного ядра, 12, 754, 1981.
- 4. А. Н. Тихонов, В. Я. Арсенин, Методы решения некорректных задач, Наука, М., 1986.
- А. В. Гончарский, А. М. Черепация, А. Г. Ягола, Некорректные задачи астрофитация. Наука, М., 1985.
- 6. W. K. Pratt. Digital Image Processing, Wiley, 1978.
- 7. В. Ю. Теребиж, Анализ временных рядов в астрофизике, Наука, М., 1990.
- 8. B. R. Frieden. Proc. IEEE. 73, 1764, 1985; ТИИЭР,73, 78, 1985.
- 9. C. K. Rushforth. R. W. Harris, J. Opt. Soc. Amer., 58, 539, 1958.
- 10. Б. В. Гнеденко, Курс теории вероятностей, Наука, М., 1988, гл. 2.
- 11. Е. Л. Косарев, В. Д. Песков, Е. Р. Подоляк, Ж. техн. физ., 53, 111, 1983...
- 12. М. З. Тараско, Препр. ФЭИ-156, Обиньск, 1969.
- 13. E. Schrodinger, Statistical Thermodynamics, Cambridge, 1946.

## АСТРОФИЗИКА

**TOM 32** 

АПРЕЛЬ, 1990

выпуск 2

УДК: 533.9:621.039.61

# КОМПАКТНЫЕ РАДИОИСТОЧНИКИ КАК ПЛАЗМЕННЫЙ ТУРБУЛЕНТНЫЙ РЕАКТОР. III. АККРЕЦИОННАЯ МОДЕЛЬ

А. М. АТОЯН, А. Г. НААПЕТЯН

Поступила 11 декабря 1989 Принята к печати 30 февраля 1990

Рассмотрена пространственно неоднородная модель плазменного турбулентного реметора, возникающая при сферической аккреции вещества на предполагаемую оверхмассивную черную дыру в ядре активной галактики (ЯАГ). Показано, что при ужих распределениях ускоряемых на плазменной турбулентности релятивностих влектронов (максвелловского типа) выходящие из ЯАГ спектры излучения являются плоскими либо инвертированными в радно-субмиллиметровом диапазоне, а возникающие при обратном комптоновском расселнии спектры ревттеновского мягкого гамма-излучения описываются показателем степени  $\alpha_{\rm x} \sim 0.6 \div 0.7$ , что хорошо согласуется с наблюдательными данными.

1. Введение. В первых двух частях работы [1, 2] (далее I и II) была предложена модель однородного плазменного турбулентного (ПТР) с самосогласованным спектром надтепловых электронов релятивистского максвелловского типа  $f(\gamma) \propto \gamma^2 \cdot \exp(-(\gamma/\gamma_0)^3)$  для компактных внегалажтических радиоисточников, каковыми являются ядра активных галактик (ЯАГ, включая квазары). Там же отмечалось, что в более реалистических неоднородных моделях, вероятно, могут быть получены дифференциальные спектры, более близкие к наблюдаемым в широких интервалах частот. В настоящей работе рассматривается модель стационарного сферически-симметричного аккредионного плазменного турбулентного реактора (АПТР), которая позволяет конкретизировать источник внергии мощного излучения ЯАГ (≤ 10<sup>45</sup> врт с<sup>-1</sup> для сейфертовских галактик и  $\lesssim 10^{47}$  врг с<sup>-1</sup> для квазаров и лацертидов [3—6]). Именно, считается, что гравитационная потенциальная энергия аккрецирующего вещества с определенной эффективностью превращается в энергию турбулентных электромагнитных полей и далее переивлучается в процессе синхротронного и обратного комптоновского рассеяний (ОКР) реаятивистских

электронов, ускоряемых на турбулентности. В модели считается, что аккреция происходит на сверхмассивную черную дыру (ЧД) с массой  $\sim (10^7 + 10^8)~M_{\odot}$ .

2. Параметры тепловой плавмы и ускоренных электронов в аккреционном потоке. Последовательное рассмотрение параметров турбулентной аккреционной плавмы, состоящей из тепловых и надтепловых (релятивистских) влектронов и протонов, турбулентности, магнитного поля и излучения, представляет достаточно сложную самостоятельную задачу, выходящую за рамки данной работы. Здесь же мы получим качественные характеристики параметров аккреционной плазмы в рамках ряда обычно используемых и представляющихся физически приемлемыми модельных предположений.

Рассматривая сферически-симметричную стационарную аккрецию с темпом аккреции M в предположении, что скорость аккреции V(r) составляет некоторую часть  $\delta_V$  ( $\sim 0.5$ ) от скорости свободного падения  $V_{ff}(r)=c\cdot r^{-1/2}$ , из уравнения непрерывности получаем для плотности тепловых электролов и протонов выражение

$$n(r) = 2.5 \cdot 10^{10} \, \delta_V^{-1} \, m \, M_8^{-1} \, r^{-3/2}, \tag{1}$$

где  $m=M\,c^2/L_{Ed}$  — темп аккреции в единицах эддингтоновской светимости  $L_{Ed}=1.3\cdot 10^{16}\,M_{8};\; r=R/R_{a}$  — радиус в единицах гравитационного радиуса  $R_{a}=3\cdot 10^{13}\,M_{8};\; M_{8}=M/10^{8}\,M_{\odot}$  — безразмерная масса черной дыры. Здесь и далее все размерные физические величины приведены в единицах системы СГС.

На больших расстояниях от центра для температуры тепловых электронов и протонов можно использовать оценку  $T_e(r) = T_p(r) \approx 0.1 \; m_p c^2/r$  (см., например, [7]), однако при приближении к центру на некотором  $r_*$  происходит разрыв между  $T_e(r)$  и  $T_p(r)$ , что объясняется тем, что ниже некоторого  $r_p$  время электрон - протонных столкновений  $t_{pe}(r)$  (см., например, [8]) становится больше характерного времени аккреции с данного радиуса  $t_a(r) = r \cdot R_g/V(r)$ . Из уравнения  $t_{pe}(r_{pe}) = t_a(r_{pe})$  находим

$$r_{ns} = 6.9 \cdot 10^3 \, \delta_V^{4/3} \, \dot{m}^{-2/3}. \tag{2}$$

Однако следует заметить, что несколько ранее  $r_{pr}$ , при некотором  $r_e$ , нагрев тепловых влектронов в p-e столкновениях может компенсироваться их охлаждением в процессе комптоновского рассеяния тепловых электронов в поле низкочастотных фотонов с  $\hbar\omega \lesssim k_B T_e$ . Поэтому можно предположить, что, начиная с некоторого  $r_* \gtrsim 10^3$ , рост

температуры влектронного компонента аккреционной плазмы прекращается и  $T_{\bullet}(r)$  в области  $r \leqslant r_{\bullet}$  остается на некотором постоянном уровне  $T_{\bullet} \leqslant 10^9 \text{K}$ . Это модельное предположение согласуется с результатами последовательного рассмотрения аккреции двухтемпературной плазмы, проведенного Колпи и др. [9]. Таким образом, можно предположить зависимость

$$k_B T_*(r) = \begin{cases} 0.1 \ m_p \ c^2/r; \ r \geqslant r_*, \\ 0.1 \ m_p \ c^2/r_*; \ r \leqslant r_*. \end{cases}$$
 (3)

Отметим, что из (3) следует, что  $T_*$  (температура в области  $r\leqslant r_*$ ) связана с  $r_*$  посредством  $T_*9=r_{.3}^{-1}$ .

Аналогично работам I и II, характерную величину магнитного поля будем определять из модельного предположения, что локальная плотность внергии магнитного поля  $B^2/8\pi$  близка к состоянию равнораспределения с плотностью энергии тепловых электронов  $B^2/8\pi = \delta_R n \ k_B T_e$ , где  $\delta_R \lesssim 1$ . Отсюда с учетом (1) и (3) получаем

$$B(r) = 1.7 \, \delta_V^{-1/2} \, \delta_B^{1/2} \, m^{1/2} \, M_8^{-1/2} \, r_*^{-5/4} \begin{cases} (r_*/r)^{5/4}; \ r > r_*, \\ (r_*/r)^{3/4}; \ r \leq r_*. \end{cases} \tag{4}$$

Спектры стохастического ускорения релятивистских электронов в модели являются локальными, т. к. минимально возможное время ухода с данного радиуса  $t_c = r \cdot R_g/c$  превосходит время радиационного охлаждения  $t_c = m_e \ c^2 \ \gamma/P_e$ , где  $P_c = \frac{4}{3} \ \sigma_T \ \gamma^2 \ c \ W_t$ — скорость комптоновских потерь внергии влектрона на фотонах с  $\hbar \omega \ll m_e c^2 \ \gamma^{-1}$  ( $\gamma$  — Лоренцфактор релятивистских электронов). Действительно, выразив  $W_t$  через соответствующую светимость посредством  $W_t \approx L \ /4\pi c r^2 \ R_g^2$ , получаем

$$\frac{t_e}{t_e} = 8 \cdot 10^4 (L_{Ed}/L) \cdot \gamma^{-1} r.$$
 (5)

Отсюда следует, что во всяком случае для электронов с  $\gamma \gtrsim 3'$ ) и для области  $r \lesssim 10^4$  спектры локальны. Это означает, что мы можем использовать результаты работы I для определения спектра ускоренных электронов  $f(\gamma, r)$ . Несколько обобщая задачу предположим, что коэффициент диффузии  $D(\gamma, r) = D_0(r) \cdot \gamma^g$ . В случае показателя степени  $g \leqslant 2$  локальные спектры релятивистских электронов, согласно выражению (I.18), будут максвелловского типа:  $f(\gamma, r) \propto n_{rel}(r)$ .

 $\frac{7^{2}}{7_{0}^{3}}$  exp  $(-(7/7_{0})^{3-g})$ . Заметим, что в частном случае ускорения на

резонансной ленгмюровской турбулентности g=0. Тогда, используя соотношения (I.12) и (I.25), находим

$$\gamma_0(r) = 10^2 x_{-5}^{1/3} T_{09}^{0.15} (M_8/l_{-1})^{1/6} r^{0.31}, \qquad (6)$$

где  $x_{-5} = x/10^{-5}$ ,  $x = W_L^{(res)}/n k_B T_e$ ,  $l_{-1} = l/10^{-1}$  и  $l = L/L_{Ed}$ .

Из (6) следует, что при возрастании r до  $r_*$  величина  $\gamma_0(r)$  может возрастать более, чем на один порядок. Как показано в [10], аналогичное поведение должно иметь место и в более общем случае при произвольном  $g (\leq 2)$ , когда

$$\gamma_0(r) = \gamma_* \begin{vmatrix} (r/r_*)^{\lambda}; & r \leqslant r_*, \\ (r/r_*)^{\lambda'}; & r > r_*, \end{vmatrix}$$
 (7)

где показатель степени  $\lambda$  меняется в узкой области  $0.3 \leqslant \lambda \leqslant 0.6$  при изменении g в пределах  $0 \leqslant g \leqslant 2$ , величина же показателя  $\lambda'$  близка к нулю. Для характерной величины  $\gamma_*$  будем использовать оценку  $\gamma_* \sim 10^3$ , что находится в согласии как с (6), так и с результатами исследований [11, 12] в случае однородных моделей.

Заметим, что убывание локального лоренц-фактора  $\gamma_0$  (r) с уменьшением r связано с быстрым возрастанием плотности электромагнитного излучения и связанного с этим резким ростом скорости энергетических потерь релятивистских электронов по мере приближения к центру.

Плотность релятивистских влектронов  $n_{rel}(r) = \int_{0}^{\infty} f(\gamma, r) d\gamma$  бу-

дем определять из соотношения  $n_{rel}(r) \cdot m_e c^2 \gamma_0(r) = \delta_{rel} \cdot n(r) K_B T_e(r)$ .

Отметим, что условие  $\delta_{rel} \sim 1$  соответствует примерному равнораспределению плотностей энергий релятивистских и тепловых электронов.

3. Синхро-комптоновское РСМ-ивлучение релятивистских электронов. Коэффициенты излучения  $\int_{s_{-c}} (\omega, r)$  и поглощения  $\int_{s_{-c}} (\omega, r)$ , вычисленые для спектра  $f(\gamma, r) \propto n_{rel} \cdot \frac{1}{\gamma_0^3} \cdot \exp\left(-\left(\gamma/\gamma_0\right)^{3-\delta}\right)$ , отличаются от приведенных в работе II заменой  $F_1(a) \to F_1(a, g)$ ,  $F_2(a) \to F_2(a, g)$ ,  $G(b) \to G^*(b, g)$ . Функции  $F_1$ ,  $F_2$  и  $G^*$  так же, как и функции  $F_1$ ,  $F_2$  и G при  $(a, b) \ll 1$  выходят на константы  $(\sim 0.5)$  и экспоненциально обрываются при  $(a, b) \gg 1$ . Это означает, что в области r эффективно генерируются фотоны с частотами  $\omega$ , удовлетворяющие условию  $a(\omega, r) \lesssim 1$  и  $b(\omega, r) \lesssim 1$  (напомним, что  $a \equiv a(\omega, r) = \omega/\omega_n \gamma_0^2$  и  $b \equiv b(\omega, r) = \omega/2\omega_p \gamma_0^2[2]$ ), соответственно, для синхротронного и турбулентного комптоновского излучений.

Поскольку турбулентность в модели изотропна, а магнитное поле предполагается хаотично направленным, ковффициент излучения также не булет зависеть от направления. Тогда из уравнения переноса (см., например, [13]) легко найти для интенсивности излучения от единицы поверхности  $r_{\perp} dr_{\perp} d\phi (r_{\perp}$  — прицельный параметр) в единицу телесного угла в направлении на наблюдателя

$$I(\omega, r_{\perp}) = \frac{R_{\pi}}{4\pi} \int_{-\infty}^{\infty} f(\omega, r(x)) \cdot e^{-\tau(\omega, r(x))} dx, \qquad (8)$$

где  $r_{\perp}$  и x образуют декартовую прямоугольную систему координат с началом на  $\mathsf{H} \Delta$  и осью x на наблюдателя,  $r(x) = \sqrt{x^2 + r_{\perp}^2}$  — радиус точки с координатами  $r_{\perp}$  и x, а  $\tau(\omega, r(x))$  — оптическая толщина по линии  $r_{\perp}$  = const от точки x до наблюдателя. Учитывая сильную зависимость  $\tau$  и  $\int (\omega, r)$  от r, для качественных аналитических оценок далее будем считать, что источник является полностью непрозрачным в области,  $r_{\perp}$  с  $r_{\perp}$  1, и полностью прозрачным при  $r_{\perp}$  1. Уравнение  $r_{\perp}$  1 описывает поверхность, которая хорошо аппроксимируется цилиндрической поверхностью при  $r_{\perp}$  0, переходящей при  $r_{\perp}$  0 в полусферу, радиус  $r_{\perp}$  которой можно оценить из условия  $r_{\perp}$  ( $\omega$ ,  $r_{\perp}$ ) = 1.

Характерная оптическая толщина по синхротронной реабсорбции равна (здесь и далее принимается  $\delta_V = 0.5$ )

$$\tau_{s}(\omega, r) = 1.7 \cdot 10^{-5} \, \delta_{rsl} \cdot \delta_{B}^{-1/2} \, \gamma_{*3}^{-6} \, m^{1/2} \, M_{8}^{1/2} \, r_{*3}^{-1/4} \left(\frac{\omega}{\omega_{s}}\right)^{-5/3} \times \\ \times \begin{cases} (r_{*}/r) & ; & r \leqslant r_{*} \\ (r_{*}/r) & ; & r \geqslant r_{*}, \end{cases}$$

$$(9)$$

где  $w_s = 4.3 \cdot 10^{13} \ b_B^{1.2} \ m^{12} M_8^{-1/2} \gamma_{*3}^2 \ r_{*3}^{-5/4}$  — характерная максимальная частота синхротронного излучения, излучаемого на радиусе  $r_*$ .

Обращая уравнение  $\tau(\omega, r_{\omega}) = 1$  относительно  $r_{\omega}$ , получаем

$$r_{\omega} = r_{*} \begin{cases} (\omega_{*}/\omega)^{5/(8\lambda+3)}; & \omega \gg \omega_{*}, \\ (\omega_{*}/\omega)^{5/(8\lambda'+7)}; & \omega \leqslant \omega_{*}, \end{cases}$$
(10)

где  $\omega_* = 5.7 \cdot 10^{10} (F_1(0, g))^{3/5} \delta_{rel}^{3/5} \delta_B^{1/5} m^{4/5} M_8^{-1/5} \gamma_{-3}^1$  — решение уравнения  $\tau(\omega_*, r_*) = 1$ .

Чтобы оценить синхротронную и плазменную комптоновскую светимости, заметим, что функции  $x^{1/3} F_2^*(a, g)$  и  $xG^*(x, g)$  пропор-

циональны, соответственно,  $x^{1/3}$  и x при x < 0.1, почти постоянны в области  $0.1 \le x \le 1$  и экспоненциально заваливаются при  $x \gg 1$ . Поэтому будем аппроксимировать обе функции прямоугольным профилем

с высотами 
$$c_s = \int_0^\infty a^{1/3} \, F_2^*(a, g) \, da$$
 и  $c_c = \int_0^\infty b G^*(b, g) \, db$ , соответ-

ственно, на отрезке  $x \in [0, 1]$ , ибо основная часть излучения в обоих механизмах соответствует области  $x \le 1$ . При изменении показателя g в пределах  $0 \le g \le 2$  имеем  $0.80 \le c_s \le 10.7$  и  $0.15 \le c_s \le 2$ .

Тогда из (8) и (II 12) для интенсивности синхротронного излучения в области частот  $\omega < \omega$  легко получаем

$$I_{s}(\omega, r_{\perp}) = 2 \cdot 10^{-4} c_{s} \delta_{rel} \delta_{B}^{1/2} m^{3/2} M_{8}^{-1/2} \gamma_{\omega_{3}}^{-1} r_{\omega_{3}}^{-11/4} \times \begin{cases} (r_{*}/r_{\omega})^{\lambda + 5/4}; & r_{\perp} < r_{\omega}, \\ (r_{*}/r_{\perp})^{\lambda + 5/4}; & r_{*} > r_{\perp} > r_{\omega}. \end{cases}$$
(11)

В области же  $r > r_*$  интенсивность излучения быстро спадает с ростом  $r_*$  (  $\int_{s}^{10} \propto r_*$  , т. е. спадает быстрее  $r_*^{-3}$ ).

Отметим, что на частотах  $\omega < \omega_*$  интенсивность сильно подавлена из-за эффекта Разина— Цытовича [1, 2], что хорошо видно и на рис. 1, так что в рассматриваемой модели вклад и излучение от области пространства  $r > r_*$  качественно не меняет спектральную светимость источника для  $\omega \ge \omega_*$ .

Из сравнения (11) с релей—джинс вским спектром можно оценить распределение яркостной температуры  $T_{br}$  по источнику как функцию от частоты ( $\omega \lesssim \omega_s$ ) и  $r_{\perp}$ :

$$T_{bp} = 8 \cdot 10^{12} \cdot \frac{I(\omega, r_{\perp})}{\omega_{13}^2} , \qquad (12)$$

где  $\omega_{15} = \omega/10^{13}$ .

 $\lambda$ егко заметить, что на данной частоте образуется центральный диск постоянной яркости с радиусом  $r_\omega$ , вне которого температура  $T_{br}$  падает  $\alpha r_{\perp}^{-(\lambda+5/4)}$ . В области частот  $0.1~\omega$ ,  $\lesssim \omega \lesssim \omega$  внутри центрального диска яркостная температура зависит от частоты как  $T_{br} \propto \omega \omega^{-3}$ , где  $\alpha_{br} = (11\lambda - 1/4)/(8\lambda + 3)$  (при  $0.3 \ll \lambda \ll 0.6$  имеем  $0.6 \leqslant \alpha_{br} \ll 0.6$ 

< 0.8), а вне его  $T_{br} \propto \omega^{-2}$ . При  $\omega < 0.1 \omega$  же  $T_{bp} \propto \omega^{\frac{1}{3}}$ , вплоть до  $\omega \sim \omega$ , а при  $\omega < \omega$  температура  $T_{br}$  резко падает из-за эффекта

Разина—Цытовича. При этом для  $\sim \infty$  и для значений параметров  $m \sim 1$ ,  $M_8 \sim 1$ ,  $7.3 \sim 1 + 10$  яркостная температура может достигать значений  $T_{br} \lesssim 10^{12} \, {\rm K}$ , что хорошо согласуется с наблюдательными даеными.

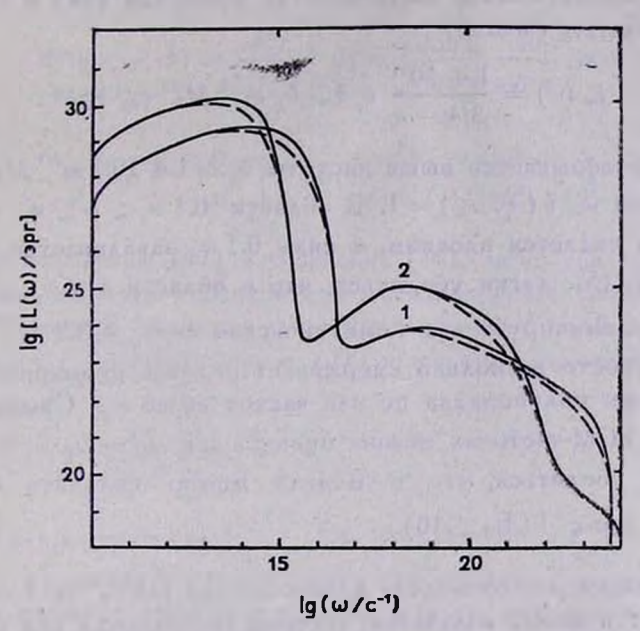


Рис. 1. Спектры излучения с учетом (сплощная линия) и без учета (пунктирная линия) комптоновского плазменного излучения для некоторых значевий параметров модели АПТР: 1.  $\gamma_*$ = 6300, m=1,  $\lambda$  = 0.6,  $M_8$  = 1,  $\delta_{rel}$  = 0.1; 2.  $\gamma_*$ = 1600, m = 1,  $\lambda$  = 0.4,  $M_8$  = 1,  $\delta_{rel}$  = 0.1.

На основании (11) для спектральной светимости  $L_s\left(\omega\right)=4\pi\ R_s^2 imes \ imes \ ilde{J}_s\left(\omega,\ r_\perp\right)\,2\pi\ r_\perp\ dr_\perp$  получаем

$$L_s(\omega) = \frac{1.4 \cdot 10^{31}}{3/4 - \lambda} c_s \delta_{rel} \delta_B^{1/2} m^{3/2} M_8^{3/2} \gamma_{*3}^{-1} r_{*3}^{-3/4}.$$
 (13)

Итак, в области частот  $0.1\omega_{_{\mu}} \lesssim \omega \lesssim \omega_{_{\mu}}$  синхротронный спектр является плоским, в области  $\omega < 0.1~\omega_{_{\mu}}$ —инвертированным ( $\propto \omega^{1/3}$ ), а выше  $\omega_{_{\mu}}$  заваливается экспоненциально.

Заметим, что светимость (13) можно получить также и используя соотношение

$$L(\omega) = 4\pi R_z^3 \int_{r_0}^{+\infty} f(\omega, r) r^2 dr.$$
 (14)

Вычисление комптоновской оветимости на основании (14) и (II.13) приводит к результату ( $\omega \leqslant \omega_c$ )

$$L_{e}(\omega) = \frac{1.4 \cdot 10^{31}}{3/4 - \lambda} c_{e} \delta_{rel} \delta_{L} m^{3/2} M_{8}^{3/2} \gamma_{e3}^{-1} r_{e3}^{-5/4}. \tag{15}$$

Этот спектр обрывается выше частоты  $\omega_c = 1.4 \cdot 10^{14} \ m^{1/2} \ M_8^{-1/2} \ r_{*3}^{-2} \ r_{*3}^{-3/4}$ , определяемой из  $b\left(\omega_c, r_*\right) = 1$ . В области  $0.1 \ \omega_c \ll \omega_c \ll \omega_c$  комптоновский спектр является плоским, а ниже  $0.1 \ \omega_c$  заваливается  $\propto \omega^1$ . Сравнивая (13) и (15), легко убедиться, что в области  $\omega \lesssim \omega_s$  синхротронный спектр доминирует над комптоновским  $(\omega_c/\omega_c = 3.3 \ \delta_B^{-1/2} \ r_{*3}^{-1/2} \sim 3)$ , последний просто несколько сдерживает падение суммарного спектра на протяжении полупорядка по оси частот выше  $\omega_s$ . Суммарную светимость на РСМ-частотах можно оценить как  $L_2 \sim L_s \cdot \omega_s + L_c \omega_c$ . При этом легко убедиться, что в модели можно получить светимости  $L_E \lesssim 10^{44-46}$  врг с $^{-1}$  ( $M_8 \lesssim 10$ ).

4. Генерация рентгеновского излучения при ОКР. Для вычисления спектра рентгеновского излучения, который генерируется при ОКР низкочастотных фотонов на релятивистских электронах, необходимо прежде вычислить спектральную плотность РСМ-излучения  $W(\omega, r)$ . Спектральная плотность внергии  $W(\omega, r)$  связана с плотностью внергии фотонов  $W^*(\omega, r, \theta)$ , имеющих заданное направление движения, посредством

$$W(\omega, r) = 2\pi \int\limits_0^\pi W^*(\omega, r, \theta) \sin\theta \, d\theta$$
 (угол  $\theta$  отсчитывается от радиаль-

ного направления). Уравнение для  $W^*$  (см., например, [14]) в сферических координатах  $(r, \theta)$  можно представить в форме

$$\cos\theta \frac{\partial W^*}{\partial r} - \frac{\sin\theta}{r} \frac{\partial W^*}{\partial \theta} = \frac{1}{4\pi c} J(\omega, r) - \frac{1}{c} \Gamma(\omega, r) W^*. \tag{16}$$

Найдем решение уравнения (16), исходя из физических соображений. Учитывая, что ковффициент излучения  $J(\omega, r')$  в точке r' приводит в точке r' к плотности излучения  $\delta W^* = J(\omega, r') e^{-\Delta \tau}/4\pi c l^2$ , где l = |r-r'| и  $\Delta \tau$  — оптическая толщина по синхротронной реабсорбции между точками r' и r, проведем интегрирование вдоль единичного телесного угла  $d^{\Omega}$  с аксиальным углом  $\theta$  в данной точке  $r:d^3r'==l^3dl\ d^{\Omega}$ . В результате этого получим

$$W^{*}(\omega, r, \theta) = \frac{R_{g}}{4\pi c} \int_{0}^{\pi} J\left(\omega, \frac{r \sin \theta}{\sin \varphi}\right) \frac{r \sin \theta}{\sin^{2} \varphi} d\varphi \times \exp\left(-\frac{R_{g}}{c} \int_{0}^{\pi} \Gamma\left(\omega, \frac{r \sin \theta}{\sin \psi}\right) \frac{r \sin \theta}{\sin^{2} \psi}\right). \tag{17}$$

Подставляя выражение (17) в уравнение (16), легко убедиться, что онодействительно является решением этого неоднородного уравнения в частных производных. В принятом выше приближении ( $\tau \sim 0$  при  $r > r_{\omega}$  в  $\tau = \infty$  при  $r < r_{\omega}$ ) интегрирование (17) приводит к выражению

$$W(\omega, r) = \frac{R_g}{2cr} \int_{r_m}^{\infty} \ln \left( \frac{\sqrt{\rho^2 - r_{\omega}^2} + \sqrt{r^2 - r_{\omega}^2}}{\rho - r} \right) f(\omega, \rho) \rho d\rho \qquad (18)$$

для области пространства  $r > r_{\omega}$ . В области же  $r < r_{\omega}$  (область непрозрачности) имеем  $W(\omega, r) = \int (\omega, r)/\Gamma(\omega, r)$ .

В аналитических оценках в подинтегральном выражении в (18) можно пренебречь  $r_{\infty}$ . Разложив далее логарифм по  $\rho/r$  при  $\rho < r$  и по  $r/\rho$  при  $\rho > r$ , можно получить оценку плотностей синхротронного и комптоновского плазменного излучений в области прозрачности. При этом, как и в случае вычисления РСМ-светимостей по обоим механизмам, легко убедиться, что даже при значениях внергии турбулентности, сравнимых с энергией магнитного поля, вклад комптоновского плазменного механизма в результирующее излучение может лишь сравниваться с вкладом синхротронного механизма. Поэтому далее вычисление суммарной плотности излучения  $W_{\Sigma}$  ( $\omega$ , r) будем проводить, считая  $I_{\Sigma} \approx I_{\delta}$ . В результате получаем

$$W_{\Sigma}(\omega, r) = \frac{3.5 \cdot 10^{-14}}{3/4 - \lambda} c_s \delta_{rel} \delta_B^{1/2} m^{3/2} M_8^{-1/2} \gamma_{*3}^{-1} r_{*3}^{-11/4} \left(\frac{r_*}{r}\right)^{\frac{5}{4} + \lambda}$$
(19)

для области пространства  $r_{\infty} < r \leqslant r_{*}$ . В области же  $r > r_{\bullet}$  имеем  $W_{\Sigma} \propto r^{-2}$ , что соответствует тому, что излучение генерируется в основном в области  $r \leqslant r_{*}$ . При  $r \leqslant r_{*}$  синхротронная и комптоновская плотности излучения простираются до частот  $w_{\bullet}(r_{\bullet}/r)^{3/4-2\lambda}$  и  $w_{e}(r_{\bullet}/r)^{3/4-2\lambda}$ .

соответственно, определяемых из  $a(\omega, r) = 1$  и  $b(\omega, r) = 1$  (при  $r > r_*$  вти спектры экспоненциально заналиваются фактически выше частот  $\omega_s$  и  $\omega_s$ ), и так как  $\omega_c/\omega_s \sim 3$ , то за характерную частоту обрыва спектра (19) будем брать  $\omega_s = 2 \omega_s (r_*/r)^{3.4-21}$ .

Заметим, что полученный плоский спектр (19) остается таковым на 1.5 порядка ниже  $\omega_x$ , а при еще меньших частотах  $W_x \propto \omega^{1/3}$ .

В силу тото, что в основной области форма спектральной плотности излучения является плоской, при оценках рентгеновского спектра ОКР можно пользоваться дельта-функциональным приближением Гинзбурга и Сыроватского [14]

$$d\sigma/d\omega = \sigma_T \delta\left(\omega - \frac{4}{3} \bar{\gamma}^2 \omega_0\right), \tag{20}$$

где  $\frac{1}{1} = \frac{1}{10} \Gamma\left(\frac{4}{3-g}\right) / \Gamma\left(\frac{3}{3-g}\right)$ — средний лоренц-фактор релятивистских электронов, которые далее будут считаться моноэнергетичными  $(0.9 \, \gamma_0 \leqslant \gamma \leqslant 3\gamma_0 \, \text{при} \, 0 \leqslant g \leqslant 2)$ .

Коэффициент излучения рентгеновских фотонов при ОКР

$$f^{(x)}(\omega, r) = c n_{rel} \omega \int \frac{W(\omega_0, r)}{\omega_0} \frac{d\sigma}{d\omega} d\omega_0, \qquad (21)$$

вычисляется для спектра (19) с сечением (20). При этом  $\int_{-\infty}^{(x)} (\omega, r)$  обрывается выше частоты  $\omega_{\underline{x}}^{(x)} = \frac{4}{3} \bar{\gamma}^2 \omega_{\underline{x}}$ , и из-за  $\omega_{\underline{x}}^{(x)} \propto r^{4\lambda-3/4}$  для данной частоты  $\omega$  рентгеновского спектра существует радиус  $r_{\underline{x}}^{(x)}$ , ниже которого генерация фотонов с внергией  $\hbar\omega$  при ОКР экспоненциально подавлена. Интегрируя коэффициент излучения  $\int_{-\infty}^{(x)} (\omega, r)$  по (14) с нижним пределом  $r_{\underline{x}}^{(x)}$ , получаем для светимости ОКР-излучения следующее выражение ( $\omega \lesssim \omega_{\underline{x}}^{(x)}$ ):

$$L_{(\omega)}^{(x)} = \frac{1.4 \cdot 10^{20}}{(2\lambda - 1/4)(3/4 - \lambda)} c_s \delta_{rel}^2 \delta_B^{1/2} m^{5/2} M_8^{3/2} \gamma_{e3}^{-2} r_{e3}^{-9/4} \left(\frac{\omega_s^{(x)}}{\omega}\right)^{\alpha_x}, \quad (22)$$

где  $\omega_*^{(x)} \equiv \omega_*^{(x)}(r_*)$  и  $a_x = (2\lambda - 1/4)/(4\lambda - 3/4)$ .

Как видно из (22), в результате ОКР от синхро-комптоновского РСМ-спектра образуется степенной спектр рентгеновского (до мягкого гамма) излучения с показателем  $\alpha_x$ , меняющегося в узких пределах  $0.6 \leqslant \alpha_x \leqslant 0.8$  для значений  $\lambda$ , рассмотренных в модели. Выше  $\omega^{(x)}$  спектр (22) экспоненциально завяливается. Нижняя же граница этого спектра определяется из условия  $r_{\alpha}^{(x)} \gtrsim 3$  (область  $r \leqslant 3$ , требующая

учета поправок общей теории относительности, не дает существенного вклада в светимость), откуда следует, что этот спекто простирается на  $\Delta = 10$ . — 15 8 порядка по оси частот. С учетом  $0.3 \leqslant \lambda \leqslant 0.6$ (получаемым из  $\lambda = 1.25/(4-g)$  с 0 < g < 2 [10]) это дает  $1 \le \Delta \le 4$ . Верхняя граница  $\omega^{(x)}$  спектра (22) существенно зависит от параметра  $\gamma_*$  ( $\omega_*^{(x)} \propto \gamma_*^4$ ). Так, при значениях параметров  $m=M_8=\gamma_*=1$  и 0.3 << 1 . 0.6 имеем 100 квВ ≤ // м/к ≤ 1 МвВ, а при увеличении та на 0.5 порядка эта энергия перемещается в область 10МэВ < 100МэВ. Отметим, что суммарная рентгеновская светимость источника, оцениваемая по  $L_x^{(x)} \sim \omega^{(x)} L^{(x)}(\omega^{(x)})$ , сравнима с РСМ-светимостью источника, что позволяет оценить значение параметра вы А именно, так как полная светимость источника равна части энергии  $\dot{M}$   $c^2$ , которая перекачивается в турбулентность, а последняя обычно считается  $\lesssim 0.1\ \dot{M}\ c^2$ , и поскольку  $L_3^{(s)}$  порядка и больше РСМ-светимости источника, то простые вычисления приводят к оценке 0.1 5 1 ДЛЯ значений параметров, обсуждаемых в модели.

В численных расчетах использовалось точное сечение ОКР Кляйна— Нишины, а также возможное образование e<sup>+</sup>—e<sup>-</sup> пар на γ-квантах и ОКР рентгеновских фотонов (более подробно об втом см. в [10]). Результаты расчетов для некоторых значений параметров, представленные на рис. 1, в целом хорошо согласуются с полученными оценками и наблюдательными данными.

5. Заключение. Итак, в рассмотренной модели АПТР с локальными спектрами реаятивистских электронов максвелловского типа образуются плоские спектры РСМ-излучения с характерным обрывом в субмиллиметровой инфракрасной части спектра и с инвертированным спектром  $L(\omega) \simeq \omega^{1/3}$  дая частот  $\omega < 0.1 \omega_z$ . Учет плазменного комптоновского рассеяния и поглошения к качественным изменениям не приводит. На фиксированной РСМ-частоте « в плоскости неба образуется диск постоянной яркости с характерным размером г. Вне этого диска яркостная температура падает степенным образом. Внутри самого диска яркостная температура  $T_b$ , зависит от частоты по  $T_b$ ,  $\infty$   $\omega^{-a_b}$ с  $0.6 \leqslant$  $\leqslant a_{br} \leqslant 0.8$  при  $0.3 \leqslant \lambda \leqslant 0.6$ . При этом в центральной области могут получаться значения яркостной температуры вплоть до  $T_{br} \lesssim 10^{12} \, \mathrm{K}$ . С учетом того, что при ОКР наиболее существенна плоская часть РСМ-спектра, мы приняли ступенчатую аппроксимацию РСМ-спектра. Тем не менее, при ОКР от этого спектра получается степенной рентгеновский спектр  $L^{(x)}(\omega) \propto \omega^{-\alpha_x}$  с показателем  $\alpha_x$  в узком интервале  $0.6 \leqslant \alpha_{\rm c} \leqslant 0.8$ , что хорошо согласуется с наблюдательными данными

для ряда ЯАГ [16]. Последнее связано с ростом характерной энергии реаятивистских влектронов  $\gamma_0(r)$  при отдалении от центра. Возникновение подобного спектра прежде всего объясняется тем, что по мере приближения к центру темп ускорения релятивистских электронов отстает от темпа потерь энергии (из-за увеличения плотности излучения вблизи центра), в результате чего на больших расстояниях от ЧД релятивистские электроны обладают большей энергией. При рассеянии даже плоских РСМ-спектров на этих электронах более энергичные рентгеновские фотоны генерируются в отдаленных от ЧД областях. Это обстоятельство вместе со степенной зависимостью основных параметров плазмы приводит к указанной степенной зависимости в рентгеновском гамма-лиапазоне. Степенной спектр может простираться до энергии 5 30 МвВ. Хотя это выше порога фоторождения  $e^+-e^-$  пар, но поскольку столь энеогичные фотоны тенерируются на отдаленных от центра областях. где мала пространственная плотность фотонов, то в модели оказывается возможным выход отого гамма-излучения ( $\omega < \omega^{(a)}$ ) из источника без существенного поглошения.

Отметим также, что завал в субмиллиметровой инфракрасной области, т. е. при  $\omega > \omega_s$ , мог бы быть несколько сглажен при учете частичной комптонивации синхротронного излучения в области  $r \gtrsim 10$ . Этот вопрос, однако, выходит за рамки настоящей работы и требует отдельного рассмотрения.

Ереванскай государственный университет

## COMPACT RADIO SOURCES AS A PLASMA TURBULENT REACTOR. III. AN ACCRETION MODEL

#### A. M. ATOYAN, A. G. NAHAPETIAN

A spatially inhomogeneous model of plasma turbulent reactor (PTR) arising in the spherical accretion of plasma onto a suggestive supermassive black hole in the active galactic nucley (AGN) is considered. It is shown that for the relativistic Maxwell type narrow distributions of relativistic electrons accelerated by the turbulence, arising radiation spectra in the radio—submillimeter (RSM) range are flat or inverted. Inverse Compton scattering of RSM photons on these electrons leads to a power law spectra with the index  $\alpha_x \sim 0.6 \pm 0.7$  in the X-ray up to soft gamma—ray range, which is in a good agreement with observational data.

#### **ЛИТЕРАТУРА**

- 1. А. М. Атоян, А. Г. Наппетян, Астрофизика, 26, 527, 1987.
- 2. А. М. Атоян, А. Г. Наапетян, Астрофизика, 27, 118, 1987.
- 3. G. A. Kriss, C. R. Canizares, G. R. Ricker, Astrophys. J., 242, 492, 1980.
- H. Tananbaum, J. F. C. Wardle, G. Zamorant, Y. Avnt. Astrophys. J., 268, 60, 1983.
- 5. G. M. Rieke, M. J. Lebofsky. Ann. Rev. Astron. and Astrophys., 17, 477, 1979.
- C. G. Impey, P. W. J. L. Brand, R. D. Wolstencroft, P. M. Williams, Mon. Notic. Roy. Astron. Soc., 200, 19, 1982.
- 7. J. R. Ipser, R. H. Prise, Astrophys. J., 267, 371, 1983.
- 8. М. М. Лифшиц, Л. П. Питаевский, Физическая кинетика, Наука, М., 1979.
- 9. M. Colpi, L. Maraschi, A. Treves, Astrophys. J., 280, 319, 1984.
- A. M. Atoyan, A. G. Nahaprtian, Active Galactic Nuclei as Accretion Turbulent Synchrotron-Self-Compton Sources, Prepr. Yerevan, Phys. Inst., 1101 (64), 1988.
- 11. R. Schlicketser, Aston. and Astrophys., 143, 431, 1985.
- 12. F. A. Aharonian, A. M. Atogan, A. Nahapetian, Astron. and Astrophys., 162, L1, 1986.
- 13. А. Пахольчик, Радноастрофизика, Мир, М., 1973.
- 14. С. А. Каплан, В. Н. Цытович, Плазменная астрофизика, Наука, М., 1972.
- 15. В. Л. Гинзбург, С. И. Сыроватский, Ж. эксперим. и теор. физ., 26, 1865, 1964.
- 16. D. M. Worrall, F. E. Marshall, Astrophys. J., 276, 434, 1984.

## АСТРОФИЗИКА

**TOM 32** 

АПРЕЛЬ, 1990

выпуск 2

КРАТКИЕ СООБЩЕНИЯ

УДК: 524.7-77:520,27

### НАБЛЮДЕНИЯ РАДИОГАЛАКТИКИ IC 4296 НА РАТАН-600\*

Наблюдения радиогалактики IC 4296 были проведены в марте 1982 г. на южном секторе с плоским отражателем РАТАН-600 на трех частотах: 960, 3650 и 3950 МГц. Эта радиогалактика наблюдалась также на северном секторе РАТАН-600 на частотах 2300, 3650 и 7700 МГц Н. С. Соболевой в 1980 г. в рамках программы исследования выборки 47 протяженных радиогалактик [1].

Близкая (z=0.0122) валиптическая (E0) галактика, ярчайшая в группе окружающих ее галактик, IC 4296 интересна тем, что из ее ядра на большое расстояние тянутся два симметричных искривленных радиовыброса так, что общий размер источника составляет  $\sim 35'$ , что соответствует 360 кмк при постоянной Хабла 100 км с $^{-1}$  Мпк $^{-1}$ . Подробные сведения об этой галактике можно найти в серии статей [2-4], где рассмотрена также детальная модель радиоисточника и имеются ссылки на предыдущие работы, посвященные ее изучению.

Наблюдения на РАТАН-600 уточняют спектры отдельных компонентов протяженного радиоисточника, связанного с IC 4296, и важны, поскольку дополняют наблюдения с системами апертурного синтеза, малочувствительные к деталям большого размера.

Результаты наблюдений. Стрип-распределения радиояркости (в направлении восток-запад) галактики IC 4296, полученные с РАТАН-600, приведены на рис .1.

Обработка наблюдений на южном секторе с плоским отражателем была выполнена согласно методике, описанной в работе [5]. Для калибровки антенны в качестве опорных были использованы радиоисточники PKS 1154—34 и PKS 0237—23 с плотностями потоков в шкале BGPW 77

<sup>\*</sup> Работа подготовлена к печати сотрудником АО ЛГУ А. Г. Губановым (в настоящее время виантер САО) уже после трагической гибели К. Д. Алнакберова.

[6]. Распределения яркости на рис. 1 соответствуют осреднению 5 отдельных записей IC 4296 на каждой частоте.

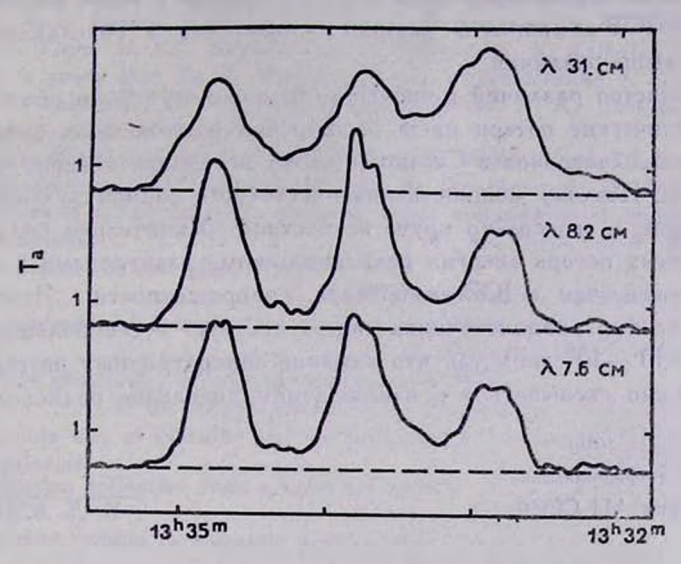


Рис. 1. Стрип-распределения радиояркости галактики IC 4296, полученные на РАТАН-600.

Измеренные плотности потоков основных компонентов радиогалактики IC 4296, известных ранее как радиоисточники PKS 1332—33, PKS 1333—33 и PKS 1334—34 (С.З-центральный и ЮВ-компоненты), приведены в табл. 1.

 $T_{a6 {\it nuga}}$  1 ПЛОТНОСТИ ПОТОКОВ ОТДЕЛЬНЫХ КОМПОНЕНТОВ ІС 4296

Частота МГц	Плотности потоков [Ян]			
	PK S 1332-33	PK S 1333-33	PK S 1334—34	Интегральный
960	10.97±0.83	6.44±0.51	6.63±0.53	24.0±2.0
3650	2.29±0.11	2 43+0.10	2.24 + 0.09	7.0±0.4
3950	1.90±0.13	2.14+0.11	2.02±0.10	6.1±0.4

И из рисунка, и из таблицы видно, что СЗ-компонент радиоисточника имеет заметно более крутой спектр, чем ЮВ-компонент. Это коррелирует с тем, что СЗ-компонент находится ближе к ядру талактики, чем ЮВкомпонент, а питающий его радиовыброс в среднем ярче, более искривлен и извилист, чем противоположный выброс [2]. Можно предположить, что СЗ-компонент и соответствующий выброс эволюционируют в среднем в более плотной окружающей среде (точнее, в среде с более высоким давлением), чем ЮВ-компоненты радиоисточника, что и сбуславливает перечисленные выше различия.

Что касается различий в спектрах, то они могут быть объяснены тем, что адиабатические потери из-за расширения и, возможно, диффузия релятивистских электронов в СЗ-компонентах источника меньше, чем в ЮВ-компонентах. Поэтому мощность низкочастотного радиоизлучения СЗ-компонента выше, а его спектр круче вследствие сравнительно более высоких синхротронных потерь энергии релятивистскими электронами в магнитных полях большей, чем в ЮВ-компоненте, напряженности. Заметим, что огромный размер радиоисточника свидетельствует о его большом времени жизни (~ 107—108 лет), так что влияние синхротронных потерь действительно должно сказываться в наблюдаемом диапазоне радиоволн.

19 февраля 1990 Специальная астрофизическая обсерватория АН СССР

К. Д. АЛИАКБЕРОВ

#### **ЛИТЕРАТУРА**

- 1. Н. С. Соболева, Астрофия. исслед. Изв. Спец. астрофия. обсерв., 14, 50, 1981.
- 2. N. E. B. Killeen, G. V. Bicknell, R. D. Carter, Astrophys. J., 362, 306, 1985.
- 3. N. E. B. Killeen, G. V. Bicknell, D. Carter, Astrophys. J., 309, 45 1986.
- 4. N. E. B. Killeen, G.V. Bicknell, Astrophys. J., 324, 193, 1988.
- 5. К. Д. Алиакберов и др., Астрофиз. исслед. Изв. Спец. астрофия. обсерв., 19, 60, 1985.
- J. W. M. Baas, R. Genzel, I. I. C. Paulini-Toth, A. Witzel, Astron. and Astrophys. Suppl. Ser., 61, 99, 1777.

### CONTENTS

Stars of early types in the region of stellar association OBI observed with the	
"Glazar" space telescope H. M. Toumassian, R. Kh. Houhannessian,	
R. A. Epremian, M. A. Mkrtchian, Yu. M. Khodjayants, M. N. Krmo-	
yan, A. L. Kashin, D. Huguenin, Yu. V. Romanenko, A. P. Alexandrov,	
B. G. Titov. M. Kh. Manarov, A. A. Volkov, S. K. Krikalev	197
MWC 342-a young star Yu. K. Bergner, A. S. Miroshnichenko, I. S. Sudnik.	
R. V. Yudin, N. Yu. Yutanov, A. A. Krivtsov, A. N. Sokolov, K S.	
Kuratov, D. B. Mukanov	203
Observational study of fuors. II. The light curve of V1515 Cygni. Fourier analy-	
sis of small amplitude variability . M. A. Ibragimov, V. S. Shevchenko	221
The abundance of palladium group elements in the atmospheres of evolved stars	
II. Ruthenium M. Ya. Orlov, A. V. Shavrina	231
On the Tc content in cool giant stars	
A. A. Akopyan, Yu. K. Melik—Alaverdian	235
A spectrophotometrical investigation of the galaxy Markarian 7	
A. N. Burenkov, E. Ye. Khachikian	254
Detail surface photometry of peculiar galaxy NGC 3718	
V. A. Hagen-Thorn, V. P. Reshetnikov, V. A. Yakovleva	255
On the possible way of globular clusters formation in coronae of giant ellipti-	
cal galaxies · · · · · · · · · · · · · · · · · · ·	267
Diffuse radiation reflection from a spherical nebula	
	277
The temperature profile in magnetic neutron star	
· · · · · · · · · · · · · · · · · A. K. Avetiesian, D. M. Sedrakian	291
The motion of vortices and energy dissipation in the neutron star core	
· · · · · D. M. Sedrakyan, A. D. Sedrakyan, K. M. Shahabasyan	303
Jupiters around dead stars and formation of single recycled radio pulsars	
· · · · · · · · · · · · · · · · · · ·	313
Maximum likelihood image restoration I. Main equations · · · V. Yu. Terebish	327
Compact radio sources as a plasma turbulent reactor. III. An accretion model	
· · · · · · · · · · · · · · · · · . A. M. Atoyan, A. G. Nahapetian	341
NOTES	
*	
Observations of the IC 4296 radio galaxy with RATAN-600	
K. D. Aliakberov	355

Техн. редактор Л. А. Авизбекян

Сдано в набор 6.04.1990. Подписано к печати 27. 07. 1990. ВФ 01499. Бумага № 1, 70×100<sup>1</sup>/<sub>16</sub>. Высокая печать. Печ. лист. 10,13+2 вкл. Усл. печ. лист. 13,49. Учет.-изд. 10,2. Тираж 940. Заказ 178. Издат. 7793. 1 P. 80 K. ИНДЕКС 70022

### СОДЕРЖАНИЕ (продолжение)

ДИФФУЗНОЕ ОТРАЖЕНИЕ СВЕТА СФЕРИЧЕСКОЙ ТУМАННОСТЬЮ А. К. Колесов, В. В. Соболев	277
The state of the s	291
ДВИЖЕНИЕ ВИХРЕЙ И ДИССИПАЦИЯ ЭНЕРГИИ В ЯДРЕ НЕЙТРОН- НЫХ ЭВЕЗД Д. М. Седракян, А. Д. Седракян, К. М. Шахабасян ЮПИТЕРЫ ВОКРУГ МЕРТВЫХ ЗВЕЗД И ОБРАЗОВАНИЕ ОДИНОЧ-	303
НЫХ ПОДКРУЧЕННЫХ РАДИОПУЛЬСАРОВ Г. С. Бисноватый-Козан	313
МАКСИМАЛЬНО ПРАВДОПОДОБНОЕ ВОССТАНОВЛЕНИЕ ИЗОБРА- ЖЕНИЙ. 1. ОСНОВНЫЕ СООТНОШЕНИЯ В. Ю. Теребиж	327
компактные радиоисточники как плазменный турбу. лентный реактор. III. аккреционная модель	244
А. М. Атоян, А. Г. Наапетян	241
КРАТКИЕ СООБЩЕНИЯ	

К. Д. Алиакверов

355

НАБЛЮДЕНИЯ РАДИОГАЛАКТИКИ ІС 4296 НА РАТАН-600